

Rapport nr. 216402001

BIO-TESTS

Gebruiksoptimaal en milieuvriendelijk

grondbehandelingsproduct

**Beoordeling van gereinigde grond:**

**I. Uitvoegkarakteristieken en chemische samenstelling  
van referentiegronden.**

P.G.M. de Wilde, J. Keijzer, G.L.J. Janssen, Th.G. Aalbers  
en C. Zevenbergen.

augustus 1992

# IWACO

Adviesbureau voor water en milieu



Bibliotheek

RIJKSINSTITUUT VOOR VOLKSGEZONDHEID EN MILIEUHYGIENE  
NATIONAL INSTITUTE OF PUBLIC HEALTH AND ENVIRONMENTAL PROTECTION

**VERZENDLIJST**

- 1 Directeur Programmatiebureau Speerpuntprogramma Bodemonderzoek  
2 Directoraat-Generaal Milieubeheer, directie Bodem  
3 Directeur-Generaal Volksgezondheid  
4 Directeur-Generaal Milieubeheer  
5 - 7 piv. Directeur-Generaal Milieubeheer  
8 Ir.R.T. Eikelboom (DGM)  
9 Dr. J.J. Vegter (TCB)  
10 Dr. ir. W. Ma (IBN)  
11 Drs. M van 't Hof (SCG)  
12 Dr. ir. C.A.M van Gestel  
13 Ir. J.W. Kamerman (Prov. Gelderland, Dienst Water en Milieu)  
14 Ir. Th. Edelman (Provincie Gelderland)  
15 - 19 Beheerders van de bemonsterde natuurgebieden  
- Staatsbosbeheer Zeist  
- Natuurmonumenten 's-Graveland  
- Staatsbosbeheer Arnhem  
- Het Drentse Landschap  
20 Depot Nederlandse publikaties en Nederlandse bibliografie  
21 Directie RIVM  
22 Directie IWACO B.V.  
23 Ir. N.D. van Egmond  
24 Ir. A.H.M. Bresser  
25 Dr. ir. C.W. Versluijs  
26 Ir. E.R. Soczó  
27 A.I.M. van de Beek  
28 - 32 Auteurs  
33 - 34 Bibliotheek RIVM  
35 Bureau Projecten- en Rapportenregistratie  
36 Hoofd Bureau Voorlichting en Public Relations  
37 - 75 Reserve-exemplaren LAE  
76 -125 Reserve-exemplaren IWACO  
126-150 Reserve-exemplaren RIVM



**INHOUDSOPGAVE**

<b>VERZENDLIJST</b>	II
<b>INHOUDSOPGAVE</b>	III
<b>SUMMARY</b>	V
<b>SAMENVATTING</b>	1
<b>1. INLEIDING</b>	3
<b>2. ACHTERGRONDINFORMATIE</b>	5
2.1 Het voorkomen van zware metalen in natuurlijke bodems in Nederland	5
2.2 Uitlozing van zware metalen	5
<b>3. MATERIAAL EN METHODEN</b>	7
3.1 Monstermateriaal	7
3.2 Monstervorming en monstervoorbewerking	9
3.3 Samenstellingsonderzoek	10
3.3.1 Koningswater-ontsluiting	10
3.3.2 Bepaling van de algemene parameters pH, organisch koolstof, lutum en CEC	10
3.3.3 PAK analyse	10
3.4 Uitloogonderzoek	11
3.4.1 Kalomproef	11
3.4.2 Beschikbaarheidsproef	12
3.5 Analysemethoden	12
3.6 Berekening van $E_{10}$ en $E_{200}$	13
<b>4. RESULTATEN EN DISCUSSIE</b>	15
4.1 Samenstelling	15
4.1.1 Onderzochte elementen	15
4.1.2 pH, organisch koolstof, lutum en CEC	17
4.1.3 PAK	18



---

4.2 Uitloging . . . . .	18
4.2.1 Kolomproef . . . . .	18
4.2.2 Beschikbaarheid . . . . .	25
<b>5 STATISTISCHE EVALUATIE . . . . .</b>	<b>27</b>
5.1 Algemeen . . . . .	27
5.1.1 Relaties met elementgehalten . . . . .	27
5.1.2 Relaties met cumulatieve emissies ( $E_{10}$ ) . . . . .	31
5.2 Vergelijking met Edelman-onderzoek . . . . .	34
5.3 Vergelijking ondergrond met bovengrond . . . . .	35
<b>6. SLOTBESCHOUWING EN AANBEVELINGEN . . . . .</b>	<b>37</b>
<b>REFERENTIES . . . . .</b>	<b>39</b>
<b>BIJLAGE I: Resultaten PAK-analyse . . . . .</b>	<b>41</b>
<b>BIJLAGE II: Verloop van redox en concentratie versus L/S-ratio . . . . .</b>	<b>45</b>
<b>BIJLAGE III: Maximaal gemeten concentraties met bijbehorende L/S waarde . . . . .</b>	<b>173</b>
<b>BIJLAGE IV: Maximale concentratie versus pH . . . . .</b>	<b>175</b>
<b>BIJLAGE V: Tabel 1. Procentuele uitloging kolomproef t.o.v. samenstelling (koningswater) . . . . .</b>	<b>177</b>
<b>Tabel 2: Procentuele emissie bij cumulatieve L/S van 0.5 en 10 t.o.v. beschikbaarheid bij L/S van 200. . . . .</b>	<b>178</b>
<b>BIJLAGE VI: pH instellingen, zuurverbruik beschikbaarheidsproef . . . . .</b>	<b>181</b>
<b>BIJLAGE VII: Beschikbaarheid (<math>E_{200}</math>) t.o.v de koningswatersamenstelling . . . . .</b>	<b>183</b>
<b>BIJLAGE VIII: Normen concept Bouwstoffenbesluit . . . . .</b>	<b>185</b>
<b>BIJLAGE IX: Samenstelling van referentiemateriaal BCR143. . . . .</b>	<b>187</b>

---



**SUMMARY**

In this study the leachability of metals from nineteen natural topsoils in the Netherlands has been investigated. For the determination of the leachability of metals a column test and an availability test were carried out with a wide variety of soil types. The percolates were analyzed on the elements As, Ba, Ca, Cd, Co, Cr, Cu, Hg, K, Mg, Mo, Na, Ni, Pb, Sb, Se, Sn, V and Zn. In order to asses the parameters which are controlling leaching, the acidity, cation exchange capacity and the content of metals, clay and organic carbon of the soils have been determined.

Within the investigated soils, no uniform leaching behaviour of metals was observed.

The following features were been derived from the statistical analysis:

- Significant relationship ( $p < 0.05$ ) was found between the content of clay and the content of Ba, Cr, K, Co, Cu, Mg, Na, Ni, Sn, V and Zn and between the content of organic carbon and Cd, Pb and Hg.
- The emission measured by means of the column test ( $L/S = 10$ ) showed a statistically significant correlation ( $p < 0.05$ ) with the elemental content of Ca, Cd, Co, Pb, Mg and Na.
- With the exception of Co, Cu and Hg, a significant relation was found between the emission ( $L/S = 10$ ) on one hand and the organic content and cation exchange capacity (CEC) of the soil on the other hand.
- In general, there was no significant correlation ( $p < 0.05$ ) found between emission and the clay content or pH.
- The emission of Ca, Mg and Na measured by means of the column test correlated well with emission measured by means of the availability test.



## SAMENVATTING

Onderzoek is verricht naar de uitloogkarakteristieken en chemische samenstelling van grondmonsters van 19 verspreid over Nederland liggende natuurgebieden. Hierbij is gebruik gemaakt van een kolom- en een beschikbaarheidsproef. Alle percolaten van de kolomproef alsmede de extracten van de beschikbaarheidsproef en de destruaten zijn na filtratie geanalyseerd op de elementen As, Ba, Ca, Cd, Co, Cr, Cu, Hg, K, Mg, Mo, Na, Ni, Pb, Sb, Se, Sn, V en Zn. De mogelijk verklarende parameters voor de uitlooging: de zuurgraad, het gehalte aan lutum en organisch koolstof en de kation uitwisselings capaciteit zijn tevens van alle grondmonsters bepaald.

De uitloogkarakteristieken van de onderzochte gronden bleken niet eenduidig te zijn.

Uit de statistische evaluatie van de onderzoeksresultaten konden de navolgende conclusies worden getrokken:

- Voor het gehalte aan de elementen Ba, Cr, K, Co, Cu, Mg, Na, Ni, Sn, V en Zn zijn significante correlaties ( $p < 0.05$ ) gevonden met het lutumgehalte en voor de elementen Cd, Pb en Hg met het gehalte aan organisch koolstof.
- De cumulatieve emissie ( $\text{cum.L/S} = 10$ ) correleert het gehalte aan de elementen Cd, Ca, Co, Pb, Mg en Na.
- Met uitzondering van Co, Cu, en Hg is er een sterke correlatie tussen de cumulatieve emissie ( $\text{cum. L/S} = 10$ ) enerzijds en het organisch koolstof en de kationuitwisselingscapaciteit (CEC) in de grond anderzijds.
- Voor de meeste elementen is er geen sprake van een significante correlatie tussen de cumulatieve emissie en het gehalte aan lutum of de zuurgraad van de grond.
- De emissie van de macro-elementen Ca, Mg en Na correleert met de cumulatieve emissie bij  $L/S = 200$  (beschikbaarheidsproef).



## 1. INLEIDING

In Nederland ontstaan bij grondreiniging grote hoeveelheden gereinigde grond, die op één of andere wijze nuttig toegepast kunnen worden. Bij de beoordeling om deze gereinigde grond al dan niet toe te passen spelen milieuhygiënische aspecten een belangrijke rol. In de milieuwetgeving, met name in de Wet Bodembescherming (ontwerp Bouwstoffenbesluit), is gekozen voor een beoordelingssysteem dat gebaseerd is op zowel de samenstelling als de uitlooging van materialen. Voor een beoordeling van verontreinigde en gereinigde grond is allereerst informatie over de samenstelling en de uitlooging van 'schone', zo min mogelijk door de mens beïnvloede, grond noodzakelijk, om een referentiekader vast te stellen. Op dit moment is al enige informatie over de achtergrondsgehalten van anorganische en organische stoffen in de bodem in Nederland aanwezig. Deze informatie is afkomstig uit een in 1983 uitgevoerd onderzoek, hierna te noemen het Edelmanonderzoek [1]. Uit dit onderzoek is ondermeer gebleken dat tussen de verschillende natuurgebieden aanmerkelijke verschillen in gehalten aan elementen kunnen bestaan. Deze verschillen zijn in veel gevallen terug te voeren op verschillen in grondsoort (lutum- en organisch koolstofgehalte). In sommige gevallen is er een sterk verband gevonden tussen de elementen onderling (bijvoorbeeld tussen ijzer en arseen).

Informatie over het uitlooggedrag van verontreinigde stoffen uit de Nederlandse natuurlijke bodems ontbreekt echter. Voor het verkrijgen van deze informatie is in het kader van een tweetal projecten nl. "Beoordelingsmethoden voor gereinigde grond" (PCTB) en "Onderbouwing regelgeving" door het RijksInstituut voor Volksgezondheid en Milieuhigiëne (RIVM) en IWACO B.V. onderzoek verricht naar het uitlooggedrag en de chemische samenstelling aan diverse elementen van referentiegronden. Onder een referentiegrond wordt in dit verband verstaan een bovengrond van natuurerreinen, die zo min mogelijk door de mens beïnvloed is. De polycyclische aromaten zijn in het Edelmanonderzoek buiten beschouwing gelaten, maar in verband met voorgenomen normstelling voor deze organische verbindingen is in onderhavig onderzoek tevens het gehalte aan deze stoffen in de gronden bepaald. In dit onderzoek zijn geen uitloogkarakteristieken van polycyclische aromaten bepaald, vanwege het feit dat deze uitloogtest nog in ontwikkeling is.

In totaliteit zijn in onderhavig onderzoek grondmonsters van 19 uiteenlopende en verspreid over Nederland liggende gebieden in het onderzoek betrokken. Deze gebieden zijn in overleg met het DLO-instituut voor Bos- en Natuuronderzoek (iBN) geselecteerd en zijn (op twee na) reeds eerder onderzocht in het Edelmanonderzoek.

In het kader van het project "Beoordelingsmethoden voor gereinigde grond" (PCTB) worden de resultaten van dit onderzoek gebruikt als referentie bij de ontwikkeling van methoden voor de beoordeling van gereinigde en verontreinigde grond op basis van uitlooggedrag en bioassays. In aansluiting op dit rapport

is ook een rapport gepubliceerd over de uitvoering van bioassays aan dezelfde referentiegronden [2][3].

In het kader van het project "Onderbouwing regelgeving" [4] is het aantal referentiegronden uitgebreid om een bijdrage te kunnen leveren aan het tot stand komen van een normstelling voor het uitlooggedrag en de milieuhygiënische randvoorwaarden voor het toepassen van verontreinigde en gereinigde grond.

## 2. ACHTERGRONDINFORMATIE

### 2.1 Het voorkomen van zware metalen in natuurlijke bodems in Nederland

Er is een tweetal oorzaken aan te wijzen voor het voorkomen van zware metalen in natuurlijke bodems:

#### 1. Natuurlijke oorsprong:

In zware mineralen die in de bodems worden aangetroffen, zoals Olivijn, Hoornblende, Biotiet en Apatiet, zijn zware metalen, zoals Zn, Ni, Co en Cr, ingesloten. Deze mineralen zijn voor een groot deel bepalend voor het natuurlijke gehalte aan zware metalen in de bodem. In de Nederlandse bodem is de zware mineralenfractie relatief klein. Het gehalte aan zware metalen ten gevolge van de aanwezigheid van zware mineralen in de Nederlandse bodem is derhalve meestal laag. De Nederlandse bodem bestaat aan het oppervlak voornamelijk uit sedimentgesteenten. Door verwering van deze sedimentgesteenten kan een zekere mate van verplaatsing en accumulatie optreden van stabiele zware mineralen. Bij zandgronden worden vaak plaatselijk door accumulatie hogere gehalten aangetroffen aan zware metalen dan op basis van textuur en organisch koolstof mag worden verwacht (zie 5.1.1). Voor zwaardere gronden blijkt over het algemeen de bijdrage van zware mineralen aan het gehalte aan zware metalen zeer gering [5].

#### 2. Antropogene oorsprong:

Aanrijking van zware metalen in natuurlijke bodems door antropogene oorzaak wordt met name toegeschreven aan sedimentatie van stofdeeltjes en aan bioaccumulatie. Als gevolg van industriele emissies kunnen met name de vluchtige metalen As, Cd, Cr, Ni, Pb, Sb, Se en Zn over een grote afstand worden getransporteerd en door sedimentatie de bodem bereiken. Naast industriele bronnen kan het verkeer in dit verband ook als bron worden aangemerkt. Metalen die hiermee in verband worden gebracht zijn o.a. Pb, Zn, Cd, Cr en Ni. Aanrijking van de metalen Cd, Se en Zn in de toplaag kan ook plaatsvinden doordat planten uit diepere bodemlagen zware metalen opnemen en opslaan in de bovengrondse delen. Accumulatie vindt in hoofdzaak plaats wanneer er geen afvoer van plantenmateriaal plaats vindt. Door jarenlange opstapeling kan op termijn deze bijdrage aanzienlijk zijn [6].

### 2.2 Uitlozing van zware metalen

Ten gevolge van infiltratie van regenwater kunnen zware metalen uitspoelen en accumuleren in diepere lagen (b.v. in de inspoelings- of B-horizont) of afgevoerd worden via het grondwater. Ook kunnen metalen verdwijnen door vervluchting (b.v. Hg en Se). De uitspoeling van zware metalen is afhankelijk van pH, organisch koolstof en lutumgehalte en de redoxpotentiaal (Eh). In zure, drainerende gronden zijn met name

de kationogene metalen zoals Zn, Cd, Ni en Cu mobiel. Anionen als molybdaat en selenaat zijn onder deze omstandigheden juist minder mobiel dan bij neutrale en hogere pH's. Organisch koolstof kan zowel de uitspoeling bevorderen als remmen. Zo kunnen fulvozuren mobile metaalcomplexen vormen. Met name huminezuren kunnen daarentegen onoplosbare stabiele metaalcomplexen vormen. De aanwezigheid van lutum werkt sterk remmend op de mobiliteit van de meeste zware metalen. As is in oxiderend milieu (b.v. in geaardeerde gronden) vrijwel immobiel, terwijl in reducerend milieu As zeer mobiel kan zijn. Omdat veel metalen (b.v. Zn, Pb, Cu, Hg en Fe) slecht oplosbare sulfideneerslagen kunnen vormen, hangt de mobiliteit onder reducerende omstandigheden sterk af van de aanwezigheid van sulfide.

### **3. MATERIAAL EN METHODEN**

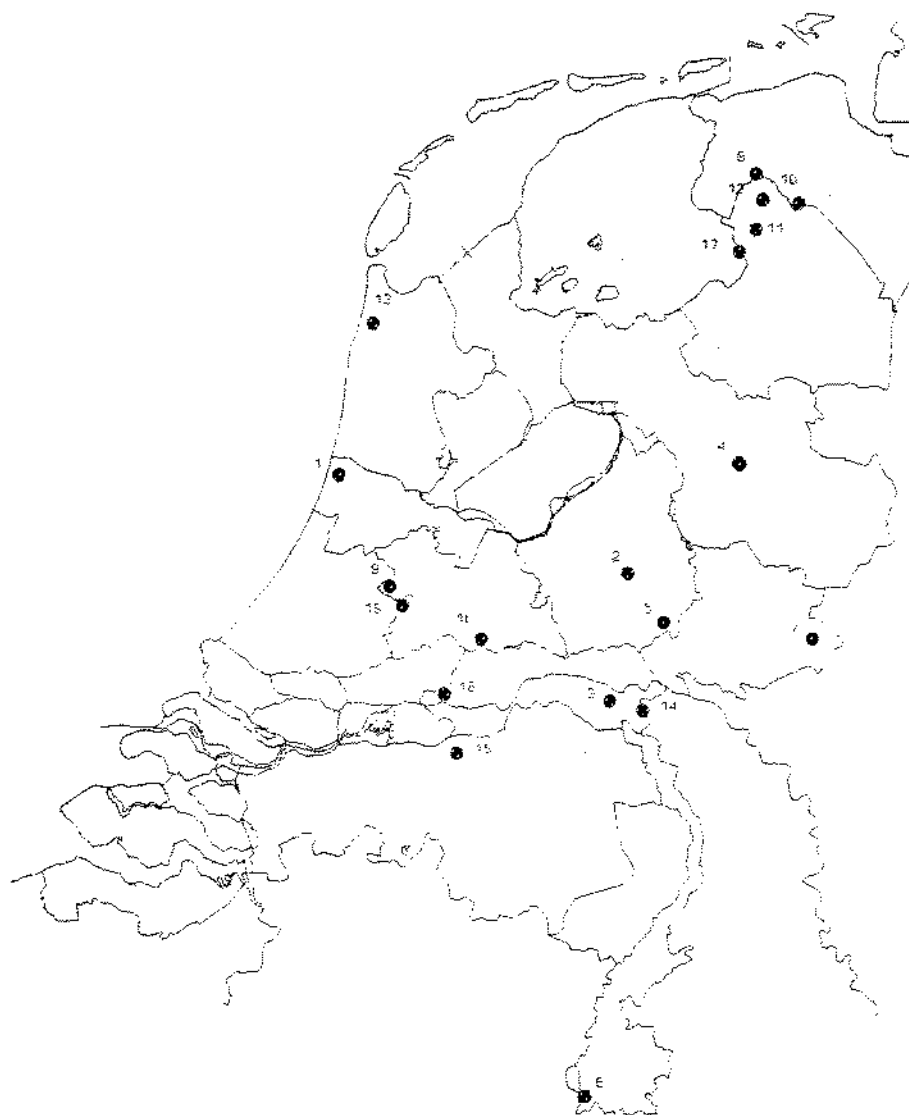
#### **3.1 Monstermateriaal**

Het onderzoek werd verricht aan 19 gronden, die afkomstig waren van verschillende lokaties in Nederland (Figuur 1). Bij de keuze van de lokaties zijn de volgende criteria gebruikt:

- 1) overeenkomend met de lokaties van het onderzoek naar achtergrondgehalten van metalen in de bodem door Edelman,
- 2) onverstoerde natuurgebieden,
- 3) voldoende variatie in bodemkenmerken,
- 4) aansluiting op IBN-onderzoek naar de accumulatie van zware metalen in veiddieren.

De ligging van deze lokaties is aangegeven in Figuur 1. Op alle lokaties is de bovengrond (0 - 0.10 m beneden maaiveld) bemonsterd, omdat bij normstelling de bovengrond als maatgevend is gekozen. Tevens is er dan overeenstemming met het Edelman-onderzoek. Hiernaast zijn op een 6-tal lokaties (Figuur 1, nr. 11 t/m 16) monsters van de ondergrond genomen, omdat bij bodemsanering niet alleen de bovengrond wordt gereinigd. De bulk van de te reinigen grond is meestal juist de ondergrond. De ondergrond is hier gedefinieerd als de eerstvolgende laag onder de bovengrond. Deze laag is visueel te onderscheiden van de bovengrond. De diepte waarbij de monsterneming van de ondergrond heeft plaats gevonden varieert tussen de 0.2 - 1.5 m beneden maaiveld.

Figuur 1. Bemonsterde lokaties in Nederland



waarin:

- |                        |                          |
|------------------------|--------------------------|
| 1. Duin en Kruidberg   | 11. Norgenholt *         |
| 2. Spelderholt         | 12. Kleibos *            |
| 3. Hernese bos         | 13. Het Wildrijk *       |
| 4. Eerachterbroek      | 14. Filosofendal *       |
| 5. Middachten          | 15. Drunense heide *     |
| 6. Bibos **            | 16. Beverweert *         |
| 7. Korenburgerveen     | 17. Fochtelooërveen      |
| 8. Lettelberter Petten | 18. Eendenkooil 't Broek |
| 9. Zegveld             | 19. Linschoten           |
| 10. Harense Wildernis  |                          |

\* Deze monsternaamplaats is in het Edelmanonderzoek niet betrokken geweest.

\*\* Nabij Savelsbos

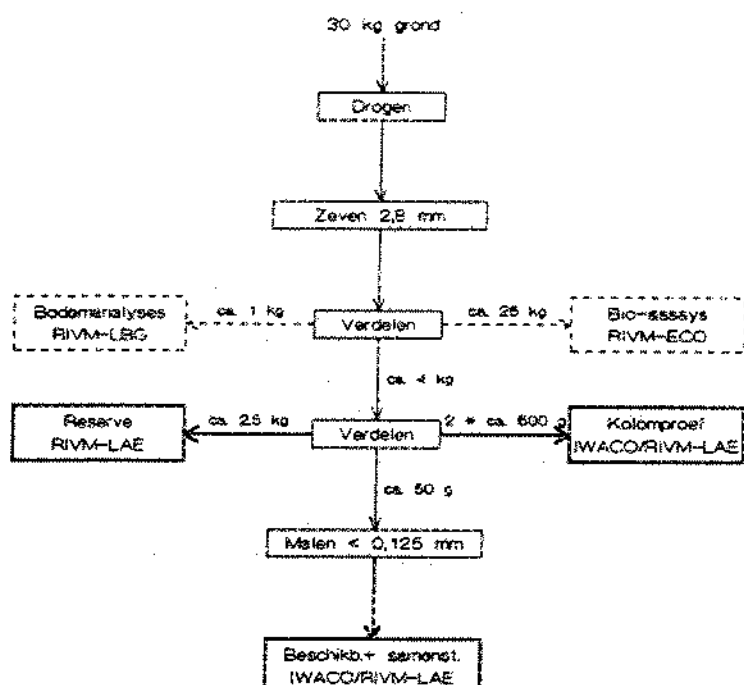
• Ook onderlaag bemonsterd

### 3.2 Monsterneming en monstervoorbewerking

In de periode van 01-1990 t/m 03-1990 is, in overleg met het IBN, door het RIVM op 19 locaties in Nederland de grond m.b.v. een klapboor bemonsterd, na verwijdering van de strooisellaag.

Per monsterneming is circa 30 kg monster genomen. De monsters zijn vervolgens bij kamertemperatuur gedroogd en afgezeefd op 2,8 mm om de wortels en het grind te verwijderen. Na het drogen en zeven zijn de monsters verdeeld met een roterende monsterverdeler tot ongeveer 1 à 2 kg voor bodemanalyses (RIVM-LBG), 25 kg voor bio-assays proeven (RIVM-ECO) en 4 kg voor samenstelling- en uitloogproeven (RIVM-LAE en IWACO). Deelmonsters zijn afgescheiden voor de kolomproef, alsmede voor een verdere vermalen met een mortiermolen (<125 µm) voor het samenstellingsonderzoek analyses en de beschikbaarheidsproef.

Schema 1: Monstervoorbewerking



### 3.3 Samenstellingsonderzoek

#### 3.3.1 Koningswater-ontsluiting

In een afgesloten teflon destructievaatje is circa 0.5 gram gemalen monster in enkelvoud en een referentiemateriaal BCR 143 "Sewage sludge amended soil" in drievoud gedestruueerd met salpeterzuur en zoutzuur (koningswater) onder invloed van microgolven volgens ontwerp NVN 5770 [7]. In het destruaat zijn de metaalconcentraties bepaald met AAS of AES. Deze ontsluiting is voor elementen ingesloten in een kiezelzuurskelet niet volledig. Het kiezelzuurskelet wordt bij deze ontsluitingsmethode niet gedestruueerd.

#### 3.3.2 Bepaling van de algemene parameters pH, organisch koolstof, lutum en CEC

In het Laboratorium voor Bodem en Grondwateronderzoek (RIVM) zijn de bepalingen van pH, organisch koolstof, lutum en kationen uitwisselingscapaciteit (CEC) uitgevoerd volgens standaardvoorschriften [8]. De pH( $H_2O$ ) van de grondmonsters is bepaald door een hoeveelheid grond in evenwicht te brengen met gedemineraliseerd water bij een volumeverhouding van 1:5 en vervolgens in de suspensie potentometrisch de zuurgraad te meten.

Het organisch stof gehalte is bepaald door een gemalen deelmonster aan de lucht te gloeien bij 850°C waardoor de organische bestanddelen tot vluchtige verbindingen ontleden. Uit de hoeveelheid gevormd CO<sub>2</sub>, gemeten tijdens het gloeien, is het gehalte organisch koolstof berekend, waarbij gecorrigeerd is voor de anorganische koolstofverbindingen.

De bepaling van het lutumgehalte is uitgevoerd volgens de pipetmethode en berust op een verschil in valsnelheid van deeltjes met verschillende diameter volgens de wet van Stokes.

Bij de bepaling van de kationen uitwisselingscapaciteit (CEC) wordt een hoeveelheid grond uitgelooogd met ammoniumacetaat. Het geadsorbeerde ammonium wordt vrijgemaakt door uitspoeling met een aangezuurde calciumchloride-oplossing. Vervolgens wordt een ammonium-bepaling uitgevoerd in het opgevangen percolaat. De hoeveelheid NH<sub>4</sub>-ionen in het percolaat is een maat voor kationen uitwisselingscapaciteit van de grond.

#### 3.3.3 PAK analyse

Voor de PAK analyse is een deelmonster cryogeen gemalen volgens VPR C88-00. Het cryogeen vermalen monster is twee maal geëxtraheerd met petroleum ether (40-60°C). De extracten zijn samengevoegd en met Kuderna Darnisch ingedampt tot ca 10 ml. Om vervluchting van de PAK's zoveel mogelijk te voorkomen

is 0.1 ml butanol toegevoegd en is onder een langzame stikstof stroom de petroleumether ingedampt tot 1 ml. Toegevoegd is 2 ml acetonitrile. Na indamping van de petroleumether is het acetonitrile extract met behulp van hoge druk vloeistof chromatografie (HPLC) geanalyseerd op de 16 EPA-PAK's met een fluorescencie en/of UV detector volgens concept ontwerp NEN 5731 [9].

### 3.4 Uitloogonderzoek

Het uitlooggedrag is onderzocht aan de hand van een tweetal gestandaardiseerde uitloogproeven, namelijk met een kolomproef [10] en met een beschikbaarheidstoetsproef [11].

De kolomproef is ontwikkeld voor de bepaling van de uitloogbaarheid van anorganische stoffen in korrelvormige materialen. De kolomproef geeft inzicht in het uitlooggedrag voor de korte en middellange termijn. Met de kolomproef kan als functie van de vloeistof/vaste stof verhouding (L/S in l/kg) zowel het concentratieverloop als het emissieverloop worden bepaald.

De beschikbaarheidstoetsproef geeft inzicht in het maximaal voor uitlozing beschikbare deel van de aanwezige hoeveelheid.

#### 3.4.1 Kolomproef

Een kolom is gevuld met het te onderzoeken monster (S kg, < 2,8 mm) en upflow doorspoeld met tot pH=4.0 aangezuurd ( $\text{HNO}_3$ ) gedemineraliseerd water. Nadere specificatie van de voor het onderzoek gebruikte kolommen is gegeven in tabel 1. Het percolatiewater dat de kolom met een constante snelheid verlaat (ca. 0,5 L/S per dag), is na filtratie in 7 fracties opgevangen en geanalyseerd op de in het onderzoek betrokken elementen. Tevens zijn direct na monsterneming de pH en geleidbaarheid van elk percolaat bepaald. Bij 11 arbitrair gekozen grondmonsters (Figuur 1, nr 1, 4, 5, 9 t/m 15) is het verloop van de redoxpotentiaal in het percolaat van de kolom gemeten met een in een doorstroomcel geplaatste platina electrode [12].

Tabel 1: Specificatie kolomproef

kolomlengte	20 - 25 cm*
diameter	5 cm
inweeg gewicht	400 - 750 g
flow	8.3 - 15.6 ml/h*

\* afhankelijk van de inweeg

De cumulatieve L/S verhouding van de opgevangen fracties bedraagt 0.1, 0.5, 1, 2, 3, 5 en 10. De L/S verhouding is een maat voor de hoeveelheid percolatiewater (L liter), dat gedurende een zekere tijd de met S kg gevulde kolom heeft gepasseerd.

### 3.4.2 Beschikbaarheidsproef

De beschikbaarheidsproef is opgebouwd uit twee extractiestappen. Voor de beschikbaarheidsproef is 8 gram van het gemalen deelmonster gedurende 3 uur in een bekerglas geroerd met 800 ml gedemineraliseerd water ( $L/S = 100$ ), waarbij de pH van het extract door toevoeging van salpeterzuur constant op 7.0 is gehouden. Indien de pH zonder toevoeging van zuur lager is dan 7, is geen loog toegevoegd. Na drie uur is het extract gefilterd en het residue kwantitatief overgebracht in het bekerglas. Vervolgens is met 800 ml demiwasser ( $L/S = 100$ ) gedurende drie uur opnieuw geroerd bij een constante pH van 4.0 door toevoeging van  $HNO_3$  (1 M). Na filtratie van het tweede extract zijn beide extracten afzonderlijk geanalyseerd op de in dit onderzoek betrokken elementen. Tevens zijn van elk extract de pH, geleidbaarheid en zuurverbruik bepaald.

### 3.5 Analysemethoden

Alle percolaten van de kolomproef en de extracten van de beschikbaarheidsproef en destruaten zijn na filtratie geanalyseerd op de elementen As, Ba, Ca, Cd, Co, Cr, Cu, Hg, K, Mg, Mo, Na, Ni, Pb, Sb, Se, Sn, V en Zn. In tabel 2 is een overzicht opgenomen van de analysemethoden met de bijbehorende normen en detectiegrenzen. De detectiegrens is hier gedefinieerd als de minimum concentratie die met een betrouwbaarheid van 99% kan worden onderscheiden van de concentratie in de blanco [13].

Tabel 2: Overzicht analysemethoden, normen en detectiegrenzen

	analysemethode	norm	det.gr. water ( $\mu\text{g/l}$ )	det.gr. grond (mg/kg)
As	grafiet oven	---	3	0.6
Be	ICP	---	3	0.6
Ca	ICP	---	10	2
Cd	grafiet oven	NEN 6458	0.1 - 0.5	0.02
Co	ICP	---	1 - 5	0.2
Cr	grafiet oven	NEN 6444	1 - 2	0.4
Cu	grafiet oven	NEN 6454	1 - 2	0.4
Hg	koude damp AAS	NEN 6449	0.1 - 0.2	0.04
K	vlam AAS	---	100	20
Mg	ICP	---	10	2
Mo	ICP	---	20	4
Na	ICP	---	20	4
Ni	grafiet oven	NEN 6430	1 - 10	0.2
Pb	grafiet oven	NEN 6429	3 - 5	1
Sb	grafiet oven	---	3 - 5	0.6
Se	grafiet oven	---	3 - 5	0.6
Sn	ICP	---	3 - 5	0.5
V	grafiet oven	---	3 - 10	0.6
Zn	ICP	---	3 - 5	0.6

--- volgens voorschrift RIVM/IWACO

### 3.6 Berekening van $E_{10}$ en $E_{200}$

De cumulatieve emissie tot en met een L/S van 10 van de kolomproef ( $E_{10}$ ) is berekend met de formule:

$$E_{10} = \sum (L_n/S * c_n) / 1000 \quad (\text{mg/kgds})$$

$L_n/S$  = L/S verhouding fractie n (l/kgds)  
 $c_n$  = concentratie in fractie n ( $\mu\text{g/l}$ )

De beschikbaarheid ( $E_{200}$ ) is berekend met de formule:

$$E_{200} = (c_1 + c_2) / 5 \quad (\text{mg/kgds})$$

$c_1$  = concentratie in eerste extract ( $L/S=100$ ) ( $\mu\text{g/l}$ )  
 $c_2$  = concentratie in tweede extract ( $L/S=100$ ) ( $\mu\text{g/l}$ )

$E_{10}$  en  $E_{200}$  zijn als range aangegeven, indien de concentratie in één of meer van de fracties van de kolomproef ( $c_n$ ) of in de extracten van de beschikbaarheidsproef ( $c_1$  en/of  $c_2$ ) onder de detectiegrens ligt, waarbij voor de concentraties onder de detectiegrens bij de bepaling van de ondergrens uitgegaan is van de waarde nul en bij de bepaling van de bovengrens van de detectiegrens.



## 4. RESULTATEN EN DISCUSSIE

### 4.1 Samenstelling

#### 4.1.1 Onderzochte elementen

In Tabel 3 zijn de vaste stof gehalten met betrekking tot de onderzochte elementen vermeld. Tevens zijn de overschrijdingen van de G-norm van het ontwerp Bouwstoffenbesluit onderstreept. Deze G-norm is gelijk aan de streefwaarde bodemkwaliteit. Het percentage overschrijdingen van de onderzochte natuurterreinen is voor de meeste elementen kleiner dan 10 %, met uitzondering van Sn en Hg (16%). Dit is in overeenstemming met de definitie van de streefwaarde bodemkwaliteit, waarbij per element gesteld wordt dat de samenstelling van het merendeel (90%) van de natuurterreinen aan deze waarde voldoet.

In Bijlage IX zijn de vaste stof gehalten van het referentiemateriaal BCR 143 "Sewage sludge amended soil" vermeld. Hieruit blijkt dat de gemeten resultaten m.b.v de koningswaterdestruktie overeenkomen met de gecertificeerde waarden.

Beproefing van gereinigde grond, deelrapport I.

pagina 16.

Tabel 3: Elementgehalten (mg/kgds) na koningswaterdestructie

	As	Ba	Ca	Cd	Co	Cr	Cu	K	Mg	Mo	Na	Ni	Pb	Sb	Se	Sn	V	Zn	Hg
Duin en Kruidberg	7.1	11.4	4050	0.33	1.2	5.1	4.1	445	780	< 4	203	3.2	32	< 0.6	1.5	7.7	26	0.20	
Het Wielrijk	1.2	3.6	330	0.06	< 0.2	1.0	0.9	148	82	< 4	104	0.3	23	< 0.6	1.2	3.2	6.5	0.06	
Bruneense heide	6.2	5.7	117	< 0.02	0.3	3.2	0.4	182	119	< 4	71	1.3	10.4	< 0.6	1.0	3.6	6.8	0.06	
Norgerholt	1.7	4.2	194	0.04	< 0.2	2.0	1.7	189	79	< 4	82	0.6	26	< 0.6	1.4	4.3	6.6	0.11	
Spelderholt	5.4	7.9	156	0.14	0.5	4.1	2.0	312	249	< 4	142	3.5	19.3	< 0.6	1.7	5.4	12.3	0.13	
Eeracherbroek	1.2	7.9	90	0.10	< 0.2	2.2	4.1	189	60	< 4	87	1.1	12.5	< 0.6	0.6	2.3	4.5	0.14	
Fochtelöerveen	2.6	6.0	167	0.13	< 0.2	3.7	2.3	228	120	< 4	59	1.9	7.6	< 0.6	1.1	3.4	6.9	0.19	
Filosofendal	5.5	10	374	0.31	0.8	6.3	3.3	339	614	< 4	213	3.7	29	< 0.6	2.5	8.1	15.2	0.14	
Harrense Wildernis	7.9	39	4430	0.74	1.1	8.6	12.3	676	559	< 4	395	5.0	95	< 0.6	1.5	25	46	0.38	
Hernese bos	4.5	8.4	144	0.07	0.5	3.9	4.9	314	227	< 4	120	2.1	30	< 0.6	1.4	6.3	14.1	0.13	
Wiedachten	7.8	10.1	250	0.17	2.4	5.9	7.1	387	318	< 4	181	3.5	46	< 0.6	6.8	10.8	16.8	0.22	
Korenburgerveen	9.7	27	3500	0.84	1.2	9.8	6.0	249	297	< 4	217	7.0	51	< 0.6	2.5	14	27	0.29	
Het Kleibos	8.5	15.2	619	0.03	0.9	5.6	5.7	562	452	< 4	260	3.8	30	< 0.6	1.6	13	4.4	0.14	
Gibbos	17.9	35	340	0.21	3.7	20	12.1	699	738	< 4	380	10.5	95	< 0.6	10.5	22	41	0.26	
Zegveld	24	125	4020	1.27	1.9	21	16.1	990	1420	< 4	469	17.7	89	< 0.6	2.7	31	40	0.33	
Letteberter Pettet	0.9	43	4340	0.53	5.6	25	10.9	1610	2040	< 4	902	11.7	< 1	< 0.6	7.6	38	40	0.29	
Beverwierde	23	185	3890	0.08	11	38	26	2340	6140	< 4	914	40	50	< 0.6	21	43	98	0.17	
Linschoten	4.1	208	5190	0.56	13	45	27	2410	6310	< 4	898	43	57	< 0.6	28	54	118	0.30	
Eendenhoek 't Groot	37	243	7437	0.74	12	47	31	2410	7090	< 4	950	43	55	< 0.6	28	54	127	0.28	
gemiddelde bovenl.*	11.2	52.4	2090	0.33	2.9	13.5	9.4	722	1450	< 4	350	10.7	39.8	< 0.6	6.4	18.4	34.2	0.20	
S.D. *	12.0	76.7	2340	0.35	4.3	14.9	9.3	798	2310	< 4	321	14.6	28.5	< 0.6	---	9.1	38.4	0.09	
Het Wielrijk	(0)	< 0.6	4.4	67	< 0.02	0.6	< 0.6	180	34	< 4	64	< 0.2	1.1	< 0.6	< 0.6	1.9	1.6	< 0.04	
Bruneense heide	(0)	3.7	7.3	143	< 0.02	0.5	3.5	0.8	311	173	< 4	73	1.5	4.4	< 0.6	1.0	2.7	2.7	0.09
Norgerholt	(0)	3.7	6.0	18	< 0.02	0.4	4.1	1.4	284	263	< 4	95	1.7	2.1	< 0.6	0.9	6.9	7.8	0.07
Filosofendal	(0)	2.0	14.4	169	< 0.02	1.4	6.4	1.2	196	568	< 4	99	4.8	10.5	< 0.6	1.1	6.8	13.3	0.09
Kleibos	(0)	8.5	33.0	790	< 0.02	2.3	9.3	2.8	644	671	< 4	327	3.8	5.5	< 0.6	0.8	18	16.5	< 0.04
Beverwierde	(0)	38	426	7910	0.09	14	61	34	3120	8660	< 4	903	51	21.0	< 0.6	33	72	97	0.17
gemiddelde onderl.*	9.3	82	1516	0.02	3.1	14.2	6.7	789	1728	< 4	260	10.5	7.4	< 0.6	6.1	18.1	23.2	0.07	
S.D. *	14.3	169	3144	0.04	5.4	23.1	13.4	1154	3404	< 4	330	19.9	7.4	< 0.6	---	13.2	27.0	0.06	

(0) = onderlaag

\* In de berekening van het gemiddelde en de standaarddeviatie zijn de ondergrenzen als waarde van nul meegenomen.

S.D. = standaarddeviatie van de steekproef.

onderstrekte waarden zijn overschrijdingen G-waarden concept Bouwstoffenbestuit (Bijlage VIII).

#### 4.1.2 pH, organisch koolstof, lutum en CEC

In tabel 4 zijn de resultaten van pH, CEC en de gehalten aan organisch koolstof en lutum van de onderzochte gronden vermeld. De monsters zijn gerangschikt naar oplopend lutumgehalte.

Tabel 4: pH, gehalten organisch koolstof (%), lutum (%), CEC (meq/100g).

	pH(H <sub>2</sub> O)	pH(KCl)	org. koolstof	lutum	CEC
Duin en Kruidberg	6.8	6.3	3.9	0.7	8.0
Het Wildrijk	3.9	2.8	4.7	0.8	10.6
Drunense heide	4.0	2.9	2.0	1.1	4.7
Norgerholt	3.6	2.5	12.1	1.3	16.3
Spelderholt	3.8	3.0	2.6	1.5	8.3
Beracherbroek	3.6	2.8	3.1	1.9	3.4
Fochteloërvleen	3.7	2.8	4.9	2.0	17.9
Filosofendal	4.2	3.4	2.2	2.2	5.0
Harense Wildernis	4.1	3.3	33.1	2.7	78.0
Hernese bos	3.6	2.8	3.8	2.7	9.1
Middachten	3.7	2.9	4.9	3.0	14.2
Korenburgerveen	4.3	3.6	13.5	3.7	37.9
Het Kleibos	4.0	2.9	4.2	6.2	14.0
Bibos	4.0	3.2	4.8	8.5	15.3
Zegveld	4.3	3.3	27.3	16.0	60.7
Lettelberter Petten	4.4	3.7	17.7	25.5	42.5
Beverweert	5.3	3.8	3.0	28.2	24.6
Linschoten	5.4	3.7	4.5	40.8	26.9
Eendenkooi 't Broek	5.6	4.4	6.5	47.0	27.2
Het Wildrijk (o)	4.1	3.3	0.3	0.5	1.0
Drunense heide (o)	4.2	4.0	0.3	1.1	1.5
Norgerholt (o)	4.2	3.9	2.0	1.9	4.7
Filosofendal (o)	4.6	3.7	0.5	3.5	2.9
Het Kleibos (o)	4.5	3.2	2.1	16.7	8.8
Beverweert (o)	6.7	5.6	3.4	53.1	28.9

(o) = onderlaag

Uit deze tabel volgt ondermeer dat de onderzochte grondmonsters:

- zwak zuur ( $5 < \text{pH} < 7$ ) tot sterk zuur reageren ( $\text{pH} < 5$ );
- het organische stofgehalte van minder dan 2,5 % (humusarm) tot meer dan 30 % (zeer humeus tot venig) varieert;
- het lutumgehalte varieert van 0,5 % (kleiarm) tot 53 %. De meeste gronden hebben een lutumgehalte kleiner dan 10 %.
- het CEC tussen de 1 en 78 meq/100g varieert.

#### 4.1.3 PAK

In bijlage I zijn de volledige resultaten per afzonderlijke EPA-PAK weergegeven. In tabel 5 zijn zowel de totaal 10 PAK en als de totaal 16 PAK concentraties vermeld. De totaal 10 PAK is de som van de 10 PAK's, genoemd in de Leidraad Bodembescherming [14]. De totaal 16 PAK concentratie is de som van de 16 EPA-PAK. De totaal PAK concentraties zijn als range aangegeven, indien de concentratie van één of meer PAK's onder de detectiegrens ligt, waarbij voor de concentraties onder de detectiegrens bij de bepaling van de ondergrens uitgegaan is van de waarde nul en bij de bepaling van de bovengrens van de detectiegrens.

Tabel 5: Totaal concentratie 10 PAK en 16 PAK (mg/kgds) in de onderzochte natuurgebieden

	10 PAK	16 PAK		10 PAK	16 PAK
Duin en Kruidberg	0.2 - 0.4	0.3 - 1.2	Middachten	0.2 - 0.5	0.3 - 1.2
Het Wildrijk	0.5 - 0.7	0.8 - 1.7	Korenburgerveen	0.4 - 0.6	0.6 - 1.4
Drunense heide	0.1 - 0.4	0.1 - 1.1	Het Kleibos	0.1 - 0.4	0.2 - 1.1
Norgerholt	0.2 - 0.3	0.4 - 1.2	Bibos	0.8 - 0.9	1.3 - 2.0
Spelderholt	0.1 - 0.4	0.1 - 1.1	Zegveld	0.3 - 0.5	0.5 - 1.4
Eerachterbroek	0.02- 0.3	0.04- 1.1	Letteberter Petten	0.2 - 0.5	0.4 - 1.2
Fochtelooërveen	0.03- 0.4	0.03- 1.1	Beverweert	0.3 - 0.6	0.7 - 1.6
Filosofendal	2.1 - 2.2	3.6 - 4.1	Linschoten	0.2 - 0.4	0.2 - 1.2
Harense Wildernis	0.4 - 0.6	0.6 - 1.5	Eenderkooi 't Broek	0.1 - 0.4	0.4 - 1.3
Hernese bos	0.2 - 0.4	0.3 - 1.2			

Onderstreep = overschrijding G-norm van concept Bouwstoffenbesluit

De totaal 10 PAK en totaal 16 PAK concentratie in de onderzochte grondmonsters is over het algemeen kleiner dan 1 mg/kgds respectievelijk 2 mg/kgds. Grondmonster Filosofendal is hierop een uitzondering en overschrijdt tevens de G-norm voor de 10 PAK van het concept Bouwstoffenbesluit. Mogelijk dat deze grond door anthropogene bronnen in de nabije omgeving via de atmosfeer verontreinigd is.

#### 4.2 Uitlooging

##### 4.2.1 Kolomproef

De volledige resultaten zijn opgenomen in de bijlagen:

- verloop van de concentratie, Eh (11 grondmonsters) en de emissie versus L/S (grafische presentatie; Bijlage II);
- maximaal gemeten concentratie met bijbehorende L/S-waarde (Bijlagen III en IV);
- cumulatieve emissie ( $E_{10}$ ) ten opzichte van de samenstelling (Bijlage V; tabel 1).
- procentuele emissie bij cumulatieve L/S van 0,5 en 10 ten opzichte van de maximale beschikbaarheid ( $E_{200}$ ) (Bijlage V; tabel 2).

In tabel 6 zijn de uiterste waarden van pH, geleidbaarheid ( $\mu\text{S}/\text{cm}$ ) en concentratie ( $\mu\text{g/l}$ ) van de percolaten van de kolomproef vermeld.

Tabel 6: Zuurgraad-, geleidbaarheid ( $\mu\text{S}/\text{cm}$ )- en concentratierange ( $\mu\text{g/l}$ ) van de percolaten van de kolomproef.

Element	Gehalten $\mu\text{g/l}$	Element	Gehalten $\mu\text{g/l}$
pH	3.0 - 7.5	Mo	<20 - 95
$K_{20}$	27 - 1704	Ni	<10 - 150
As	< 3 - 167	Pb	< 5 - 400
Ba	< 5 - 1189	Sb	< 5 - 16
Cd	<0.5 - 39	Se	< 5 - 40
Cr	<2 - 53	Sn	< 5 - 9.2
Co	< 5 - 168	V	<10 - 217
Cu	< 1 - 120	Zn	< 5 - 4016
Hg	<0.2 - 14		
Element	Gehalten $\text{mg/l}$	Element	Gehalten $\text{mg/l}$
Ca	0.24 - 291	Mg	0.02 - 48
K	0.24 - 67	Na	< 0.05 - 110

#### Concentratieverloop versus L/S

Het concentratieverloop als functie van de L/S voor de kolomproef is te onderscheiden in globaal drie verschillende patronen, namelijk:

- een initiële verhoging in de eerste fractie;
- een maximum bij hogere L/S verhouding (piekuitloping);
- een constant concentratieverloop.

Het eerste patroon komt het meest voor. In het bijzonder voor As is het tweede patroon overheersend. Voor de overige elementen komt het tweede patroon incidenteel voor. Het derde patroon komt slechts zelden voor.

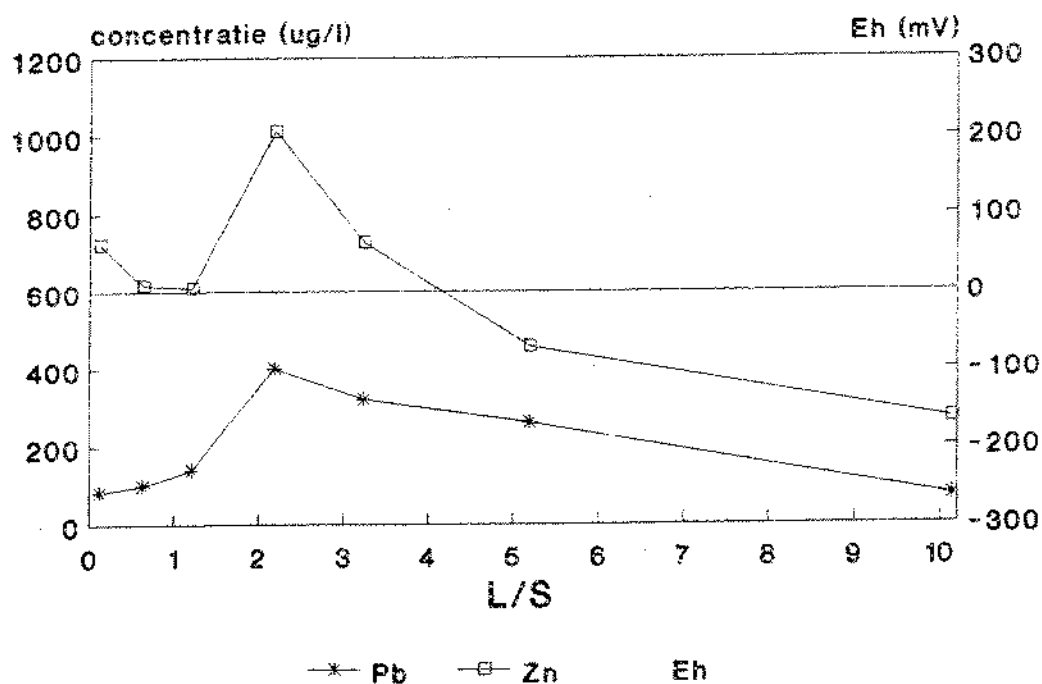
Initiële piekafgifte blijkt in het algemeen op te treden bij de kationogene metalen. De grootte van de initiële piekafgifte vertoont een grote variatie binnen de onderzochte gronden. Deze piekafgifte kan worden verklaard doordat met name de zouten aan het oppervlak van de gronddeeltjes onder de heersende omstandigheden c.q. lage pH, relatief makkelijk mobiliseerbaar zijn en afspoelen bij een eerste contact met water. Daarnaast neemt in de kolom het vastleggend vermogen van grond, gerekend vanaf het moment van continue waterverzadiging, mogelijk toe in de tijd [15].

Een aantal grondsoorten laat echter voor deze elementen een duidelijk ander patroon zien, namelijk een maximum bij hogere L/S waarden. Uit het gemeten verloop van de redoxpotentiaal van het percolaat blijkt dat een daling in Eh voor een aantal kationogene metalen samenvalt met een maximum in het concentratieverloop. De geconstateerde (vertraagde) uitloping van deze elementen hangt mogelijk samen met de reducerende omstandigheden die voor een aantal grondmonsters, na een aantal doorspoelingen

(L/S 1-5), in de kolom optradën. In figuur 2 is dit verloop voor één grondmonster grafisch weergegeven. Gedurende de kolomproef is een duidelijke verandering in redoxpotentiaal (c.q. van oxiderend naar reducerend milieu) waargenomen bij met name humeuse en kleiige grondsoorten (Zegveld, Harense Wildernis en Norgerholt). Anaerobie kan leiden tot het in oplossing gaan van Fe- en Mn-oxides, waardoor zware metalen, geassocieerd met deze verbindingen, vrijkomen. Daarnaast kunnen onder anaerobe omstandigheden organische zuren gevormd worden die de mobiliteit van zware metalen kunnen verhogen.

Arseen vertoont over het algemeen een maximum bij hogere L/S waarden. Een directe relatie met de redoxpotentiaal en het voorkomen van een piekuitloping is voor arseen niet eenduidig. Dit geldt overigens ook voor de andere anionogene metalen.

Figuur 2: Verloop van Eh en concentratie van Pb en Zn in het percolaat van de kolomproef voor Harense Wildernis.



De pH van de percolaten is over het algemeen laag ( $\text{pH} \leq 4$ ), met uitzondering van de gronden met een relatief hoog lutumgehalte (Zegveld, Lettelberter Petten, Beverweert, Linschoten) en Duin en Kruidberg. Ze vertonen een geleidelijke, doch lichte stijging van 0.6 tot 2.3 pH-eenheden bij toenemende L/S.

### Relatie tussen pH en concentratie

In Bijlage IV is het verband tussen de maximale concentratie van een aantal elementen en de pH van de kolomproef grafisch weergegeven. De pH van de percolaten ligt tussen 3 en 7,5, maar is over het algemeen laag ( $\text{pH} \leq 3\text{-}4$ ). Binnen deze pH-range is geen duidelijk verband tussen de maximale concentraties en de pH aangetoond. Uit Bijlage VI blijken de kationogene metalen over het algemeen de hoogste concentraties in de percolaten met lage pH's te geven. Voor As worden bij neutrale pH's de hoogste concentraties aange troffen.

### Cumulatieve emissie ( $E_{10}$ )

In tabel 7 is de berekende cumulatieve emissie ( $E_{10}$ ) van de kolomproef voor de onderzochte grondmonsters weergegeven. Tevens zijn in deze tabel de overschrijdingen van de U1-norm van het ontwerp Bouwstoffen besluit onderstreept. Het percentage overschrijdingen van de U1-norm voor de elementen As, Cd, Ni, Pb, Zn en Hg liggen tussen 10 % - 40 %. In tegenstelling tot samenstelling kan voor deze elementen dus niet gesteld worden dat de emissie uit het merendeel (90%) van de onderzochte natuurerreinen aan de normwaarde voldoet.

De  $E_{10}$  is als range aangegeven, indien de concentratie in één of meer van de fracties van de kolomproef onder de detectiegrens ligt. Bij de bepaling van de bovengrens is voor de concentraties onder de detectiegrens gerekend met de detectiegrens-waarde. Zelfs in die gevallen, waarbij de concentratie in alle fractie's onder de detectiegrens ligt, blijkt voor de elementen Mo, Sb en Se de bovengrens van de cumulatieve emissie ( $E_{10}$ ) boven de U1-norm te liggen. Voor een toetsing aan de U1-norm blijken de gebruikte analysemethoden voor deze elementen niet gevoelig genoeg.

De  $E_{10}$  van de onderzochte elementen, met uitzondering van Mo, Sb en Sn ligt voor vrijwel alle grondmonsters afkomstig uit de bovenlaag op een detecteerbaar niveau. Dit geldt in beduidend mindere mate voor de grondmonsters afkomstig uit de onderlaag. Hierbij zij opgemerkt dat door de vaak lage concentraties de onzekerheid in  $E_{10}$  aanzienlijk kan zijn. Dit geldt met name wanneer de  $E_{10}$  als range is aangegeven. Een beoordeling of onderlinge vergelijking van deze waarden wordt hierdoor bemoeilijkt. Over het algemeen ligt de  $E_{10}$  van de elementen As, Ba, Cu en Pb ruimschoots boven de detectielimiet. Dit geldt tevens voor de  $E_{10}$  van de macro-elementen K, Mg, Ca en Na.

De cumulatieve emissie ( $E_{10}$ ) t.o.v. de samenstelling (koningswater) uitgedrukt als percentage is in Bijlage V (tabel 1) vermeld. Met name in tabel 2 van Bijlage V, waar de procentuele emissie bij een cumulatieve L/S van 0,5 en 10 t.o.v. de beschikbaarheid staan vermeld, staan voor verschillende grondmonsters percentages vermeld die groter zijn dan 100%. Deze onrealistische percentages zijn mogelijk toe te schrijven aan een grote onnauwkeurigheid in de bepaling van de beschikbaarheid die geïntroduceerd wordt bij de omrekening van lage concentraties naar emissies. De gemeten concentraties in deze extracten van de beschikbaarheidstest (4.2.2) liggen op het nivo van de detectiegrens, waar de onnauwkeurigheid relatief hoog is.

Uit tabel 2 van Bijlage V kan worden vastgesteld dat over het algemeen initiële piekafgifte in geringe mate doorwerkt in de hoogte van  $E_{10}$ . Meer bepalend voor de hoogte van  $E_{10}$  is het concentratie niveau van de vervolgafgifte. Dit betekent dat de bulk van de uitloogbare fractie ( $E_{10}$ ) niet direct uitspoelt bij een eerste kontakt met (aangezuurd) water. Een uitzondering hierop vormt Na, hetgeen in overeenstemming is met de hoge mobiliteit van dit element in grond. In de eerste twee fracties (L/S 0 - 0,5) is ten opzichte van de  $E_{10}$  van Na voor de meeste grondmonsters gemiddeld reeds 50% uitgespoeld.

Het verband tussen  $E_{10}$  en andere onderzochte parameters wordt in hoofdstuk 5 meer uitvoerig behandeld.

Beoordeling van gereinigde grond, deelrapport 1.

pagina 23.

Tabel 7: Cumulatieve emissie (mg/kgds) bij L/S=10 ( $E_{10}$ ).

	As	Ba	Ca	Ed	Co	Cr	Cu	K	Mg	Mo
Duin en Kruisberg	0,36-0,37	0,24	463	0,005-0,007	0,02-0,05	0,00-0,02	0,07	56	62	0-0,20
Het Wildrijk	0,03	0,02-0,06	11	0,002-0,006	0,00-0,05	0,01-0,02	0,14	27	3	0,02-0,20
Drunense heide	0,13	0,03-0,07	6	0,005-0,007	0,00-0,05	0,08	0,20	14	2	0-0,20
Norgerholt	0,08	0,09-0,10	16	0,002-0,006	0,00-0,05	0,04	0,10	56	7	0,48-0,58
Spelderholt	0,38	1,36	11	0,008-0,010	0,00-0,05	0,06	0,13	21	5	0-0,20
Ferachersbroek	0,15	0,19	9	0,006-0,009	0,00-0,05	0,00-0,02	0,11	17	3	0-0,20
Fochtelöörveen	0,04-0,05	0,11	13	0,003-0,005	0,00-0,05	0,10	0,08	21	8	0-0,20
Filosoefendaal	0,39	0,10-0,11	61	0,004-0,007	0,03-0,06	0,09	0,25	37	10	0-0,20
Sarensche Wildernis	0,63	1,00	498	0,034	0,02-0,06	0,15	0,22	232	88	0-0,20
Harnesse bos	0,18	0,11	13	0,004-0,007	0,03-0,06	0,02-0,03	0,20	31	6	0-0,20
Middeleit	0,88	0,30	36	0,018	0,02-0,06	0,00-0,02	0,34	56	12	0-0,20
Korenburgerveen	1,16	0,41	236	0,022	0,00-0,05	0,00-0,02	0,22	36	15	0-0,20
Het Kleibos	0,50	0,30	72	0,009	0,00-0,05	0,02-0,04	0,19	57	14	0-0,20
Gibbos	0,95	0,56	62	0,026	0,00-0,07	0,00-0,02	0,39	74	11	0-0,20
Zegveld	0,79	1,32	305	0,023	0,04-0,07	0,11	0,18	56	49	0,01-0,21
Lettelberter Petten	0,21	0,44	500	0,011-0,013	0,037	0,14	0,13	89	67	0-0,20
Beverweert *	0,08	0,36	156	0,001-0,002	0,10	0,00-0,01	0,16	14	37	0-0,14
Linschoten	0,12	0,46	261	0,003-0,004	0,12	0,05	0,16	20	48	0-0,20
Eendenkooi 't Broek	0,10	0,62	453	0,001-0,003	0,14	0,03	0,19	19	71	0-0,20
Het Wildrijk (o)	0,01-0,02	0,01-0,04	11	0,006-0,007	0,00-0,01	0,00-0,01	0,01-0,02	11	4	0-0,20
Drunense heide (o)	0,00-0,01	0,72	5	0,008	0,00-0,01	0,01	0,00-0,01	6	2	0-0,20
Norgerholt (o)	0,00-0,03	0,09-0,11	10	0,007	0,00-0,05	0,01-0,02	0,03-0,04	20	3	0-0,20
Spelderholt (o)	0,00-0,01	0,15	17	0,005	0,03	0,00-0,01	0,06	16	4	0-0,19
Het Kleibos (o)	0-0,03	0,15	31	0,918	0,00-0,06	0-0,01	0,03	11	5	0-0,20
Beverweert + (o)	0,01	0,26	253	0,001	0,00-0,01	0-0,01	0,01	3	46	0-0,07

(o) = onderlaag

\* afwijkende L/S waarden  
onderstrekte waarden zijn overschrijdingen U1-waarden concept Bouwstoffenbestuif (Bijlage VI).

Beoordeling van gereinigde grond, deelrapport 1.

Vervolg Tabel 7.

	Na	Ni	Pb	Sb	Se	Sn	V	Zn	Hg
Duin en Kruisberg	34	0.01-0.10	0.05-0.07	0-0.05	0.03-0.04	0-0.05	0-0.10	0.28	0.001-0.002
Het Wijdrik	69	0.01-0.10	0.35	0-0.35	0-0.05	0.03-0.06	0.01-0.11	0.10-0.14	0.005
Drunense heide	11	0.02-0.11	0.29	0.01-0.05	0-0.05	0.06-0.07	0.05-0.13	0.24-0.25	0.001-0.003
Morgenholt	29	0.03-0.11	0.58	0-0.05	0-0.05	0-0.05	0.03-0.11	0.49	0.003
Spelderholt	15	0.03-0.12	0.32	0.00-0.05	0.01-0.03	0-0.05	0.06-0.11	0.46	0.001-0.002
Eerachterbroek	16	0.04-0.13	0.29	0-0.05	0.01-0.03	0.07-0.08	0.02-0.11	0.44	0-0.002
Fochtelöörveen	13	0.01-0.10	0.08	0-0.03	0-0.05	0-0.05	0.01-0.10	0.43	0-0.001
Filosofendaal	11	0.05-0.12	0.36	0.01-0.05	0-0.05	0-0.05	0.00-0.05	0.36	0.029
Harense Wildernis	105	0.44	1.74	0-0.05	0-0.06	0.00-0.05	1.03	4.74	0.004
Hernese bos	14	0.02-0.11	0.38	0.00-0.05	0-0.03	0-0.05	0.04-0.11	0.41	0.000-0.002
Middelt	19	0.29	1.04	0.02-0.06	0.01-0.03	0-0.05	0.38	1.51	0.001-0.002
Korenburgerveen	45	0.00-0.10	0.53	0-0.05	0-0.05	0-0.05	0.46	2.06	0.028
Het Kleibos	43	0.03-0.11	0.42	0-0.05	0.04-0.05	0.07-0.05	0.30	1.00	0.015-0.016
Bibos	20	0.03-0.12	1.50	0.05-0.07	0.04-0.05	0-0.05	0.41	2.36	0.013
Zegveld	203	0.93	0.52	0.01-0.05	0.05-0.09	0-0.05	0.41	1.94	0.005
Lettelberter Petten	76	0.90	0.08-0.11	0-0.05	0-0.05	0-0.05	0.36-0.37	0.76	0.009-0.011
Beverwijk *	35	0.42	0.03	0-0.02	0-0.04	0-0.04	0-0.07	0.37	0-0.001
Linschoten	52	0.47	0.03-0.06	0-0.03	0-0.05	0-0-0.05	0-0.10	0.34	0-0.001
Eendenkooi 't Brook	114	0.36	0.01-0.03	0-0.03	0.01-0.06	0-0.05	0-0.19	0.25	0-0.001
Het Wijdrik (o)	10-11	0.01	0.06	0-0.01	0-0.01	0.00-0.05	0-0.10	0.27	0-0.001
Drunense heide (o)	3	0.01-0.12	0.02-0.03	0-0.01	0-0.01	0-0.05	0-0.10	0.56	0-0.001
Morgenholt (o)	10	0.01-0.10	0.00-0.05	0-0.05	0-0.01	0-0.05	0-0.10	0.29	0.003
Filosofendaal (o)	4	0.01-0.02	0.01-0.02	0-0.01	0-0.01	0-0.05	0-0.10	0.57	0-0.001
Het Kiebos (o)	18	0.00-0.01	0.00-0.03	0-0.03	0-0.05	0-0.05	0-0.10	0.14-0.15	0-0.001
Boyerwijk (o)	52	0.00-0.01	0-0.01	0-0.01	0-0.02	0-0.02	0-0.04	0.01-0.02	0-0.001

(o) = onderlaag

afwijkende t/s waarden  
onderstrekte waarden zijn overschrijdingen U1-waarden concept Bouwstoffenbesluit (bijlage VIII).

#### 4.2.2 Beschikbaarheid

De volledige resultaten van de beschikbaarheidsproef zijn opgenomen in Bijlage VI en VII. In tabel 8 is de beschikbaarheid ( $E_{200}$ ) vermeld.

In beide extractiestappen liggen voor (vrijwel) alle onderzochte grondmonsters de metaalconcentraties van As, Co, Cr, Mo, Sb, Se, Sn, V en Hg op de detectiegrens. De concentratie van de overige zware metalen ligt in één of beide extracten over het algemeen op een detecteerbaar niveau. De concentratie van de macro-elementen Ca, K, Na en Mg liggen in beide extracten eveneens op een detecteerbaar niveau.

Bij enkele grondmonsters zijn de uitloogpercentages meer dan 100%. Die overschrijdingen kunnen toegeschreven worden aan een grote afwijking die geïntroduceerd wordt bij omrekening van lage concentraties naar emissies (omrekeningsfactor van 200). Het spreekt voor zich dat deze afwijking relatief hoog is bij een lage samenstellingsconcentratie.

Het verband tussen  $E_{200}$  en andere onderzochte parameters worden in een afzonderlijk hoofdstuk besproken (Hoofdstuk 5).

Beoordeling van gereinigde grond, deelrapport 1.

pagina 26.

Tabel 8: Beschikbaarheid (mg/kgds) bij L/S-ratio van 200

	As	Ba	Ca	Cd	Co	Cr	Cu	K	Mg	Mo	Na	Ni	Pb	Sb	Se	Sn	V	Zn	Hg
Duin en Kruidberg	0-0.6	2.1-2.4	2910	0.17-0.19	0-0.2	0-0.2	265	149	0-4	16	0-0.2	0-0.6	0-1	0-0.6	0-2	19.8	0-0.02		
Het Wildrijk	0-0.6	0-0.6	45-46	0.25	0-0.2	0-0.2	0-0.2	111	23-24	0-4	22	0-3	0-2-0.3	0-0.2	0-0.6	0-2	2.1	0-0.02	
Drunense Heide	0-0.6	0.5-0.8	25	0-0.04	0-0.2	0-0.2	0-0.2	78	20	0-4	9-10	0-0.2	0-0.6	0-0.6	0-0.6	0-2	1.4-1.7	0-0.02	
Norgerholt	0-0.6	0-0.6	9-10	0-0.02	0-0.2	0-0.2	0-0.2	88	14	0-4	7-13	0-0.2	0-0.2	0-0.2	0-0.6	0-2	0-0.6	0-0.02	
Spelderholt	0-0.6	0.6-0.9	24-25	0.06-0.08	0-0.2	0-0.2	0-0.2	412	18	0-4	2-3	0-0.2	0-0.6	0-0.6	0-0.6	0-2	6.9-7.2	0-0.02	
Eerachterbroek	0-0.6	2.4	13-14	0-0.04	0-0.2	0-0.2	0-0.2	116	11	0-4	0-2	0-0.2	0-0.6	0-0.6	0-0.6	0-2	1.7	0-0.02	
Fochtelöörven	0-0.6	0.4-0.7	54	0.39	0-0.2	0-0.2	0-0.2	164	30	0-4	49	0-0.2	0-0.6	0-0.6	0-1	0-0.6	2.8	0-0.02	
Filosofendaal	0-0.6	0.7-1.0	132	0.08-0.10	0-0.2	0-0.2	0-0.2	231	35	0-4	4-5	0-0.5	0-0.9	0-0.9	0-0.6	0-1	0-0.6	2.6	0-0.02
Harrense Wildernis	0-4-0.7	0.8-1.1	711	0-0.04	0-0.2	0-0.2	0-0.2	421	147	0-4	63	0-0.2	1.3	0-0.6	0-1	0-0.6	0-2	12.4	0-0.02
Hernesse bos	0-0.6	0.4-0.7	32	0-0.04	0-0.2	0-0.2	0-0.2	402	20	0-4	2-3	0-0.2	0-3-0.6	0-0.6	0-1	0-0.6	0-2	4.3-4.6	0-0.02
Middachten	0-0.6	1.0-1.3	59	0-0.06	0-0.2	0-0.2	0-0.2	197	49	0-4	0-2	0-0.5	1.2	0-0.6	0-1	0-0.6	0-2	4.7	0-0.02
Korenbuurgerven	0-0.6	1.7-2	978	0.05-0.07	0-0.2	0-0.2	0-0.2	106	48-49	0-4	199	0-0.2	0-0.6	0-1	0-0.6	0-2	13.9	0-0.02	
Het Kleibos	0-0.6	0.6-0.9	152	0-0.04	0-0.4	0-0.2	0-0.2	159	34	0-4	23-28	0-0.2	0-4-0.7	0-0.6	0-1	0-0.6	0-2	1.7	0-0.02
Ribbos	0-0.6	0-0.6	124	0-0.04	0-0.2	0-0.2	0-0.2	149	36	0-4	30	0-0.2	2.1	0-0.6	0-1	0-0.6	0-2	29.5	0-0.02
Zegveld	0-6-0.9	4.5	742	0.54	0.7	0-0.2	0.7	212	130	0-4	273	1.1	1.6	0-0.2	0-0.2	1-2	5.2	0-0.02	
Lettelberter Petten	0-0.6	2.2-2.5	1480	0.99	0-0.2	0-0.2	0-0.2	350	173	0-4	4-5	0-0.2	0-0.6	0-1	0-0.6	0-2	21.0	0-0.02	
Beverveert	0-0.6	12	1138	0.05-0.07	0-0.7	0-0.2	0-0.3-0.4	207	253	0-4	35	2.4	0-6-0.9	0-0.6	0-1	0-3-0.6	0-2	0-3-0.6	0-0.02
Linschoten	0-0.6	12	1667	0.06-0.08	0-0.2	0-0.2	0-0.2	188	286	0-4	155	1.2	0-0.6	0-0.6	0-1	0-0.6	0-2	29.3	0-0.02
Eendenkooi 't Broek	0-0.6	17	18	2700	0	0.48	0-0.2	0.7	255	356	0-4	121	0.8-0.9	0-0.6	0-1	0-0.6	0-2	22.3	0-0.02
Het Wildrijk (o)	0-0.6	1.8-2.1	40	0.25	0-0.2	0-0.2	0-0.2	230	16	0-4	32	0-0.2	0-0.2	0-0.2	0-0.2	0-2	2.6	0-0.02	
Drunense Heide (o)	0-0.6	2.1	2-3	0-0.04	0-0.2	0-0.2	0-0.2	75	14	0-4	0-2	0-3-0.4	0-0.6	0-1	0-0.6	0-2	0-0.6	0-0.02	
Norgerholt (o)	0-0.6	0.5-0.8	10	0.82	0-0.2	0-0.2	0-0.2	211	7-8	0-4	0-10	0-2-0.3	0-0.2	0-0.2	0-0.6	0-2	3.0	0-0.02	
Filosofendaal (o)	0-0.6	3.7-4.1	83	0.55-0.57	5.0	0-0.2	0-1-0.2	177	24	0-4	10-11	1.3	0-0.6	0-0.6	0-1	0-0.6	0-2	0.4-0.7	0-0.02
Kleibos (o)	0-0.6	3.4-3.7	330	0.07	2.2-2.3	0-0.2	0-0.2	212	54	0-4	13-18	0.7-0.8	0-0.6	0-0.6	0-1	0-0.6	0-2	0-0.6	0-0.02
Beverveert (o)	0-0.6	31	3128	1.20	1.5-1.6	0-0.2	0-0.2-0.3	216	496	0-4	71	1.8	0.4-0.7	0-0.6	0-1	0-0.6	0-2	10.1	0-0.02

(o) = ondertotaag

## 5 STATISTISCHE EVALUATIE

### 5.1 Algemeen

Met correlatie- en factoranalyse [16] zijn de meetresultaten zoals vermeld in tabel 3, 4, 7 en 8 onderzocht op correlatiepatronen die voor de gehele groep van onderzochte gronden geldig zijn. In het statistisch onderzoek is geen onderscheid gemaakt tussen een boven- en ondergrond. De navolgende relaties zijn in het onderzoek per element onderzocht:

1. relatie tussen samenstelling en lutum,
2. relatie tussen samenstelling en organisch koolstof,
3. relaties tussen cumulatieve emissie (cum. L/S = 10) bij kolomproef en verschillende bodemparameters.

De elementgehalten onder de detectiegrens zijn als een waarde van nul in de statistische analyses meegenomen. Indien de concentratie in één of meer van de fracties van de kolomproef of in de extracten van de beschikbaarheidssproef onder de detectiegrens lag, is de ondergrens-waarde in de statistische analyse betrokken. De parameters waarvan het aantal kwantitatieve waarnemingen (d.w.z. een concentratie boven de detectiegrens) groter was dan 12, zijn in het statistische onderzoek betrokken. De elementen Mo, Sb en Se zijn daarom geheel niet in het onderzoek meegenomen. Om dezelfde reden is bij het statistische onderzoek aan de cumulatieve emissie bij de kolomproef ook het element Sn niet meegenomen. In het onderzoek aan de cumulatieve emissie bij de beschikbaarheidssproef zijn alleen de elementen Ba, Cd, Ca, K, Mg, Na, Ni en Zn betrokken.

#### 5.1.1 Relaties met elementgehalten

De lineaire correlatie-coëfficiënten en significantie voor de relaties tussen de gehalten aan 16 elementen enerzijds en de gehalten aan lutum en organisch koolstof anderzijds zijn vermeld in tabel 9.

Tabel 9: Lineaire correlatie-coëfficiënten voor relaties tussen gehalten aan 16 elementen enerzijds en gehalten aan lutum en organisch koolstof anderzijds.

Element	Aantal waarn.	LUTUM		ORGANISCH KOOLSTOF	
		Corr.coeff.	Significantie	Corr.coeff.	Significantie
As	25	0.88	+++	0.08	0
Ba	25	0.93	+++	0.05	0
Cd	25	0.30	0	0.77	+++
Ca	25	0.84	+++	0.40	+
Cr	25	0.97	+++	0.06	0
K	25	0.97	+++	0.09	0
Co	25	0.96	+++	0.03	0
Cu	25	0.93	+++	0.20	0
Pb	25	0.20	0	0.60	+++
Mg	25	0.96	+++	0.03	0
Na	25	0.93	+++	0.24	0
Ni	25	0.95	+++	0.03	0
Sn	25	0.94	+++	0.07	0
V	25	0.96	+++	0.23	0
Zn	25	0.91	+++	0.14	0
Hg	25	0.35	0	0.72	+++

0 niet significant

+, - significant  $0.05 < p < 0.1$

++, -- significant  $0.01 < p < 0.05$

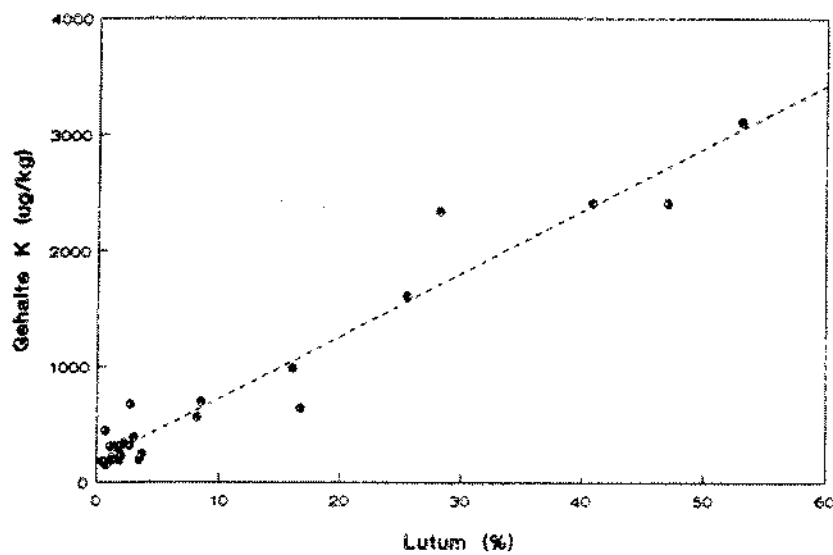
+++, --- significant  $p < 0.01$

Zeer hoge correlatie-coëfficiënten ( $r > 0.90$ ) zijn gevonden voor de elementen Ba, Cr, K, Co, Cu, Mg, Na, Ni, Sn, V en Zn. De relaties met lutum komen overeen met de door Edelman gevonden relaties.

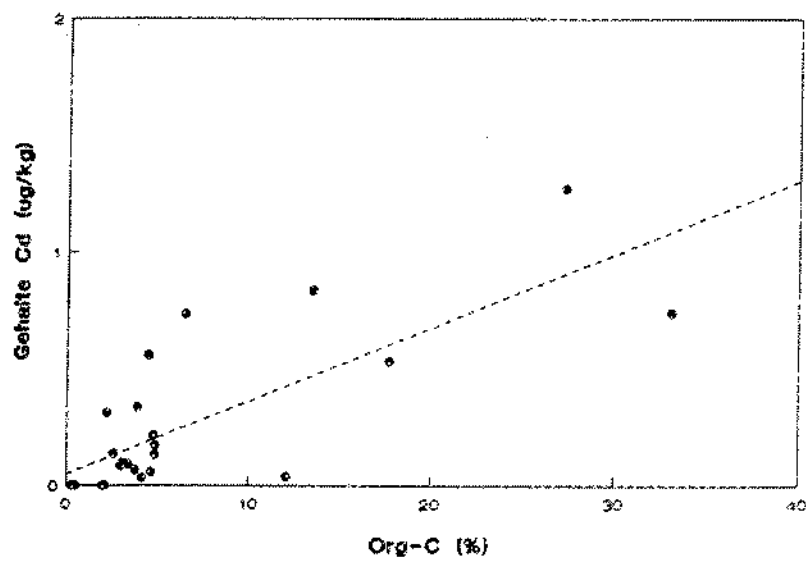
Voor een viertal elementen Ca, Cd, Pb en Hg zijn significante correlaties met organisch koolstof gevonden. De correlaties met organisch koolstof zijn minder sterk dan die met lutum. Door Edelman [1] zijn de relaties van de elementen Cd, Pb en Hg en organisch koolstof ook gevonden.

De hoge correlaties worden ten dele bepaald door een cluster van lage gehalten aan lutum en organisch koolstof (zie figuur 3 en 4). Ter illustratie is het verband tussen het gehalte aan lutum en K en tussen het gehalte aan organisch koolstof en Cd in figuur 3 en 4 uitgebeeld.

Figuur 3: Lutum versus gehalte K



Figuur 4: Org.-C versus gehalte Cd



Met behulp van stapsgewijze regressie zijn er regressielijnen berekend die het verband aangeven tussen het gemeten elementgehalte enerzijds en het gehalte aan lutum en organisch koolstof anderzijds (Model I).

### MODEL I

$$\text{Elementgehalte} = b_0 + b_1 * \text{lutum} + b_2 * \text{org C}$$

In tabel 10 zijn per element de constante  $b_0$ , significante ( $p < 0.05$ ) regressiecoëfficiënten ( $b_1$ ,  $b_2$ ), significantie van het model ( $p$ ) en determinatiecoëfficient ( $R^2$ ) weergegeven. De determinatiecoëfficient ( $R^2$ ) is een maatstaf voor de lineariteit van het verband tussen het elementgehalte enerzijds en het lutumgehalte en het gehalte aan organisch koolstof anderzijds. Bij een volkomen lineair verband gaat de regressielijn door alle punten en is  $R^2 = 1$ ; bij een los verband sluit de regressielijn minder goed aan bij alle punten en is  $R^2 < 1$ . De significantie van het model ( $p$ ) geeft de (on)betrouwbaarheid van de determinatiecoëfficient aan. Bij een  $p = 0.05$  kan met een betrouwbaarheid van 95 % gesteld worden dat  $R^2$  verschillend is van nul.

Tabel 10: Voor het elementgehalte: de constante  $b_0$ , significante ( $p < 0.05$ ) regressiecoëfficiënten ( $b_1$ ,  $b_2$ ), significantie van het model en determinatiecoëfficient ( $R^2$ ) per element

Element	$b_0$	$b_1$	$b_2$	$p$	$R^2$
As	3.2	0.7	-	0.0000	0.78
Ba	-	6.1	-	0.0000	0.87
Cd	-	0.006	0.03	0.0000	0.66
Ca	-	130	110	0.0000	0.83
Cr	2.2	1.0	-	0.0000	0.95
Co	-	0.3	-	0.0000	0.92
Cu	-	0.6	0.2	0.0000	0.89
K	183	54	-	0.0000	0.95
Mg	-	156	-	0.0000	0.92
Na	71	19	7.6	0.0000	0.90
Ni	-	0.95	-	0.0000	0.90
Sn	-	0.6	-	0.0000	0.88
Pb	18	-	2.1	0.0014	0.36
V	-	1.2	0.5	0.0000	0.97
Zn	-	2.2	-	0.0000	0.83
Hg	0.09	0.002	0.009	0.0000	0.63

- = de waarde is niet significant ( $p < 0.05$ ) verschillend van nul.

Uit tabel 10 blijkt alleen voor de elementen Cd, Ca, Cu, Na, V en Hg een relatie te bestaan tussen het elementgehalte en zowel het gehalte aan lutum als het gehalte aan organische koolstof. Met uitzondering van lood blijkt voor de andere elementen een verband te bestaan tussen het elementgehalte en alleen het gehalte aan lutum. Het loodgehalte heeft een relatie met alleen het gehalte aan organisch koolstof.

#### 5.1.2 Relaties met cumulatieve emissies ( $E_{10}$ ).

De relaties tussen de cumulatieve emissie ( $E_{10}$ ) en de navolgende parameters zijn per element onderzocht:

1. de samenstelling,
2. pH van de grond,
3. lutum,
4. organisch koolstof,
5. CEC,
6. de cumulatieve emissie ( $E_{200}$ ) bij de beschikbaarheidsproef,

Tevens is onderzocht welke onafhankelijke parameters of onafhankelijke combinatie van parameters te onderscheiden zijn. In tabel 11 zijn de significante correlaties ( $p < 0.1$ ) met de cumulatieve emissie ( $E_{10}$ ) weergegeven. In tabel 12 is per metaal de opbouw van de onafhankelijke factoren (I-III) weergegeven. Factor I is op te vatten als een variabele, die zoveel mogelijk variantie verklaart uit de oorspronkelijke variabelen. Voor factor II en III geldt hetzelfde, maar dan ten aanzien van de residuen, die overblijven na uitpartialisering van de invloed van de voorgaande factor(en). M.a.w. factor I is de meest verklarende factor en factor III de minst verklarende factor.

Tabel 11: Significante ( $p < 0.1$ ) correlaties per element met de cumulatieve emissie bij L/S=10.

Element	Samenst.	pH	Iutum	Org C	CEC	$E_{200}$
As	0	0	0	++	++	*
Ba	0	0	0	+++	+++	0
Cd	++	0	0	+++	+++	0
Ca	+++	+++	++	+++	+++	+++
Cr	0	0	0	+++	+++	*
K	0	0	0	+++	+++	0
Co	++	0	+	0	0	*
Cu	0	0	0	0	0	*
Pb	+++	-	0	+++	++	*
Mg	+++	+++	+++	+++	+++	+++
Na	++	0	++	+++	+++	+++
Ni	+	0	++	+++	+++	0
V	0	0	0	+++	+++	*
Zn	0	0	0	+++	+++	0
Hg	0	0	0	0	0	*

\* niet in statistisch onderzoek betrokken (kwant. waarnemingen &lt; 12)

0 niet significant

+, - significant  $0.05 < p < 0.1$ ++, -- significant  $0.01 < p < 0.05$ +++, --- significant  $p < 0.01$ 

Uit de correlatieanalyse aan de resultaten (Tabel 11) konden de navolgende conclusies met een significantie van  $> 95\%$  ( $p < 0.05$ ) worden getrokken:

1. Voor de macro-elementen Ca, Mg en Na is er sprake van een relatie tussen de cumulatieve emissie  $E_{10}$  (kolomproef) en  $E_{200}$  (beschikbaarheidsproef).
2. Voor de samenstelling correleren de elementen Cd, Ca, Co, Pb, Mg en Na met de cumulatieve emissie  $E_{10}$ .
3. Met uitzondering van Ca en Mg is er geen relatie tussen de zuurgraad van de grond en de cumulatieve emissie  $E_{10}$ .
4. Voor de meeste elementen is er geen sprake van een significante correlatie tussen het gehalte aan Iutum en de cumulatieve emissie  $E_{10}$ .
5. Met uitzondering van Co, Cu, en Hg is er een sterke correlatie tussen de cumulatieve emissie  $E_{10}$  enerzijds en het organisch koolstof en de kationuitwisselingscapaciteit (CEC) in de grond anderzijds.

Tabel 12: De opbouw van onafhankelijke factoren (I-III) per element

Element	Samenst.	pH	Lutum	Org C	CEC	$E_{10}$	$E_{200}$
As	I	I	I	II	II	III	
Ba	I	I	I	II	II	III	I
Cd	I	II	II	I	I	I	II/III
Ca	I	I	III	II	II	I	I
Cr	I	I	I	II	II	II	
Co	I	I	I	II	II	III	
Cu	I	I	I	II	II	III	
K	I	I	I	II	II	II	III
Mg	I	III	I	II	II	II	I
Na	II	II	II	I	I	I	III
Ni	I	I	I	II	II	II	I
Pb	III	II	II	I	I	III	
V	II	II	II	I	I	I	
Zn	I	I	I	II	II	II	III
Hg	I	II	II	I	I	III	

Uit de factoranalyse aan de resultaten konden drie min of meer onafhankelijke groepen van parameters worden onderscheiden, namelijk;

- de samenstelling, de zuurgraad en het lutumgehalte van de grond,
- het organisch koolstofgehalte en de kationen uitwisselingscapaciteit, vaak in combinatie met de emissie bij L/S=10 ( $E_{10}$ ) en
- de emissie bij L/S=200 ( $E_{200}$ ).

Binnen een factor zijn de parameters gecorreleerd. Uit deze factoren zijn het lutumgehalte en het organisch koolstofgehalte geselecteerd voor een stapsgewijze regressieanalyse. Op deze wijze zijn er regressielijnen berekend die het verband aangeven tussen de  $E_{10}$  enerzijds en het lutumgehalte en het gehalte aan organisch koolstof anderzijds (Model II).

## MODEL II

$$E_{10} = b_0 + b_1 * \text{lutum} + b_2 * \text{org C}$$

In tabel 13 zijn per element de constante  $b_0$ , significante ( $p < 0.05$ ) regressiecoëfficienten ( $b_1$ ,  $b_2$ ), significantie van het model ( $p$ ) en determinatiecoëfficient ( $R^2$ ) weergegeven.

Tabel 13: Voor de emissie L/S=10: de constante  $b_0$ , significante ( $p < 0.05$ ) regressiecoëfficienten ( $b_1$ ,  $b_2$ ), significantie van het model ( $p$ ) en determinatiecoëfficient ( $R^2$ ) per element

Element	$b_0$	$b_1$	$b_2$	$p$	$R^2$
As	-	-	0.02	0.017	0.23
Ba	0.21	-	0.025	0.004	0.31
Cd	0.005	-	0.0006	0.007	0.28
Ca	-	5.2	13	0.0001	0.59
Cr	-	-	0.004	0.0001	0.48
Co	-	-	-	-	-
Cu	0.12	-	-	0.000	0.07
K	-	-	4.42	0.0000	0.63
Mg	-	0.9	2	0.0000	0.67
Na	-	1.1	4.2	0.0000	0.73
Ni	-	0.007	0.02	0.0000	0.62
Pb	-	-	0.03	0.004	0.31
V	-	-	0.02	0.0000	0.65
Zn	-	-	0.10	0.0000	0.61
Hg	-	-	-	-	-

- = de waarde is niet significant ( $p < 0.05$ ) verschillend van nul

Uit tabel 13 blijkt alleen voor de elementen Ca, Mg, Na, en Ni een relatie te bestaan tussen de emissie bij L/S=10 met zowel het gehalte aan lutum als het gehalte aan organische koolstof. Met uitzondering van Co en Cu blijkt voor de andere elementen een verband te bestaan tussen de emissie bij L/S=10 en alleen het gehalte aan organisch koolstof.

## 5.2 Vergelijking met Edelman-onderzoek

De voor dit onderzoek gebruikte locatiegebieden zijn in overleg met het DLO-instituut voor Bos- en Natuuronderzoek (IBN) geselecteerd en zijn (op twee na) reeds eerder onderzocht in het Edelmanonderzoek. Enige voorzichtigheid is geboden bij het vergelijken van resultaten in beide onderzoeken omdat vooraf verschillen in monsterneming, exacte plaats en tijdstip van monsterneming, monstervoorbehandeling en bepalingsmethoden zijn aan te geven die van invloed kunnen zijn op de resultaten. Om toch enig inzicht te

krijgen in de verschillen zijn de resultaten van beide onderzoeken met behulp van een rang-tekentoets [17] vergeleken. Bij de praktische toepassing van de toets luidt de nulhypothese dat de verschillen tussen de beide onderzoeken niet significant verschillend van nul zijn. Voor de volgende parameters kon de nulhypothese ( $H_0$ ) bij een drempel van 5 % niet worden verworpen : pH, Org C, CEC, As, Cd, Ca, Cu, Pb en Ni. Voor de andere parameters lutum, Ba, Cr, K, Co, Mg, Na, V, Zn en Hg werd de  $H_0$  verworpen. Omdat de samenstelling afhankelijk is van het lutumgehalte (tabel 10), is vervolgens nagegaan of het gehalte aan lutum de verklarende parameter was voor de verschillen tussen beide onderzoeken. Nadat de resultaten gecorrigeerd waren voor het verschil in gehalte aan lutum bleek na een herhaling van de rang-tekentoets dat de verschillen voor de parameters Co, Mg en Zn verklaard konden worden. Van de overige parameters Ba, Cr, K, Na, V en Hg zijn met uitzondering van Hg de gehalten in dit onderzoek significant lager dan in het Edelmanonderzoek. Deze daling van het elementgehalte kan voor een deel verklaard worden uit het feit, dat Edelman voor de bepaling van deze elementen neutronen-aktivierings-analyse heeft toegepast. Hiermee worden ook de in het klezelzuurskelet ingesloten elementen bepaald in tegenstelling tot in dit onderzoek gebruikte ontsluiting met koningswater. Mogelijk dat Edelman door dit verschil hogere gehalten heeft gemeten. Voor de toename van gehalte aan Hg kan geen verklaring worden gegeven.

### 5.3 Vergelijking ondergrond met bovengrond

Op een zestal locaties zijn in dit onderzoek zowel de boven- als de ondergrond bemonsterd. Bij de vergelijking van de samenstelling van de bovengrond met die van de ondergrond is gebruik gemaakt van de rang-tekentoets om mogelijke verschillen aan te kunnen tonen. Voor de volgende parameters kon de nulhypothese ( $H_0$  = geen verschil) bij een drempel van 5 % worden verworpen : pH, Ba en Pb. De zuurgraad en het gehalte aan Ba zijn in de bovengrond significant lager dan in de ondergrond. Voor het gehalte aan Pb geldt het tegenovergestelde.

De cumulatieve emissie van zware metalen voor de grondmonsters ligt uit de toplaag gemiddeld beduidend hoger dan uit de ondertaag. Voor de elementen Na, K, Mg en Ca geldt het tegenovergestelde.



## 6. SLOTBESCHOUWING EN AANBEVELINGEN

Op grond van het uitgevoerde onderzoek kunnen de volgende algemene conclusies worden getrokken:

- Voor de meeste elementen, met uitzondering van Sn en Hg, en de totaal 10 PAK overschrijdt minder dan 10 % van de onderzochte natuurterreinen de G-norm van het concept Bouwstoffenbesluit. Dit is in overeenstemming met de definitie van de streefwaarde bodemkwaliteit, waarbij gesteld wordt dat het merendeel (90%) van de natuurterreinen aan deze waarde dient te voldoen. Het percentage overschrijdingen van de U1-norm voor de elementen As, Cd, Ni, Pb, Zn en Hg liggen tussen 10 % - 40 %.
- Uit de correlatieanalyse blijkt dat voor de meeste elementen sprake is van een signifante relatie tussen de samenstelling en het lutumgehalte enerzijds en tussen de cumulatieve emissie en het gehalte aan organische koolstof anderzijds.
- Met uitzondering van de elementen Ba, Cr, K, Na, V en Hg wijken de gevonden gehalten niet significant ( $p < 0,05$ ) af van de door Edelman [1] gevonden gehalten voor natuurgronden;
- Bij de vergelijking van de samenstelling van de bovenlaag met die van de onderlaag zijn over het algemeen geen significante verschillen aangetoond. De cumulatieve emissie ( $E_{10}$ ) van zware elementen ligt voor de bovenlaag gemiddeld beduidend hoger dan voor de onderlaag. Voor de elementen Na, K, Mg en Ca is echter van het tegenovergestelde sprake.
- Voor een aantal grondsoorten bleek een daling van de redoxpotentiaal samen te vallen met een maximum in het concentratieverloop. De geconstateerde uitloping van deze elementen hangt mogelijk samen met het verloop van de redoxpotentiaal. Om meer inzicht te krijgen in dit onderwerp is nader onderzoek noodzakelijk.



**REFERENTIES**

1. Edelman, Th., Achtergrondgehalten van stoffen in de bodem, BO-34, 1983.
2. Kamerman, J.W. en C.A.M. van Gestel, Beoordeling van gereinigde grond, III. De ontwikkeling van bioassays, RIVM-rapportnr. 216402003, juli 1991.
3. Gestel, C.A.M. van, E.M. Dirven- van Breemen en J.W. Kamerman, Beoordeling van gereinigde grond, IV. Toepassing van bioassays met planten en regenwormen op referentiegronden, RIVM-rapportnr. 216402004, 1992.
4. MAP Milieuonderzoek 1991-1995, RIVM, 1991.
5. Cleen, M. de, Een onderzoek naar achtergrondgehalten aan spoorelementen (zware metalen) in pleistocene zanden in Noord- en Zuid Limburg, Landbouw Universiteit Wageningen, 1988.
6. Temmerman, L.O. de, J.R. Istan en M. Hoenig, Onderzoek naar de "normale" gehalten aan spoorelementen in aantal Belgische bodems als basis van de detectie en het onderzoek van bodemvervuiling, Landbouwtijdschrift nr.2, jaargang 35, 1982.
7. Ontwerp NVN 5770, Bodem en slib -- Monstervoorbehandeling van grond en slib voor de bepaling van elementen met atomaire-spectrometrie -- Ontsluiting met salpeterzuur en zoutzuur in een microglofoven, januari 1992.
8. Lagas, P., S. van der Berg, e.a., Voorschriften voor bodemanalyse, RIVM-rapportnr. 847221001, september 1986.
9. Ontwerp NEN 5731, Bodem -- Bepaling van de gehalten aan tien polycyclische aromatische koolwaterstoffen met behulp van hogedruk-vloeistofchromatografie, april 1991.
10. Ontwerp NEN 7343, Bepaling van de uitvoogkarakteristieken van anorganische componenten uit korrelvormige bouwmateriaal en afvalstoffen.
11. Concept NEN 7341a, Bepaling van de beschikbaarheid voor uitlozing van anorganische componenten uit bouwmateriaal en afvalstoffen, augustus 1991.
12. Redox potential measurement in natural waters, Fresenius Journal of Analytical Chemistry, 339: 445 -462, 1991.
13. Standard Methods for the examination of water and wastewater, 17<sup>th</sup> edititon, 1989.
14. Leidraad Bodembescherming, afl. 6, september 1990.
15. Bakert et al, Chemistry in the Soil Environment, 1979.
16. Knippenberg, dr. A. van, Siero, drs. F., Multivariate analyse, beknopte Inleiding en toepassingen, Deventer, 1980.
17. Jonge, H. de, Inleiding tot de medische statistiek, 2e druk, Leiden.



**BIJLAGE I : Resultaten PAK-analyse**

Pagina : 1 / 4  
 Opdrachtnummer : 903600  
 Produktiedatum : 10/12/90  
 Projektnummer : 1019470

Omschrijving : Kolomproef  
 Analyseresultaten Grondmonster(s)

Monsterkode:	1	Duin en Kruidberg	4	Eerachterbroek
	2	Spelderholt	5	Middelt
	3	Hernese bos		

Monsterkode		1	2	3	4	5
Parameter	eenheid	detectie-grens				
Monsternamedatum		22/11/90	22/11/90	22/11/90	22/11/90	22/11/90
<b>fysisch chemisch onderzoek</b>						
Droge stof	% (w/w)	0,1	99,3	99,3	98,6	99,4
<b>Polycyclische Aromatische Koolwaterstoffen (HPLC)</b>						
Paks totaal	mg/kgds	1,1	1,2	1,1	1,2	1,1
Fluorantheen *	mg/kgds	0,02	0,05	0,03	0,06	< 0,02
Benzo(a)pyreen*	mg/kgds	0,02	0,02	< 0,02	< 0,02	< 0,02
Benzo(b)fluorantheen	mg/kgds	0,01	0,02	0,01	0,02	< 0,01
Benzo(k)fluorantheen *	mg/kgds	0,01	0,01	< 0,01	0,01	< 0,01
Benzo(ghi)peryleen*	mg/kgds	0,10	< 0,10	< 0,10	< 0,10	< 0,10
Indeno(1,2,3-c,d)pyreen *	mg/kgds	0,05	< 0,05	< 0,05	< 0,05	< 0,05
Acenafttheen	mg/kgds	0,20	< 0,20	< 0,20	< 0,20	< 0,20
Acenaftyleen	mg/kgds	0,20	< 0,20	< 0,20	< 0,20	< 0,20
Anthracseen *	mg/kgds	0,01	< 0,01	< 0,01	< 0,01	< 0,01
Benzo(a)anthracseen*	mg/kgds	0,01	0,02	0,01	0,02	< 0,01
Dibenz(a,h)anthracseen	mg/kgds	0,20	< 0,20	< 0,20	< 0,20	< 0,20
Chryseen*	mg/kgds	0,01	0,04	0,02	0,03	0,01
Fenanthreen*	mg/kgds	0,01	0,03	0,01	0,03	0,01
Fluoreen	mg/kgds	0,02	0,02	< 0,02	< 0,02	0,02
Naftaleen *	mg/kgds	0,10	< 0,10	< 0,10	< 0,10	< 0,10
Pyreen	mg/kgds	0,10	0,10	< 0,10	0,11	< 0,10
* Paks 10 van Vrom	mg/kgds	0,50	< 0,50	< 0,50	< 0,50	0,50

Pagina : 2 / 4  
 Opdrachtnummer : 903600  
 Produktiedatum : 10/12/90  
 Projektnummer : 1019470

Omschrijving : Kolomproef  
 Analyseresultaten Grondmonster(s)

Monsterkode:	6 Sibos	9 Zegveld
	7 Korenburgerveen	10 Harense Wildernis
	8 Lettel Berter Petten	

Monsterkode	6	7	8	9	10
Parameter	eenheid	detectie-grens			
Monsternamedatum		22/11/90	22/11/90	22/11/90	22/11/90

fysisch chemisch onderzoek

Droge stof	% (w/w)	0,1	98,3	87,9	83,7	89,8	91,7
------------	---------	-----	------	------	------	------	------

Polycyclische Aromatische Koolwaterstoffen (HPLC)

Paks totaal	mg/kgds	1,1	2,0	1,4	1,2	1,4	1,5
Fluorantheen *	mg/kgds	0,02	0,17	0,07	0,06	0,09	0,09
Benz(a)pyreen*	mg/kgds	0,02	0,08	0,03	0,03	0,04	0,05
Benz(b)fluorantheen	mg/kgds	0,01	0,08	0,04	0,03	0,05	0,08
Benz(k)fluorantheen *	mg/kgds	0,01	0,04	0,01	0,01	0,02	0,03
Benz(ghi)peryleen*	mg/kgds	0,10	0,15	0,13	< 0,10	< 0,10	< 0,10
Indeno(1,2,3-c,d)pyreen *	mg/kgds	0,05	0,07	< 0,05	< 0,05	< 0,05	< 0,05
Acenaftheen	mg/kgds	0,20	< 0,20	< 0,20	< 0,20	< 0,20	< 0,20
Acenafyleen	mg/kgds	0,20	< 0,20	< 0,20	< 0,20	< 0,20	< 0,20
Anthraceen *	mg/kgds	0,01	0,01	< 0,01	< 0,01	< 0,01	0,01
Benz(a)anthraceen*	mg/kgds	0,01	0,08	0,06	0,04	0,04	0,05
Dibenz(a,h)anthraceen	mg/kgds	0,20	< 0,20	< 0,20	< 0,20	< 0,20	< 0,20
Chryseen*	mg/kgds	0,01	0,11	0,06	0,05	0,06	0,07
Fenantreen*	mg/kgds	0,01	0,08	0,04	0,02	< 0,01	0,05
Fluoreen	mg/kgds	0,02	0,04	0,02	< 0,02	< 0,02	< 0,02
Naftaleen *	mg/kgds	0,10	< 0,10	< 0,10	< 0,10	< 0,10	< 0,10
Pyreen	mg/kgds	0,10	0,34	0,15	0,11	0,17	0,15
* Paks 10 van Vrom	mg/kgds	0,50	0,90	0,60	0,50	0,50	0,60

Pagina : 3 / 4  
 Opdrachtnummer : 903600  
 Produktiedatum : 10/12/90  
 Projektnummer : 1019470

Omschrijving : Kolomproef  
 Analyseresultaten Grondmonster(s)

Monsterkode:	11 Norgenholt bovenlaag	14 Filosofendal
	12 Kleibos	15 Drunense Heide
	13 Met Wildrijp	

Monsterkode		11	12	13	14	15
Parameter	eenheid	detectie-grens				
Monsternamedatum		22/11/90	22/11/90	22/11/90	22/11/90	22/11/90
<u>fysisch chemisch onderzoek</u>						
Droge stof	% (w/w)	0,1	96,1	96,7	96,8	98,7
<u>Polycyclische Aromatische Koolwaterstoffen (HPLC)</u>						
Paks totaal	mg/kgds	1,1	1,2	1,1	1,7	4,1
Fluorantheen *	mg/kgds	0,02	0,06	0,05	0,15	0,45
Benzo(a)pyreen*	mg/kgds	0,02	0,02	< 0,02	0,05	0,17
Benzo(b)fluorantheen	mg/kgds	0,01	0,02	0,01	0,06	0,15
Benzo(k)fluorantheen *	mg/kgds	0,01	0,01	< 0,01	0,02	0,07
Benzo(ghi)peryleen*	mg/kgds	0,10	< 0,10	< 0,10	< 0,10	0,39
Indeno(1,2,3-c,d)pyreen *	mg/kgds	0,05	< 0,05	< 0,05	< 0,05	0,16
Acenaftheen	mg/kgds	0,20	< 0,20	< 0,20	< 0,20	< 0,20
Acenafyleen	mg/kgds	0,20	< 0,20	< 0,20	< 0,20	< 0,20
Anthraceen *	mg/kgds	0,01	< 0,01	< 0,01	0,01	0,03
Benzo(a)anthraceen*	mg/kgds	0,01	0,02	0,01	0,07	0,17
Dibenz(a,h)anthraceen	mg/kgds	0,20	< 0,20	< 0,20	< 0,20	0,23
Chryseen*	mg/kgds	0,01	0,03	0,02	0,10	0,31
Fenanthreen*	mg/kgds	0,01	0,03	0,01	0,06	0,33
Fluoreen	mg/kgds	0,02	< 0,02	< 0,02	0,03	0,15
Naftaleen *	mg/kgds	0,10	< 0,10	< 0,10	< 0,10	< 0,10
Pyreen	mg/kgds	0,10	0,11	0,10	0,29	1,0
* Paks 10 van Vrom	mg/kgds	0,50	< 0,50	< 0,50	0,70	2,2

Pagina : 4 / 4  
 Opdrachtnummer : 903600  
 Produktiedatum : 10/12/90  
 Projektnummer : 1019470

Omschrijving : Kolomproef  
 Analyseresultaten Grondmonster(s)

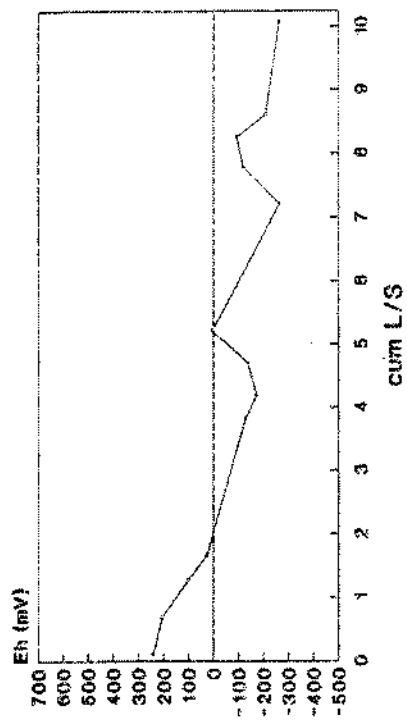
Monsterkode: 16 Beverweert  
 17 Fochtveen  
 18 Waardenburg

19 Linschoten

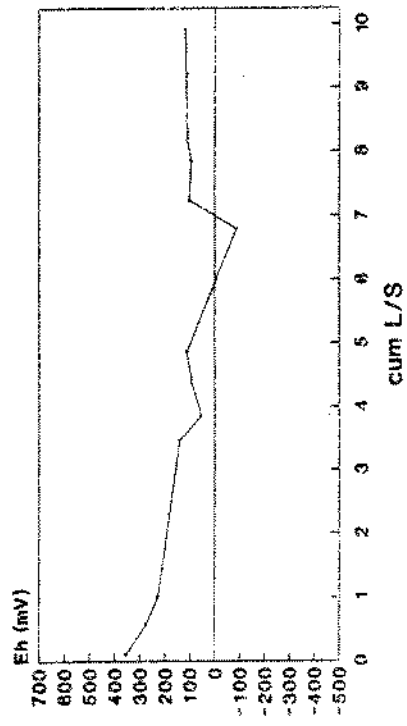
Monsterkode		16	17	18	19
Parameter	eenheid	detectie-grens			
Monsternamedatum		22/11/90	22/11/90	22/11/90	22/11/90
<u>fysisch chemisch onderzoek</u>					
Droge stof	% (w/w)	0,1	95,9	98,8	94,7
<u>Polycyclische Aromatische Koolwaterstoffen (HPLC)</u>					
Paks totaal	mg/kgds	1,1	1,6	1,1	1,3
Fluorantheen *	mg/kgds	0,02	0,10	< 0,02	0,04
Benzo(a)pyreen*	mg/kgds	0,02	0,02	< 0,02	< 0,02
Benzo(b)fluorantheen	mg/kgds	0,01	0,04	< 0,01	0,01
Benzo(k)fluorantheen *	mg/kgds	0,01	0,02	< 0,01	< 0,01
Benzo(ghi)peryleen*	mg/kgds	0,10	< 0,10	< 0,10	< 0,10
Indeno(1,2,3-c,d)pyreen *	mg/kgds	0,05	< 0,05	< 0,05	< 0,05
Acenaftheen	mg/kgds	0,20	< 0,20	< 0,20	< 0,20
Acenaftyleen	mg/kgds	0,20	< 0,20	< 0,20	< 0,20
Anthraceen *	mg/kgds	0,01	0,01	< 0,01	< 0,01
Benzo(a)anthraceen*	mg/kgds	0,01	0,05	< 0,01	0,01
Dibenz(a,h)anthraceneen	mg/kgds	0,20	< 0,20	< 0,20	< 0,20
Chryseen*	mg/kgds	0,01	0,06	0,01	0,02
Fenantreen*	mg/kgds	0,01	0,05	0,02	0,03
Fluoreen	mg/kgds	0,02	0,03	< 0,02	0,03
Naftaleen *	mg/kgds	0,10	< 0,10	< 0,10	< 0,10
Pyreen	mg/kgds	0,10	0,32	< 0,10	0,26
* Paks 10 van Vrom	mg/kgds	0,50	0,60	< 0,50	< 0,50

**BIJLAGE II: Verloop van redox en concentratie versus L/S-ratio**

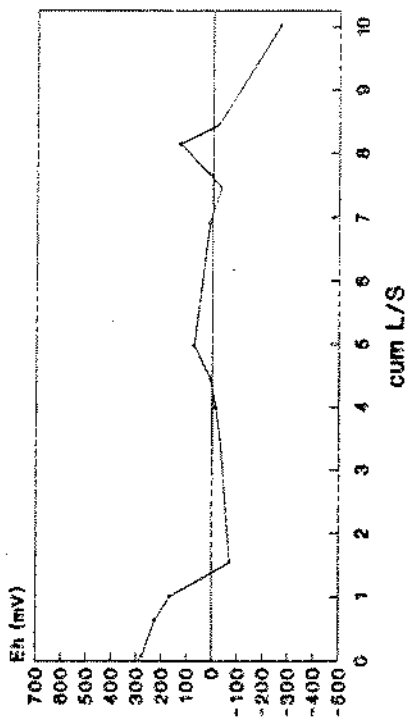
**Harense Wildernis  
redoxpotentiaal**



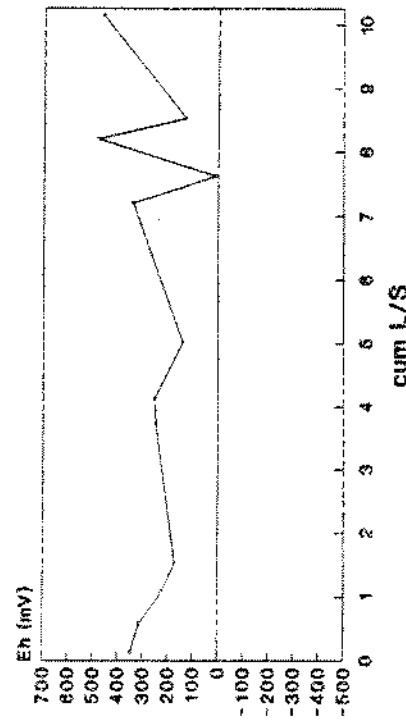
**Norgerholt (bovenlaag)  
redoxpotentiaal**



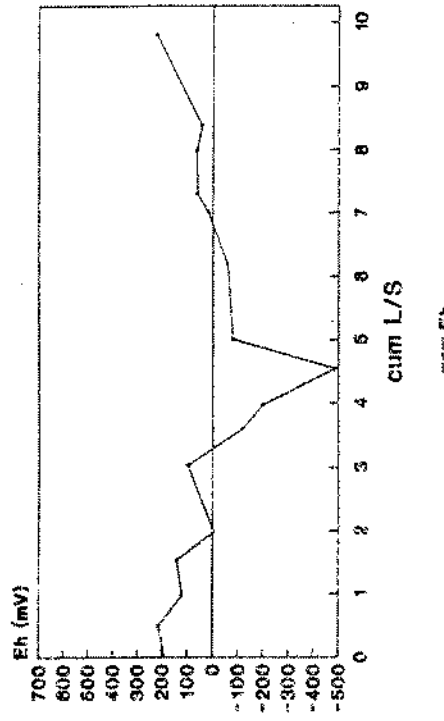
**Kleibos  
redoxpotentiaal**



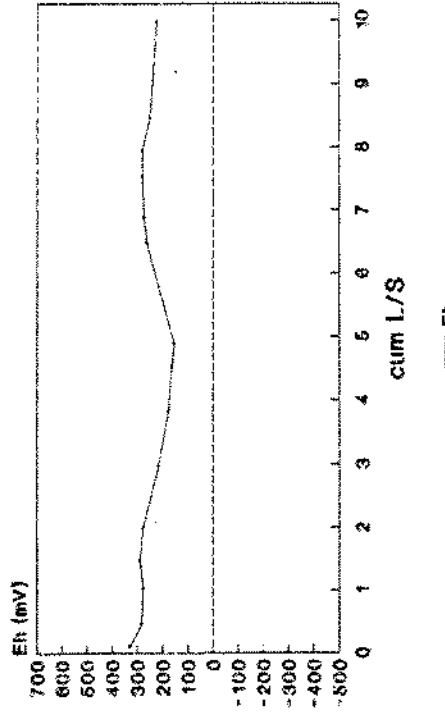
**Het Wildrijk  
redoxpotentiaal**



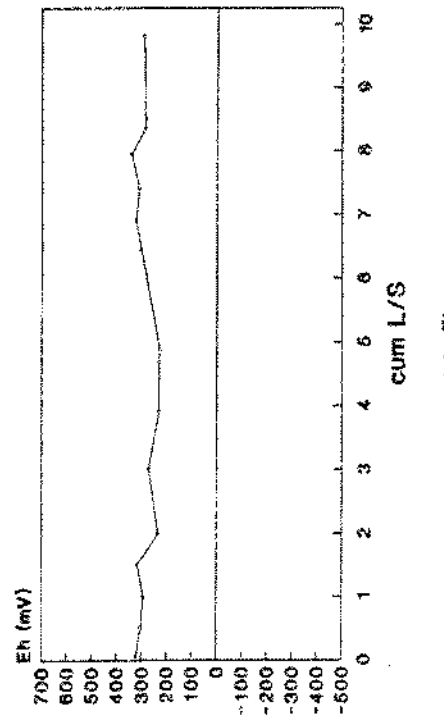
Duin en kruidberg  
redoxpotentiaal



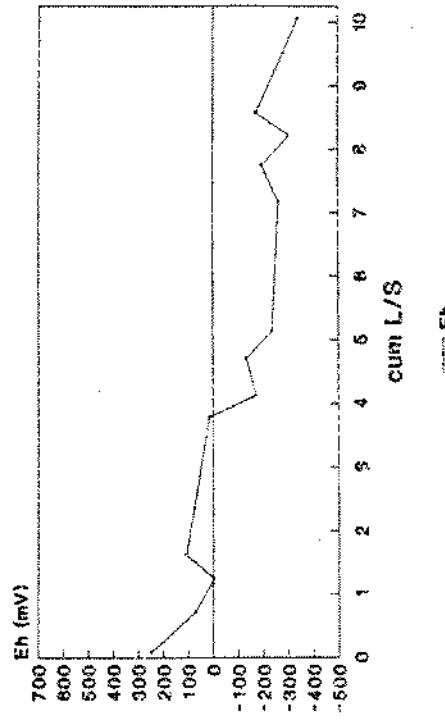
Middachten  
redoxpotentiaal



Eer achterbroek  
redoxpotentiaal



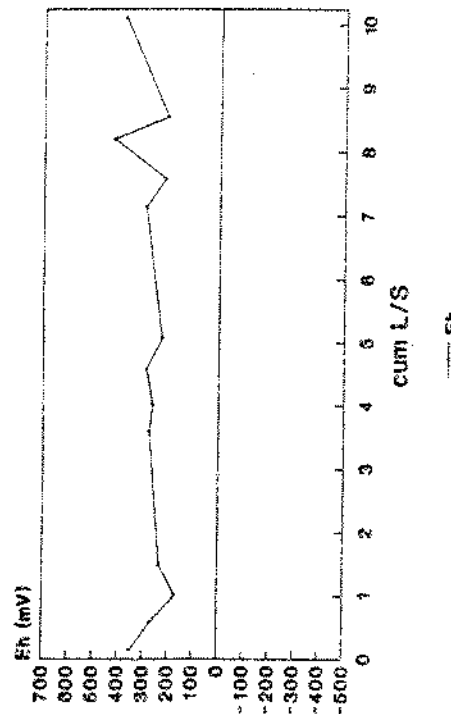
Zegveld  
redoxpotentiaal



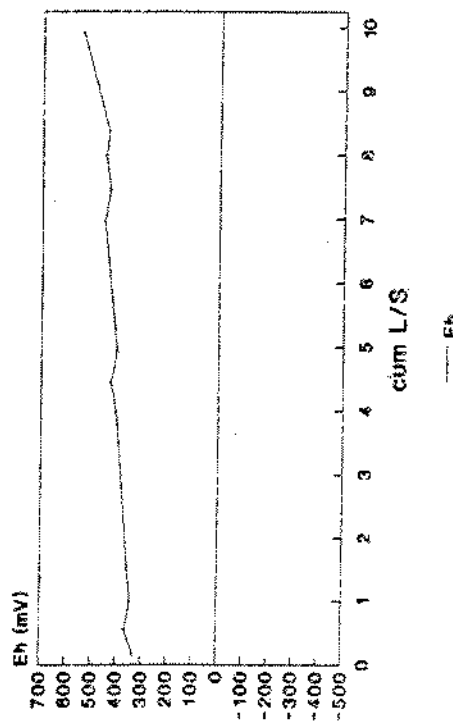
## Beoordeling van gereinigde grond, deelrapport I.

pagina 47.

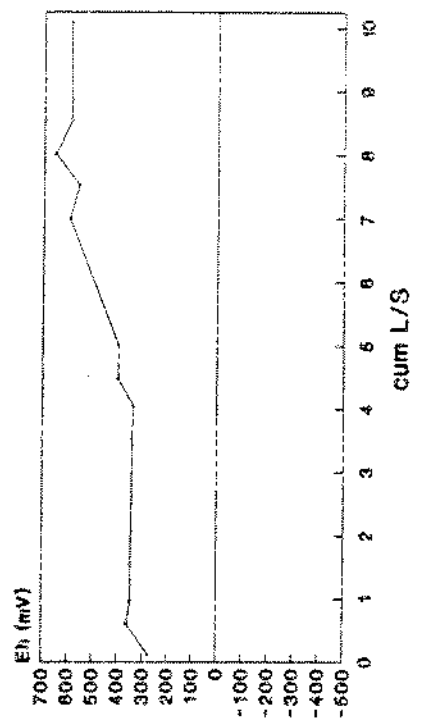
### Filosofendal redoxpotentiaal



### Drunense Heide redoxpotentiaal



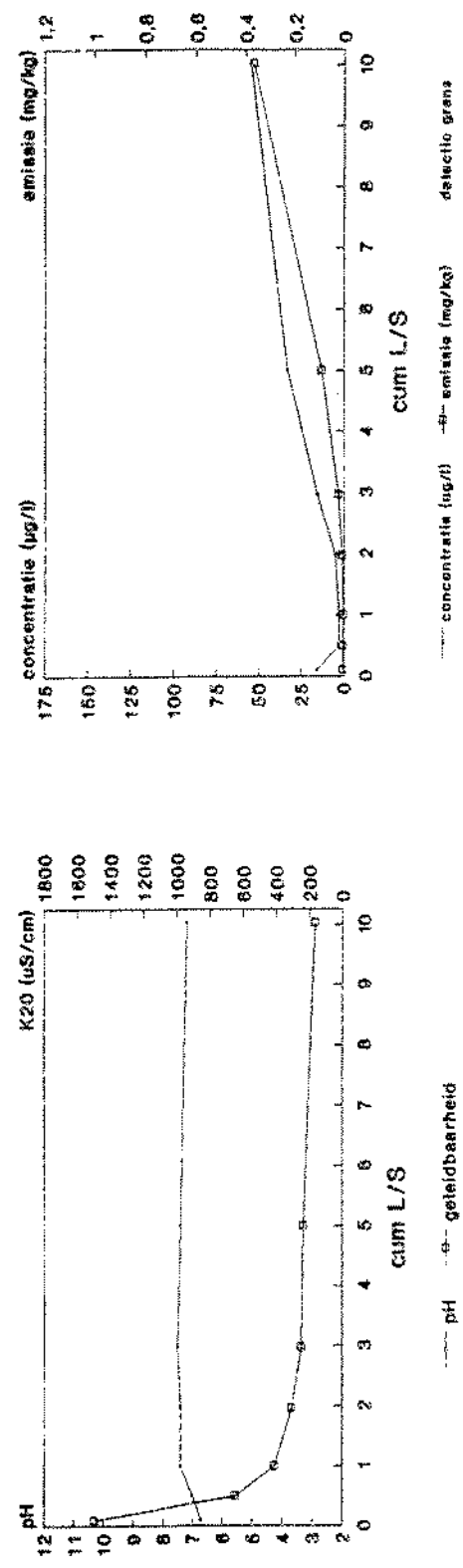
### Norgerholt (onderlaag) redoxpotentiaal



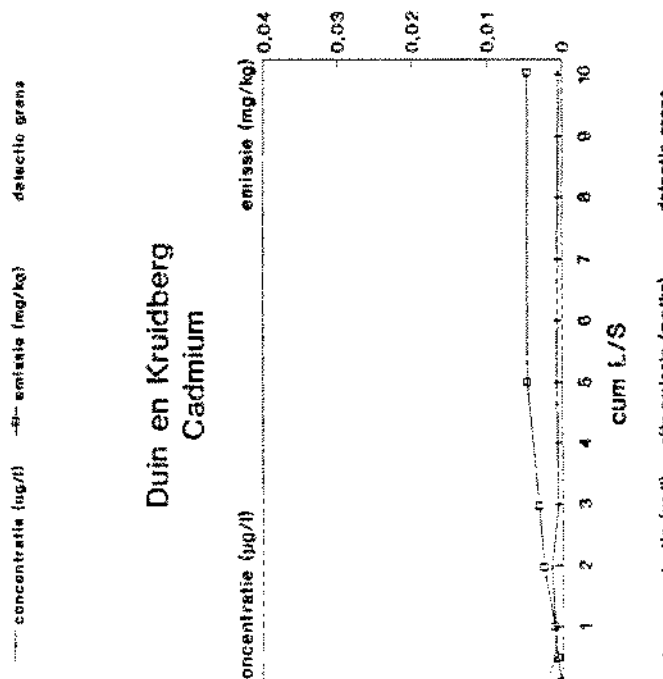
**Beoordeling van gereinigde grond, deelrapport 1.**

pagina 48.

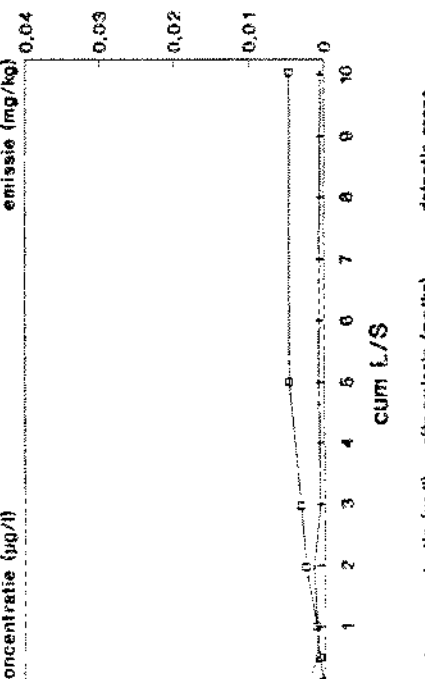
**Duin en Kruidberg  
pH en K20**



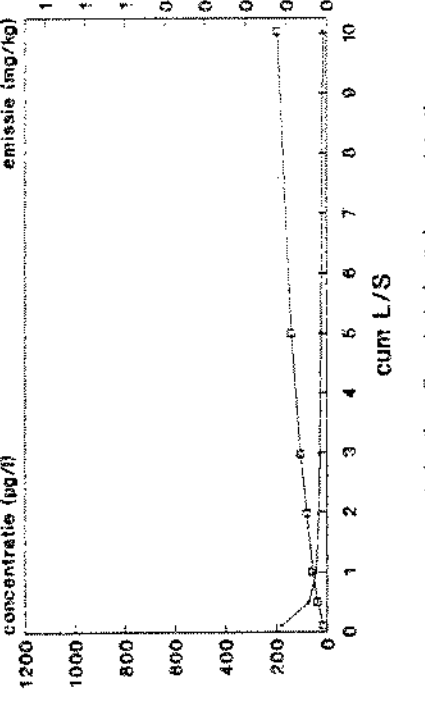
**Duin en Kruidberg  
Arseen**



**Duin en Kruidberg  
Cadmium**



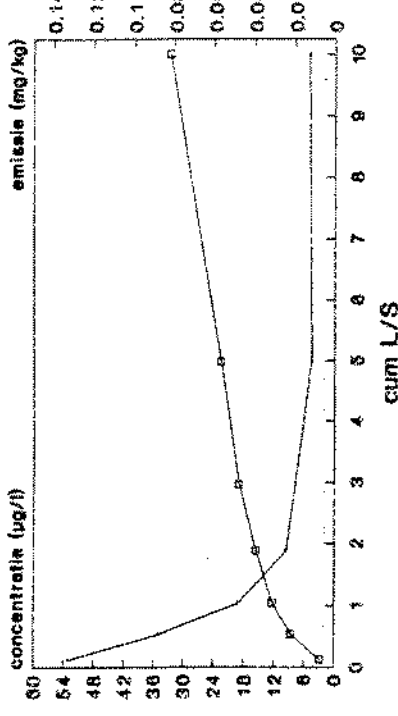
**Duin en Kruidberg  
Barium**



Beoordeling van gereinigde grond, deelrapport I.

pagina 49.

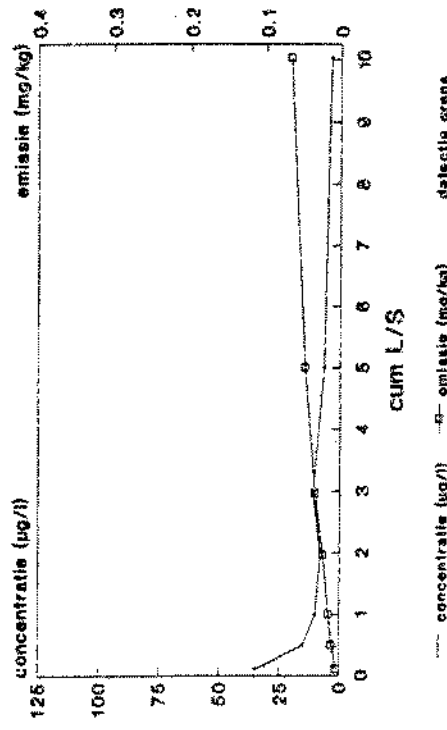
Duin en Kruidberg  
Chroom



— concentratie (ug/l) — emissie (mg/kg)

detectie grens

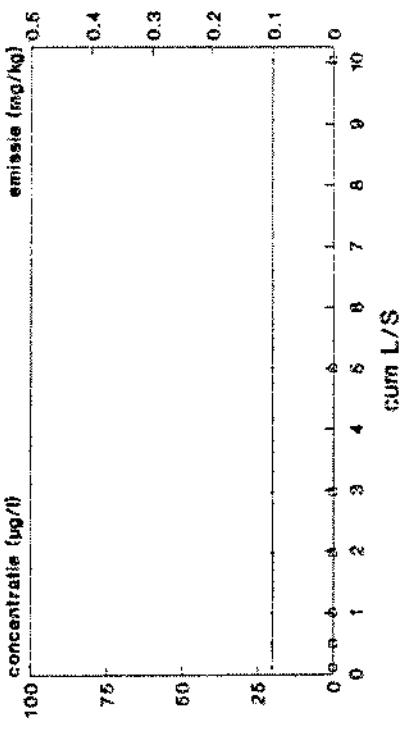
Duin en Kruidberg  
Koper



— concentratie (ug/l) — emissie (mg/kg)

detectie grens

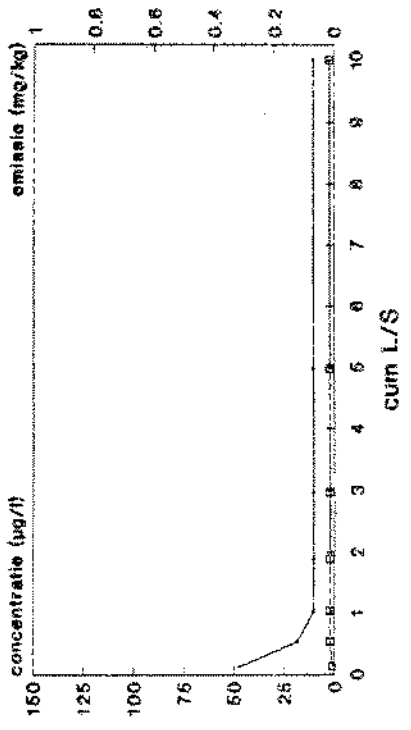
Duin en kruidberg  
Molybdeen



— concentratie (ug/l) — emissie (mg/kg)

detectie grens

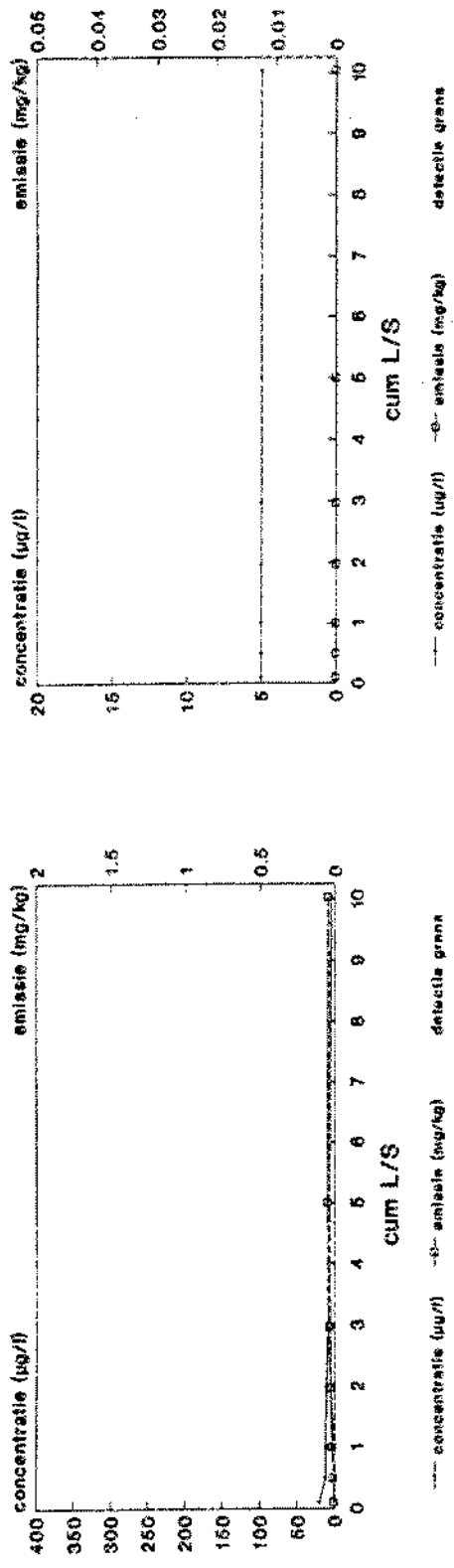
Duin en Kruidberg  
nikkel



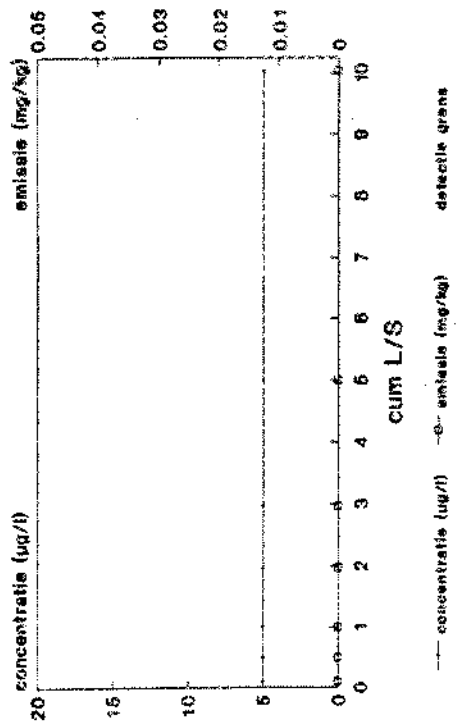
— concentratie (ug/l) — emissie (mg/kg)

detectie grens

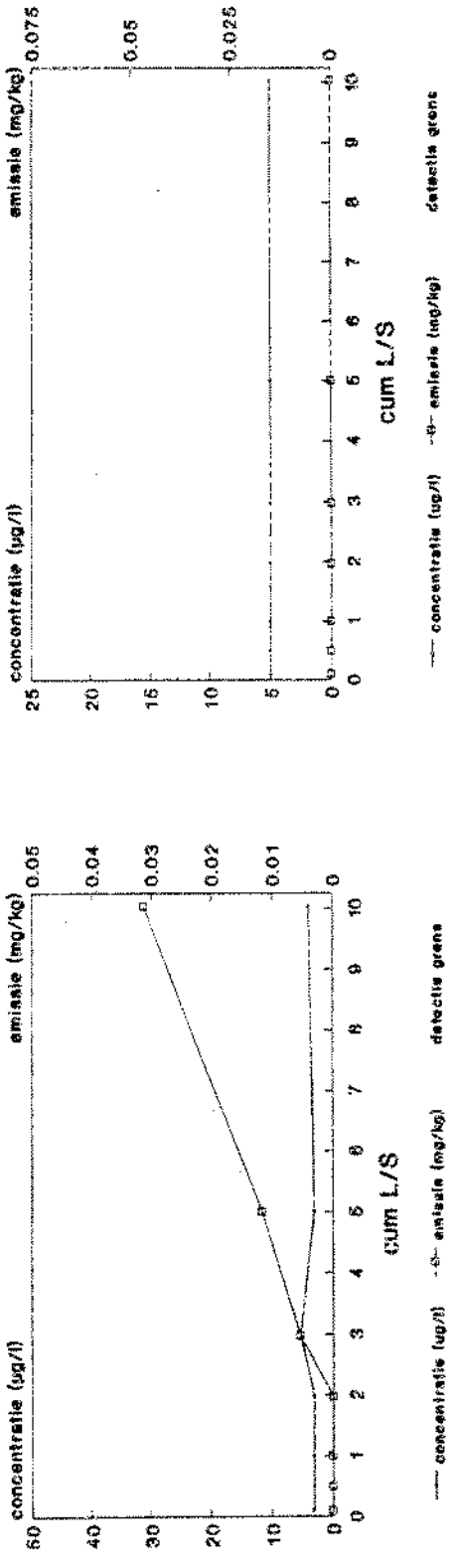
### Duin en Kruidberg lood



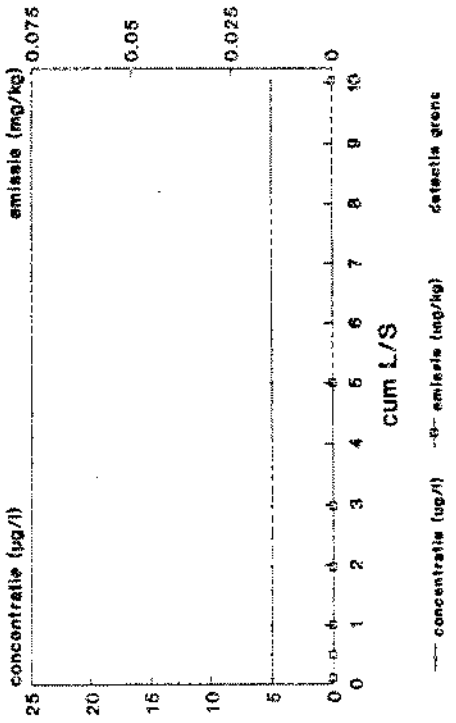
### Duin en Kruidberg aristoon



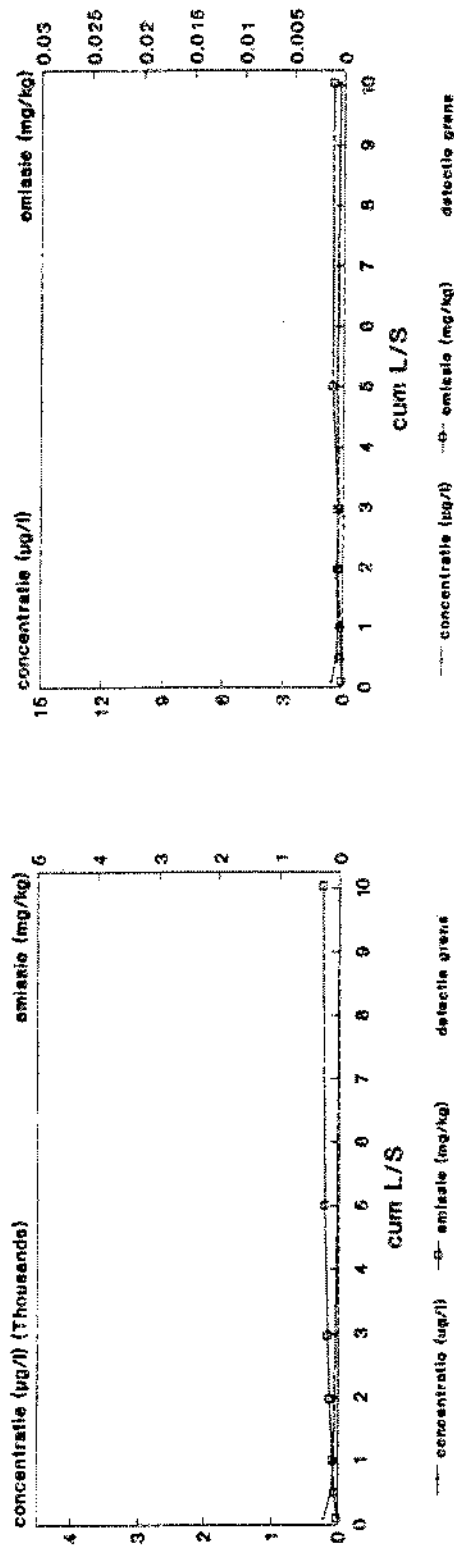
### Duin en Kruidberg Seleen



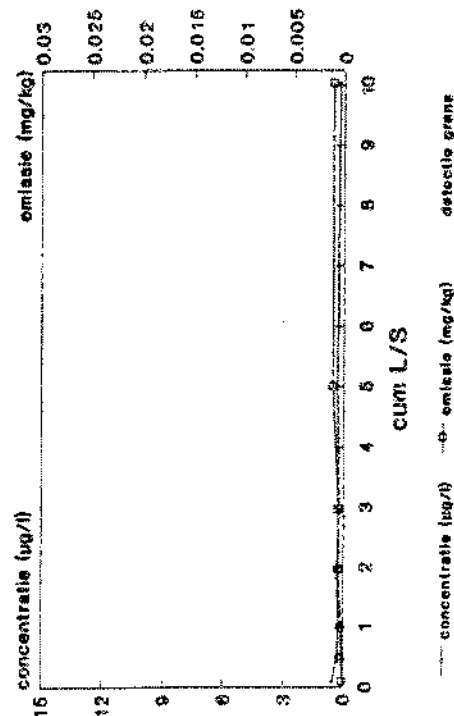
### Duin en Kruidberg Tin



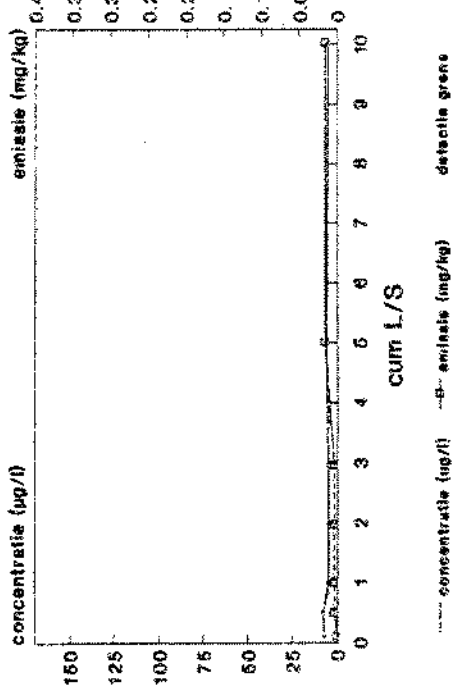
### Duin en Kruidberg Zink



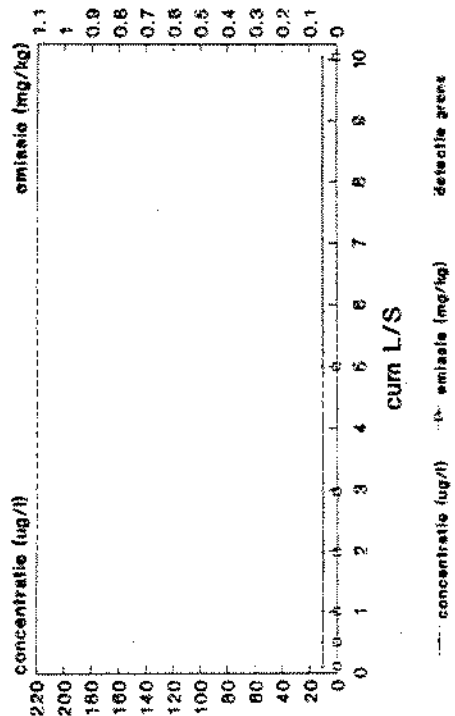
### Duin en Kruidberg Kwik



### Duin en Kruidberg Cobalt



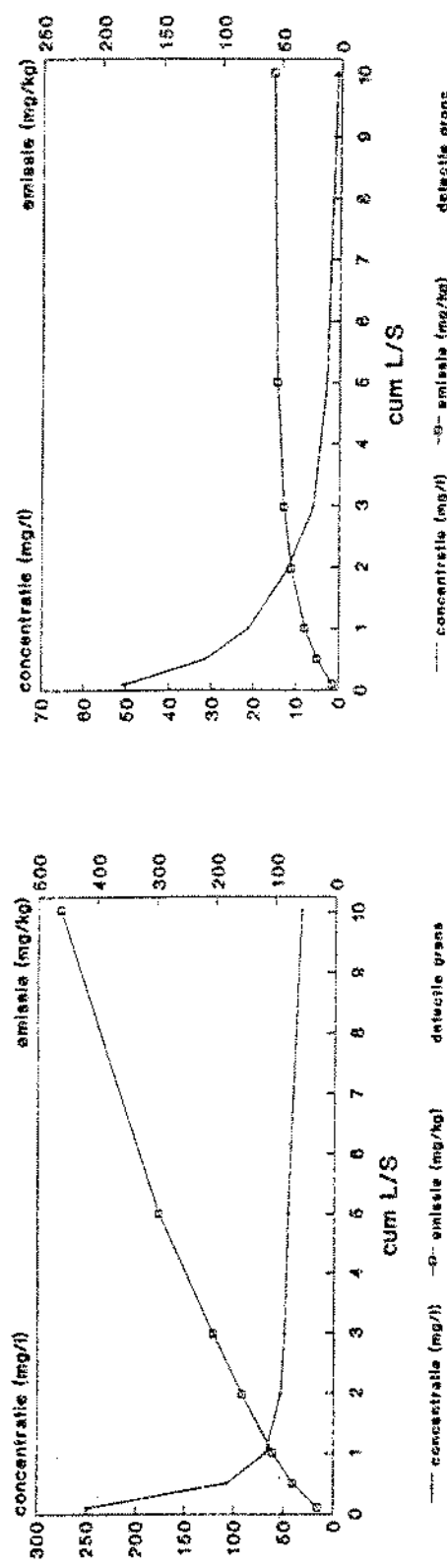
### Duin en Kruidberg Vanadium



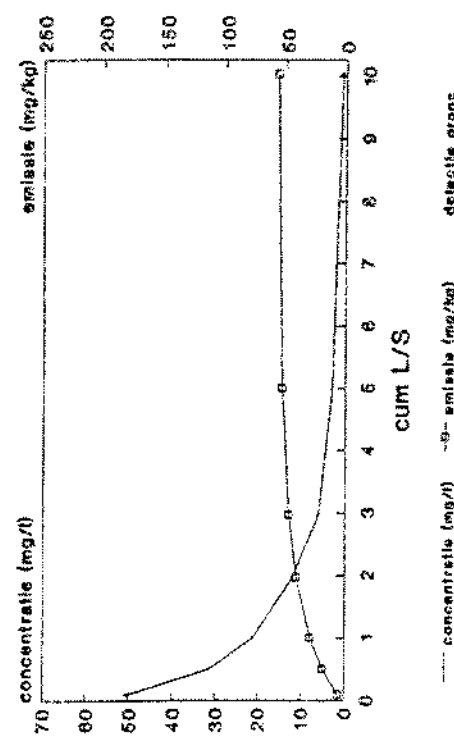
Beoordeling van gereinigde grond, deelrapport I.

pagina 52

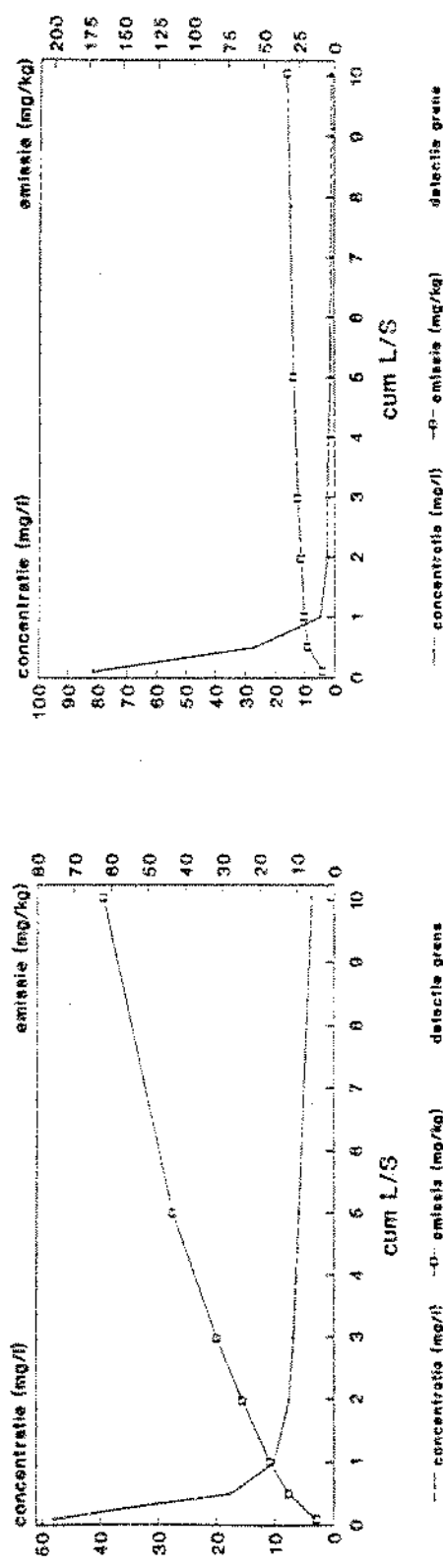
Duin en kruidberg  
Calcium



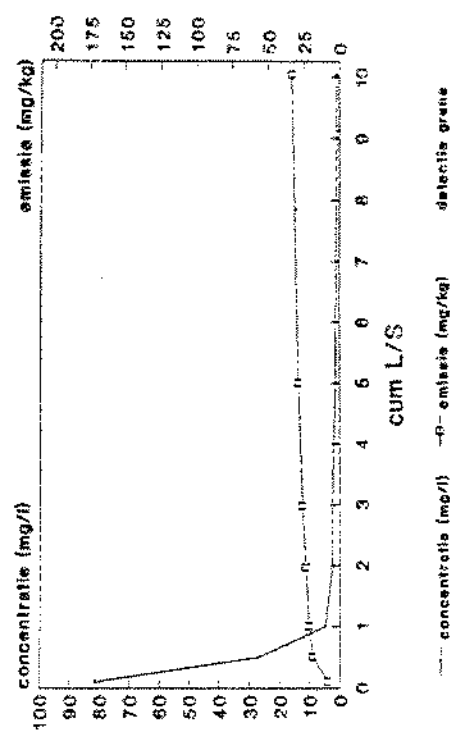
Duin en Kruidberg  
Kaliump



Duin en Kruidberg  
Magnesium



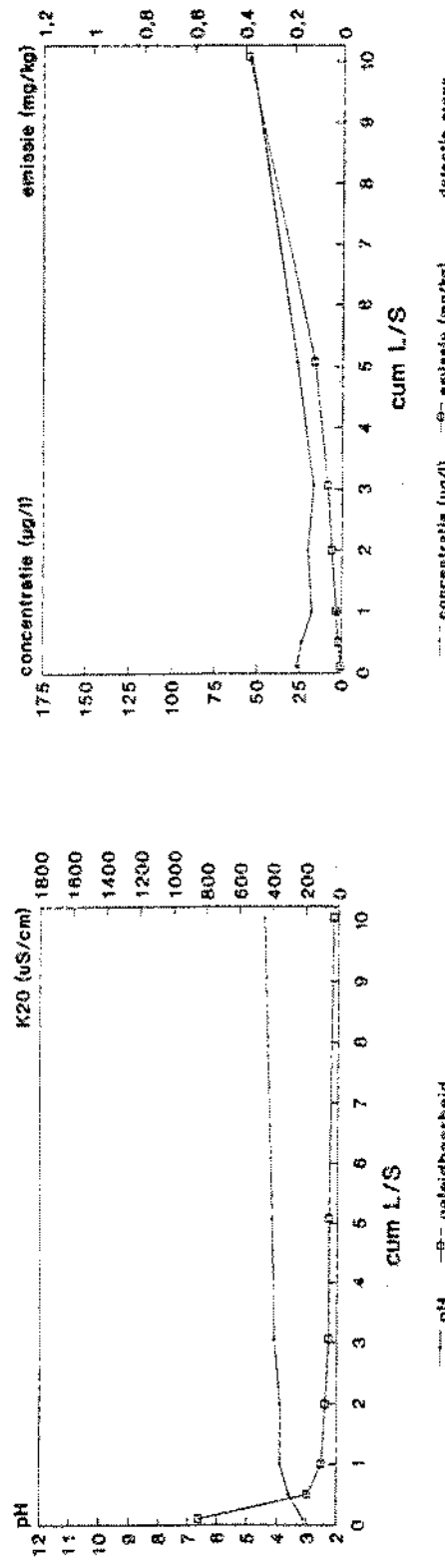
Duin en Kruidberg  
Natrium



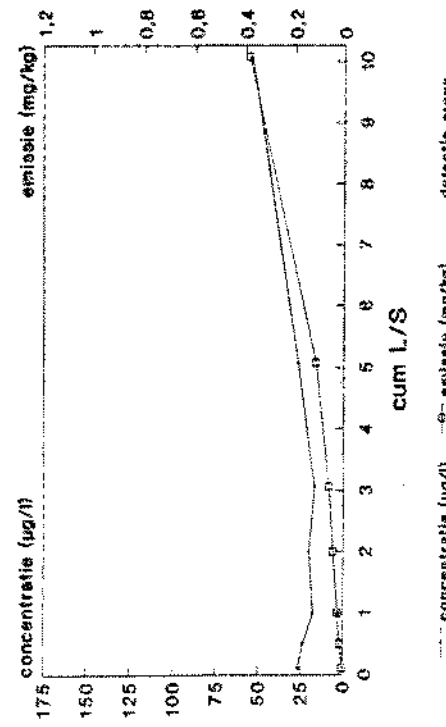
Beoordeling van gereinigde grond, deelrapport I.

pagina 53.

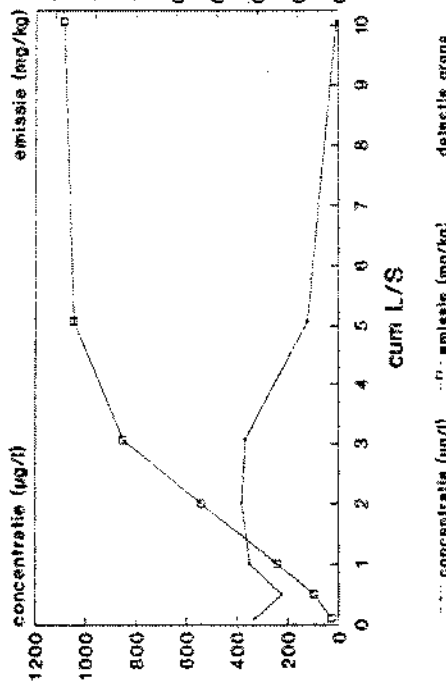
**Spelderholt  
pH en K<sub>20</sub>**



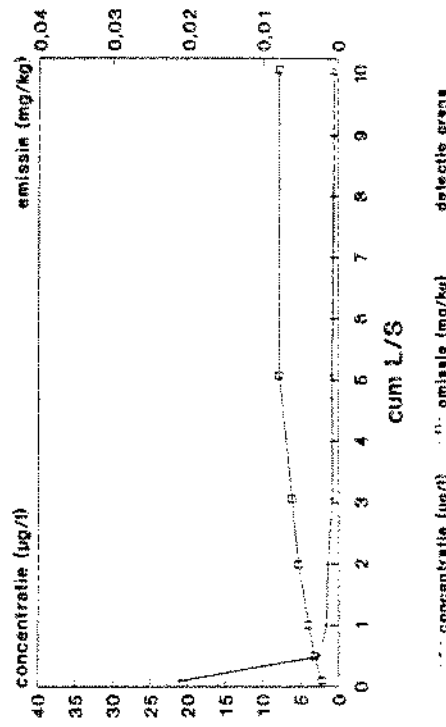
**Spelderholt  
Arseen**



**Spelderholt  
Barium**



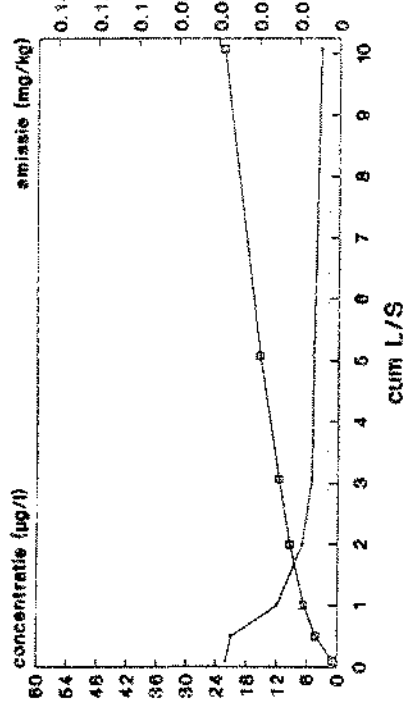
**Spelderholt  
Cadmium**



Beoordeling van gereinigde grond, deelrapport 1.

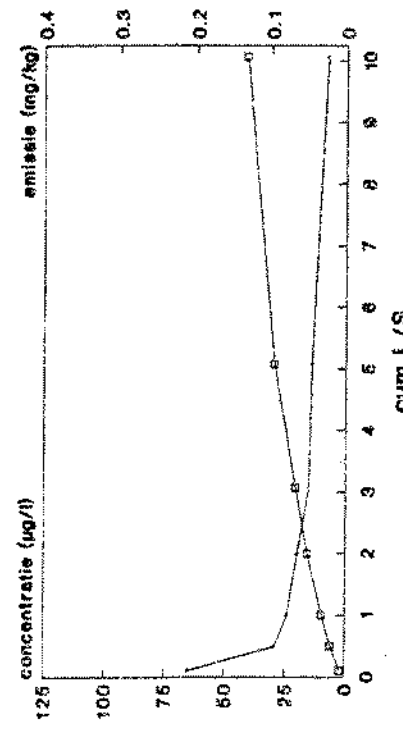
pagina 64.

**Spelderholt  
Chroom**



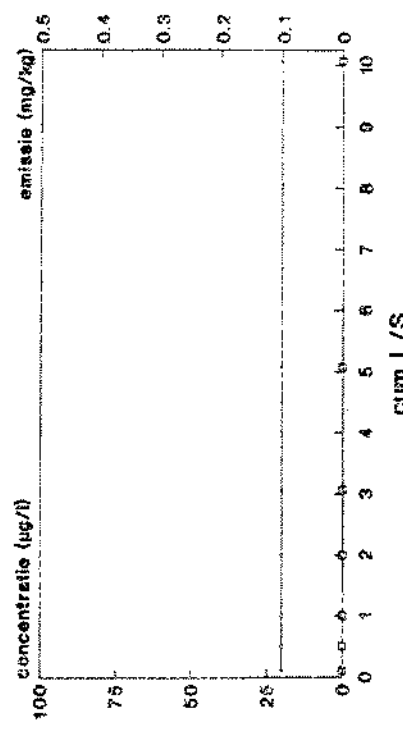
— concentratie (ug/l)    -o- emissie (mg/kg)    detectie grens

**Spelderholt  
Koper**



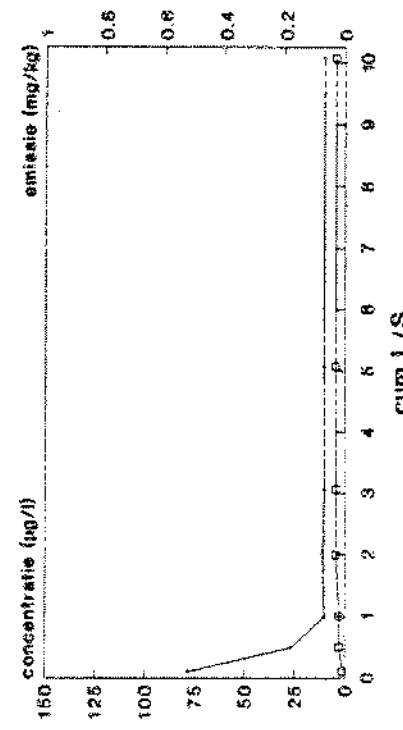
— concentratie (ug/l)    -o- emissie (mg/kg)    detectie grens

**Spelderholt  
Molybdeen**



— concentratie (ug/l)    -o- emissie (mg/kg)    detectie grens

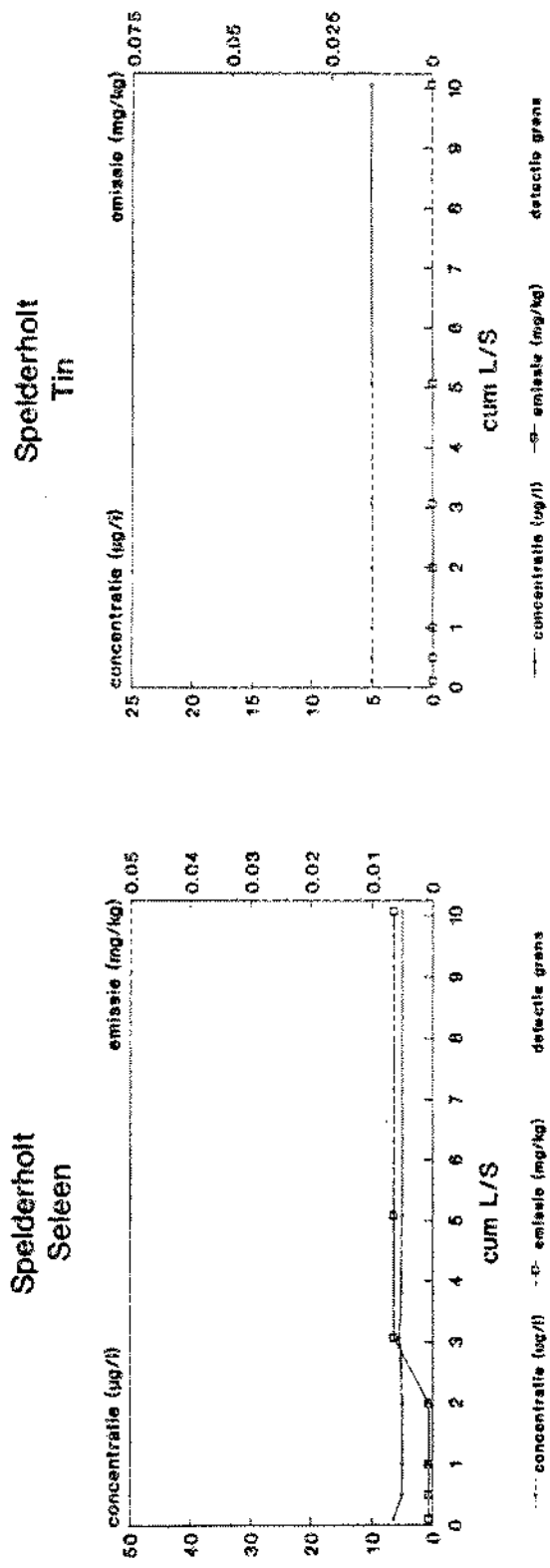
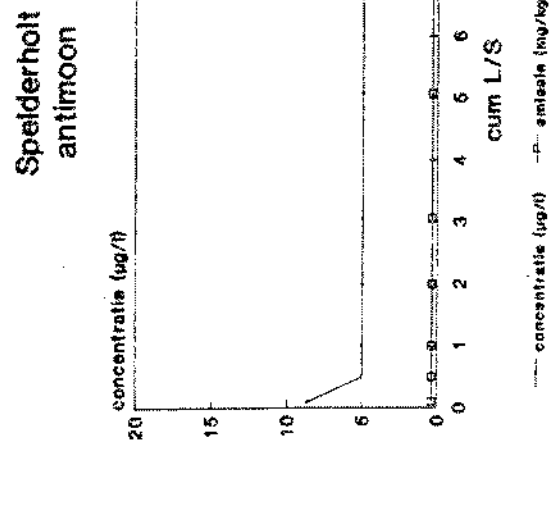
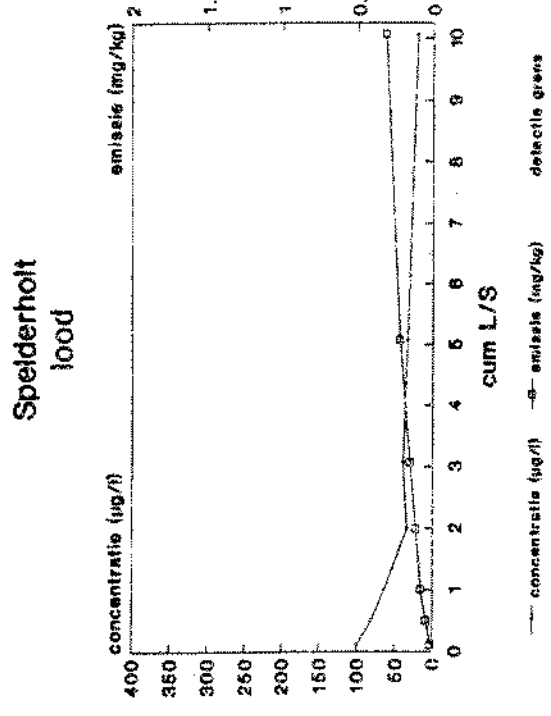
**Spelderholt  
nikkel**



— concentratie (ug/l)    -o- emissie (mg/kg)    detectie grens

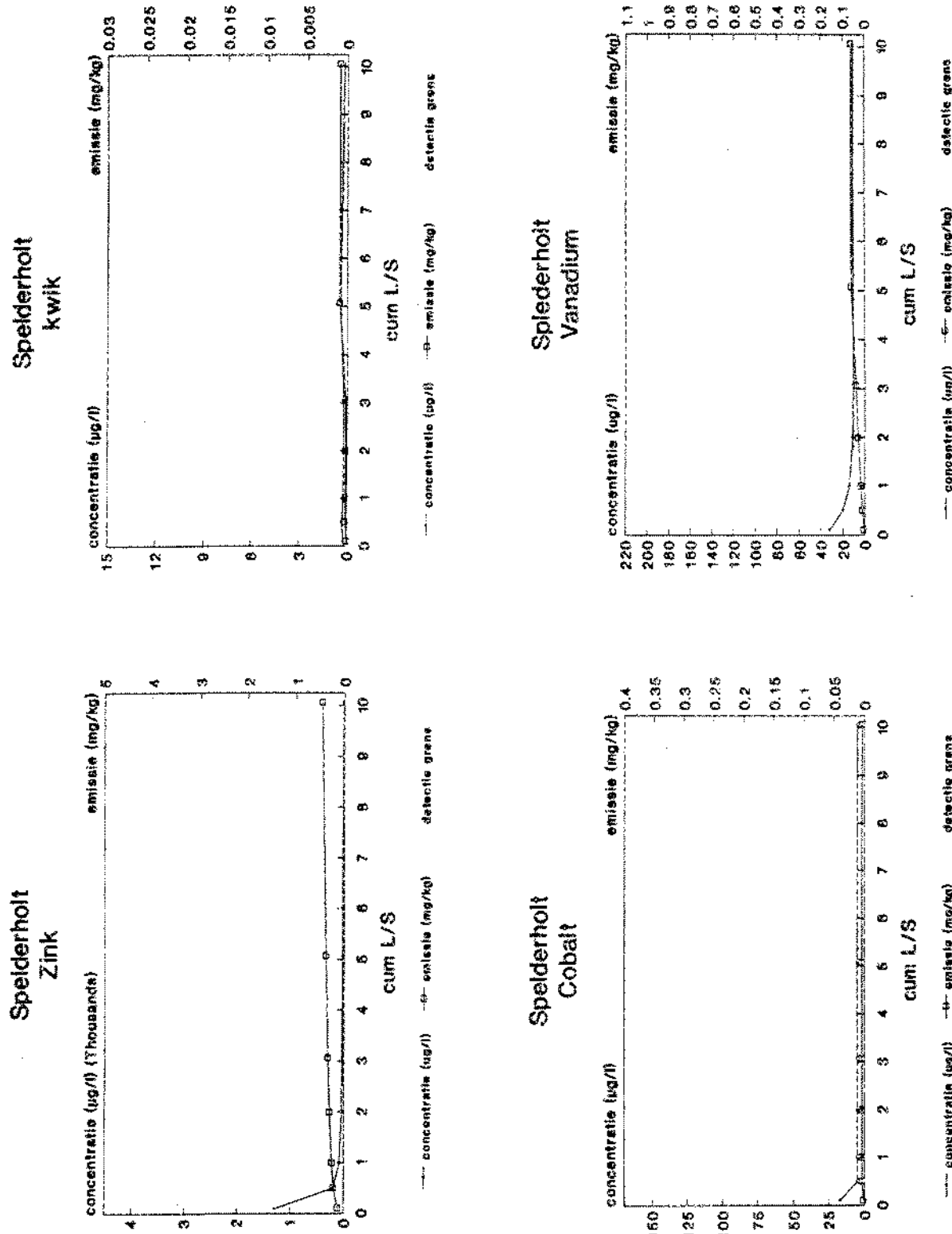
Beoordeling van gereinigde grond, deelrapport 1.

pagina 35.



Beoordeling van gereinigde grond, deelrapport 1.

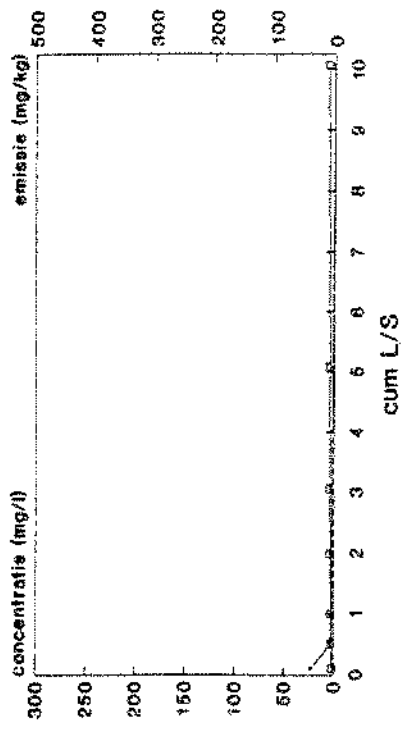
pagina 56.



Bewerding van gereinigde grond, deelrapport I.

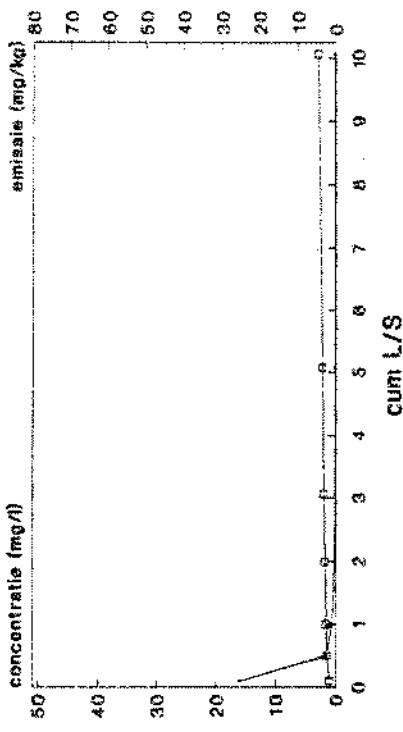
pagina 57.

**Spelderholt**  
Calcium



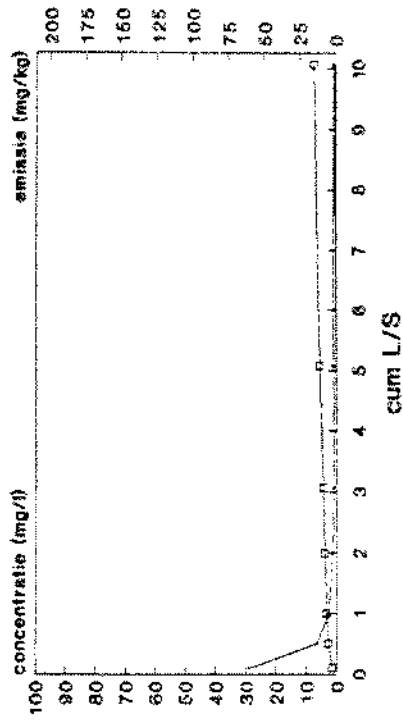
— concentratie (mg/l)    - - - emissie (mg/kg)  
detectie grens

**Spelderholt**  
Magnesium



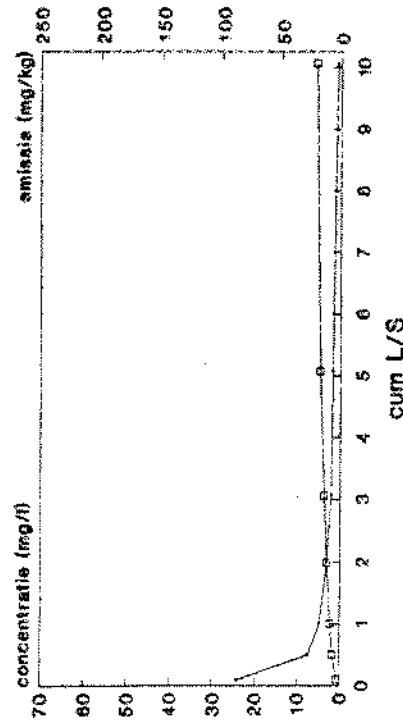
— concentratie (mg/l)    - - - emissie (mg/kg)  
detectie grens

**Spelderholt**  
Natrium



— concentratie (mg/l)    - - - emissie (mg/kg)  
detectie grens

**Spelderholt**  
Kalium

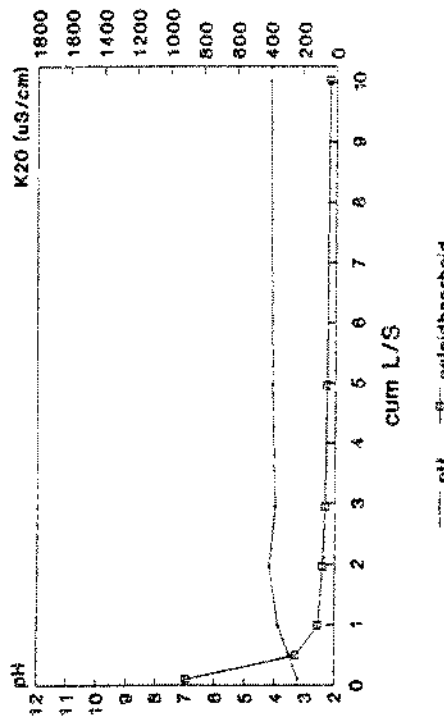


— concentratie (mg/l)    - - - emissie (mg/kg)  
detectie grens

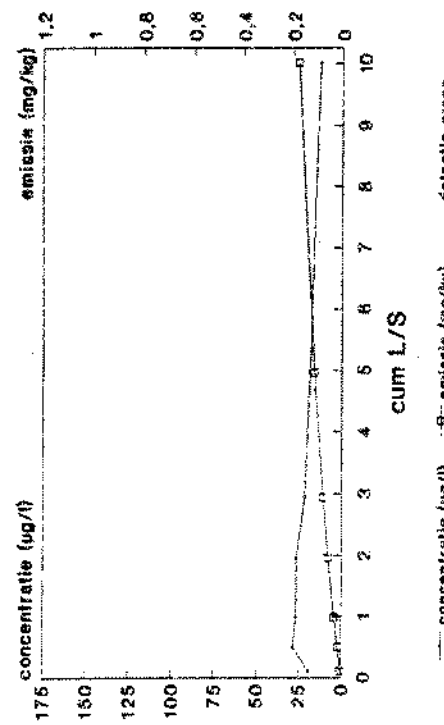
**Beoordeling van gereinigde grond, deelrapport I.**

pagina 58.

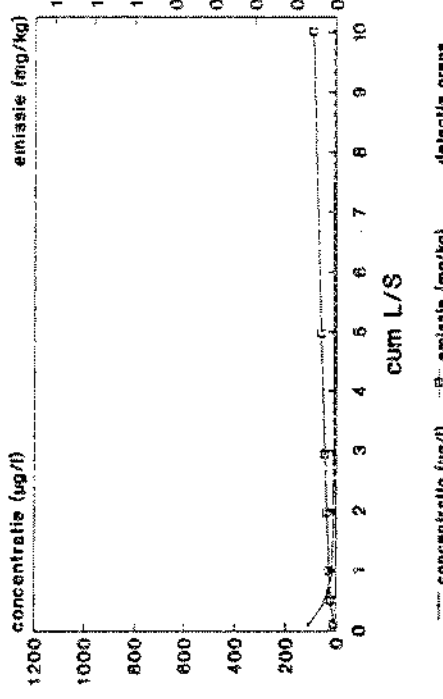
**Hernese bos**  
pH en K20



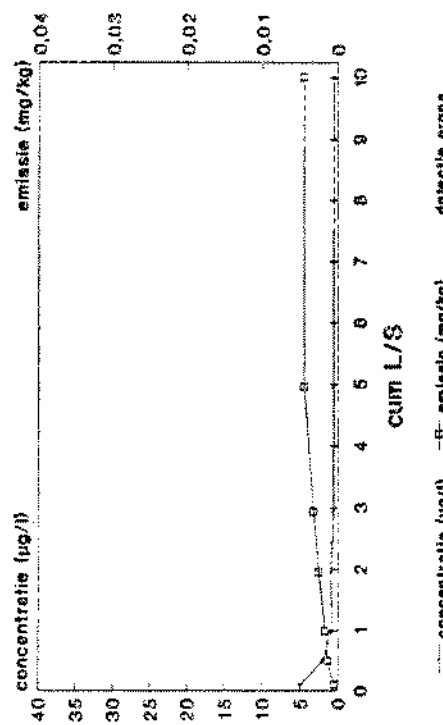
**Hernese bos**  
Arsen



**Hernese bos**  
Barium

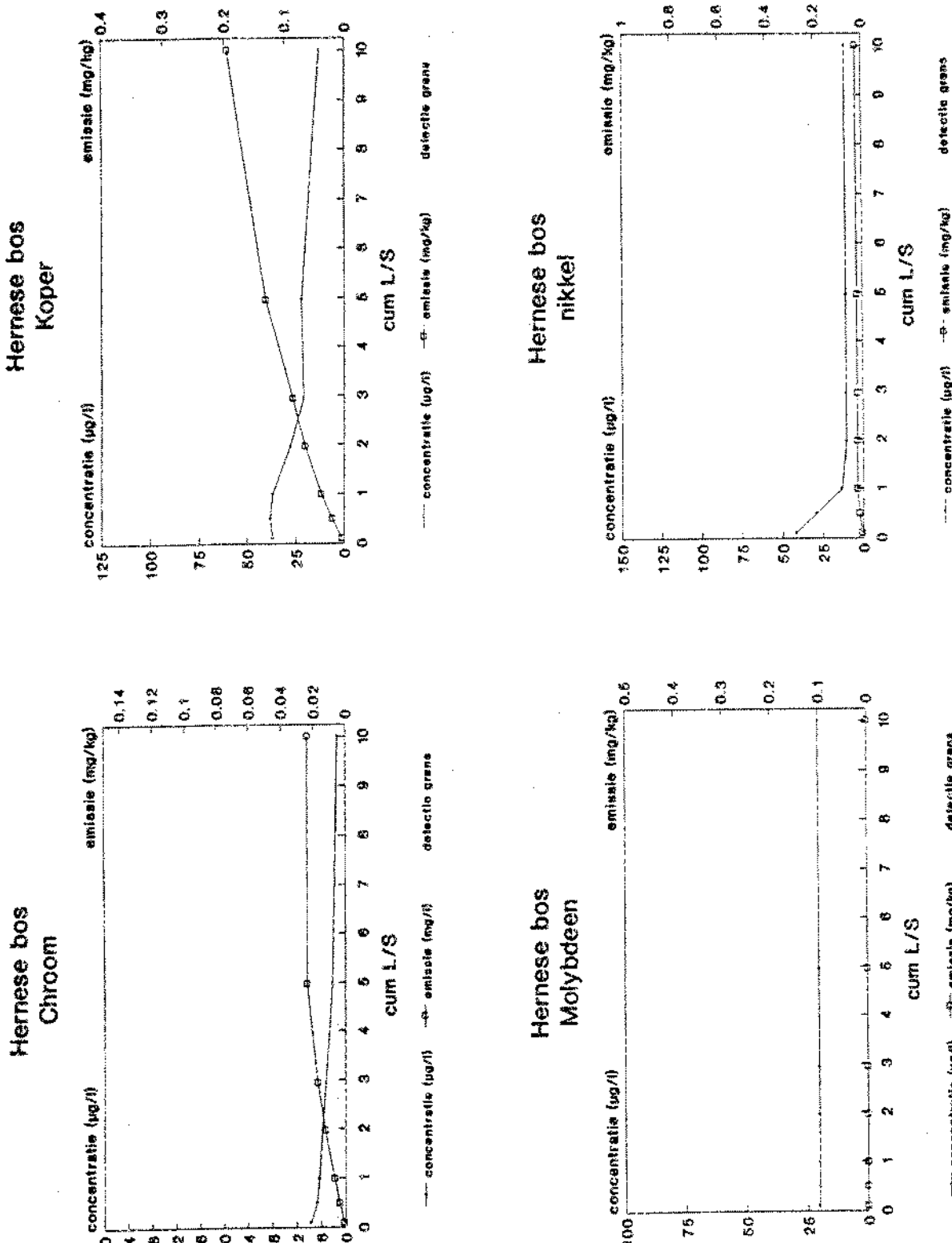


**Hernese bos**  
Cadmium

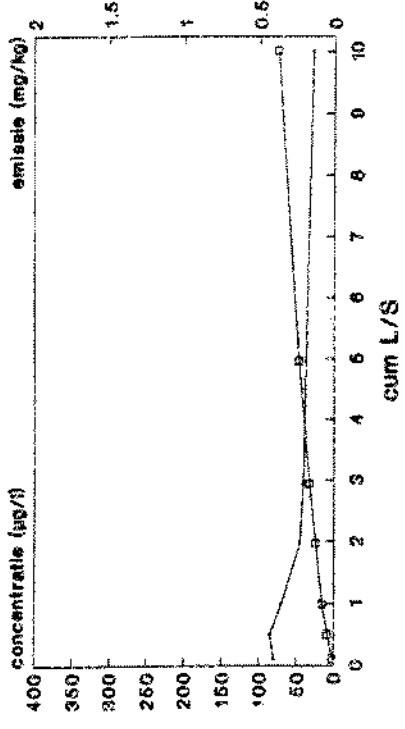


**Beoordeling van gereinigde grond, deelrapport I.**

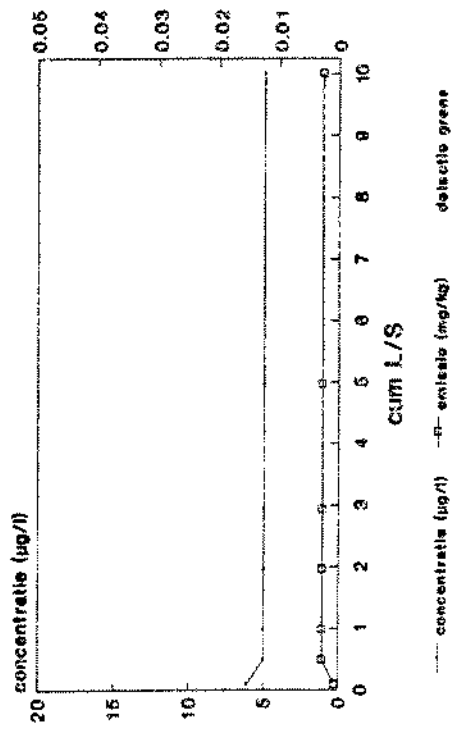
pagina 58.



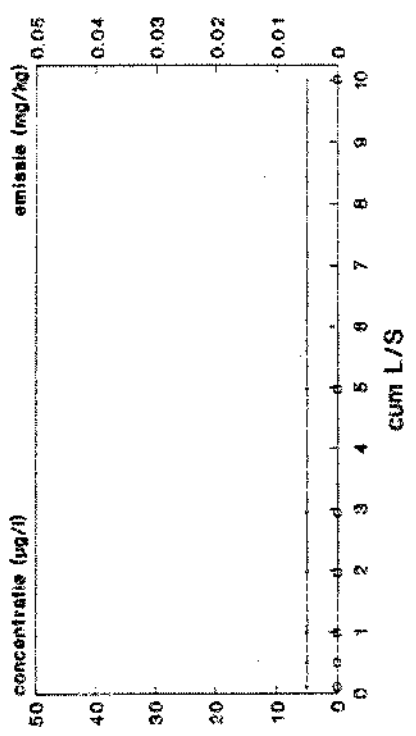
### Hernese bos lood



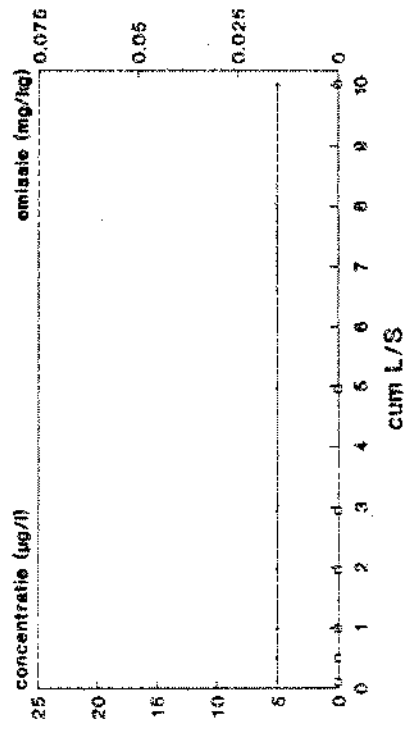
### Hernese bos antimoon



### Hernese bos Selen



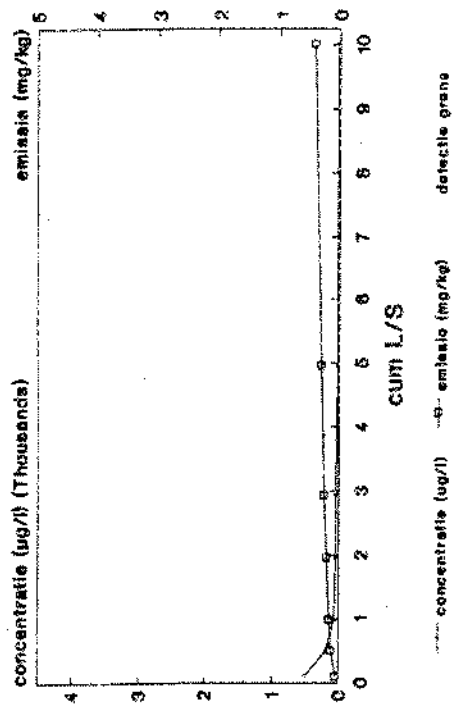
### Hernese bos Tin



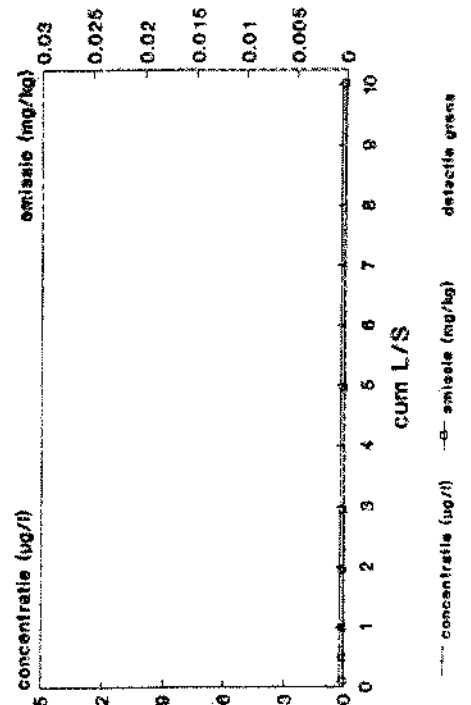
Beoordeling van gereinigde grond, destrappoort 1.

pagina 61.

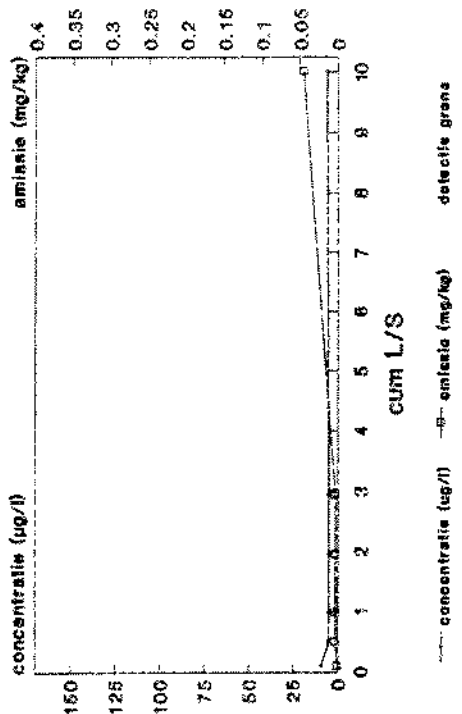
Hernese bos  
Zink



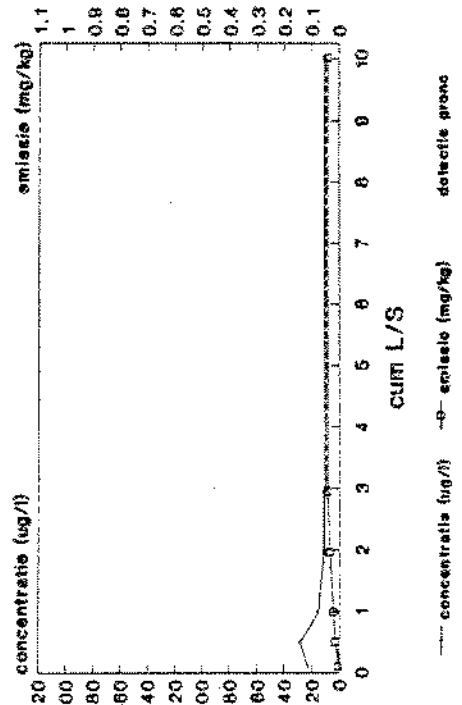
Hernese bos  
Kwik



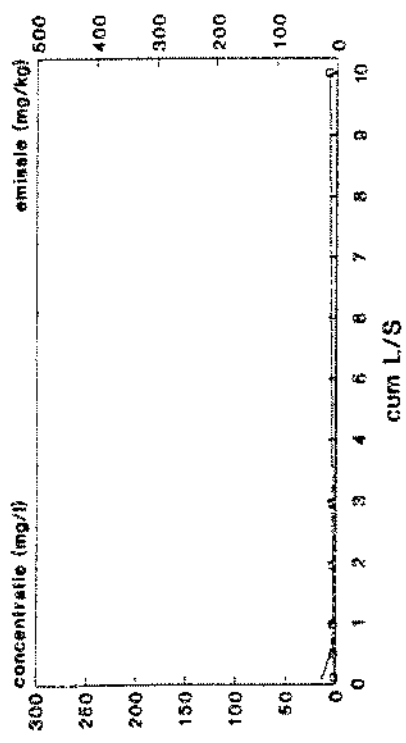
Hernese bos  
Cobalt



Hernese bos  
Vanaadium

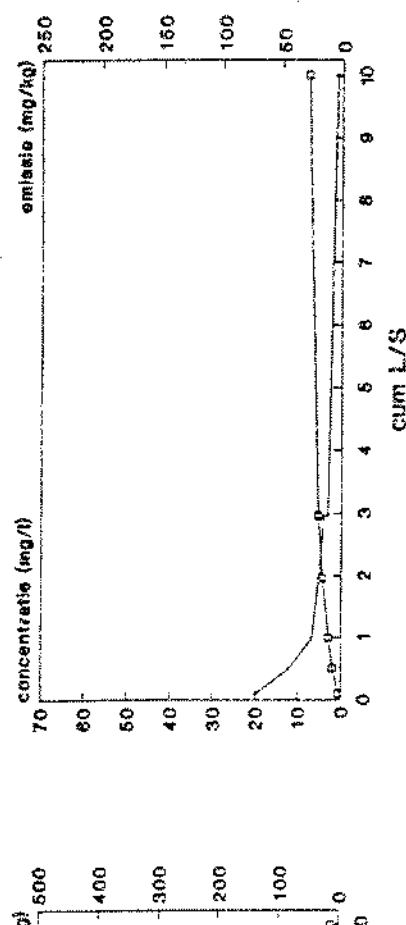


### Hernesee bos Calcium



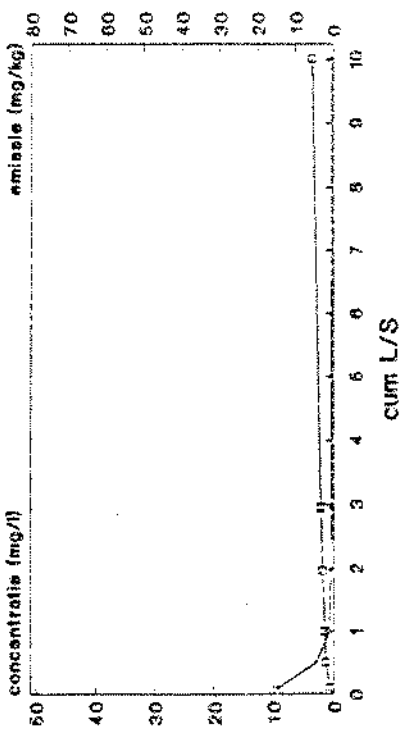
— concentratie (mg/kg) —○— elutatie (mg/kg) —○— detectie grens

### Hernesee bos Kaliumpotassium



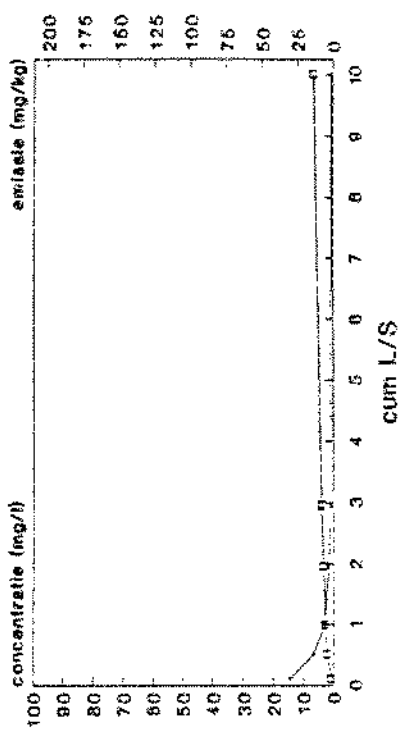
— concentratie (mg/kg) —○— elutatie (mg/kg) —○— detectie grens

### Hernesee bos Magnesium



— concentratie (mg/kg) —○— elutatie (mg/kg) —○— detectie grens

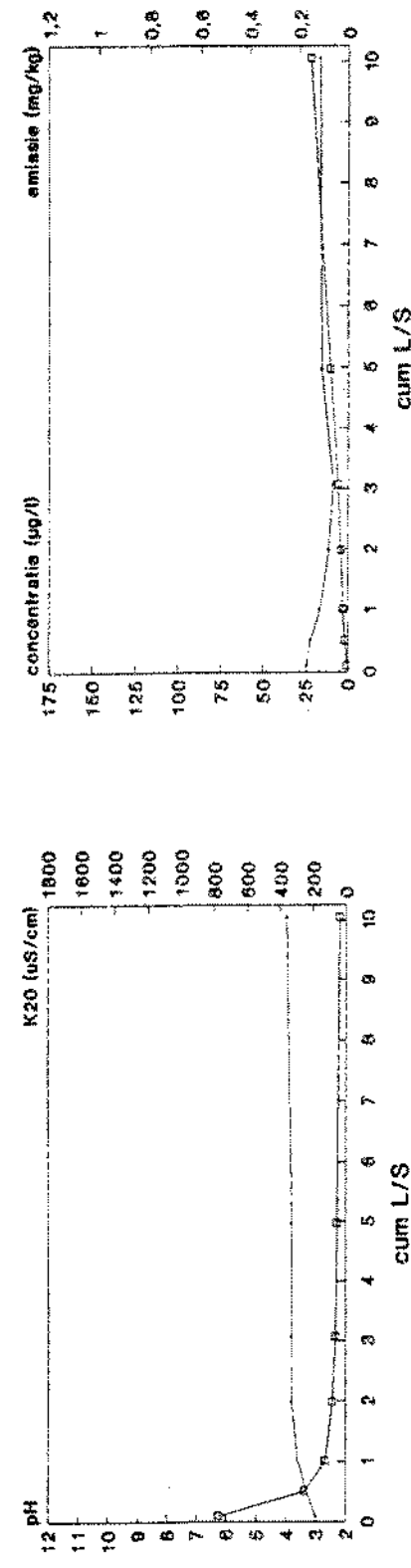
### Hernesee bos Natrium



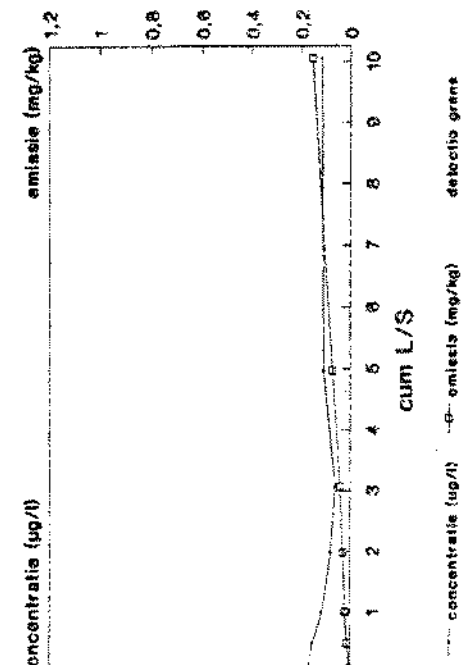
— concentratie (mg/kg) —○— elutatie (mg/kg) —○— detectie grens

— concentratie (mg/kg) —○— elutatie (mg/kg) —○— detectie grens

### Eerachterbroek pH en K2O



### Eerachterbroek Arsen



concentratie (µg/l)

emissie (mg/kg)

concentratie (µg/l)

emissie (mg/kg)

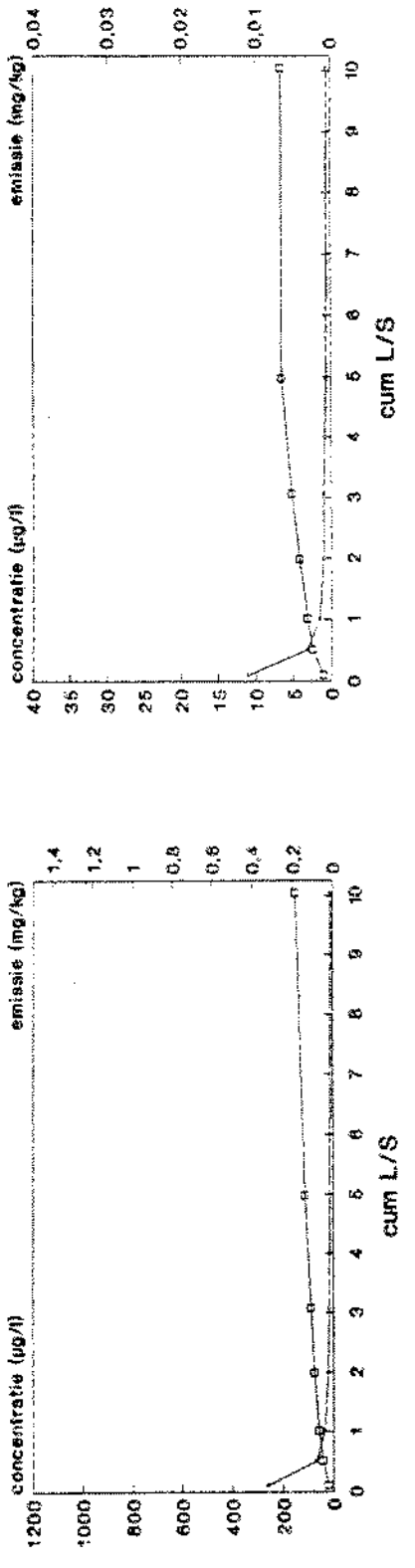
concentratie (µg/l)

emissie (mg/kg)

concentratie (µg/l)

emissie (mg/kg)

### Eerachterbroek Barium



concentratie (µg/l)

emissie (mg/kg)

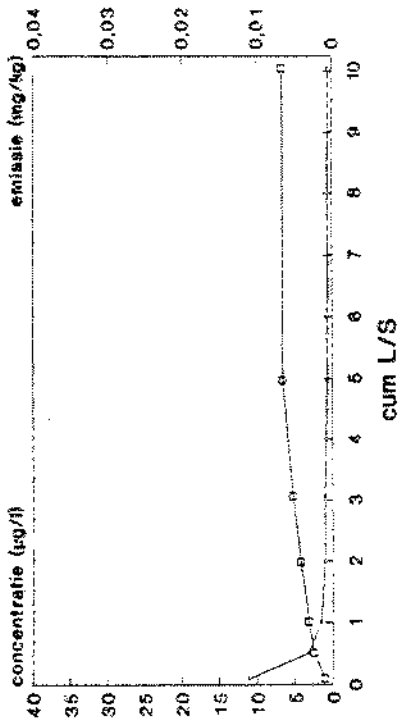
concentratie (µg/l)

emissie (mg/kg)

concentratie (µg/l)

emissie (mg/kg)

### Eerachterbroek Cadmium



concentratie (µg/l)

emissie (mg/kg)

concentratie (µg/l)

emissie (mg/kg)

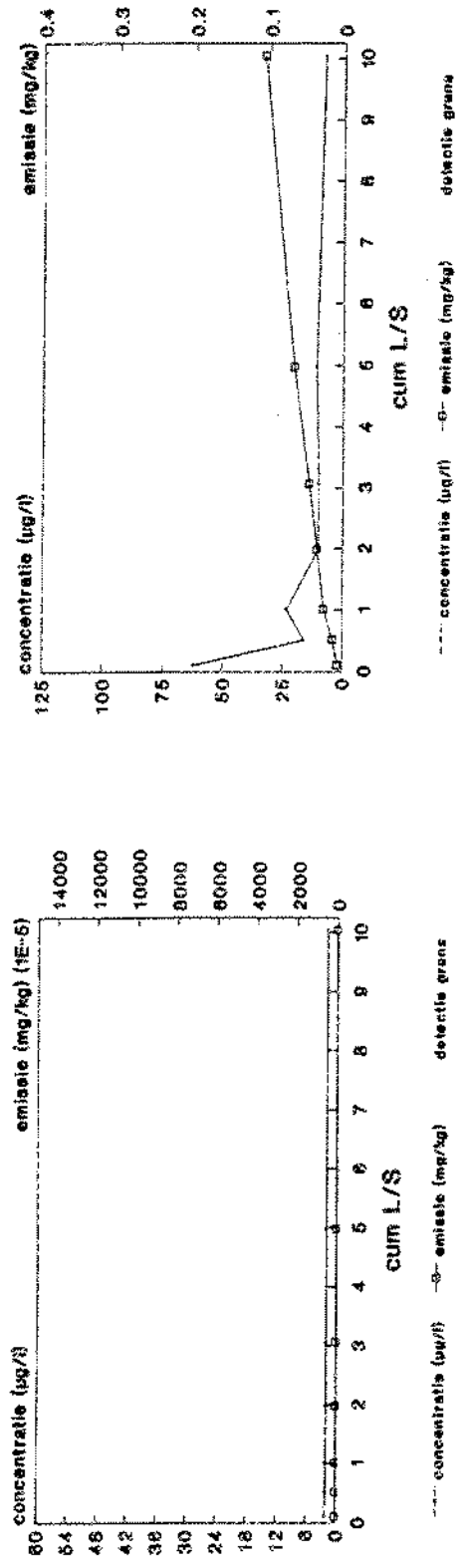
concentratie (µg/l)

emissie (mg/kg)

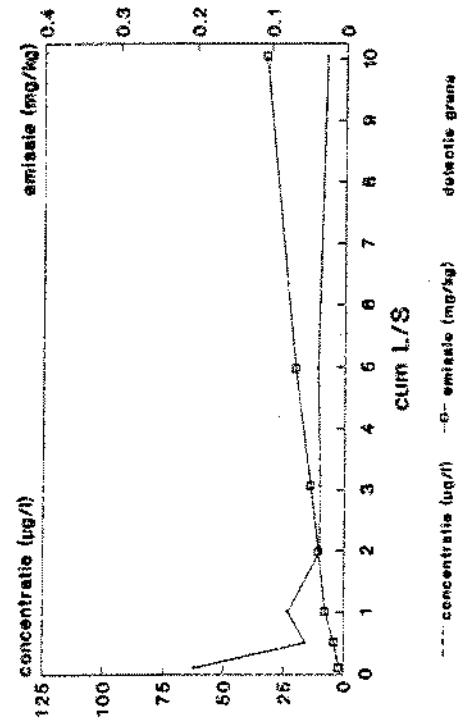
Beoordeling van gereinigde grond; deelrapport I.

pagina 64.

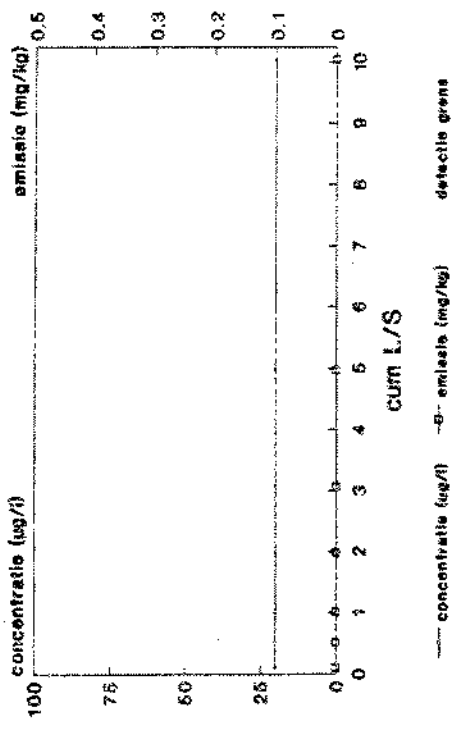
Eerachterbroek  
Chroom



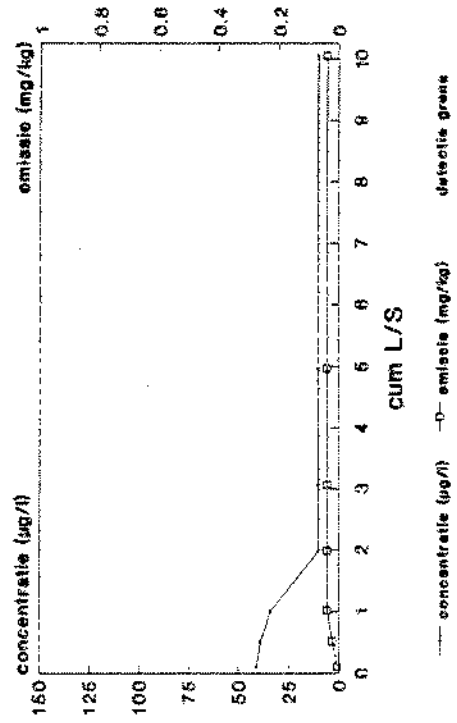
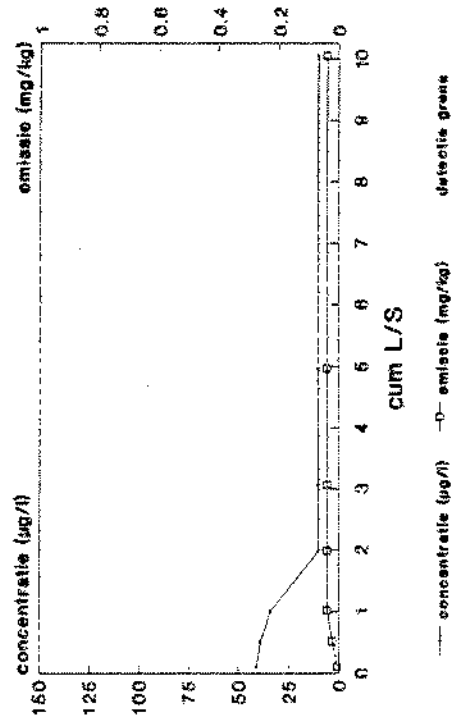
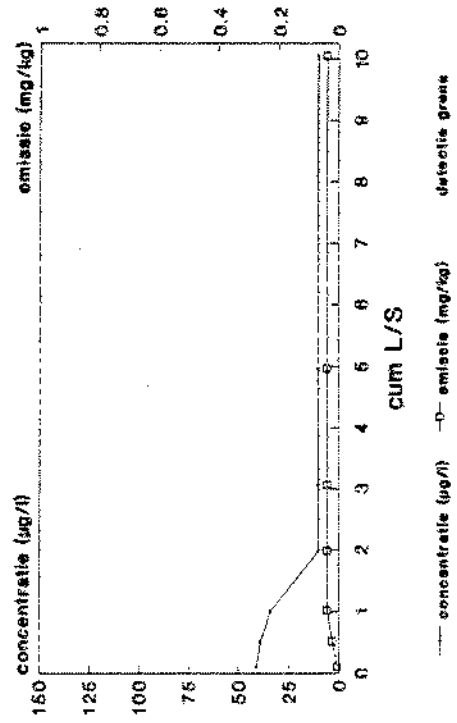
Eerachterbroek  
Koper



Eerachterbroek  
Molybdeen



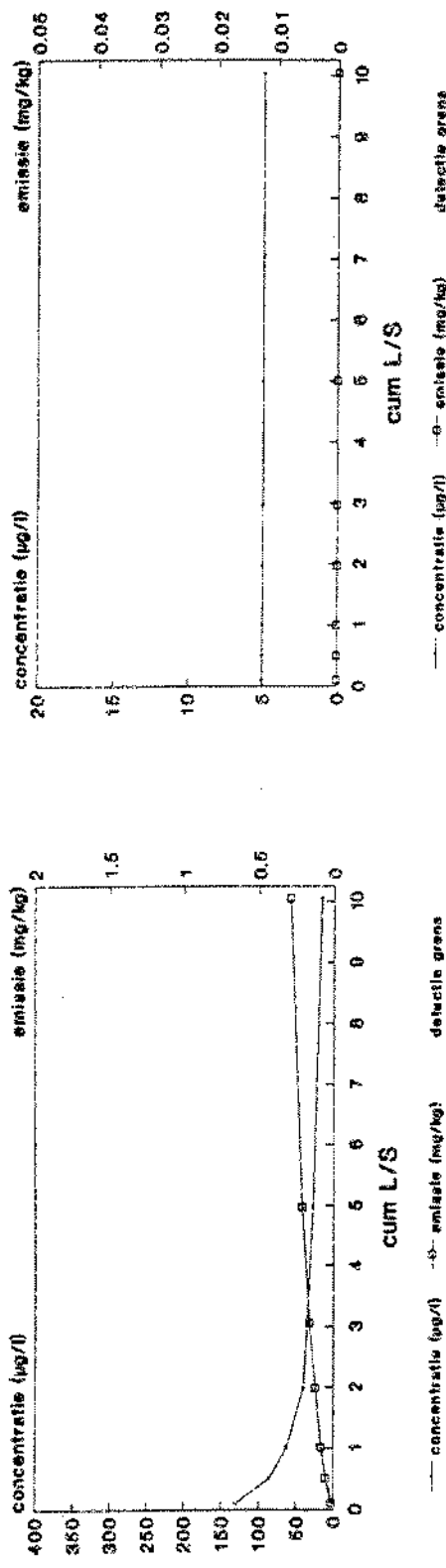
Eerachterbroek  
nikkel



Beoordeling van gereinigde grond, deelrapport I.

pagina 65.

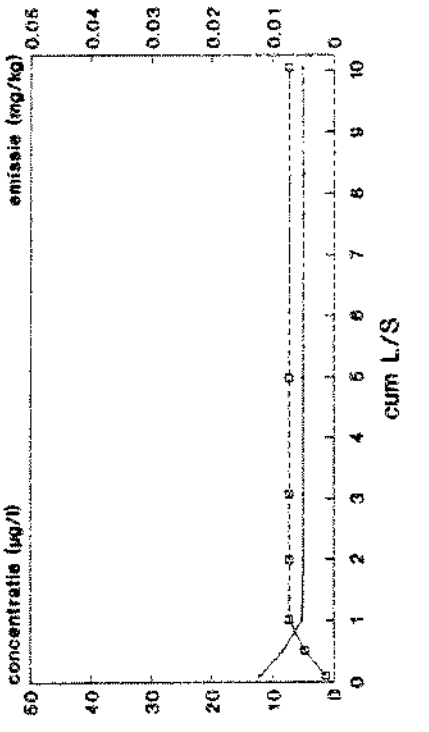
Eerachterbroek  
lood



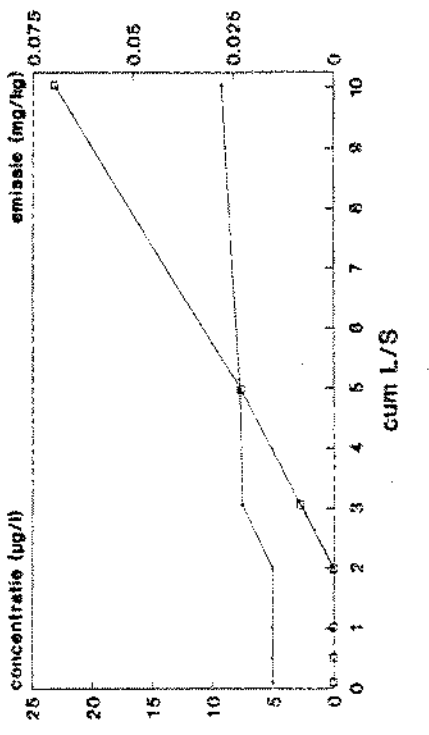
Eerachterbroek  
antimoon

— concentratie (µg/l) —> emissie (mg/kg) detectie grens

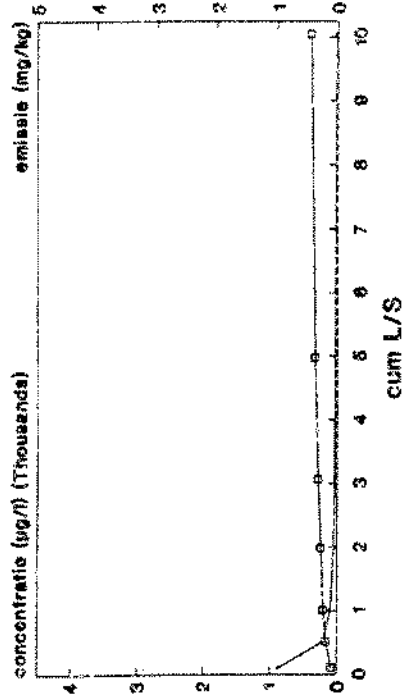
Eerachterbroek  
Selenen



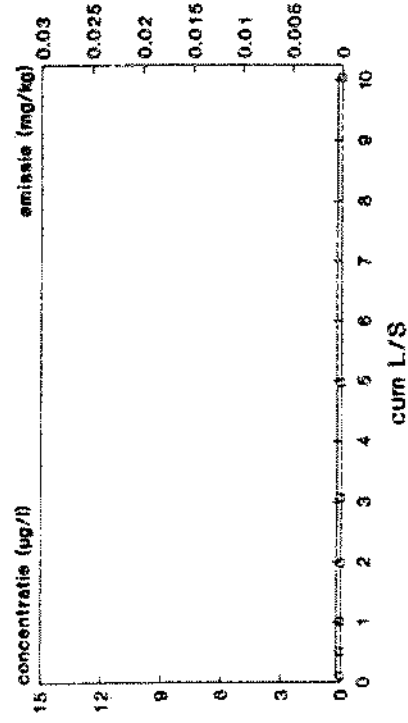
Eerachterbroek  
Tin



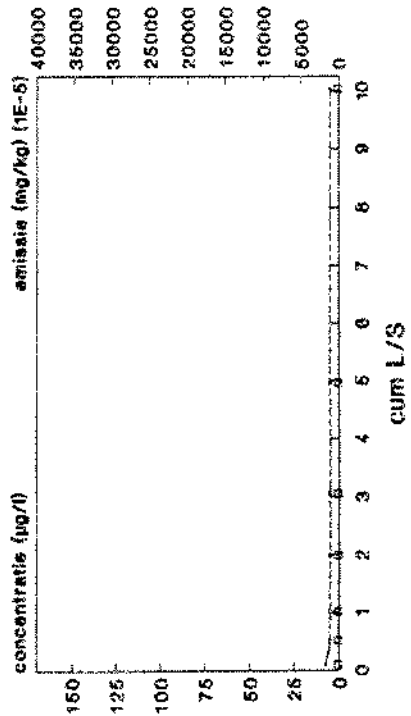
Eerachterbos  
Zink



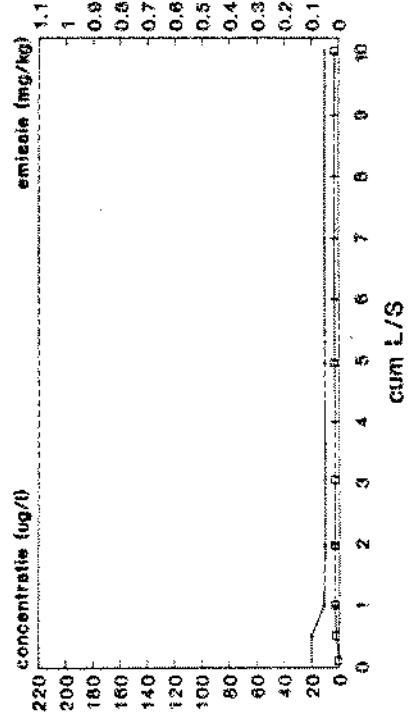
Eerachterbos  
Kwik



Eerachterbos  
Cobalt



Eerachterbos  
Vanaadium



— concentratie (µg/l) —> emissie (mg/kg)  
— concentratie (µg/l) —> emissie (mg/kg) detectie grens

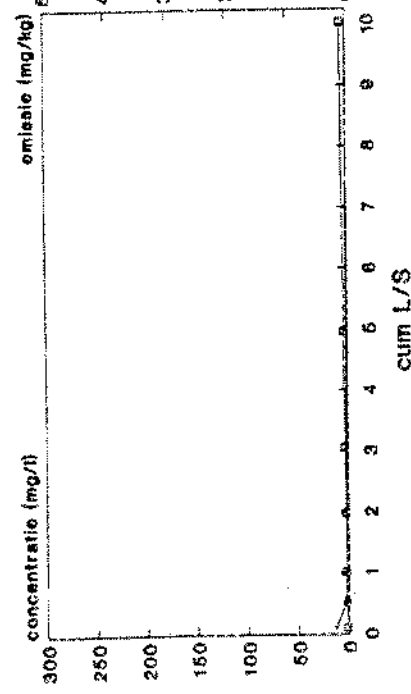
— concentratie (µg/l) —> emissie (mg/kg)  
— concentratie (µg/l) —> emissie (mg/kg) detectie grens

— concentratie (µg/l) —> emissie (mg/kg)  
— concentratie (µg/l) —> emissie (mg/kg) detectie grens

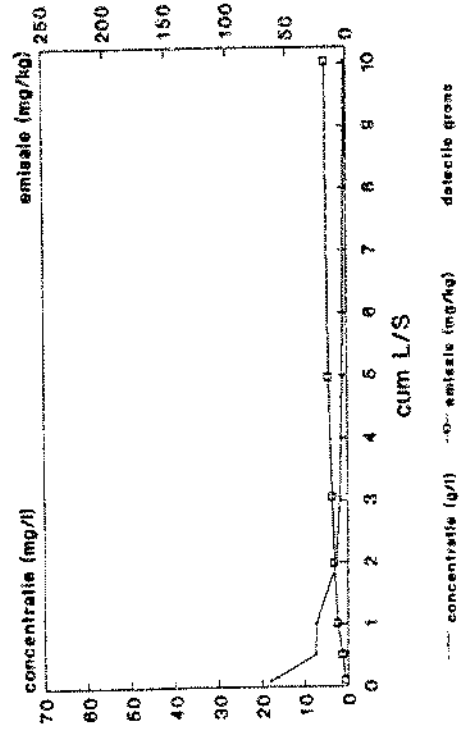
Beoordeling van gereinigde grond, deelrapport 1.

pagina 67.

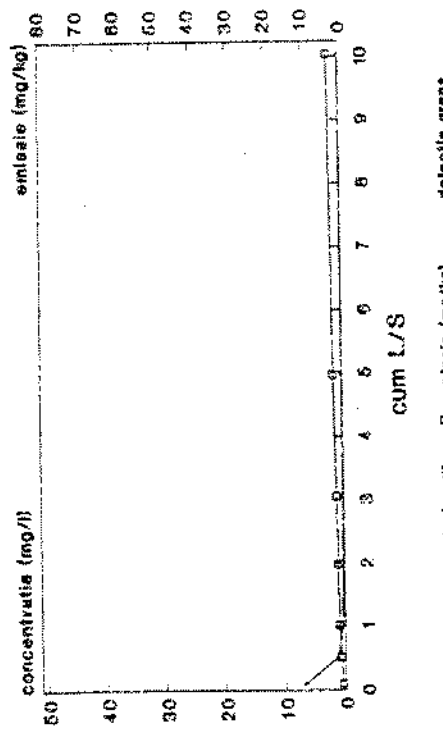
Eerachterbroek  
Calcium



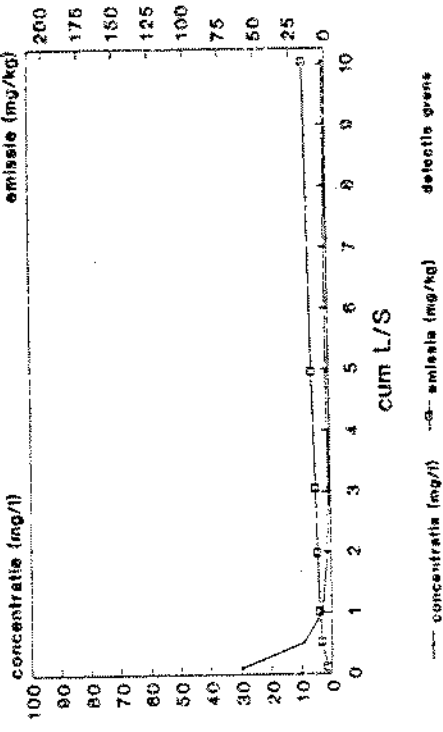
Eerachterbroek  
Kaliwm



Eerachterbroek  
Magnesium



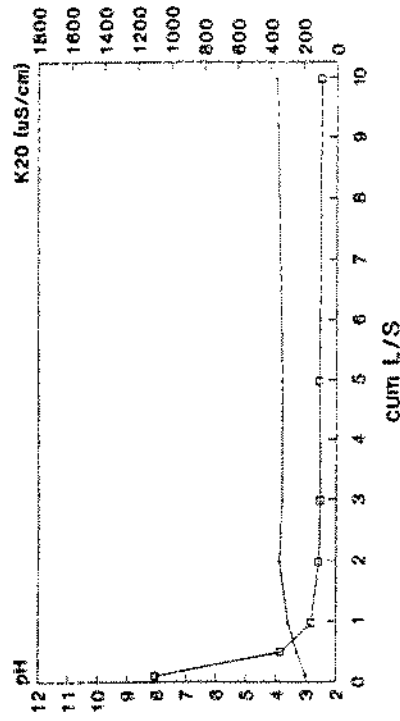
Eerachterbroek  
Natrium



Beoordeling van gereinigde grond, deelrapport 1.

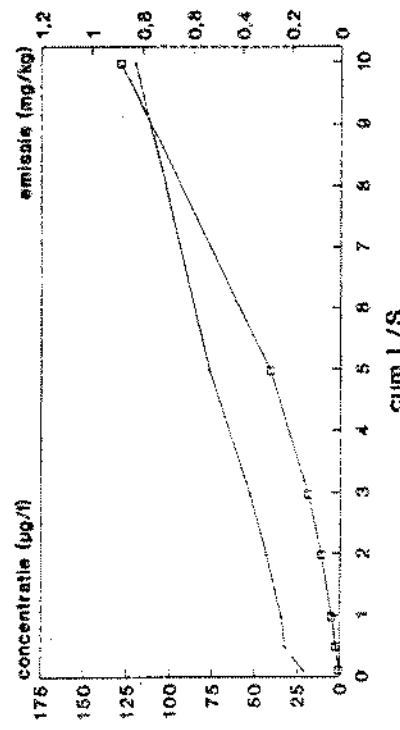
pagina 68.

### Middachten pH en K20



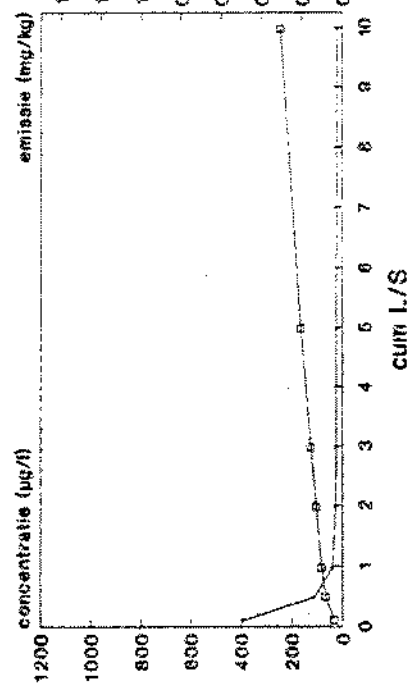
pH — e- geleidbaarheid

### Middachten Arseen



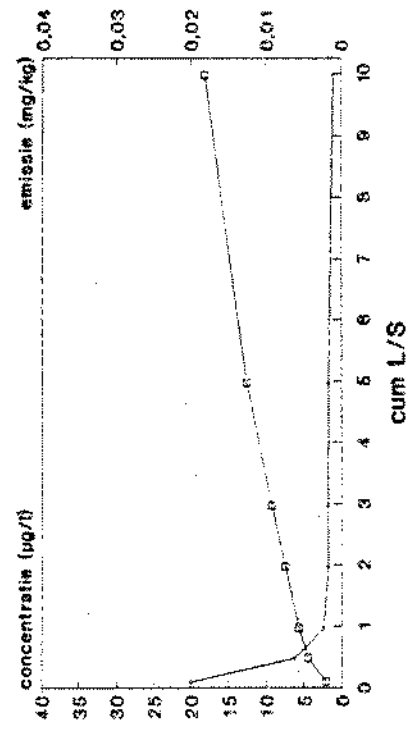
concentratie ( $\mu\text{g/l}$ ) — e- emissie ( $\text{mg/kg}$ )  
detectie grens

### Middachten Barium



concentratie ( $\mu\text{g/l}$ ) — e- emissie ( $\text{mg/kg}$ )  
detectie grens

### Middachten Cadmium

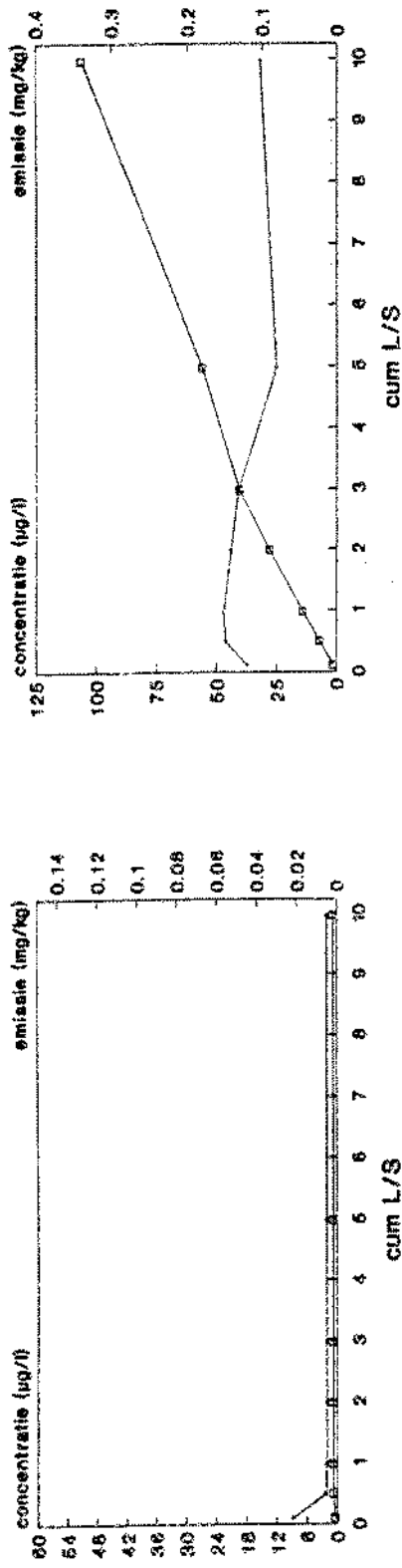


concentratie ( $\mu\text{g/l}$ ) — e- emissie ( $\text{mg/kg}$ )  
detectie grens

**Beoordeling van gereinigde grond, deelrapport I.**

pagina 69.

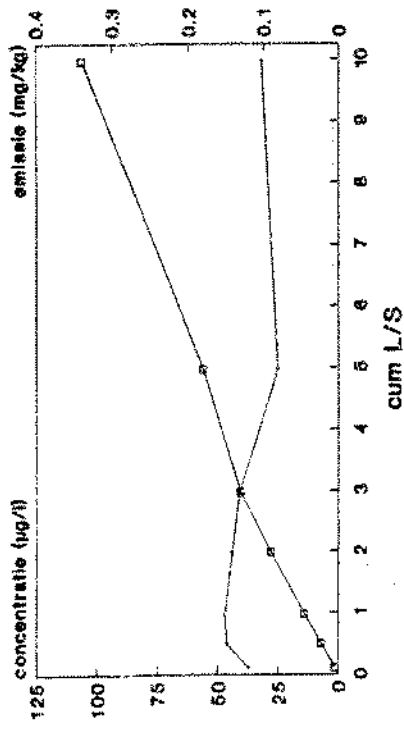
**Middachten  
Chroom**



concentratie (µg/l) —○— emissie (mg/kg)

detectie grens

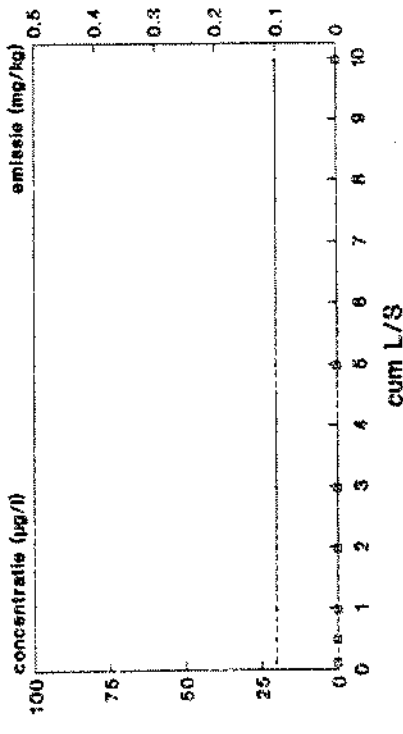
**Middachten  
Koper**



concentratie (µg/l) —○— emissie (mg/kg)

detectie grens

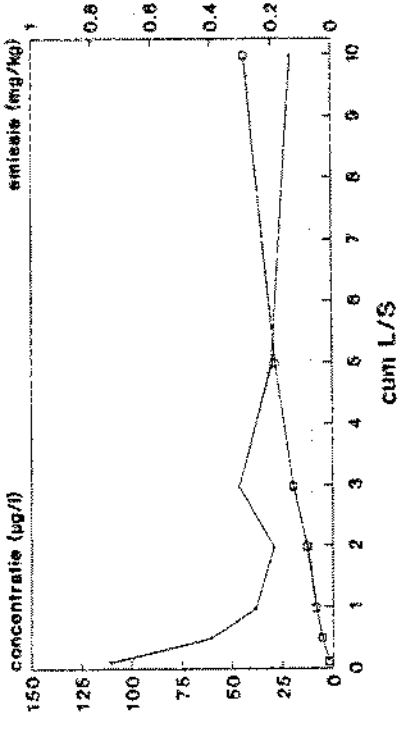
**Middachten  
Molybdeen**



concentratie (µg/l) —○— emissie (mg/kg)

detectie grens

**Middachten  
nikkel**



concentratie (µg/l) —○— emissie (mg/kg)

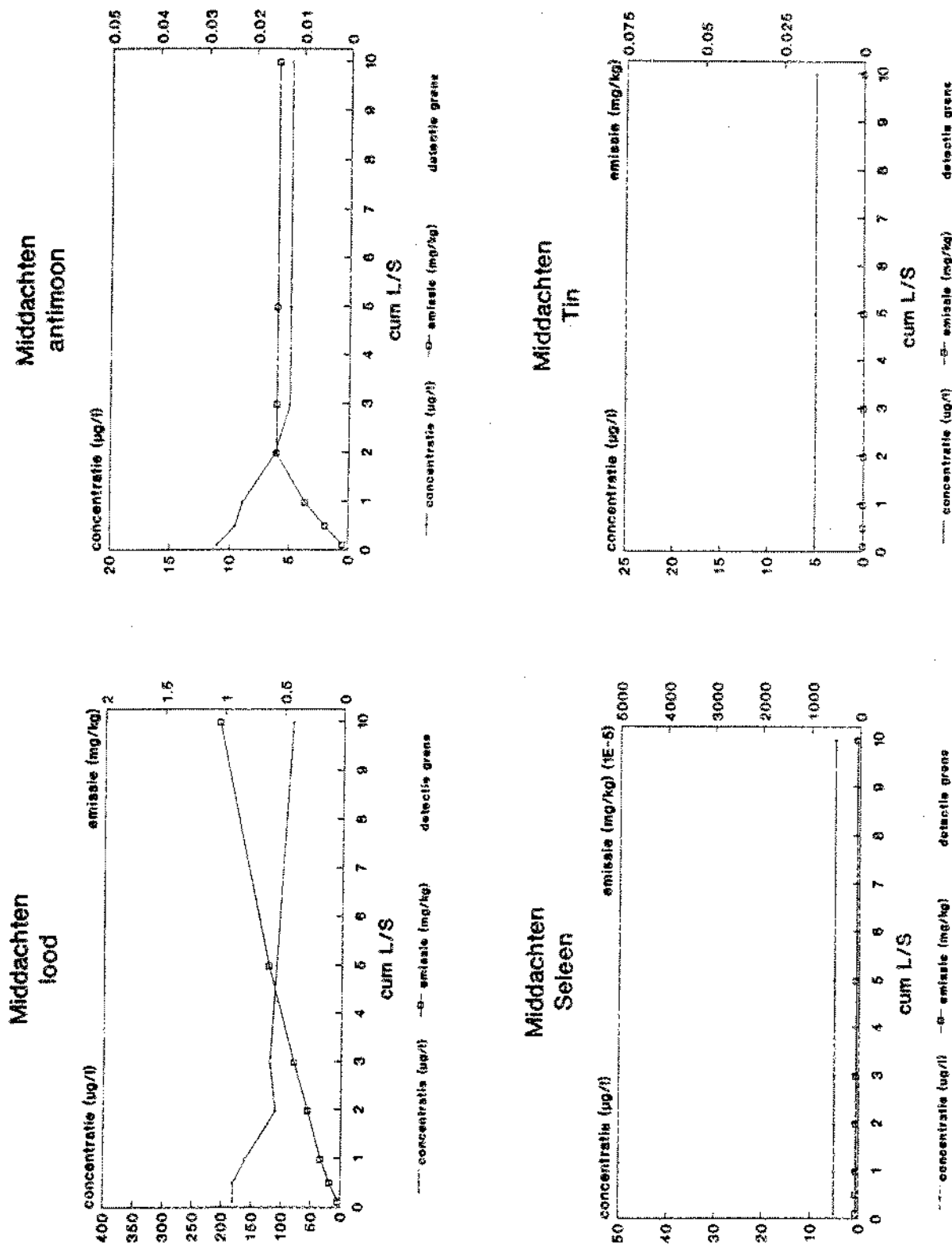
detectie grens

concentratie (µg/l) —○— emissie (mg/kg)

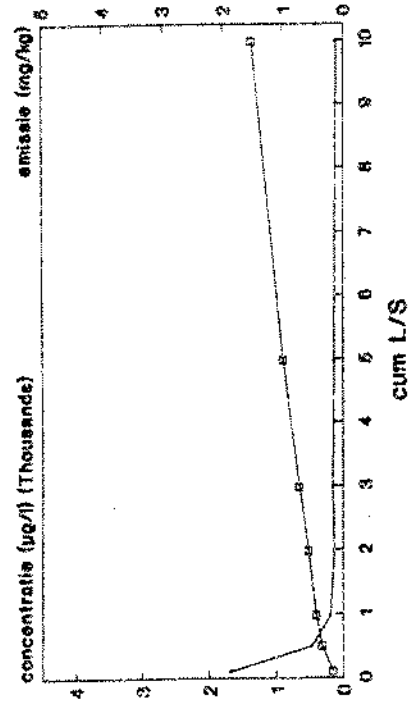
detectie grens

## Beoordeling van gereinigde grond, deelrapport I.

pagina 70.

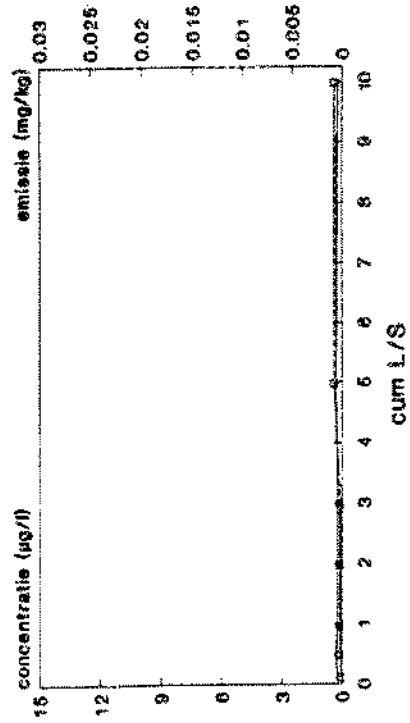


### Middachten Zink



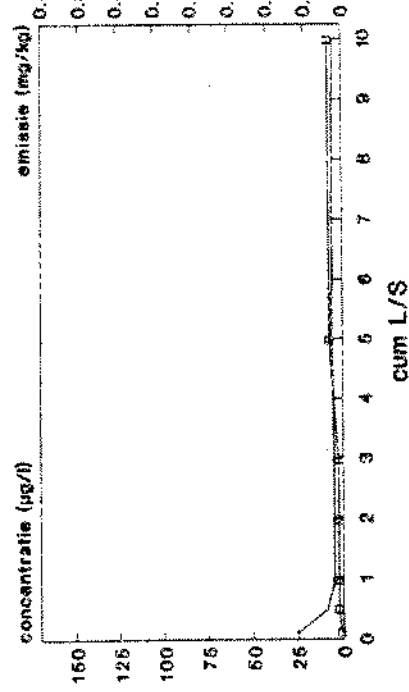
— concentratie (ug/l)    -e- emissie (mg/kg)  
detectie grens

### Middachten Kwik



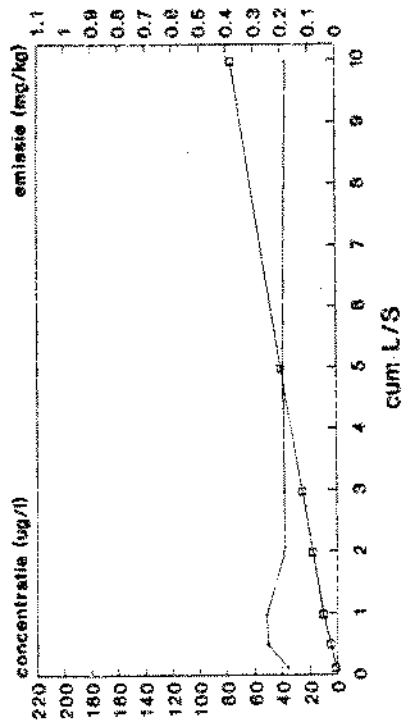
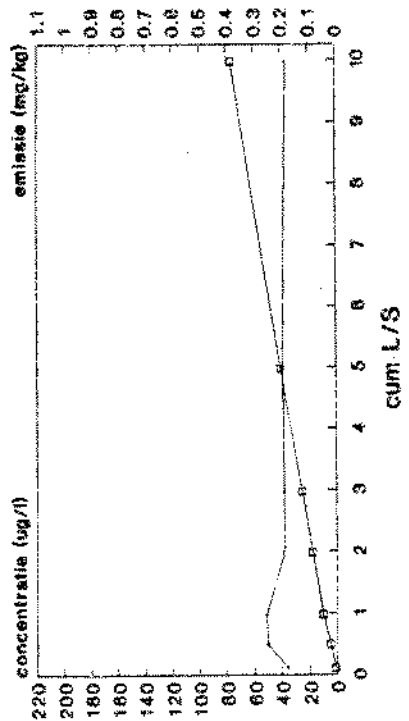
— concentratie (ug/l)    -e- emissie (mg/kg)  
detectie grens

### Middachten Cobalt

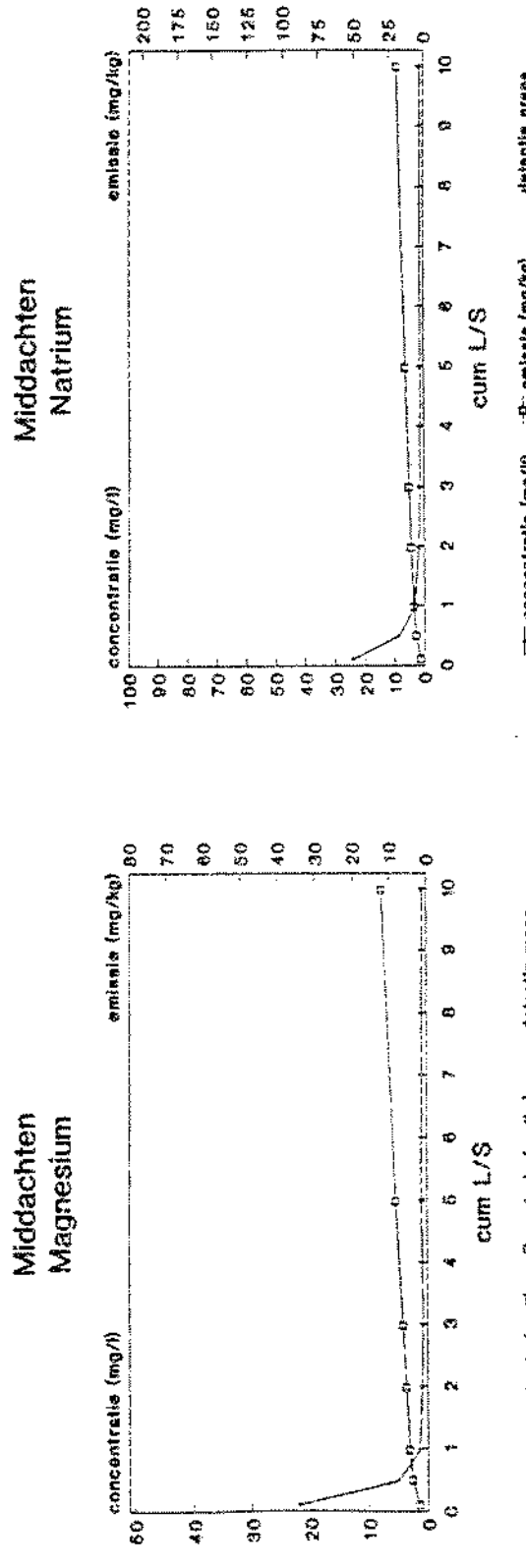
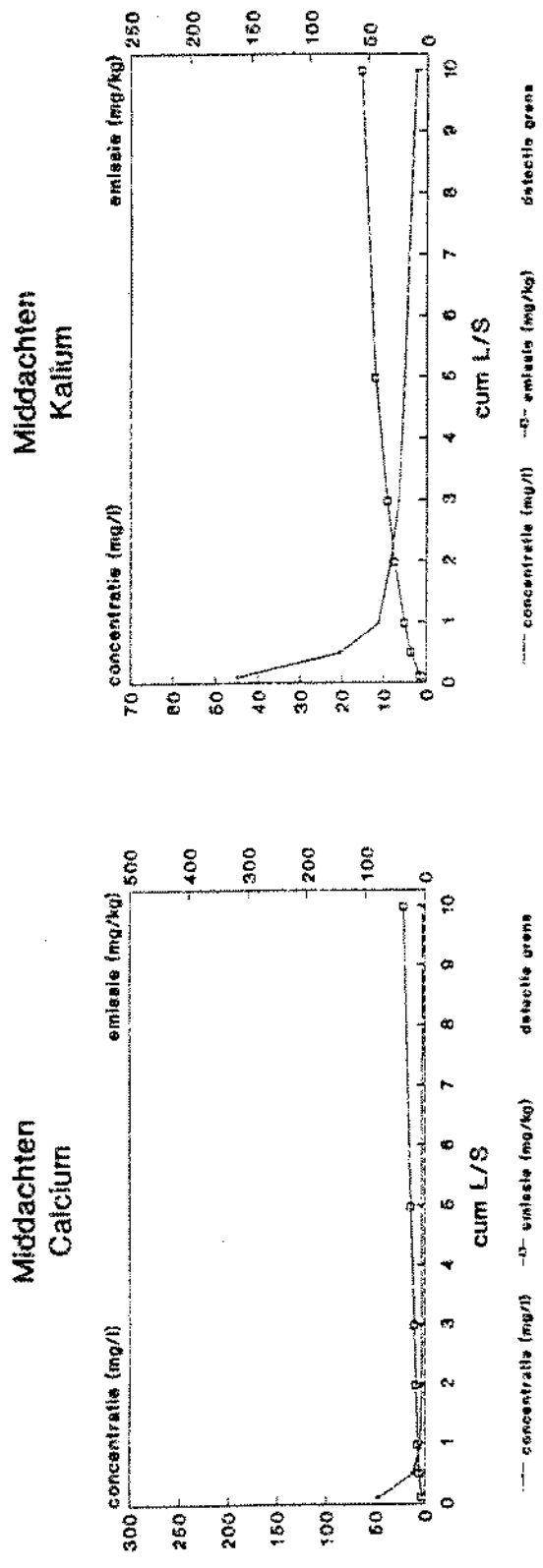


— concentratie (ug/l)    -e- emissie (mg/kg)  
detectie grens

### Middachten Vanadium



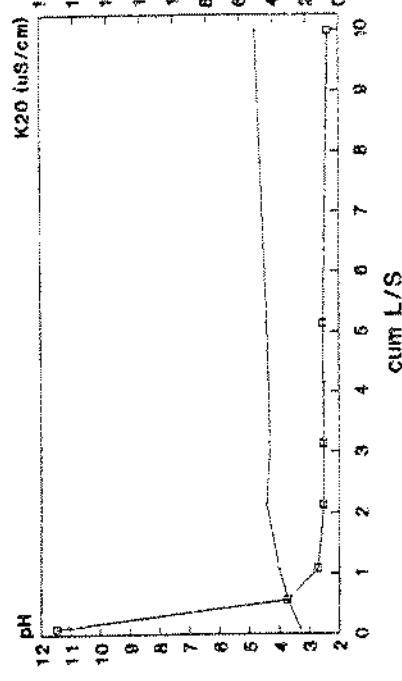
— concentratie (ug/l)    -e- emissie (mg/kg)  
detectie grens



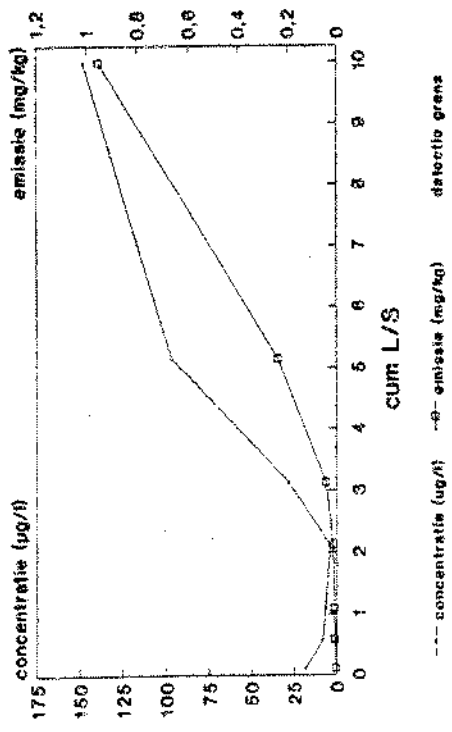
**Beoordeling van gereinigde grond, deelrapport 1.**

**pagina 73.**

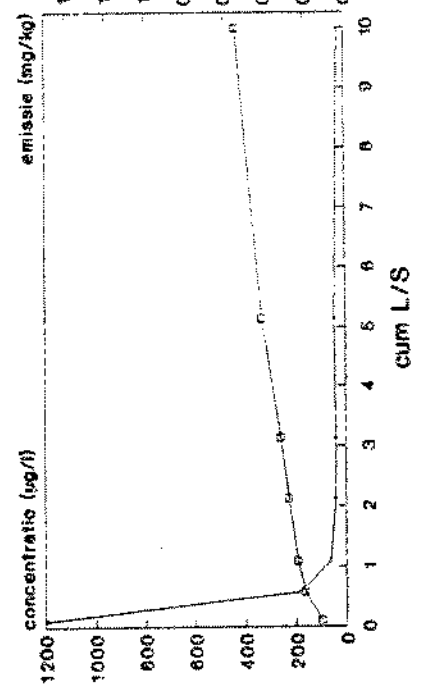
**Bibbos**  
**pH en K20**



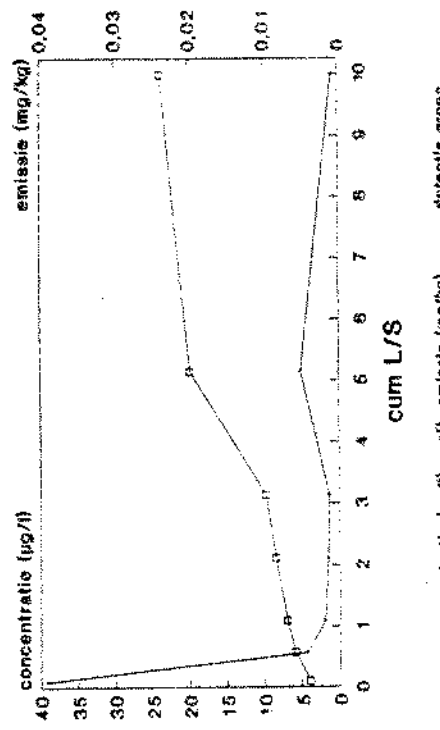
**Bibbos**  
**Arseen**



**Bibbos**  
**Barium**



**Bibbos**  
**Cadmium**



detectie grens

detectie grens

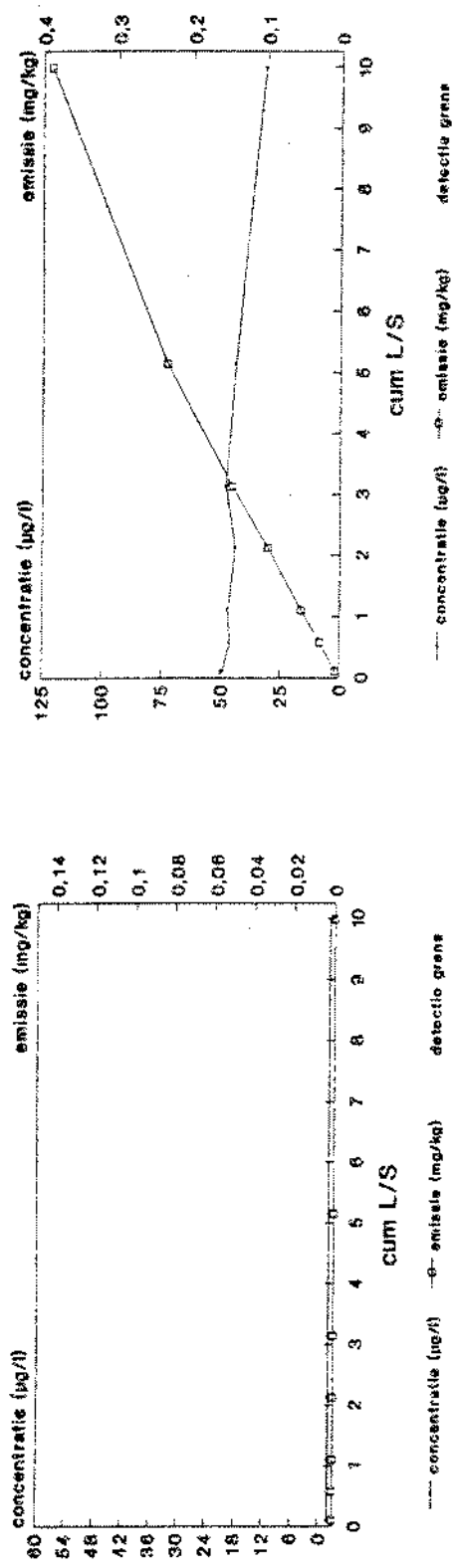
detectie grens

detectie grens

**Beoordeling van gereinigde grond, deelrapport 1.**

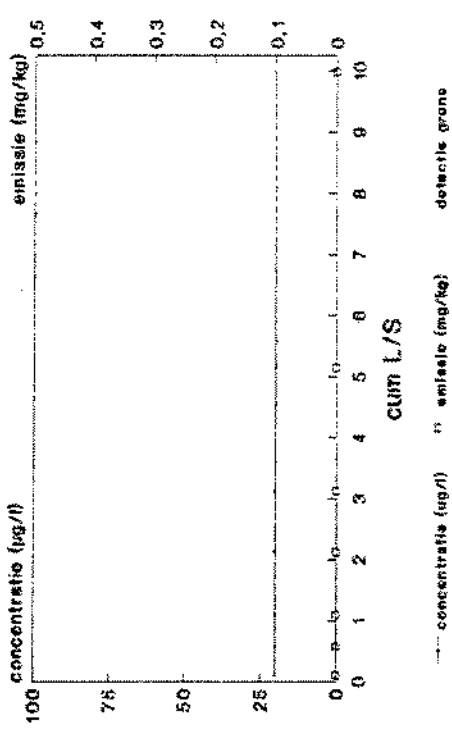
pagina 74.

**Bibos  
Chroom**



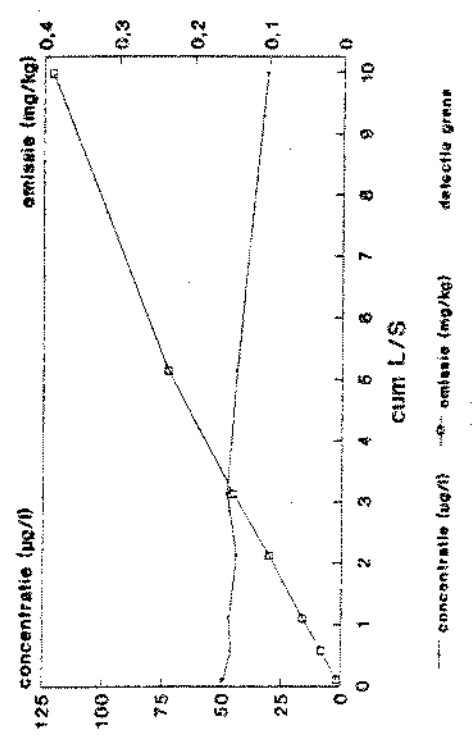
— concentratie ( $\mu\text{g/l}$ )    -o- emissie ( $\text{mg/kg}$ )    —...— detectie grens

**Bibos  
Molybdeen**



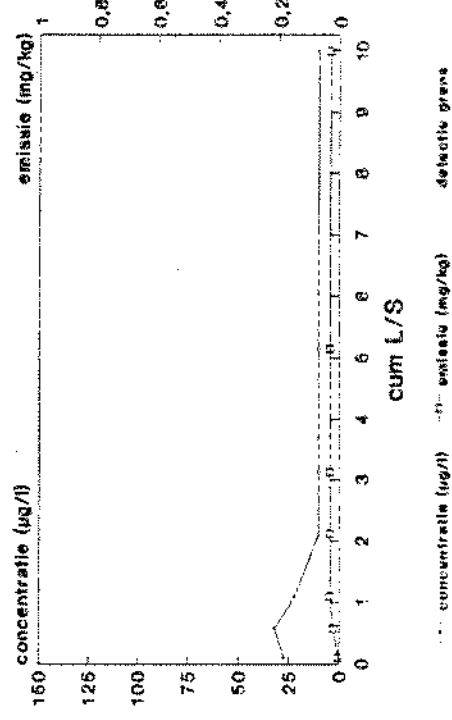
— concentratie ( $\mu\text{g/l}$ )    -o- emissie ( $\text{mg/kg}$ )    —...— detectie grens

**Bibos  
Koper**

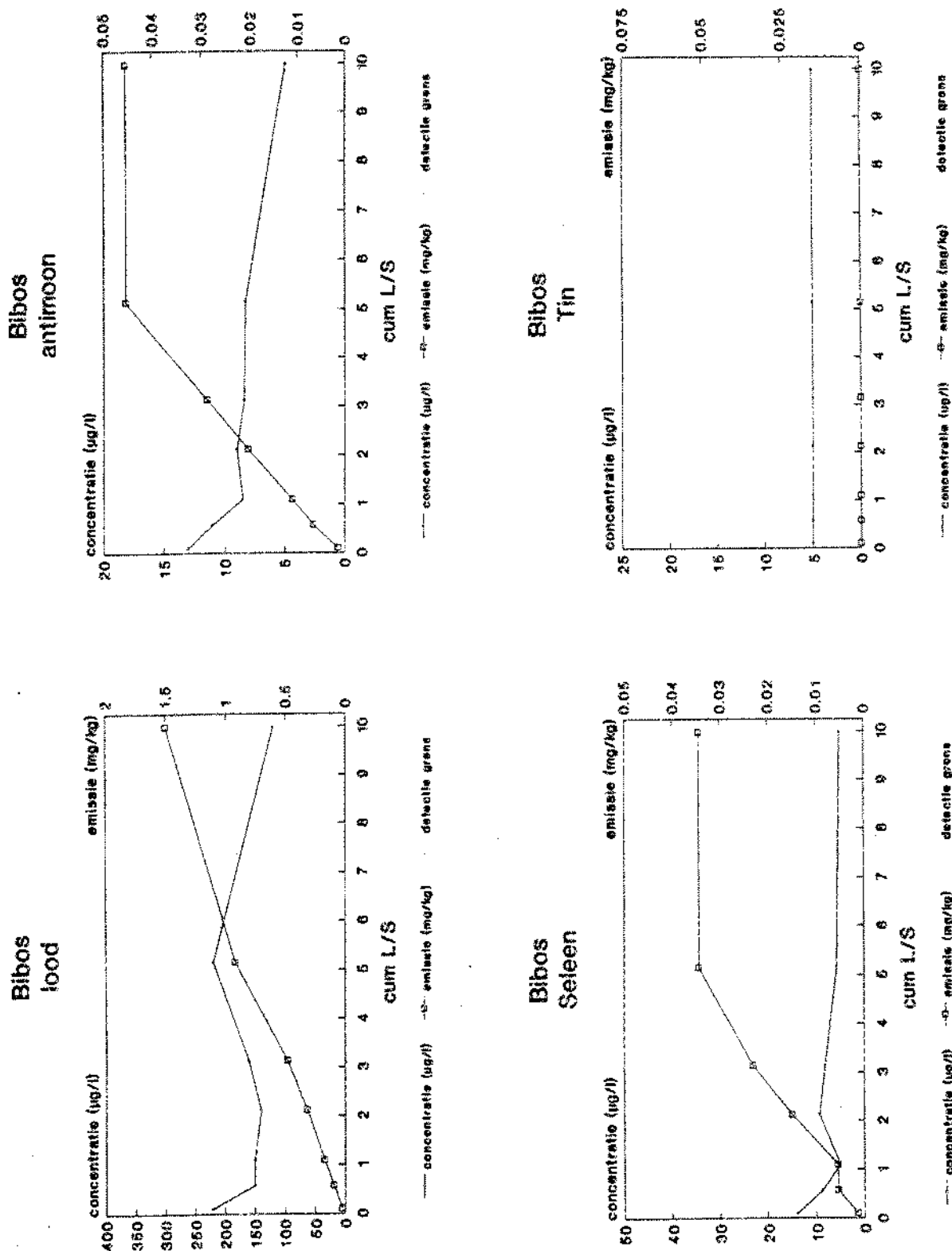


— concentratie ( $\mu\text{g/l}$ )    -o- emissie ( $\text{mg/kg}$ )    —...— detectie grens

**Bibos  
nikkel**

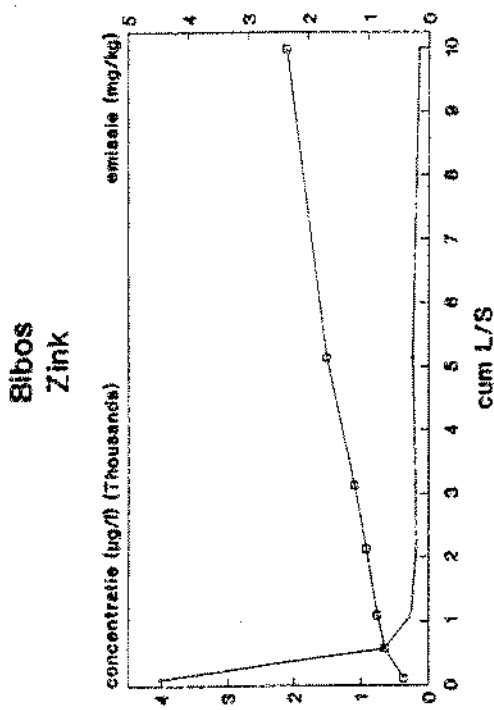


— concentratie ( $\mu\text{g/l}$ )    -o- emissie ( $\text{mg/kg}$ )    —...— detectie grens

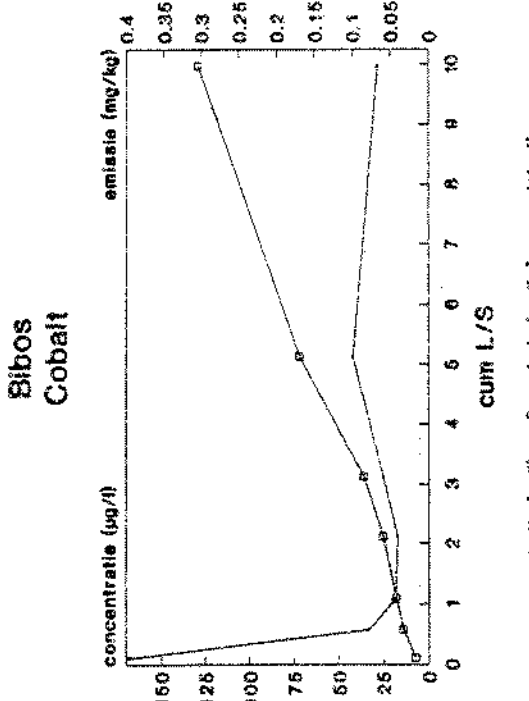


Beoordeling van gereinigde grond, deelrapport I.

pagina 76.

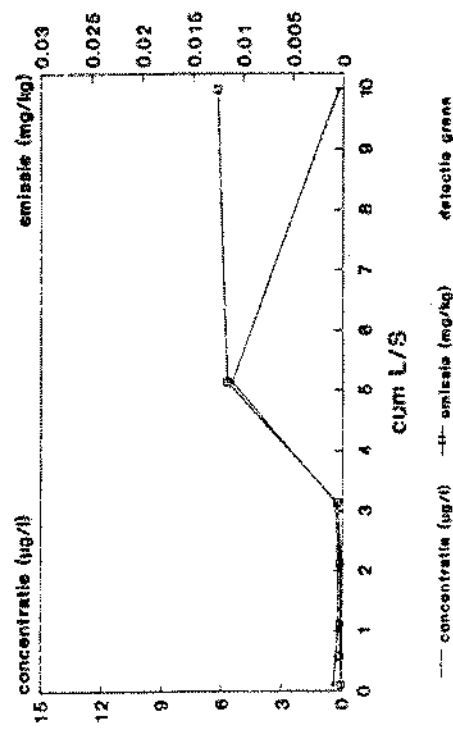


— concentratie (µg/l) —> emissie (mg/kg)  
detectie grens



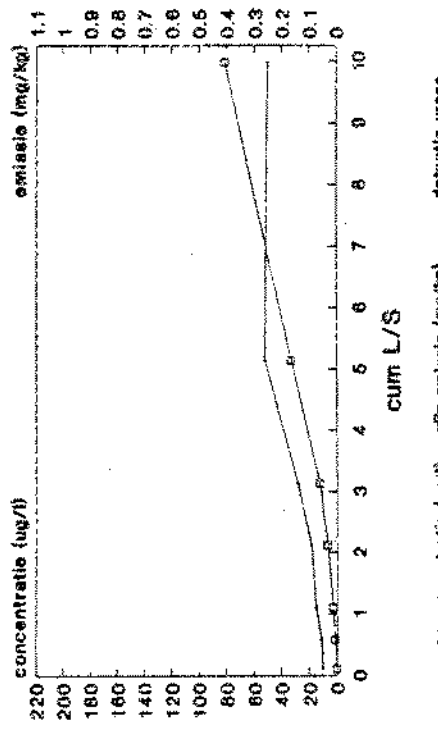
— concentratie (µg/l) —> emissie (mg/kg)  
detectie grens

**Bibbos Kwik**



— concentratie (µg/l) —> emissie (mg/kg)  
detectie grens

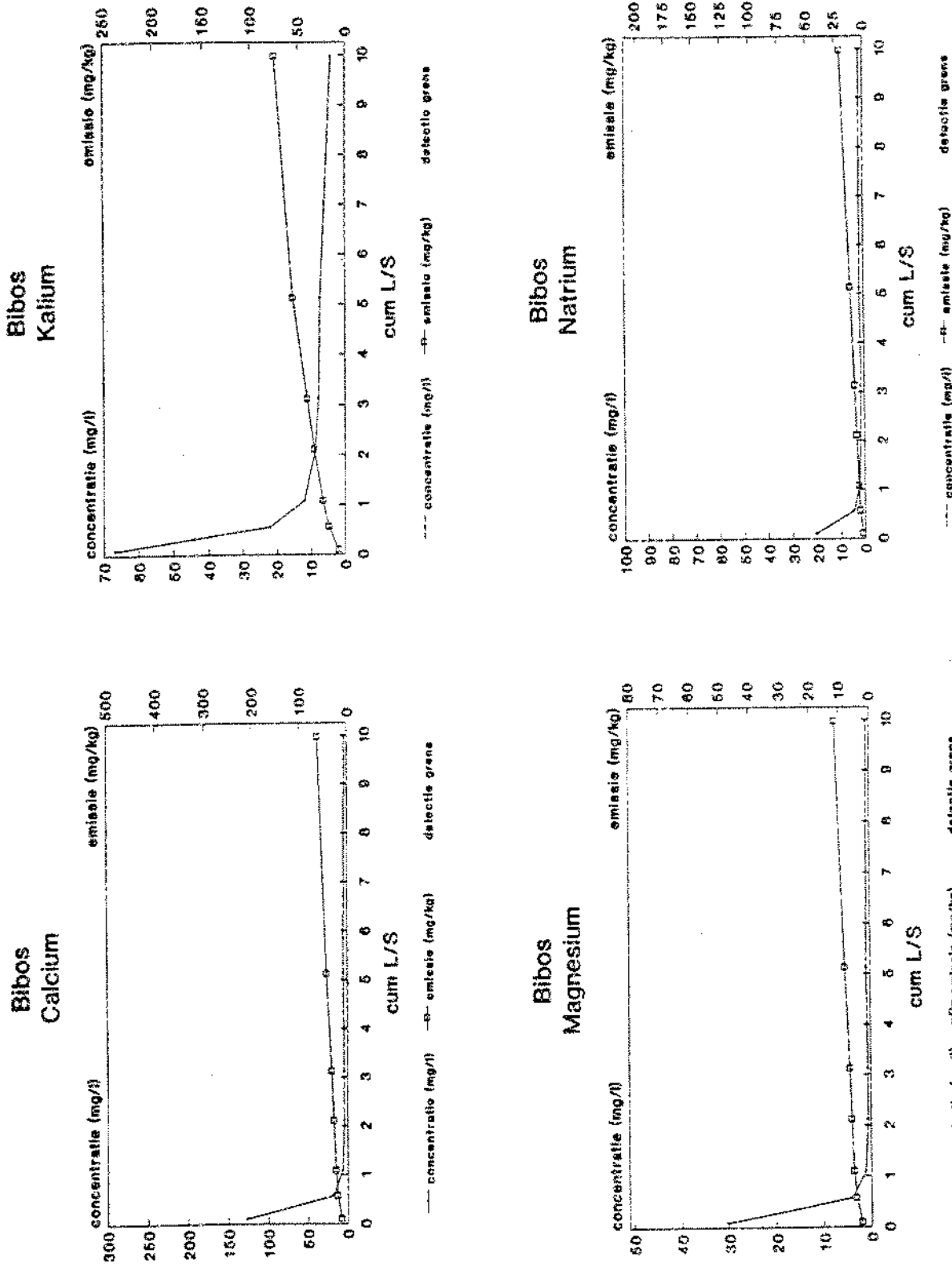
**Bibbos Vanadium**



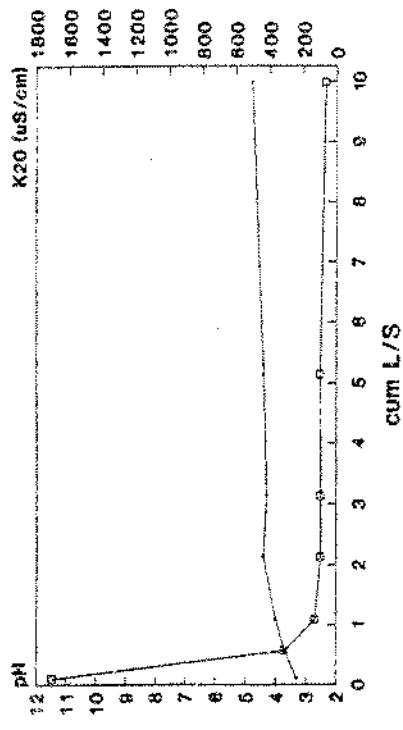
— concentratie (µg/l) —> emissie (mg/kg)  
detectie grens

**Beoordeling van gereinigde grond, deelrapport I.**

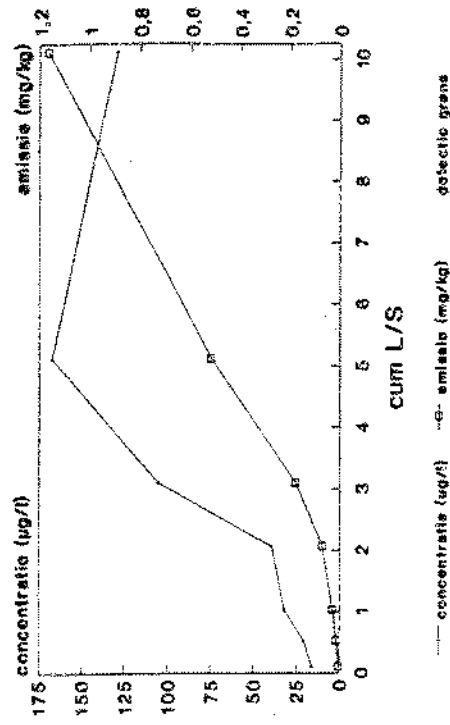
pagina 77.



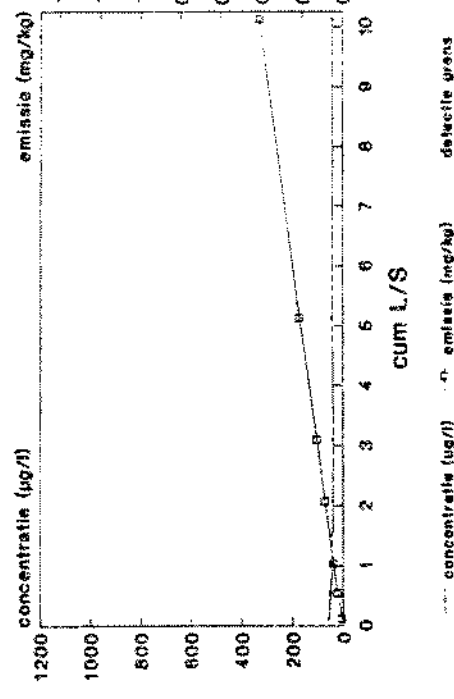
### Korenburgerveen pH en K2O



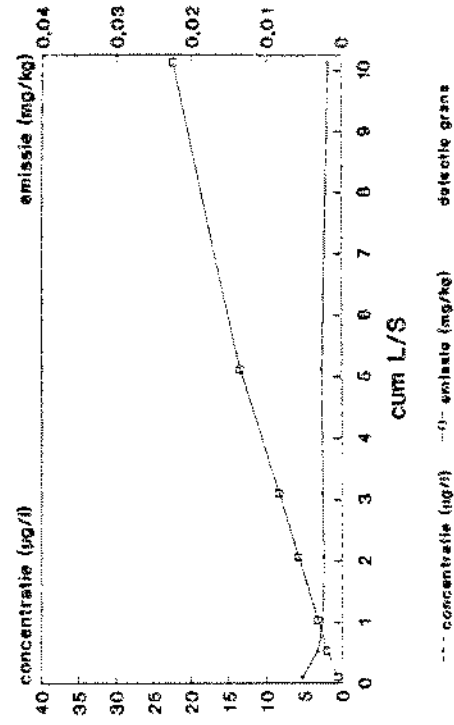
### Korenburgerveen Arsseen



### Korenburgerveen Barium



### Korenburgerveen Cadmium



--- concentratie ( $\mu\text{g/l}$ )    -o- emissie ( $\text{mg/kg}$ )    detectie grens

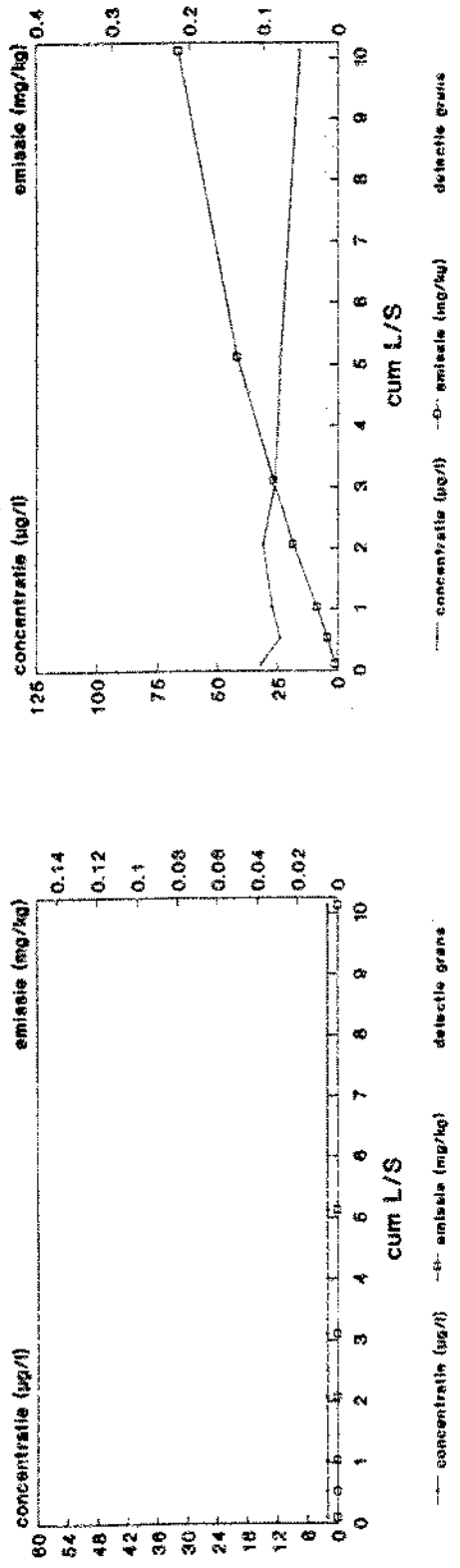
--- concentratie ( $\mu\text{g/l}$ )    -o- emissie ( $\text{mg/kg}$ )    detectie grens

--- concentratie ( $\mu\text{g/l}$ )    -o- emissie ( $\text{mg/kg}$ )    detectie grens

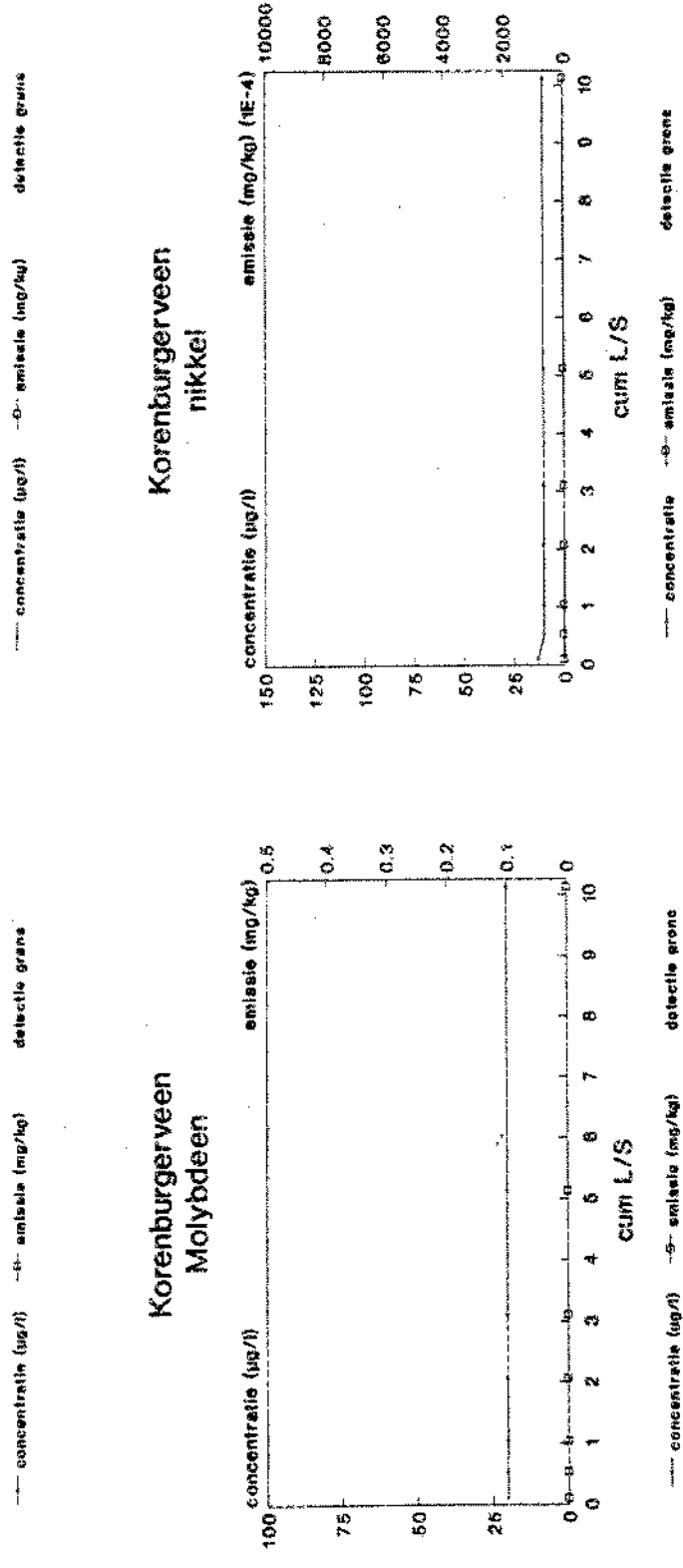
Beoordeling van gereinigde grond, deelrapport 1.

pagina 79.

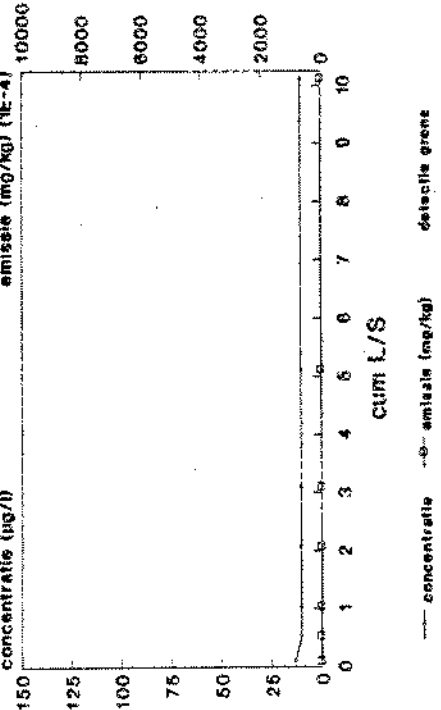
Korenburgerveen  
Chroom



Korenburgerveen  
Molybdeen



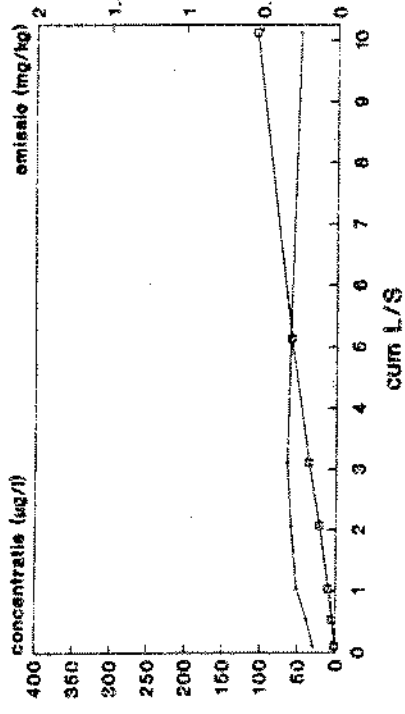
Korenburgerveen  
nikkel



Beoordeling van gereinigde grond, deelrapport I.

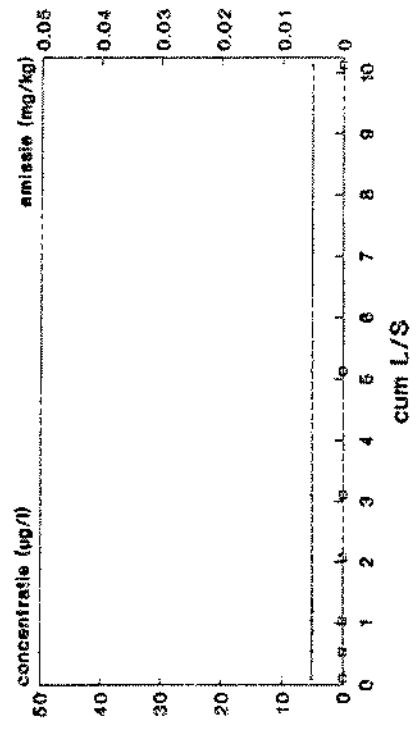
pagina 80

### Korenburgerveen lood



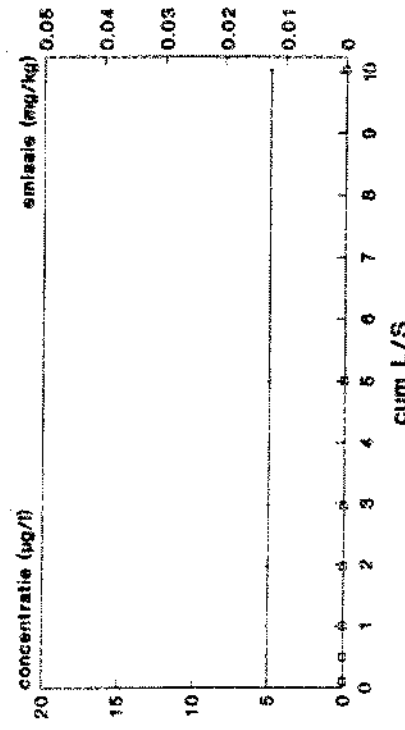
— concentratie (µg/l) — o- emissie (mg/kg) - - detectie grens

### Korenburgerveen Selen



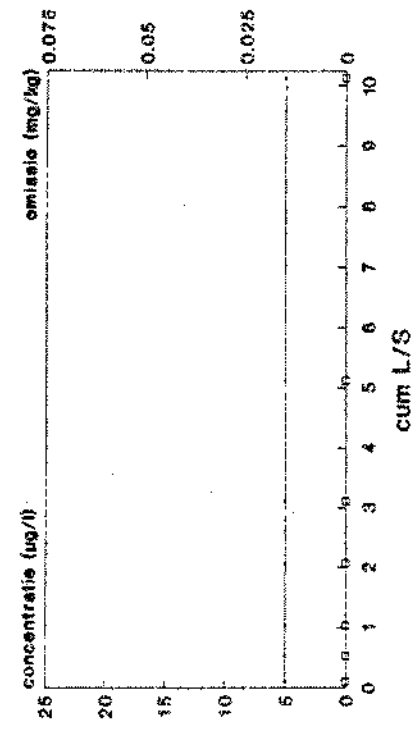
— concentratie (µg/l) — o- emissie (mg/kg) - - detectie grens

### Korenburgerveen antimoon

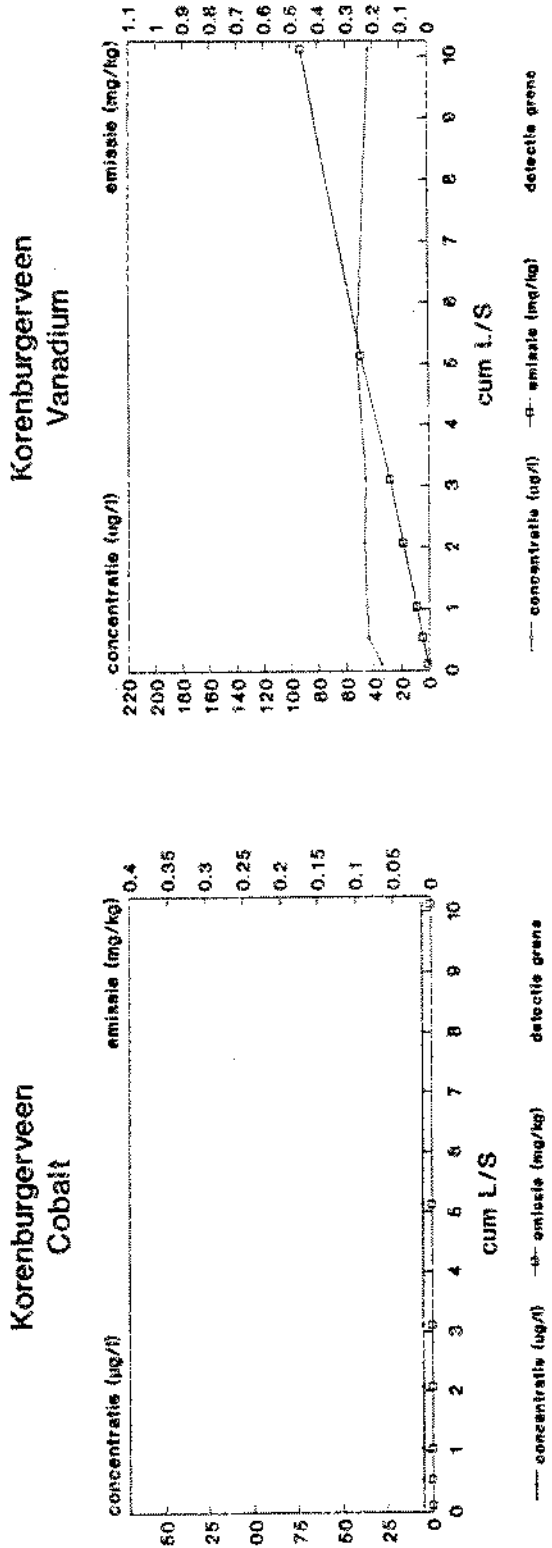
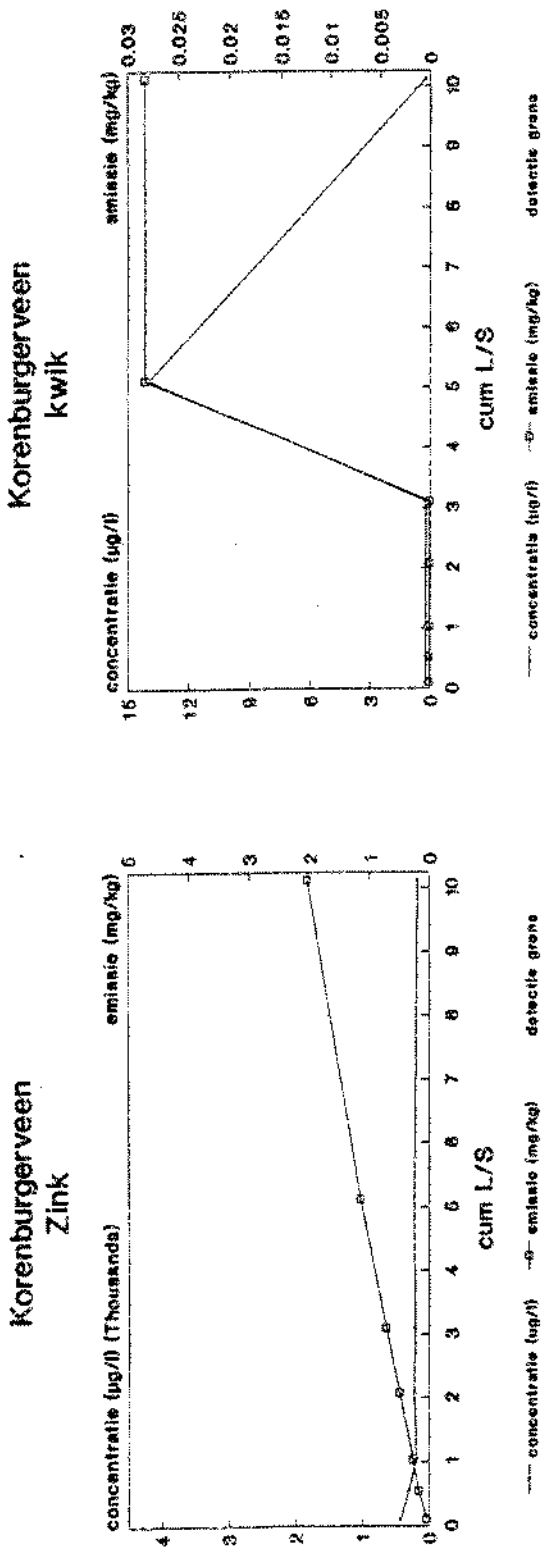


— concentratie (µg/l) — o- emissie (mg/kg) - - detectie grens

### Korenburgerveen Tin



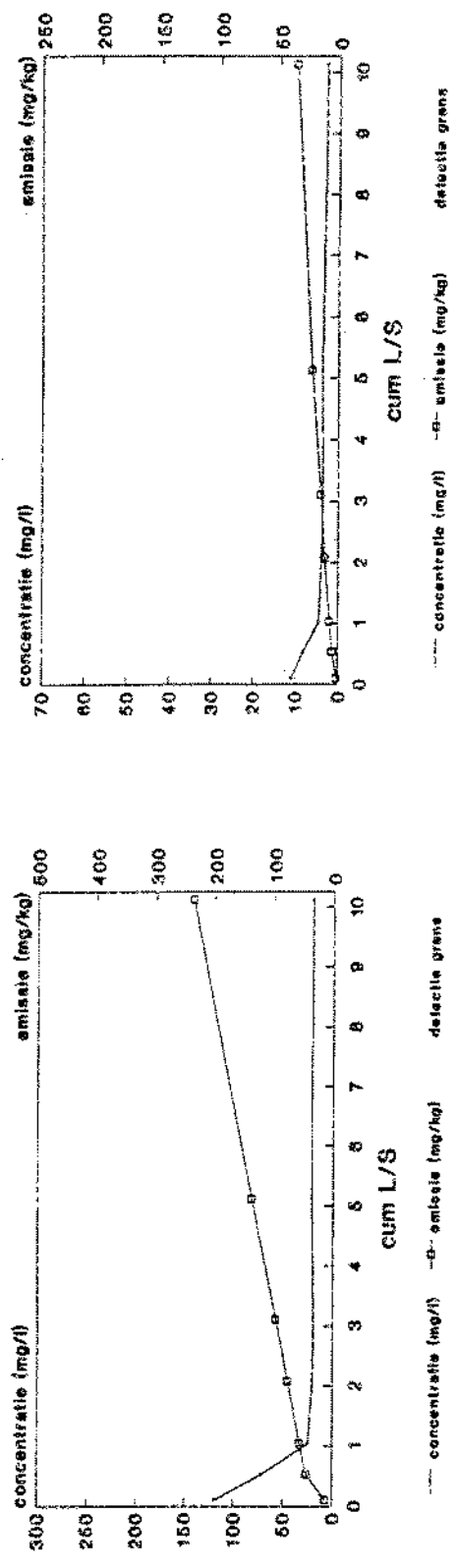
— concentratie (µg/l) — o- emissie (mg/kg) - - detectie grens



## Beoordeling van gereinigde grond, deelrapport I.

pagina 82.

### Korenburgerveen Calcium



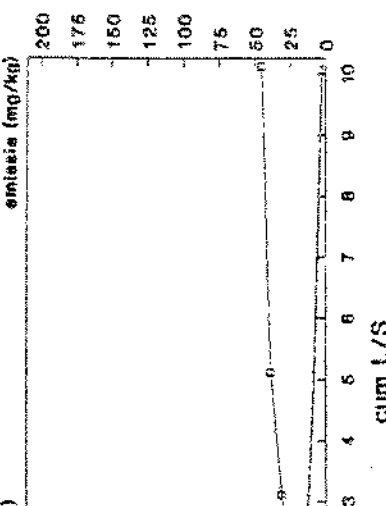
— concentratie (mg/l)    -o- emissie (mg/kg)  
detectie grens

— concentratie (mg/l)    -o- emissie (mg/kg)  
detectie grens

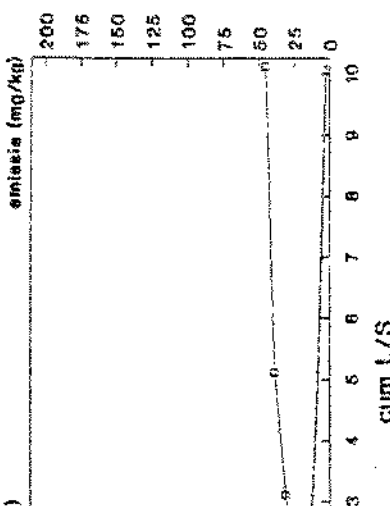
— concentratie (mg/l)    -o- emissie (mg/kg)  
detectie grens

### Korenburgerveen Kalium

### Korenburgerveen Natrium



### Korenburgerveen Magnesium



— concentratie (mg/l)    -o- emissie (mg/kg)  
detectie grens

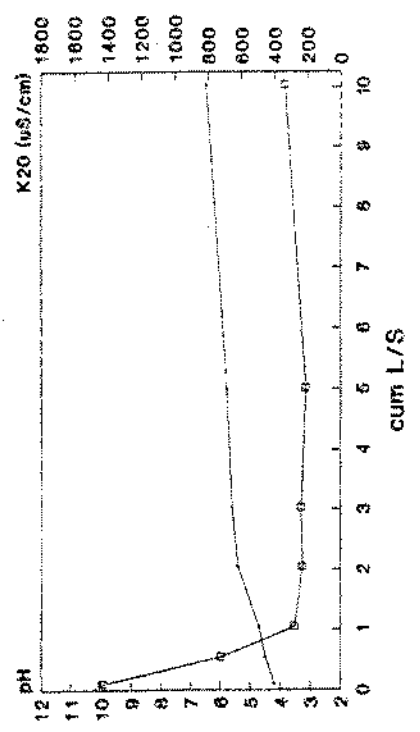
— concentratie (mg/l)    -o- emissie (mg/kg)  
detectie grens

— concentratie (mg/l)    -o- emissie (mg/kg)  
detectie grens

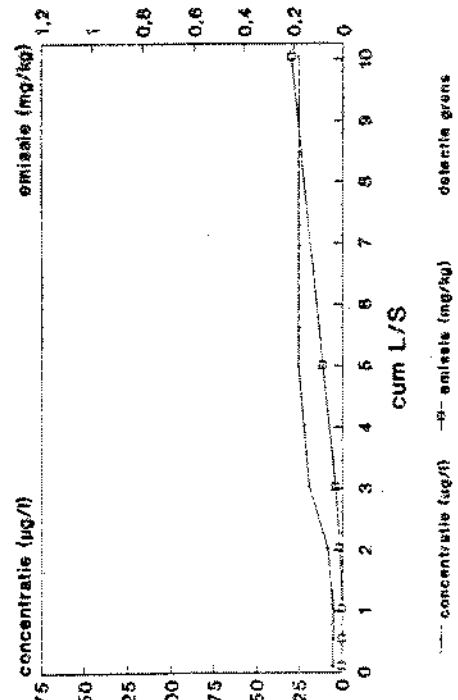
Beoordeling van gereinigde grond, deelrapport I.

pagina 63.

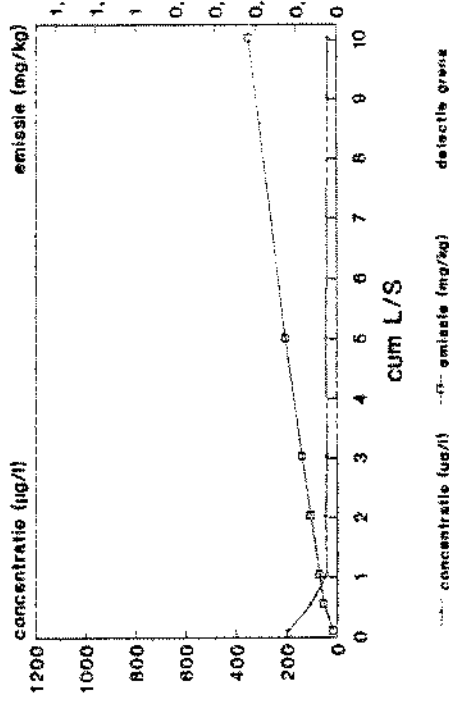
**Lettel Berter Petten  
pH en K20**



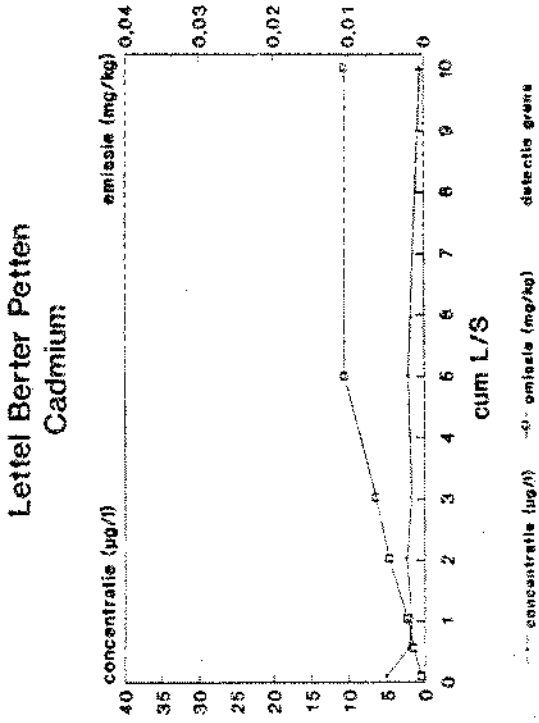
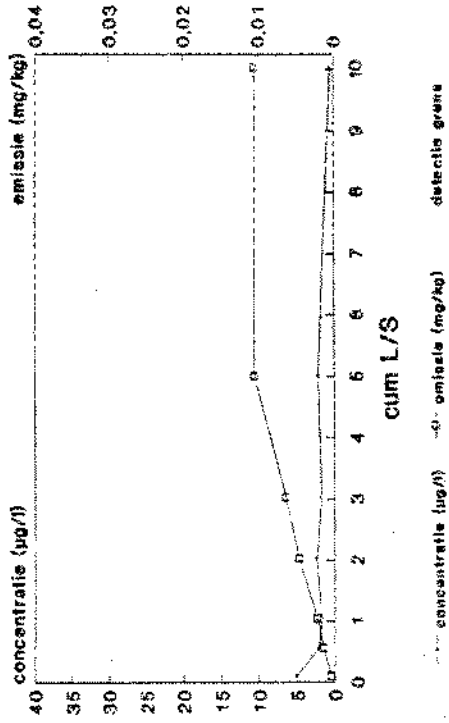
**Lettel Berter Petten  
Arsseen**



**Lettel Berter Petten  
Barium**



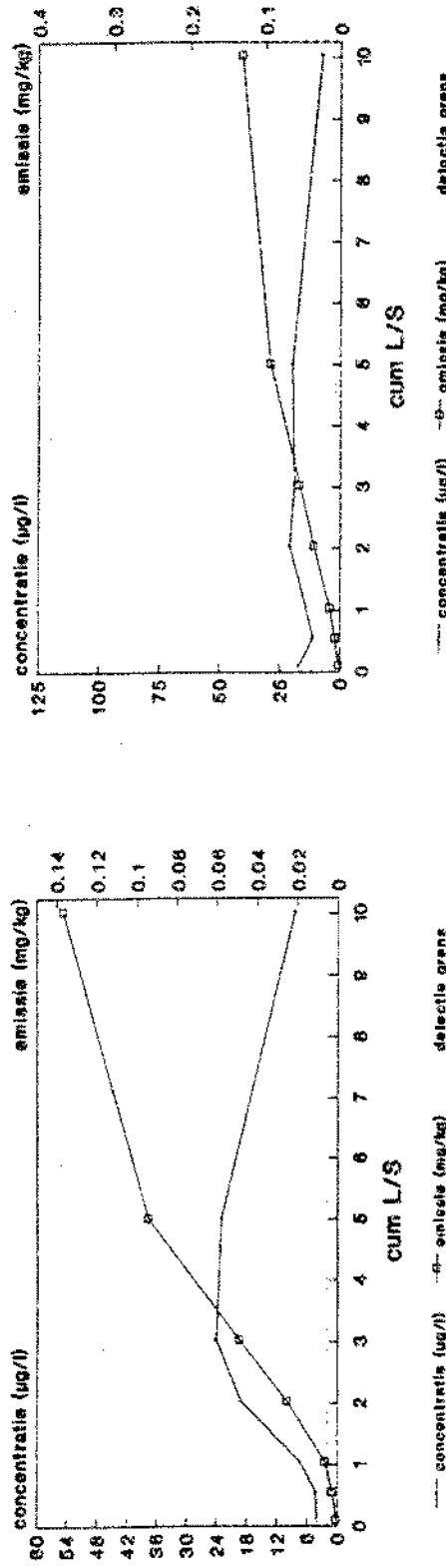
**Lettel Berter Petten  
Cadmium:**



Becordeling van gereinigde grond, deelrapport 1.

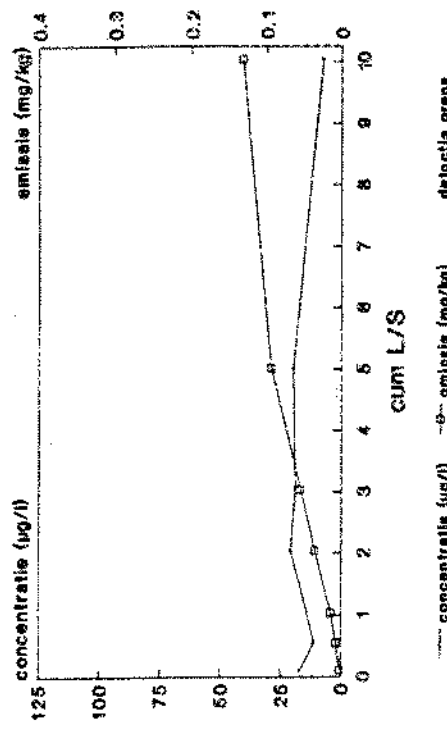
pagina 84.

**Lettel Berter Petten  
Chroom**



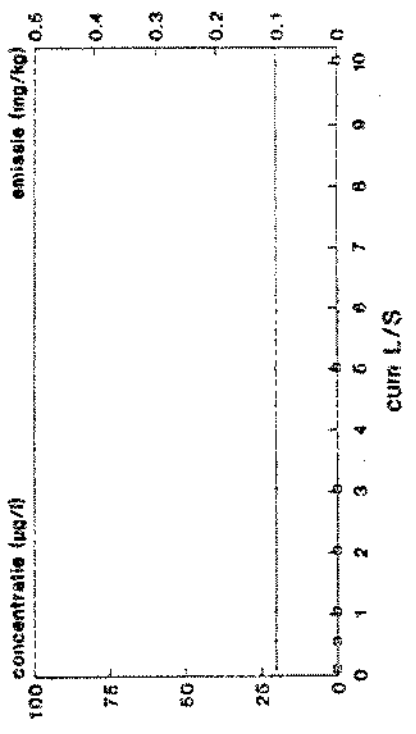
— concentratie (µg/l) — e- emissie (mg/kg) detectie grens

**Lettel Berter Petten  
Koper**



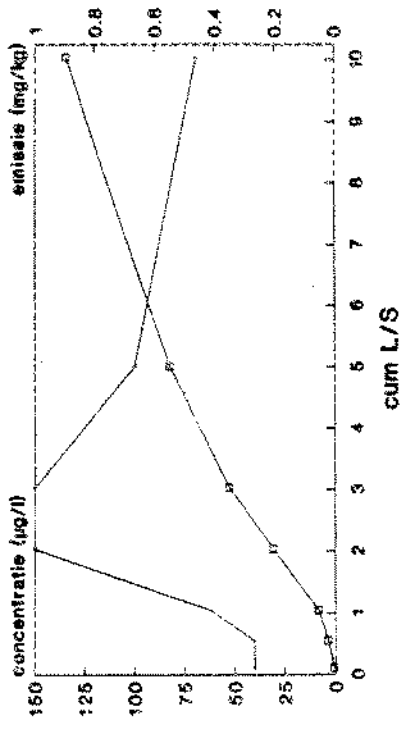
— concentratie (µg/l) — e- emissie (mg/kg) detectie grens

**Lettel Berter Petten  
Molybdeen**



— concentratie (µg/l) — e- emissie (mg/kg) detectie grens

**Lettel Berter Petten  
nikkel**

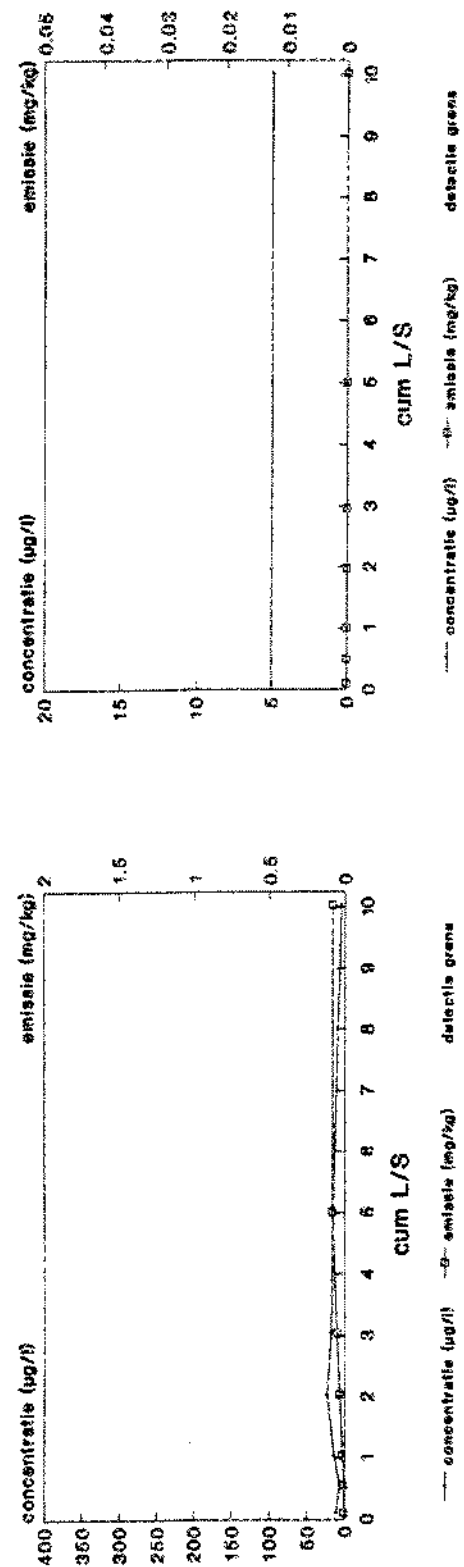


— concentratie (µg/l) — e- emissie (mg/kg) detectie grens

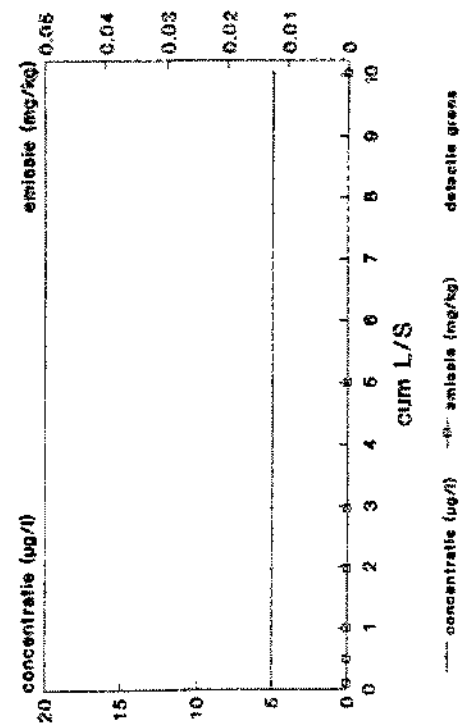
Boordeling van gereinigde grond, deelrapport 1.

pagina 85.

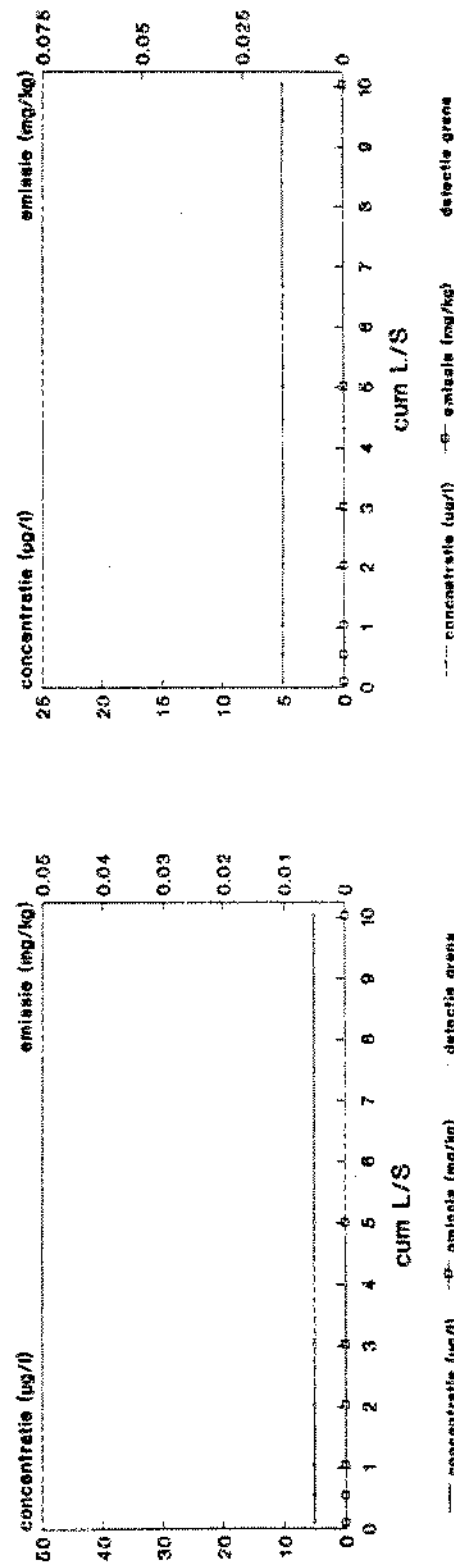
**Lettel Berter Petten  
lood**



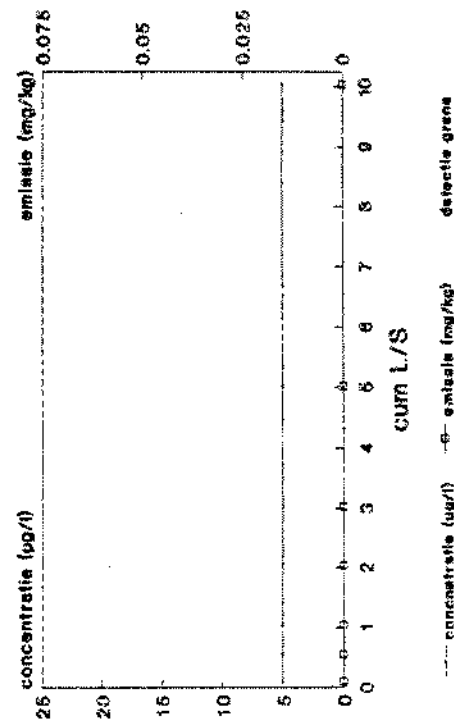
**Lettel Berter Petten  
antimoon**



**Lettel Berter Petten  
Selenen**



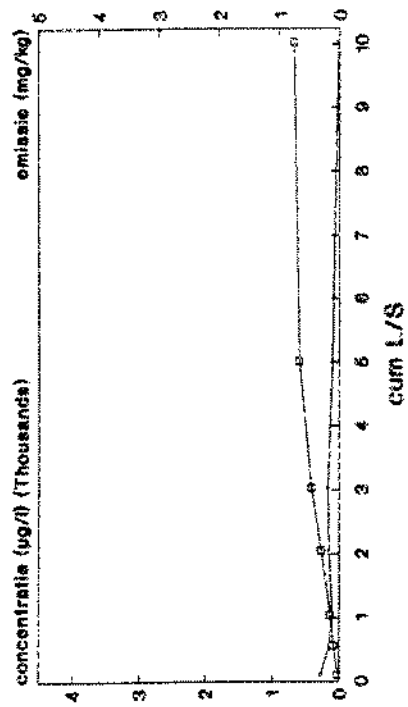
**Lettel Berter Petten  
Tin**



Beoordeling van gereinigde grond, deelrapport 1.

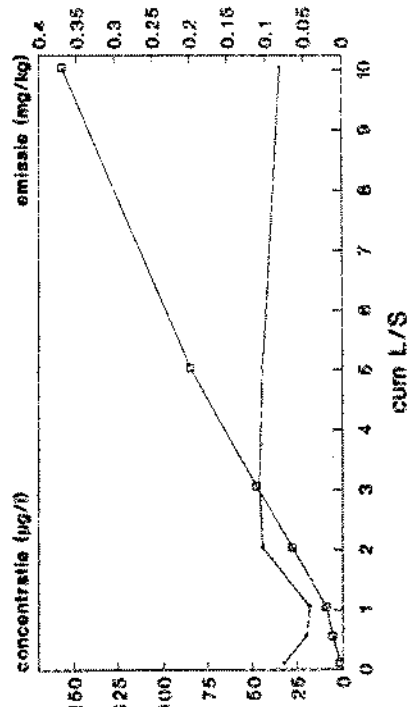
pagina 86.

**Lettel Berter Petten  
Zink**



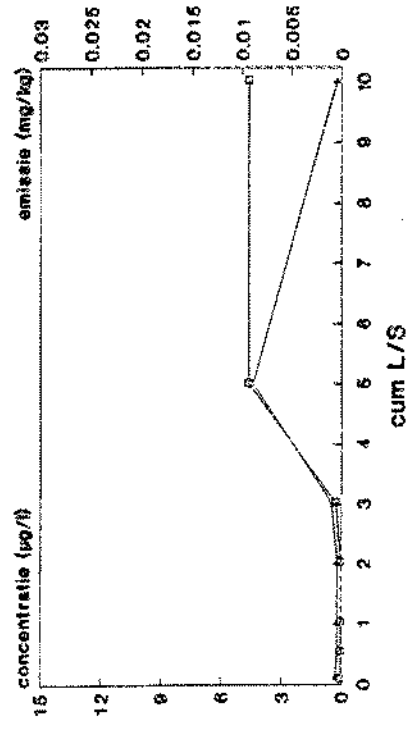
— concentratie (ug/l) — emissie (mg/kg) detectie grens

**Lettel Berter Petten  
Cobalt**



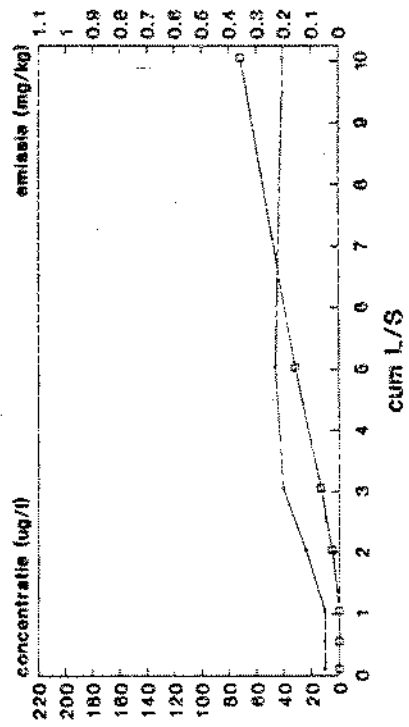
— concentratie (ug/l) — emissie (mg/kg) detectie grens

**Lettel Berter Petten  
Kwik**



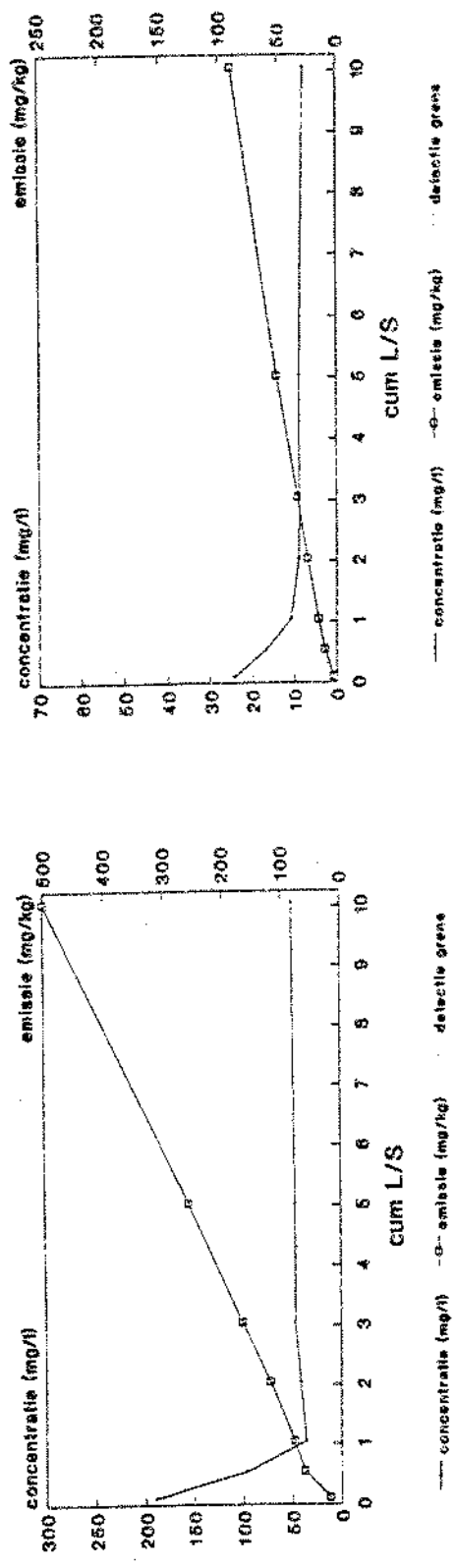
— concentratie (ug/l) — emissie (mg/kg) detectie grens

**Lettel Berter Petten  
Vaniadium**

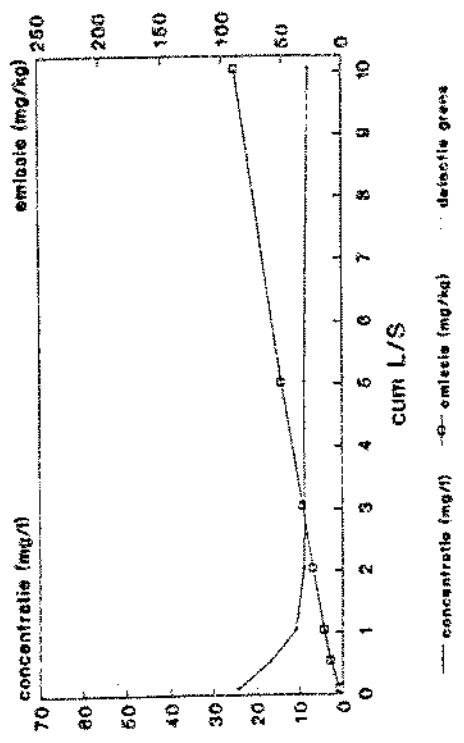


— concentratie (ug/l) — emissie (mg/kg) detectie grens

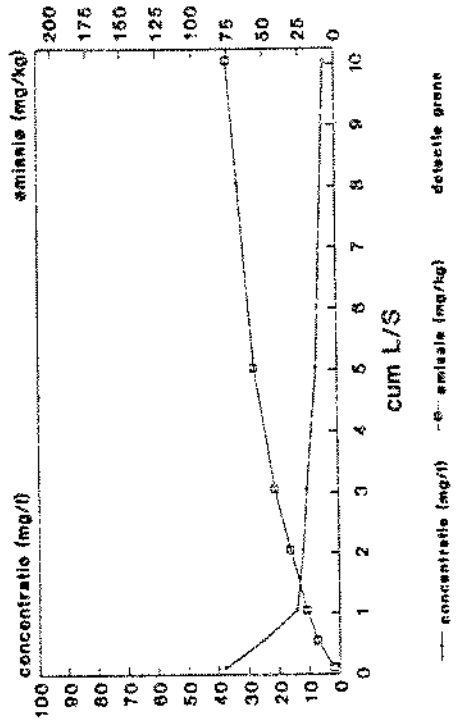
### Letter Berter Petten Calcium



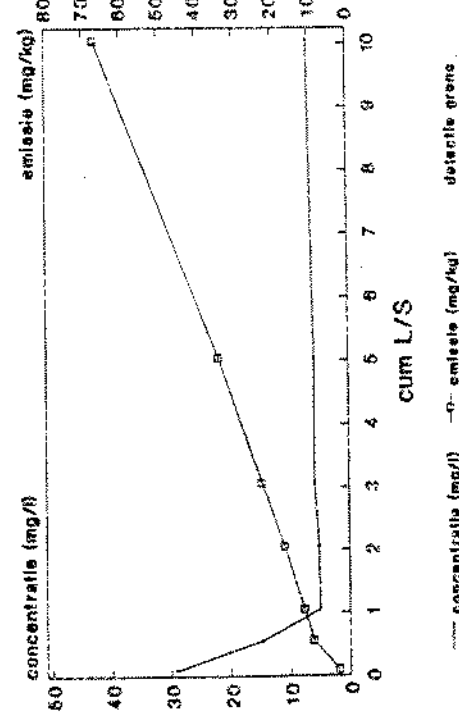
### Letter berter Petten Kalium



### Letter Berter Petten Natrium



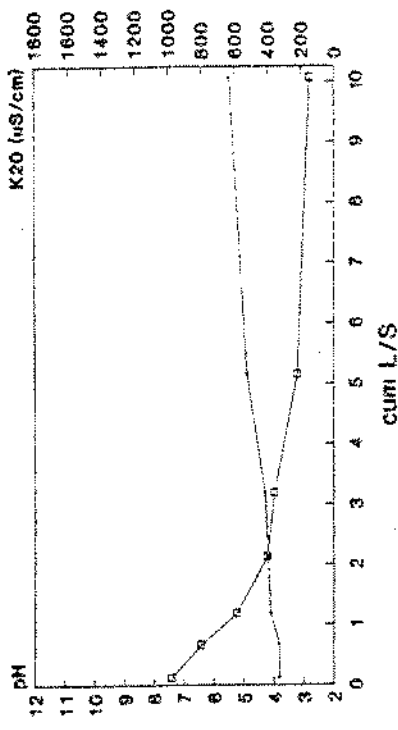
### Letter Berter Petten Magnesium



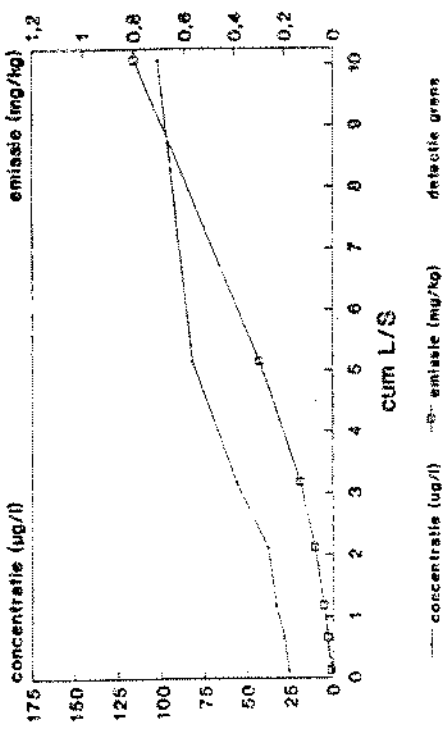
Beoordeling van gereinigde grond, deelrapport I.

pagina 88.

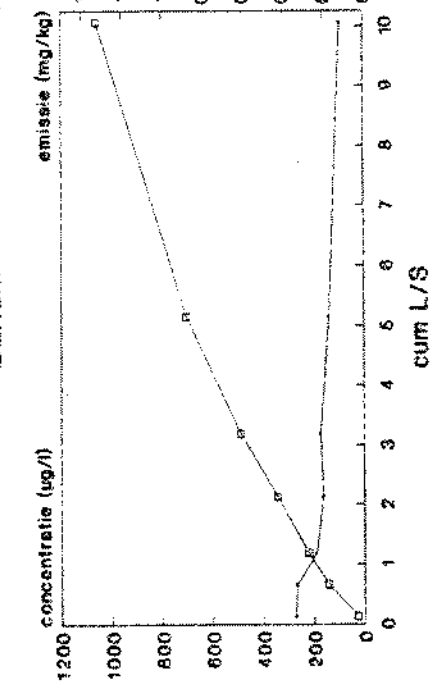
**Zegveld  
pH en K<sub>20</sub>**



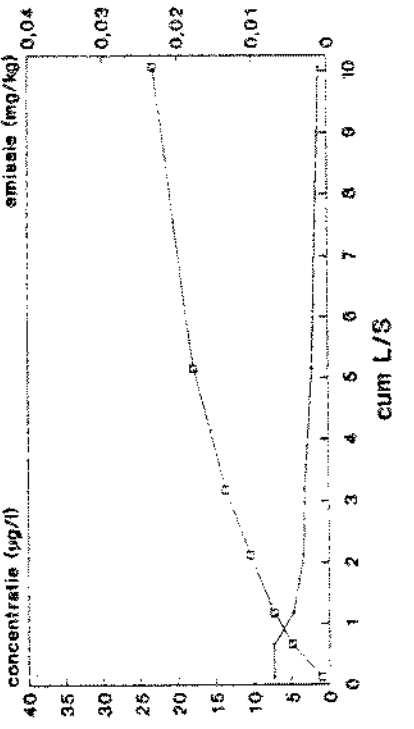
**Zegveld  
Arsen**



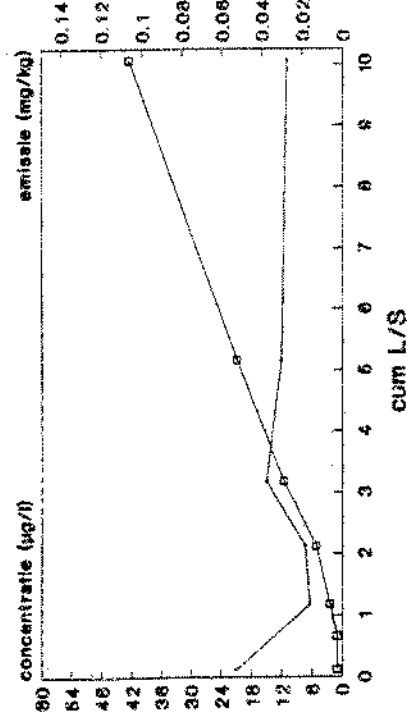
**Zegveld  
Barium**



**Zegveld  
Cadmium**

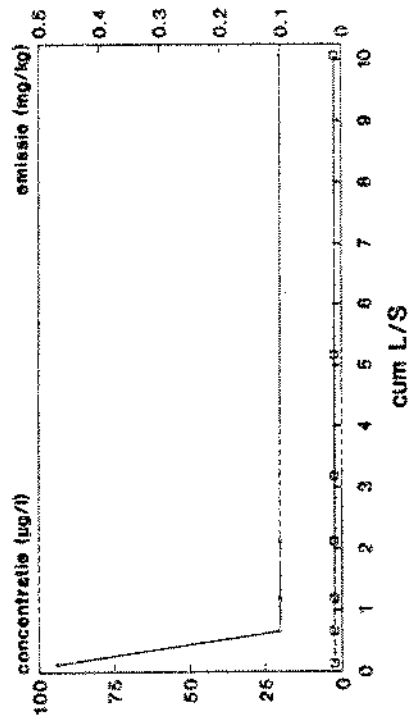


### Zegveld Chroom

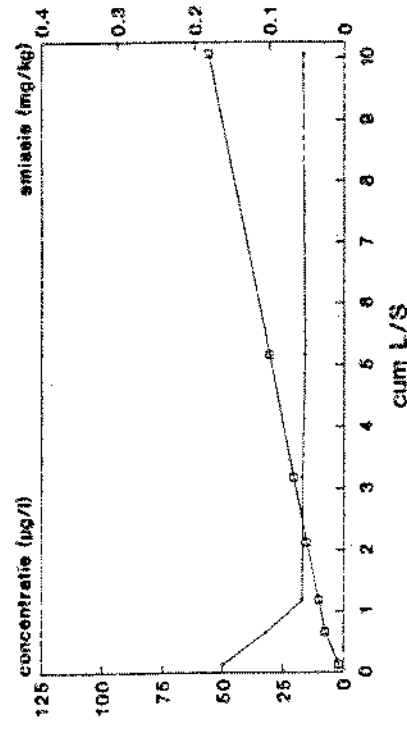


### Zegveld Molybdeen

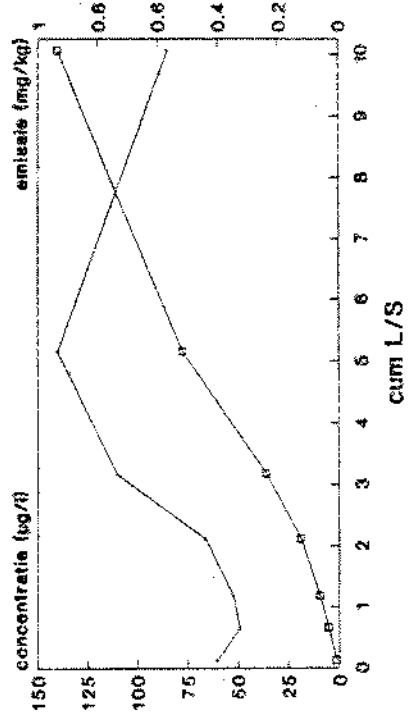
— concentratie (ug/l) — emissie (mg/kg) — detectie grens



### Zegveld Koper



— concentratie (ug/l) — emissie (mg/kg) — detectie grens

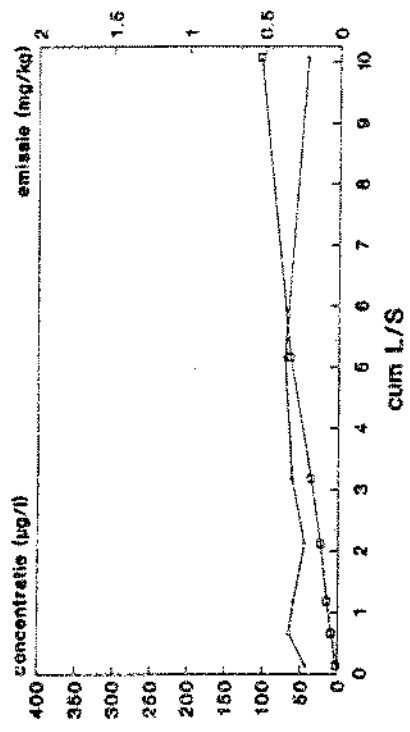


— concentratie (ug/l) — emissie (mg/kg) — detectie grens

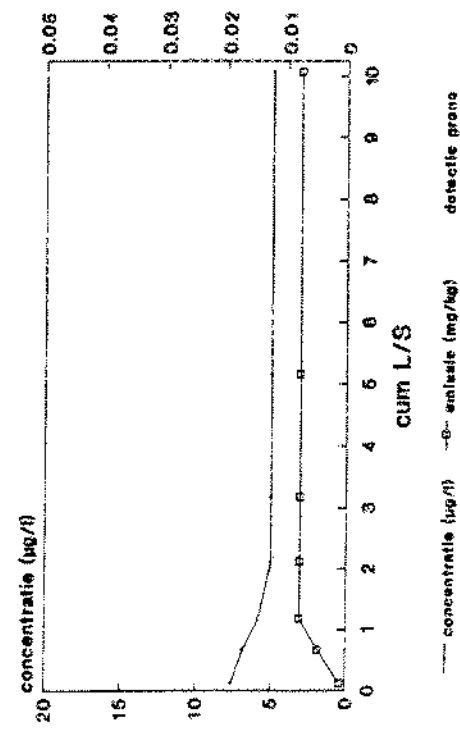
Bewerding van gereinigde grond, deelrapport I.

pagina 90.

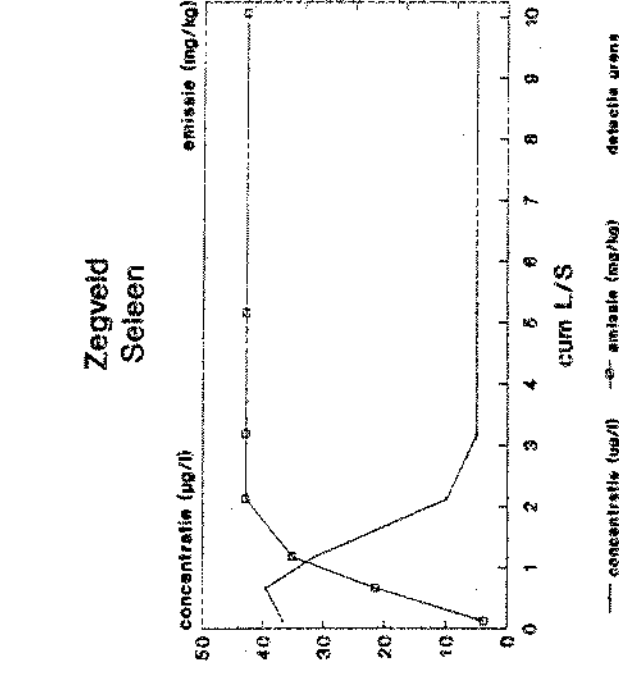
Zegveld  
lood



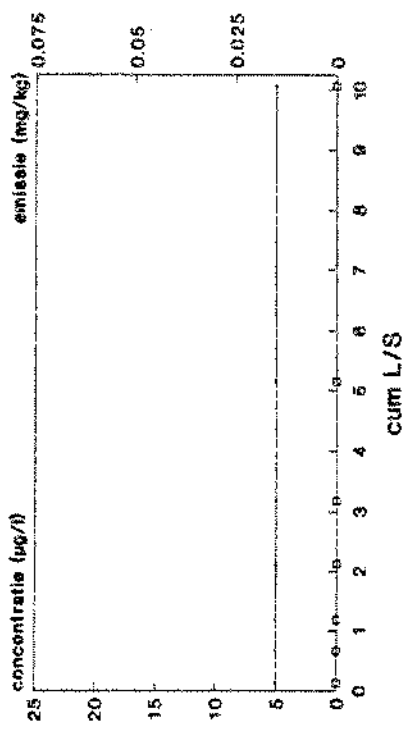
Zegveld  
antimoon



Zegveld  
Seleen

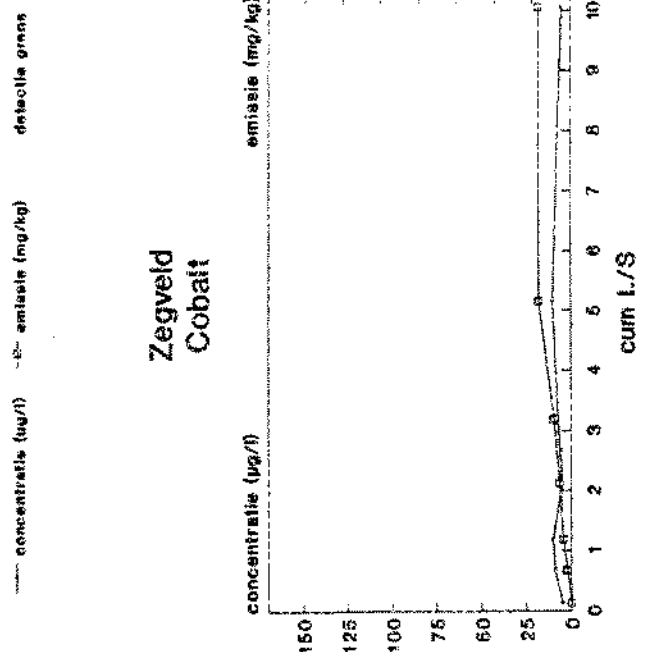
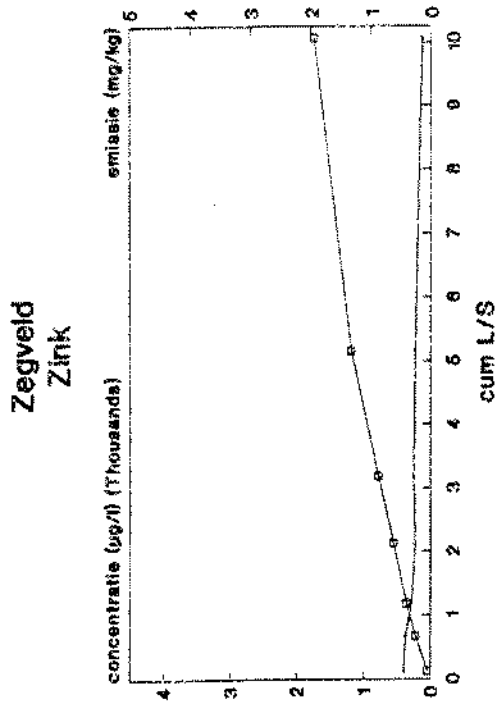


Zegveld  
Tin

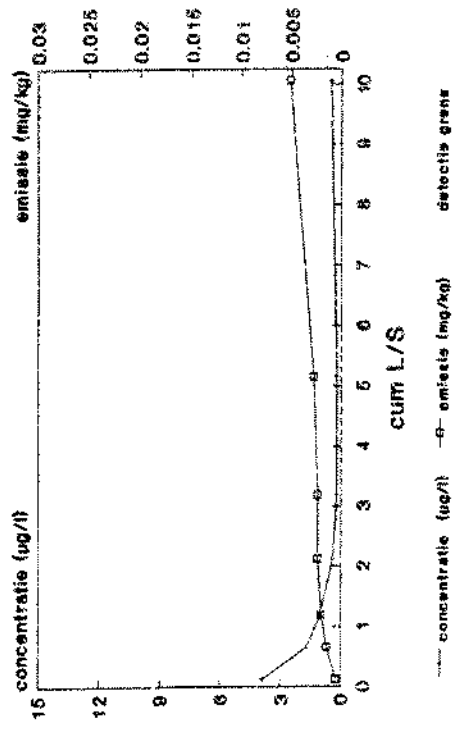


Beoordeling van gereinigde grond, deelrapport 1.

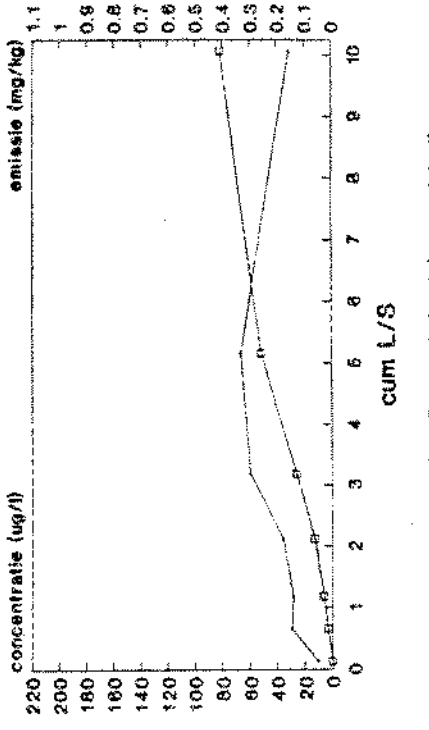
pagina 91.



**Zegveld  
Kwikk**

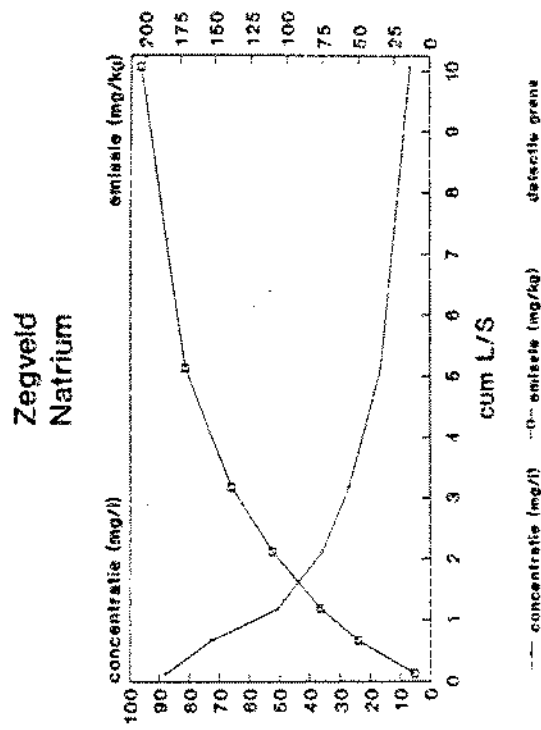
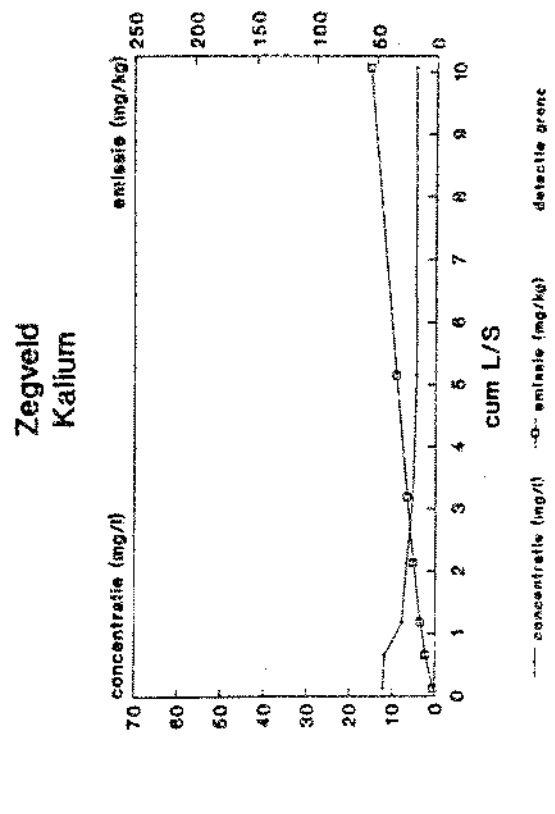
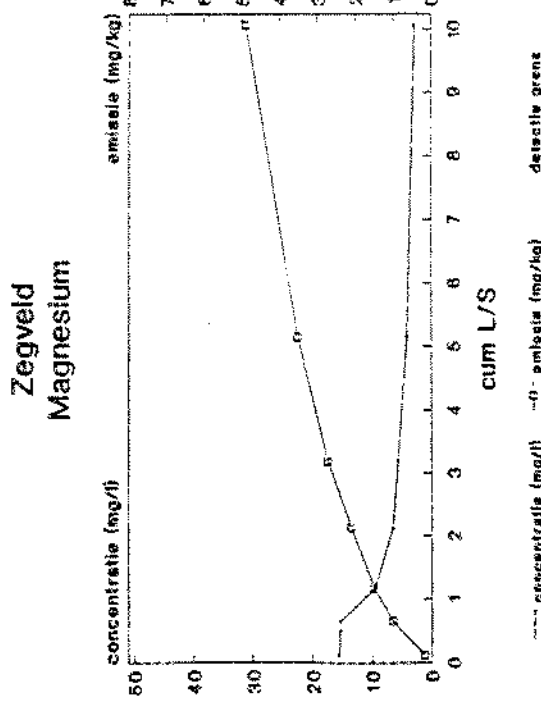
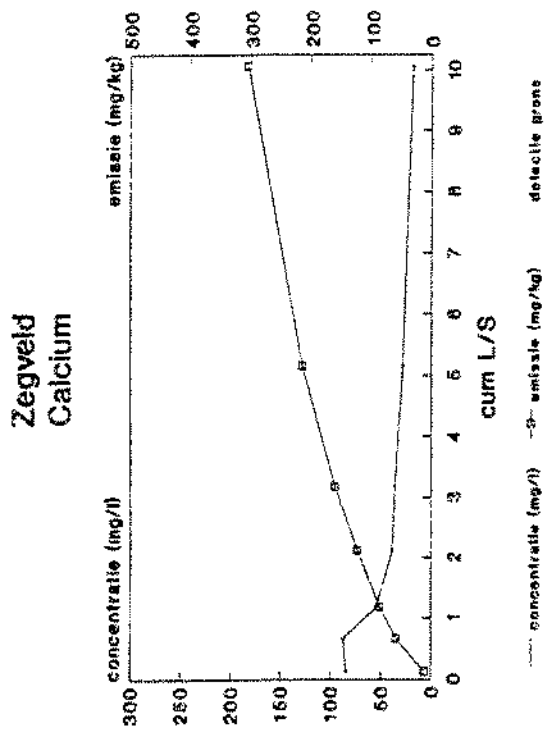


**Zegveld  
Vanaadium**

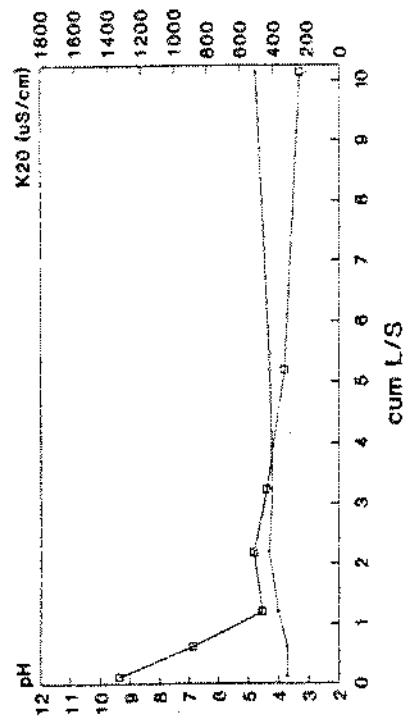


Beoordeling van gereinigde grond, deelrapport 1.

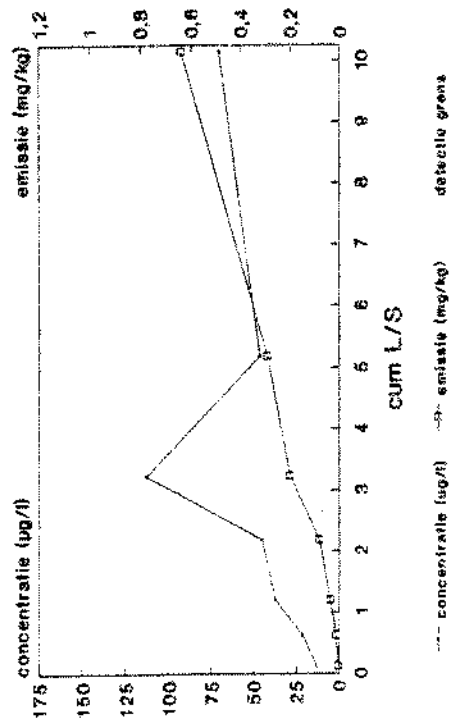
pagina 92.



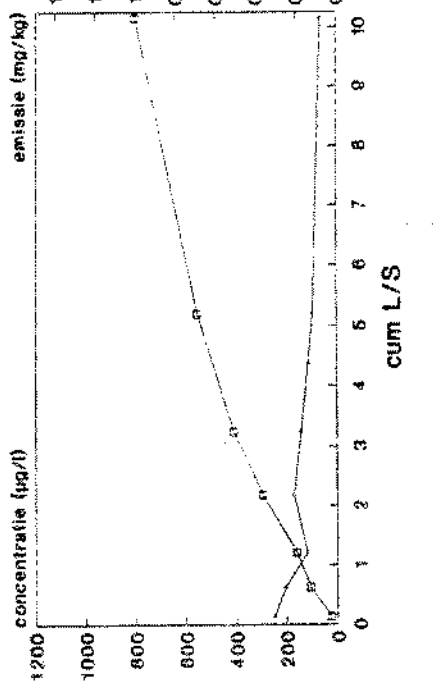
### Harense Wildernis pH en K2O



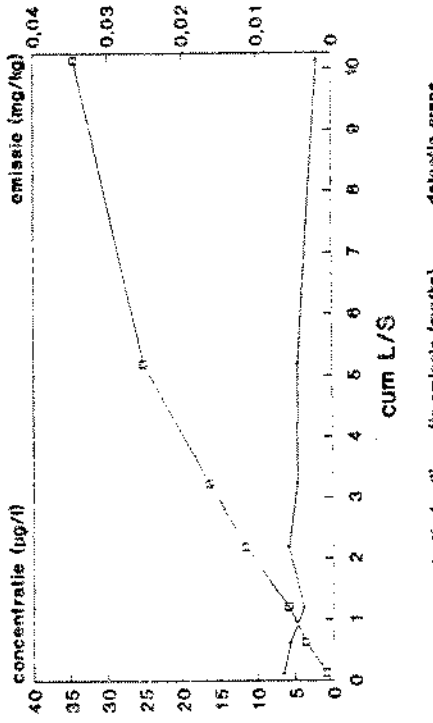
### Harense Wildernis Arsen



### Harense Wildernis Barium



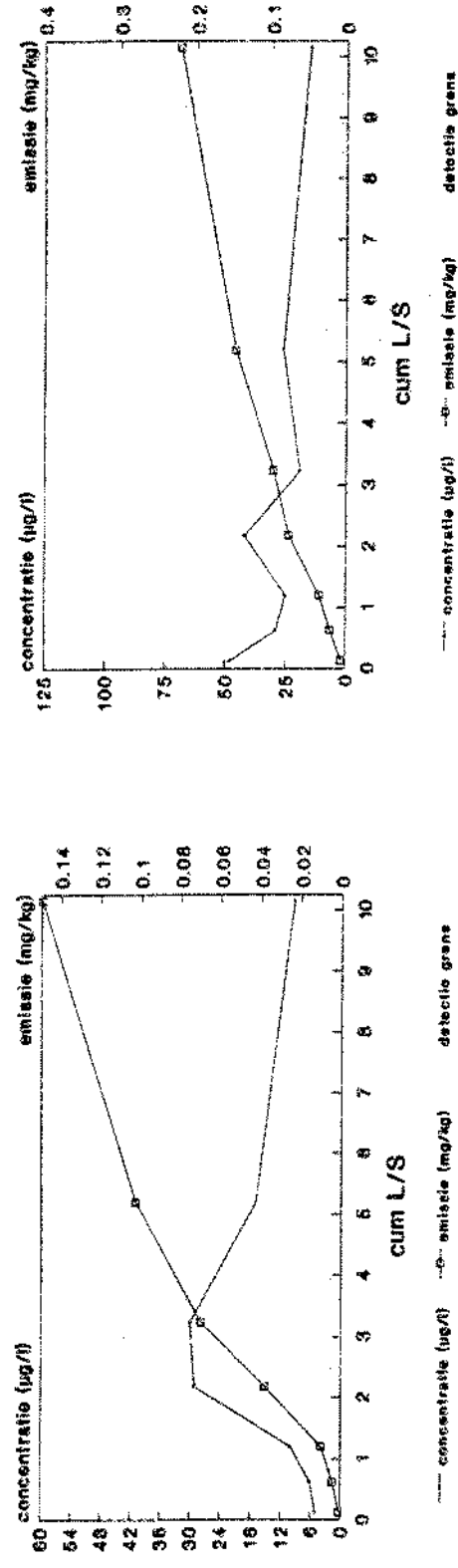
### Harense Wildernis Cadmium



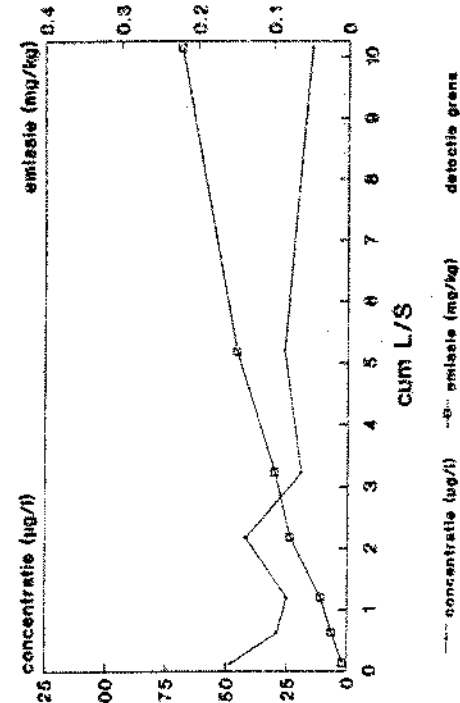
Beoordeling van gereinigde grond; deelrapport I.

pagina 94.

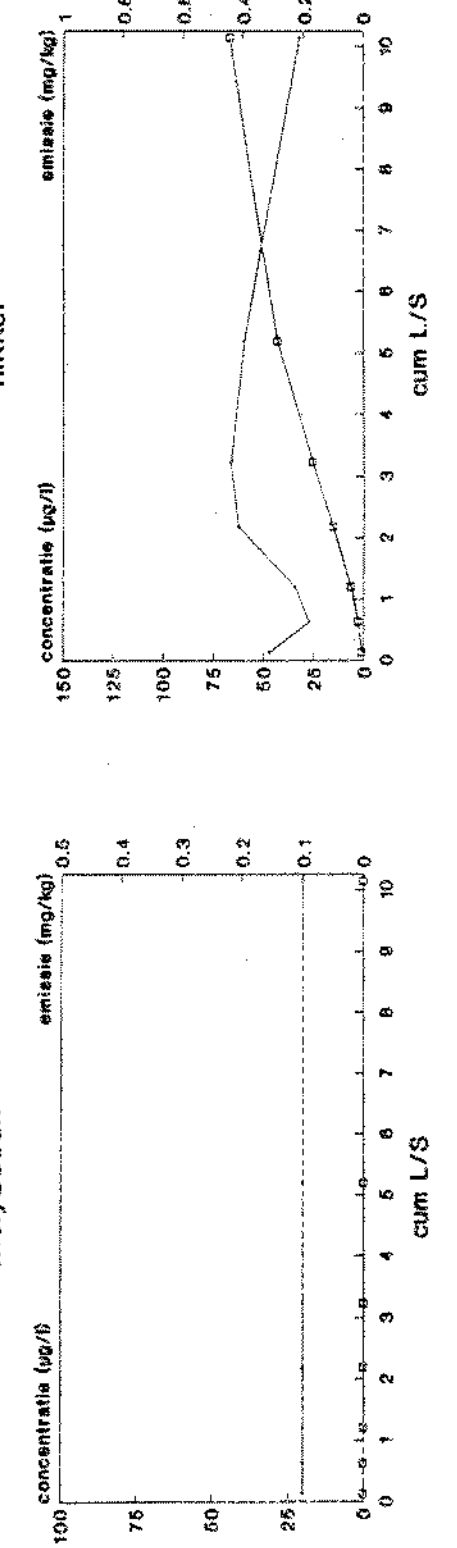
### Harense Wildernis Chroom



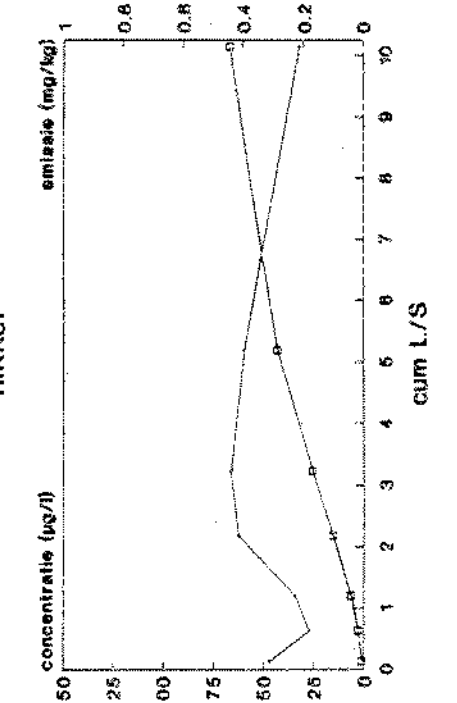
### Harense Wildernis Koper



### Harense Wildernis Molybdeen

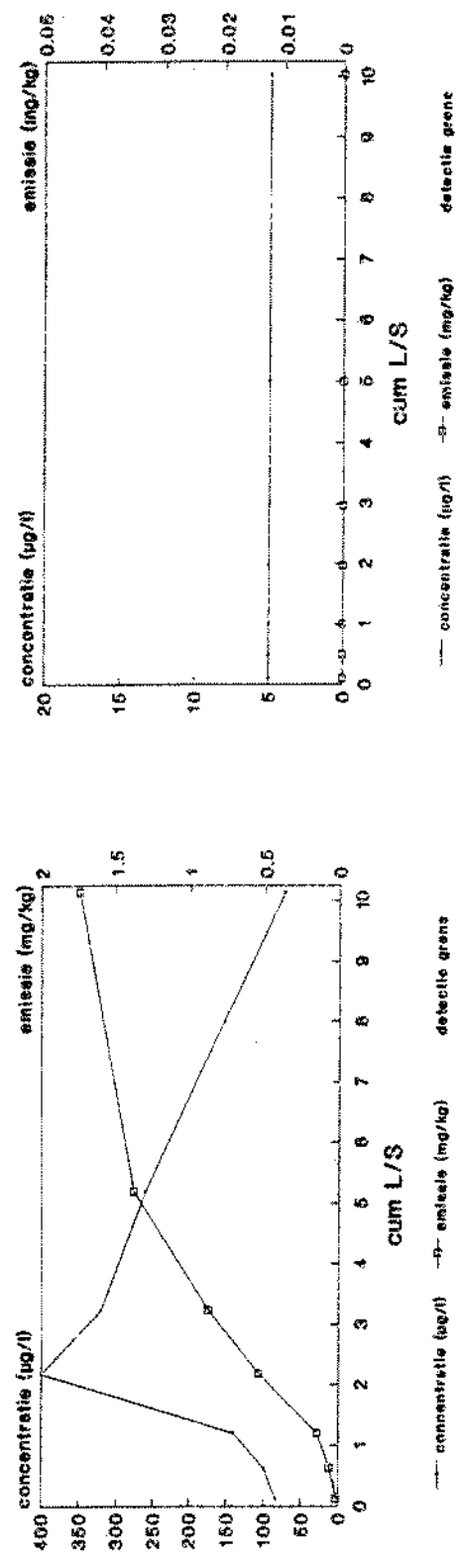


### Harense Wildernis nikkel

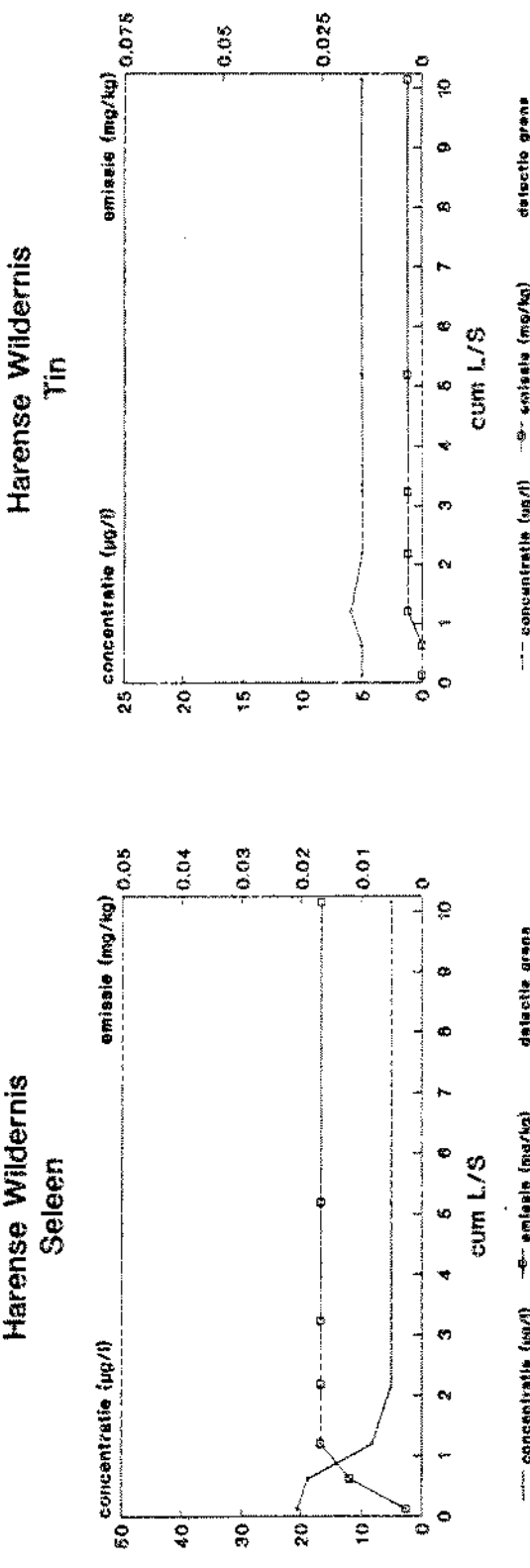


— concentratie ( $\mu\text{g}/\text{l}$ ) —○— emissie ( $\text{mg}/\text{kg}$ ) —●— detectie grens

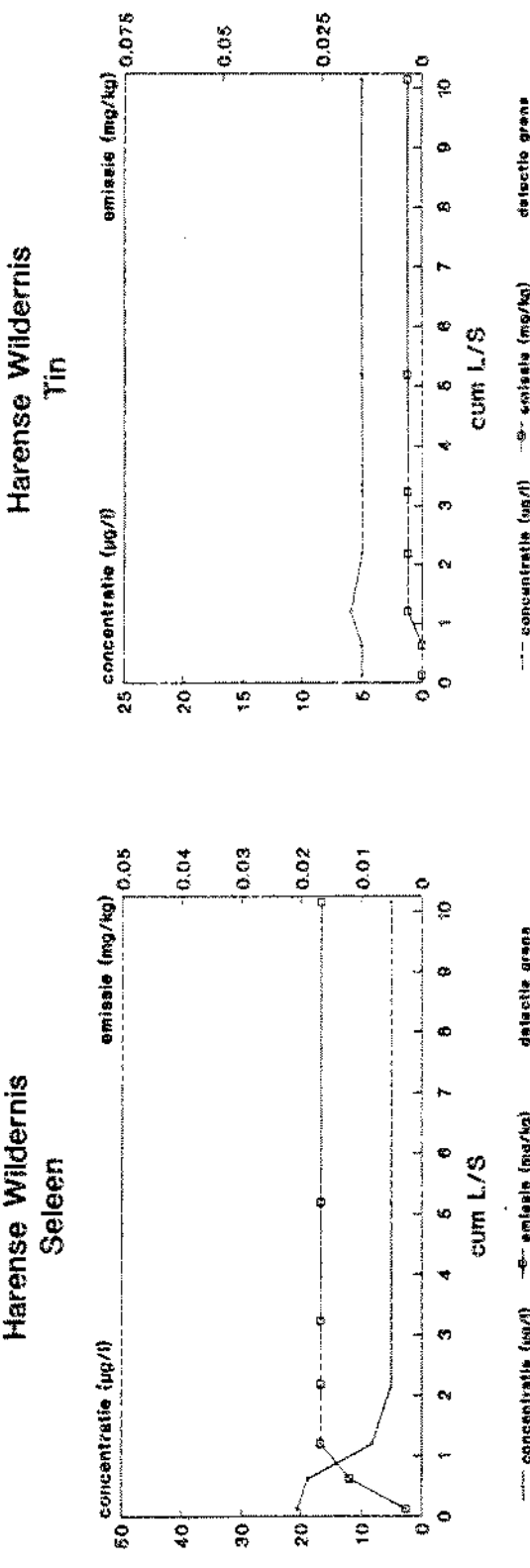
### Harense Wildernis lood



### Harense Wildernis antimoon

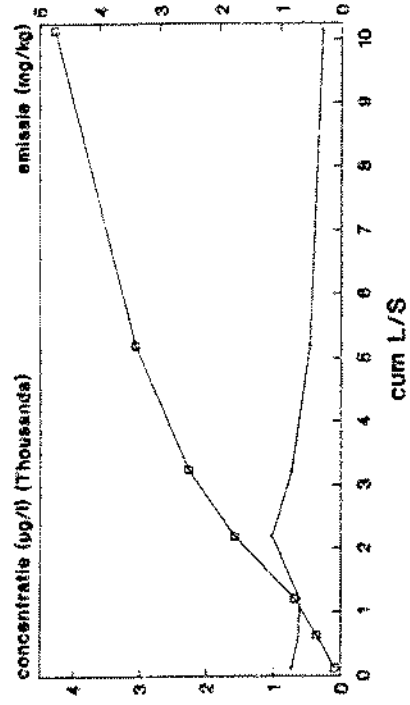


### Harense Wildernis Tin



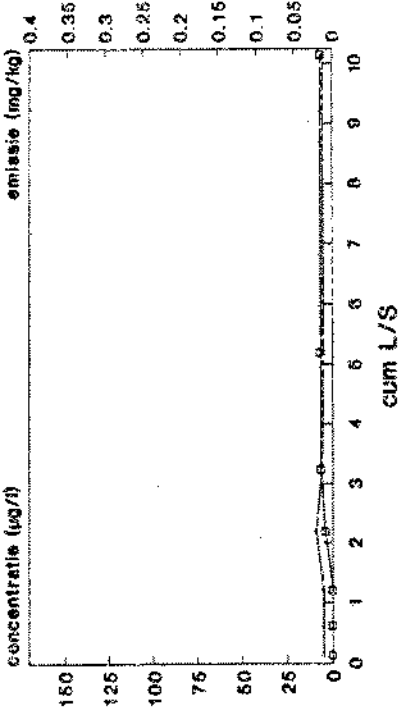
### Harense Wildernis Selen

### Harense Wildernis Zink

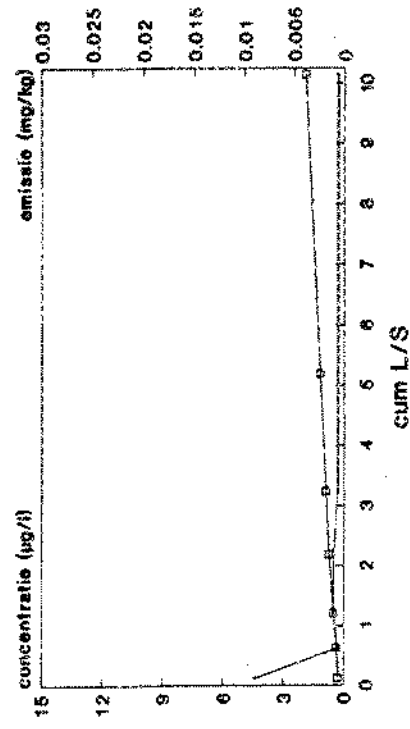


### Harense Wildernis Cobalt

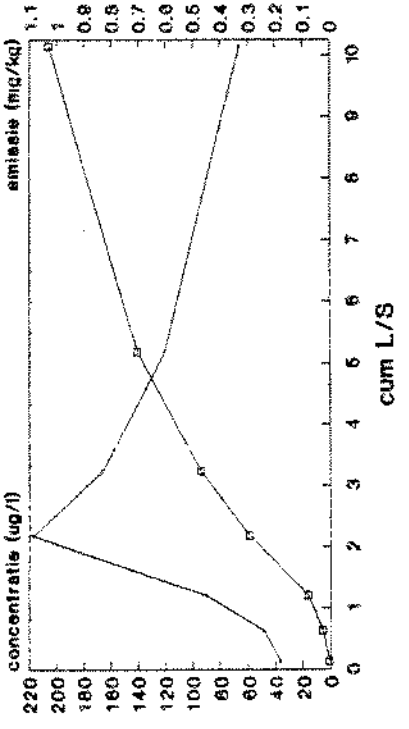
— concentratie (µg/l) —○— emissie (µg/kg) detectie grens



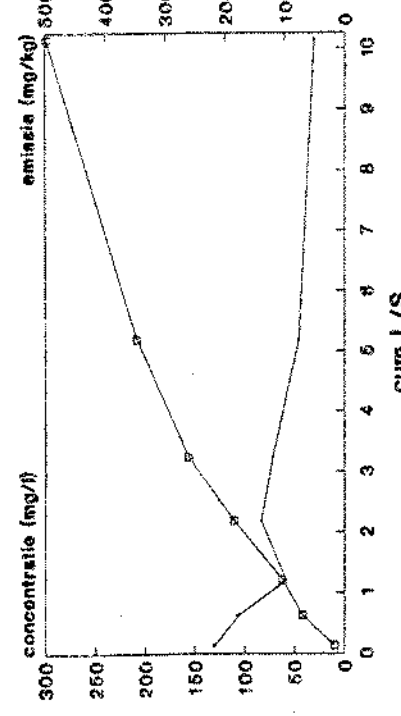
### Harense Wildernis Kwik



### Harense Wildernis Vaanadium



### Zegveld Calcium

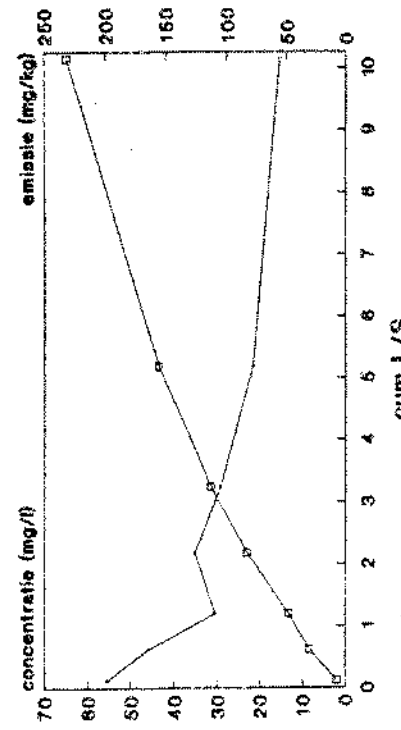


— concentratie (mg/l) — $\ominus$ — emissie (mg/kg) — $\ominus$ — detectie grens

concentratie (mg/l) — $\ominus$ — emissie (mg/kg) — $\ominus$ — detectie grens

concentratie (mg/l) — $\ominus$ — emissie (mg/kg) — $\ominus$ — detectie grens

### Harense Wildernis Kaliwm

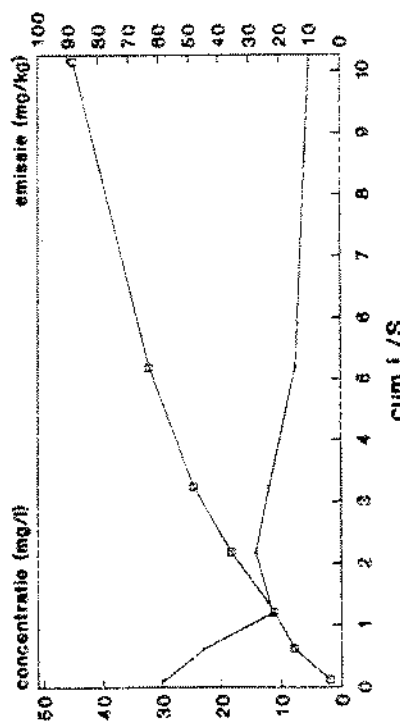


— concentratie (mg/l) — $\ominus$ — emissie (mg/kg) — $\ominus$ — detectie grens

concentratie (mg/l) — $\ominus$ — emissie (mg/kg) — $\ominus$ — detectie grens

concentratie (mg/l) — $\ominus$ — emissie (mg/kg) — $\ominus$ — detectie grens

### Harense Wildernis Magnesium

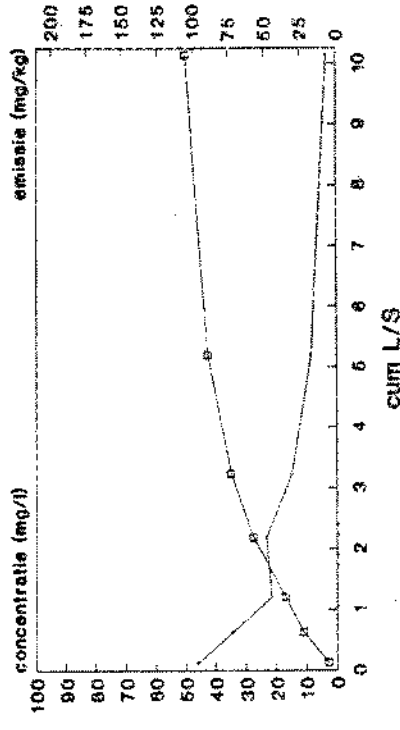


— concentratieve (mg/l) — $\ominus$ — emissie (mg/kg) — $\ominus$ — detectie grens

— concentratieve (mg/l) — $\ominus$ — emissie (mg/kg) — $\ominus$ — detectie grens

— concentratieve (mg/l) — $\ominus$ — emissie (mg/kg) — $\ominus$ — detectie grens

### Harense Wildernis Natrium



— concentratieve (mg/l) — $\ominus$ — emissie (mg/kg) — $\ominus$ — detectie grens

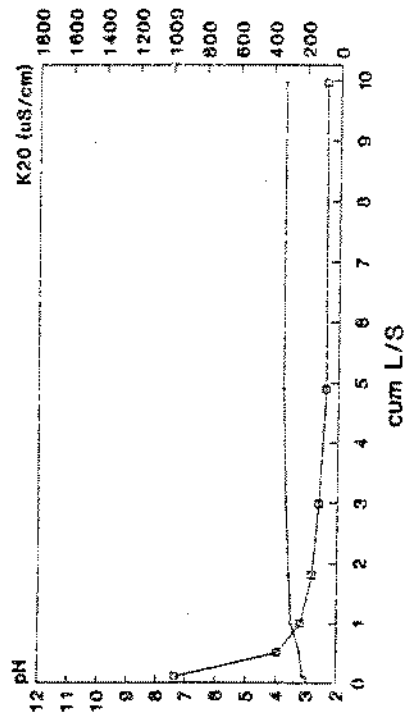
— concentratieve (mg/l) — $\ominus$ — emissie (mg/kg) — $\ominus$ — detectie grens

— concentratieve (mg/l) — $\ominus$ — emissie (mg/kg) — $\ominus$ — detectie grens

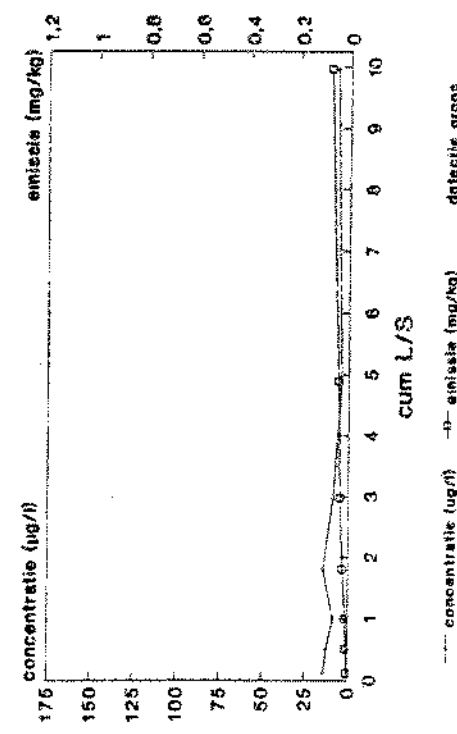
Bewoording van gereinigde grond, deelrapport I.

pagina 98.

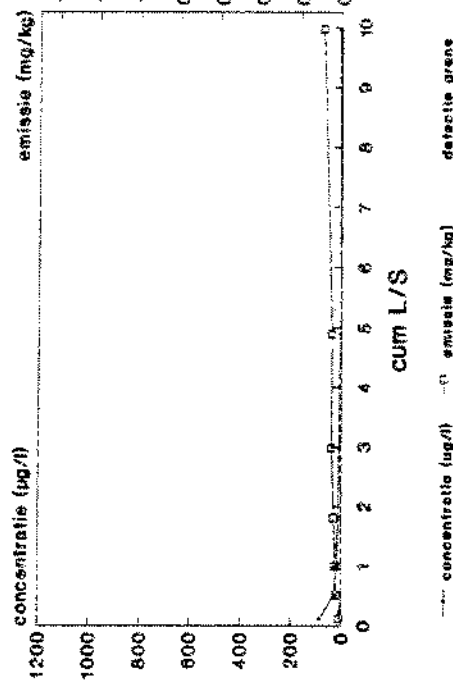
### Norgerholt pH en K<sub>2</sub>O



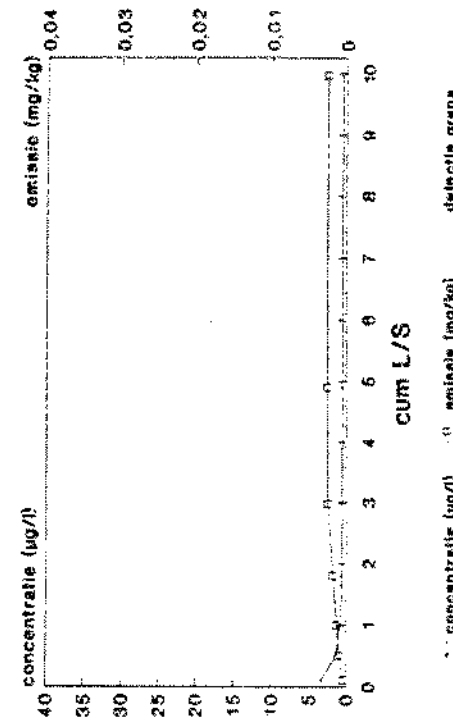
### Norgerholt Arsseen



### Norgerholt Barium



### Norgerholt Cadmium



detectie grens

detectie grens

detectie grens

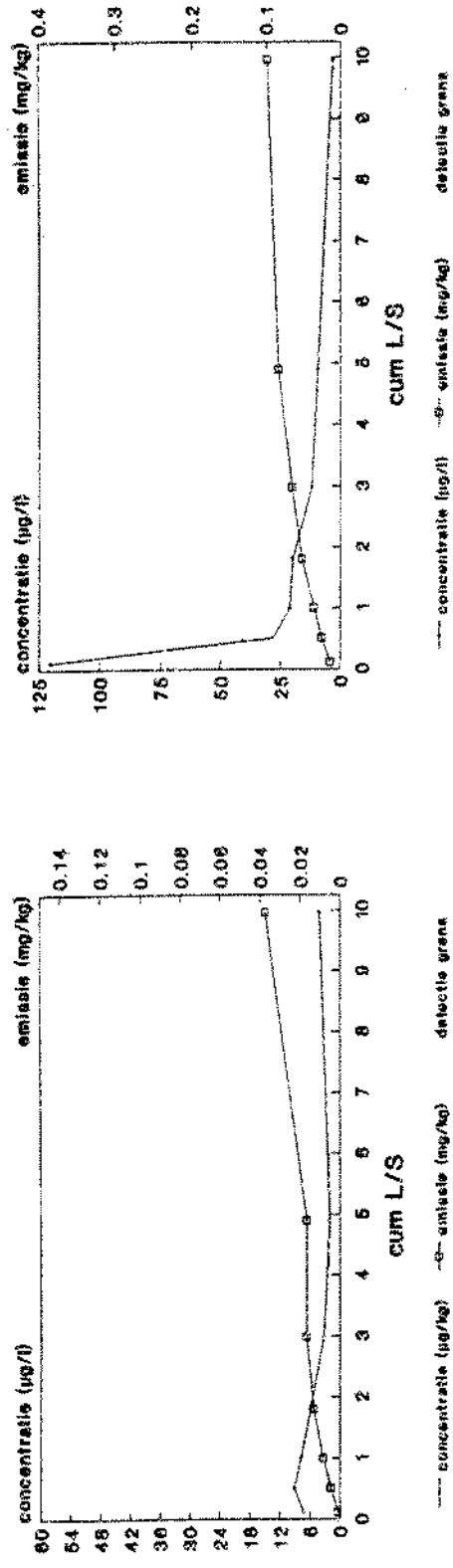
detectie grens

detectie grens

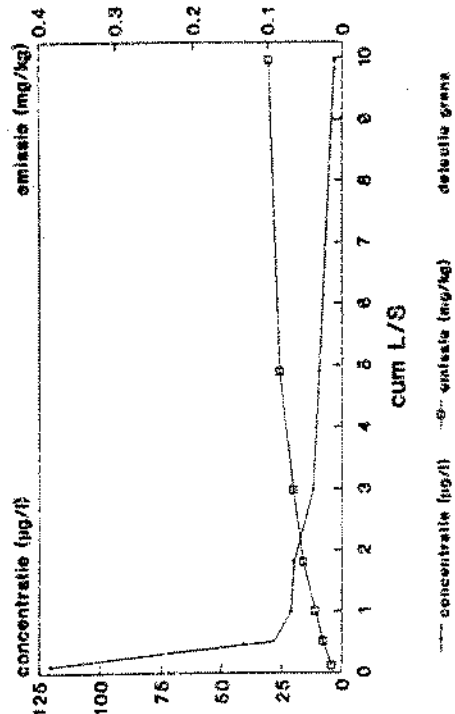
Beoordeling van gereinigde grond, deelrapport I.

pagina 99.

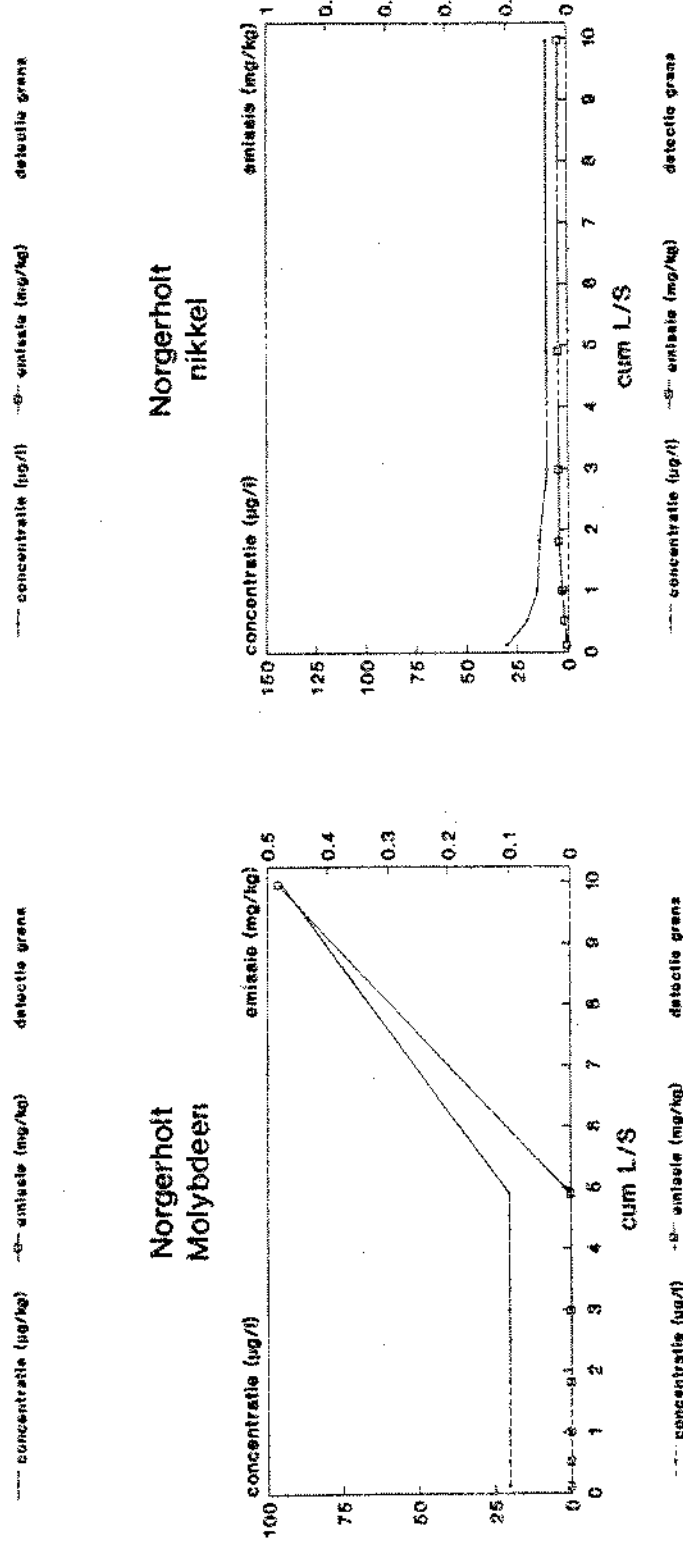
**Norgerholt  
Chroom**



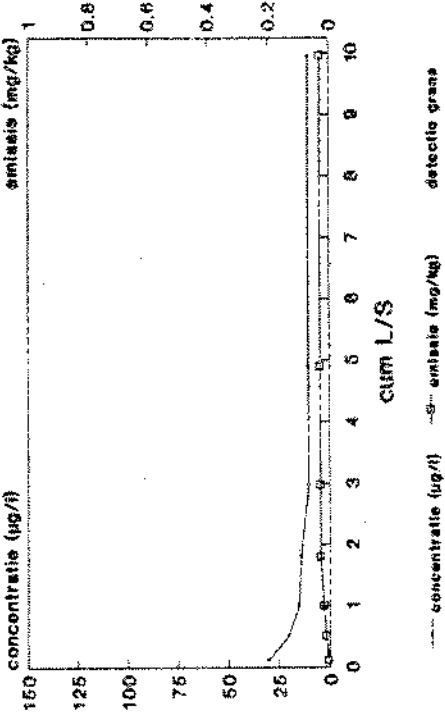
**Norgerholt  
Koper**



**Norgerholt  
Molybdeen**



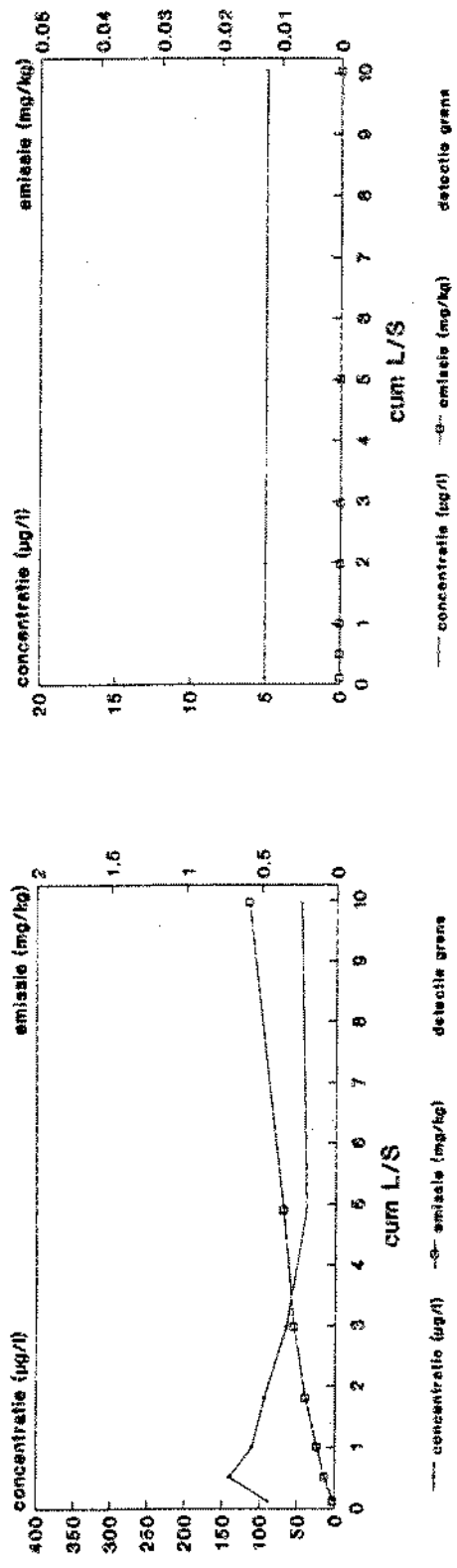
**Norgerholt  
nikkel**



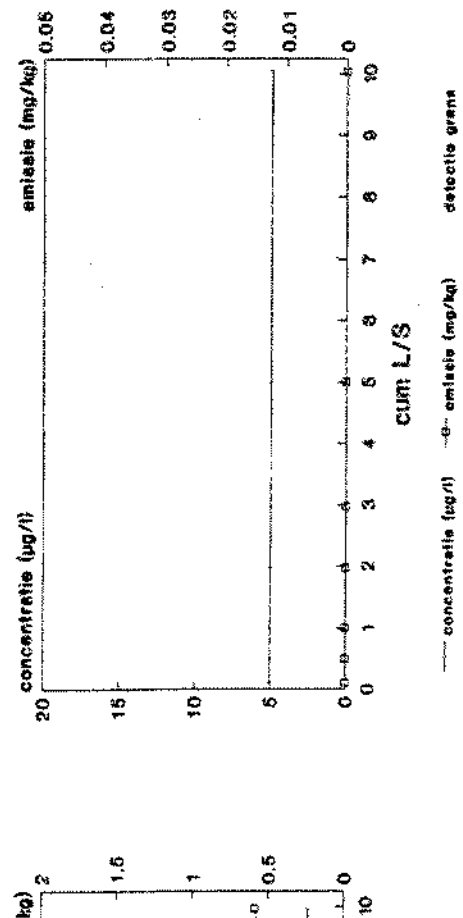
Berekening van gereinigde grond, deelrapport I.

pagina 100.

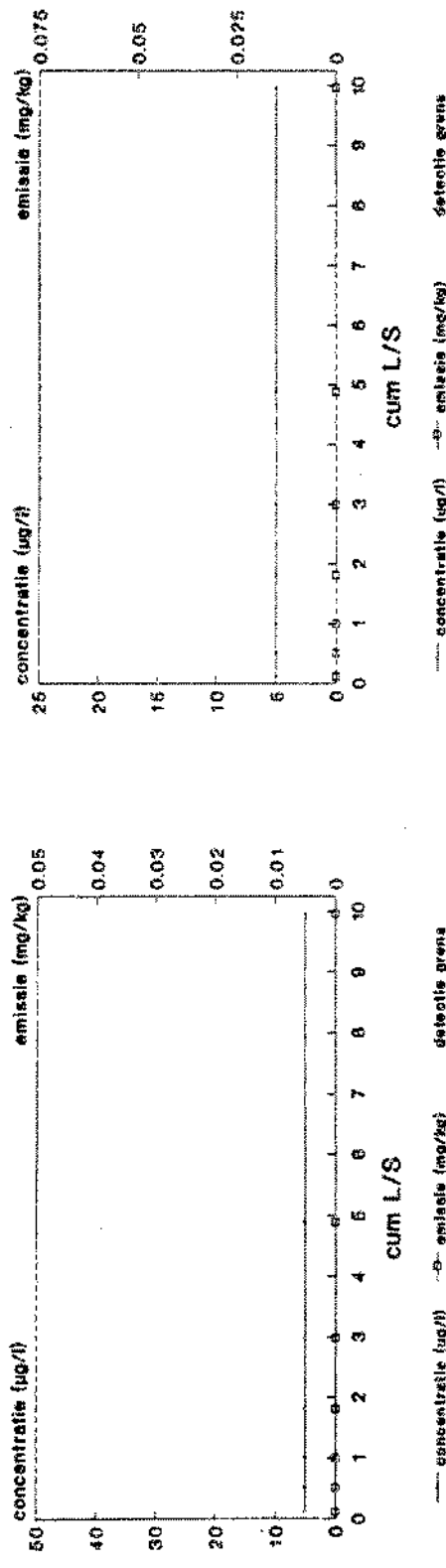
**Norgerholt  
lood**



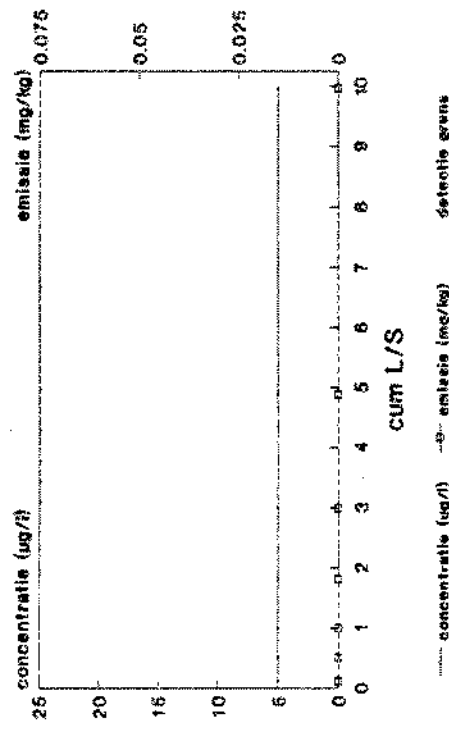
**Norgerholt  
antimoon**



**Norgerholt  
Selenen**



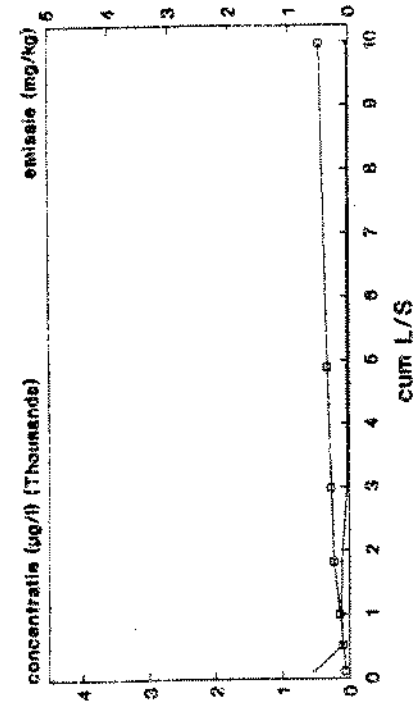
**Norgerholt  
Tin**



Beoordeling van gereinigde grond, deelrapport I.

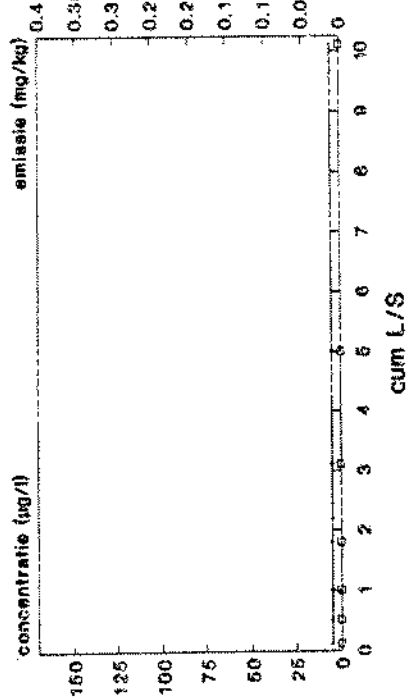
pagina 101.

Norgerholt  
Zink



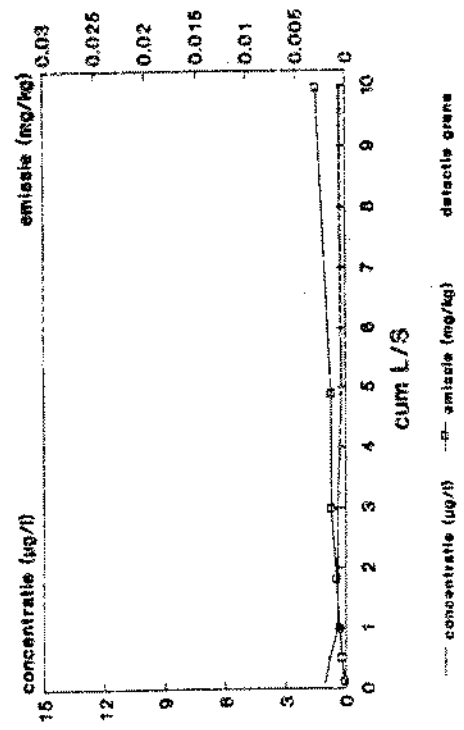
— concentratie (ug/l) — o— emissie (mg/kg) —> detectie grens

Norgerholt  
Cobalt



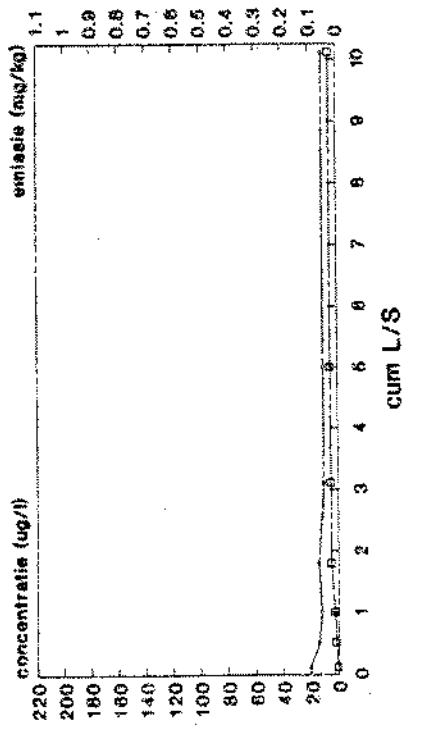
— concentratie (ug/l) — o— emissie (mg/kg) —> detectie grens

Norgerholt  
Kwik



— concentratie (ug/l) — o— emissie (mg/kg) —> detectie grens

Norgerholt  
Vanadium

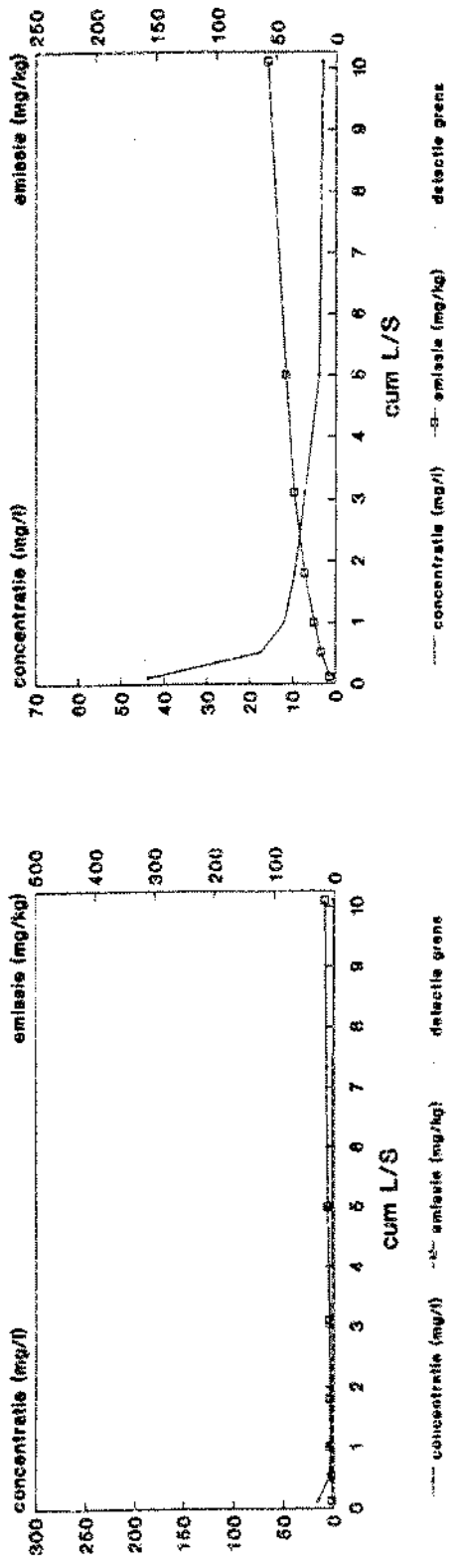


— concentratie (ug/l) — o— emissie (mg/kg) —> detectie grens

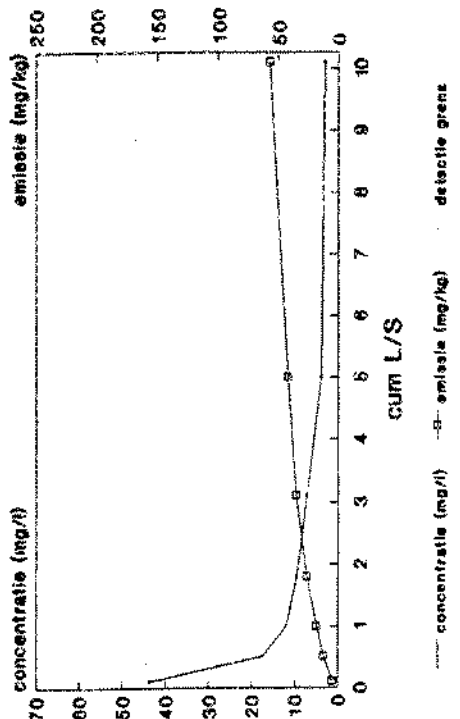
Beoordeling van gereinigde grond, deelrapport I.

pagina 102.

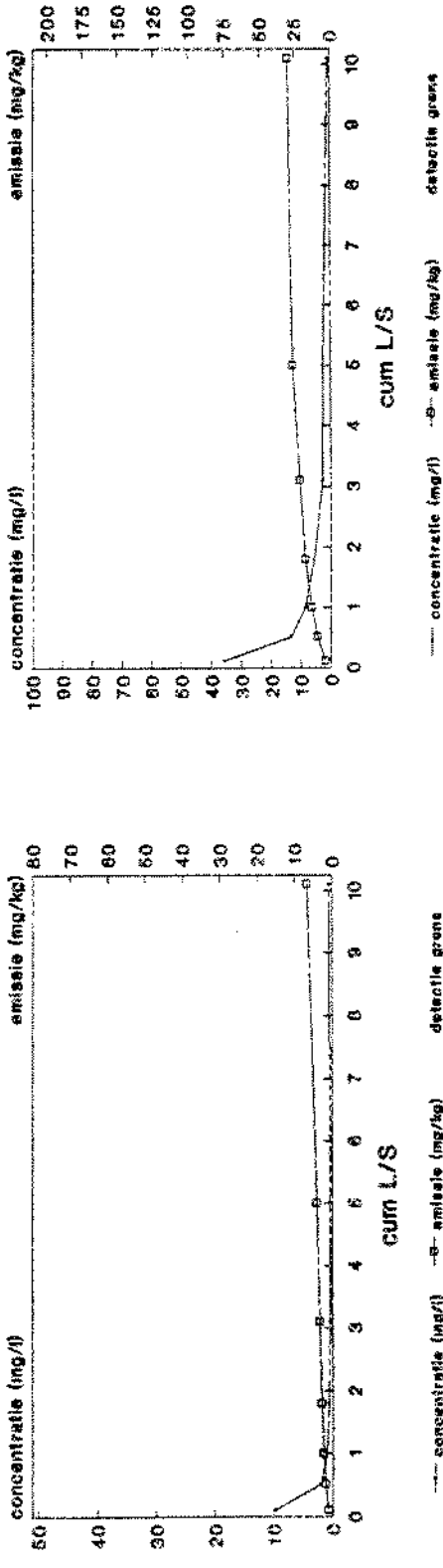
Norgerholt  
Calcium



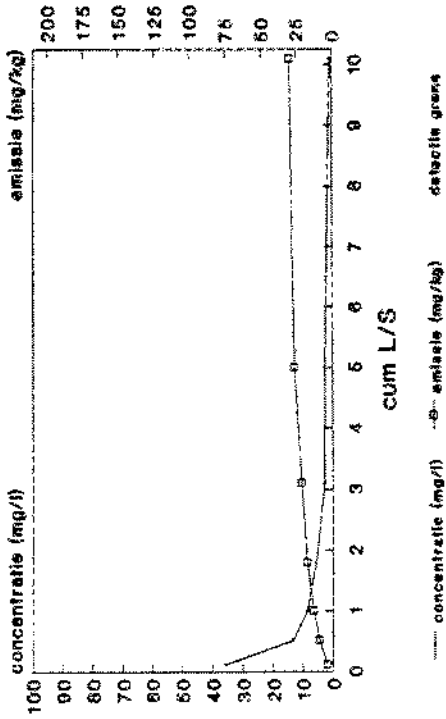
Norgerholt  
Kalium



Norgerholt  
Magnesium



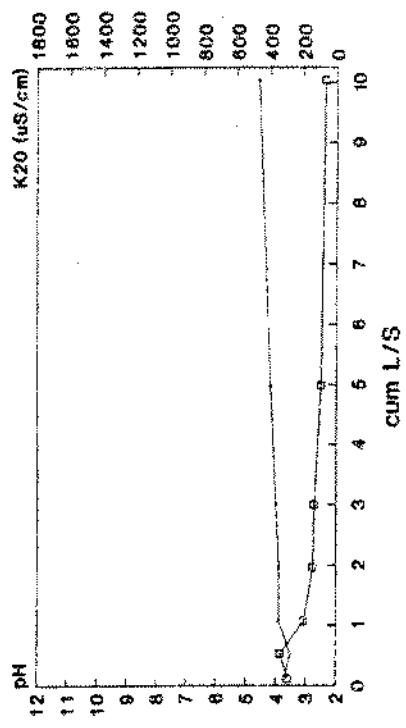
Norgerholt  
Natrium



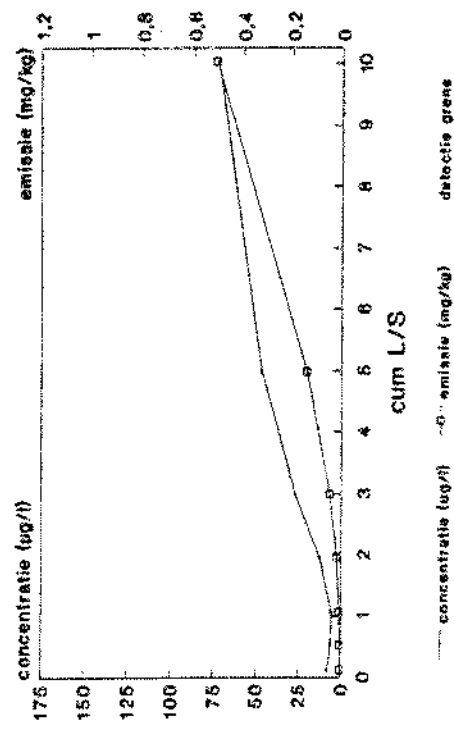
Beoordeling van gereinigde grond, deelrapport I.

pagina 103.

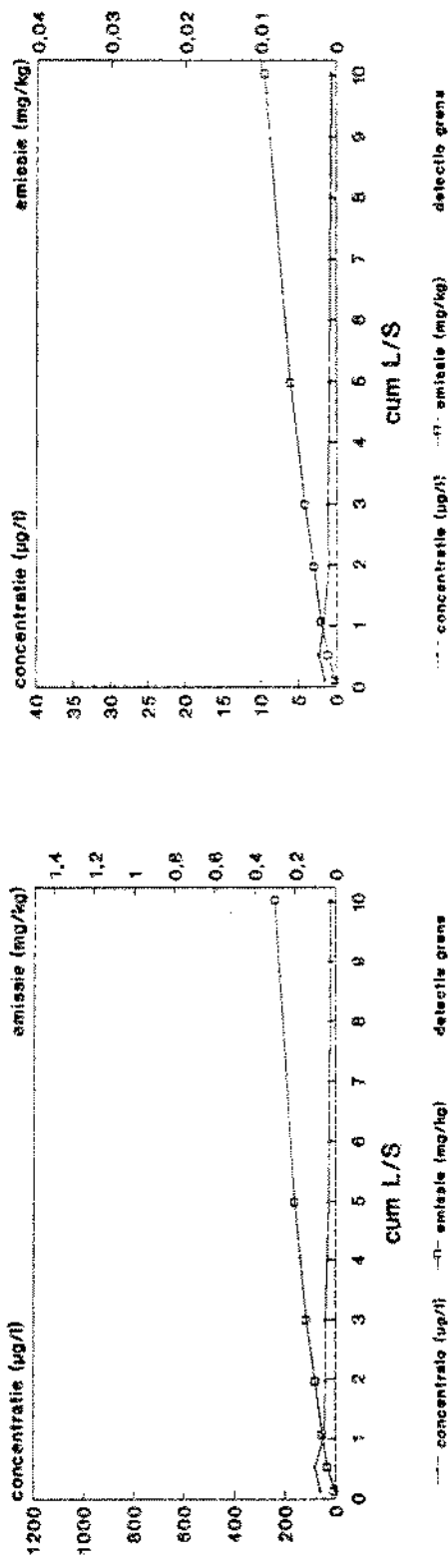
**Kleibos**  
pH en K2O



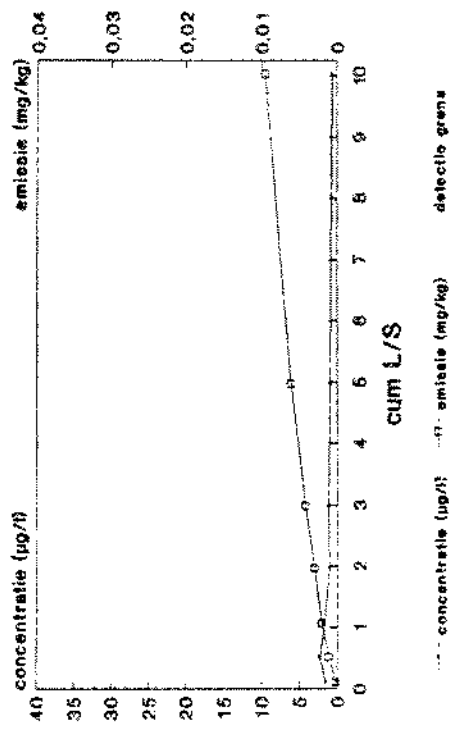
**Kleibos**  
Arseen



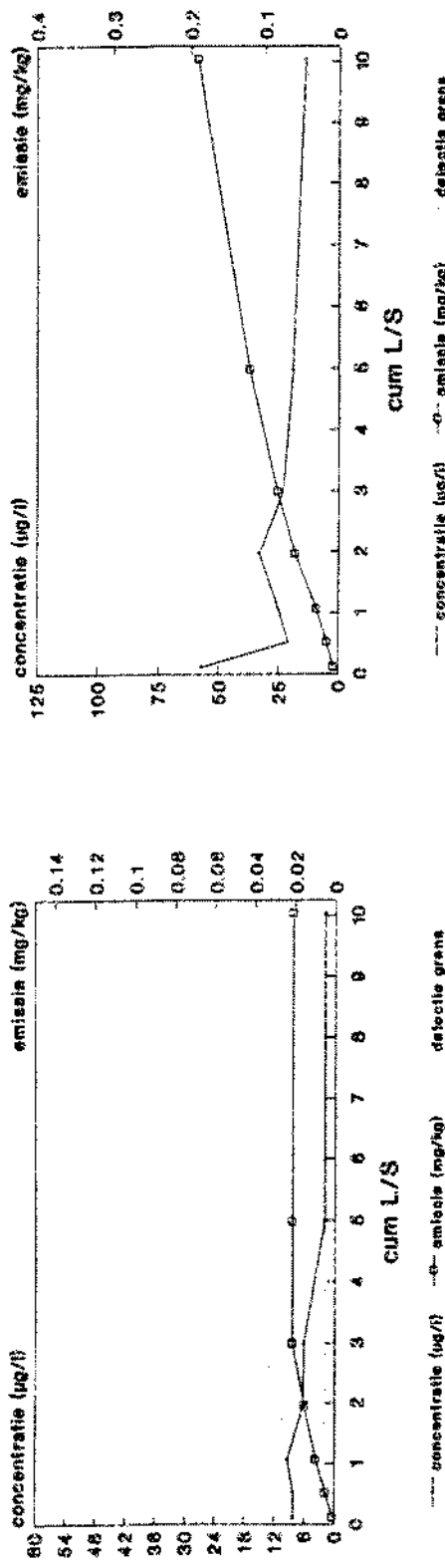
**Kleibos**  
Bariumi



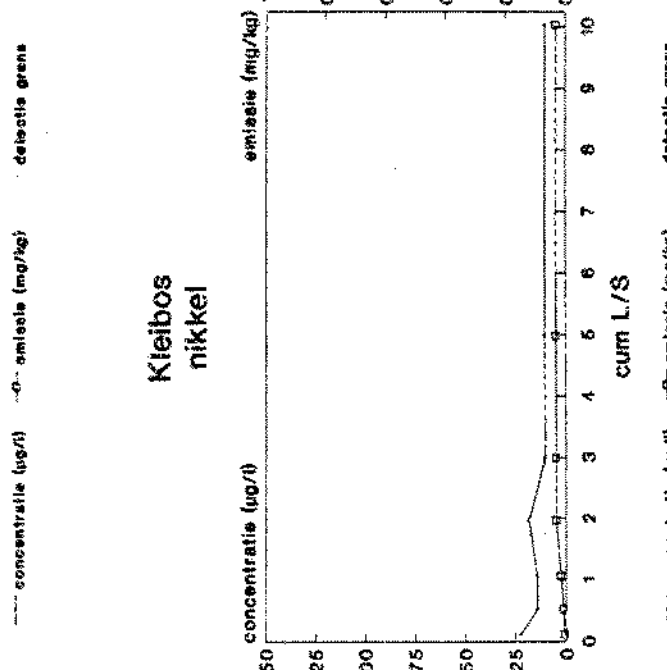
**Kleibos**  
Cadmium



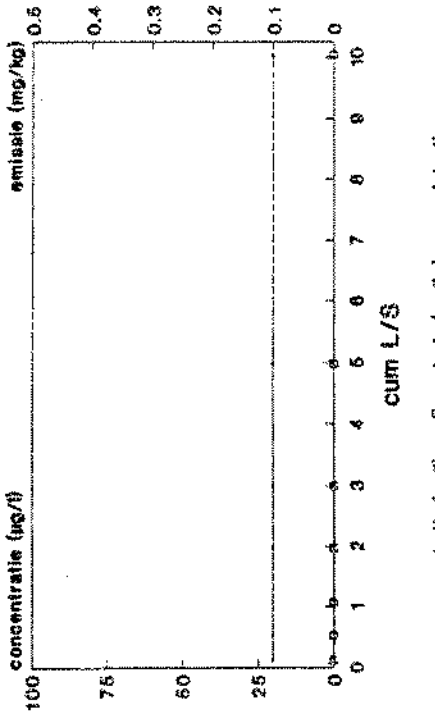
**Kleibos  
Chroom**



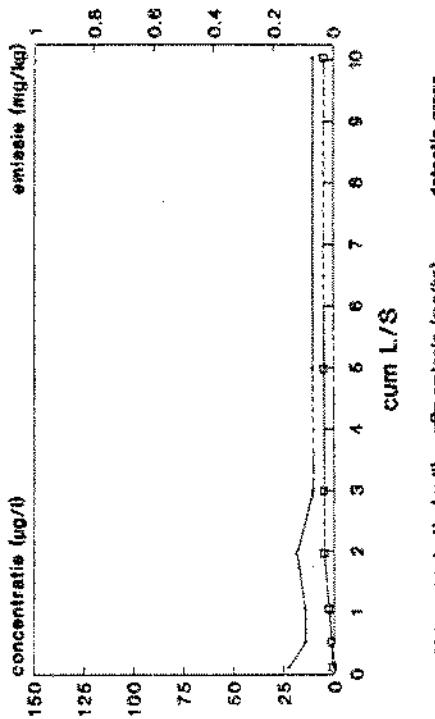
**Kleibos  
Koper**



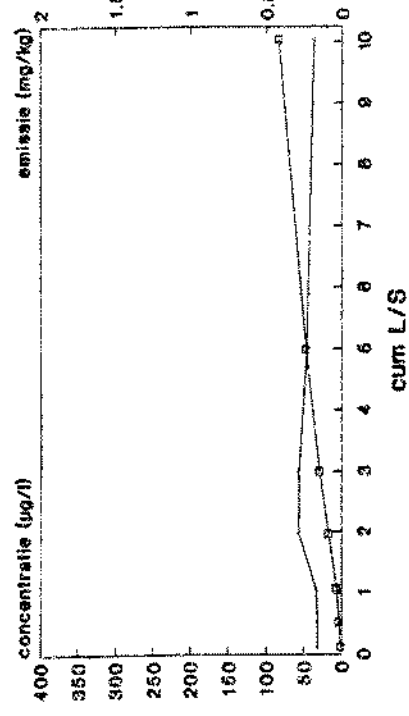
**Kleibos  
Molybdeen**



**Kleibos  
nikkel**



### Kleibos lood

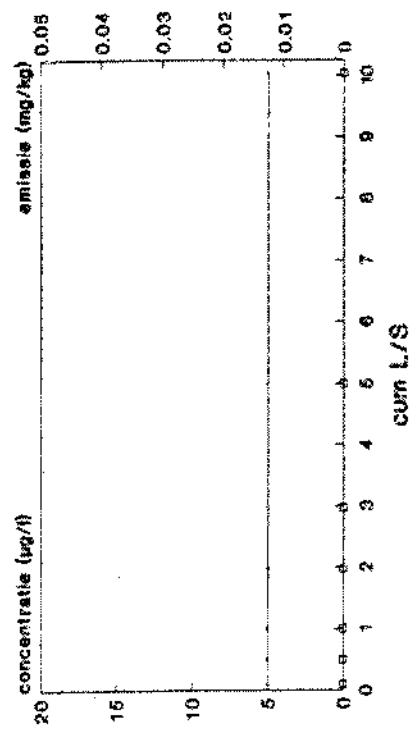


— concentratie (µg/l)    -o- emissie (mg/kg)    detectie grond

— concentratie (µg/l)    -o- emissie (mg/kg)    detectie grond

— concentratie (µg/l)    -o- emissie (mg/kg)    detectie grond

### Kleibos antimoon

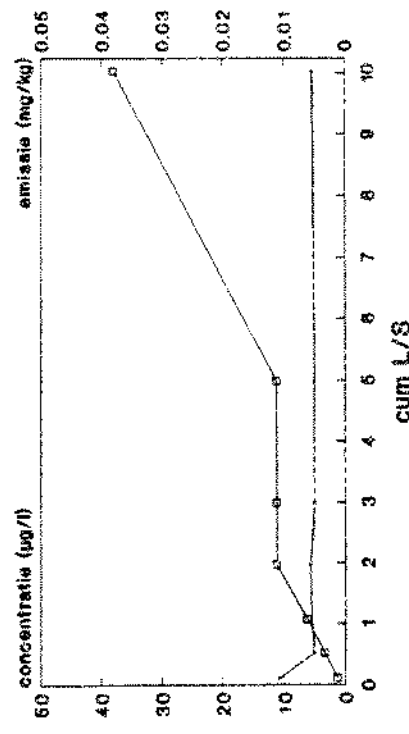


— concentratie (µg/l)    -o- emissie (mg/kg)    detectie grond

— concentratie (µg/l)    -o- emissie (mg/kg)    detectie grond

— concentratie (µg/l)    -o- emissie (mg/kg)    detectie grond

### Kleibos Selenen

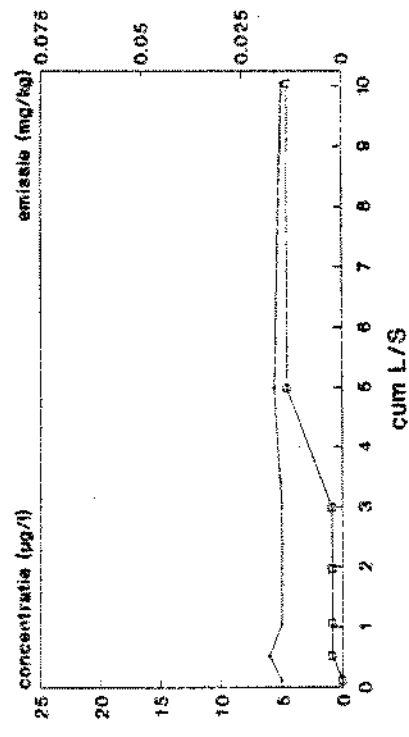


— concentratie (µg/l)    -o- emissie (mg/kg)    detectie grond

— concentratie (µg/l)    -o- emissie (mg/kg)    detectie grond

— concentratie (µg/l)    -o- emissie (mg/kg)    detectie grond

### Kleibos Tin



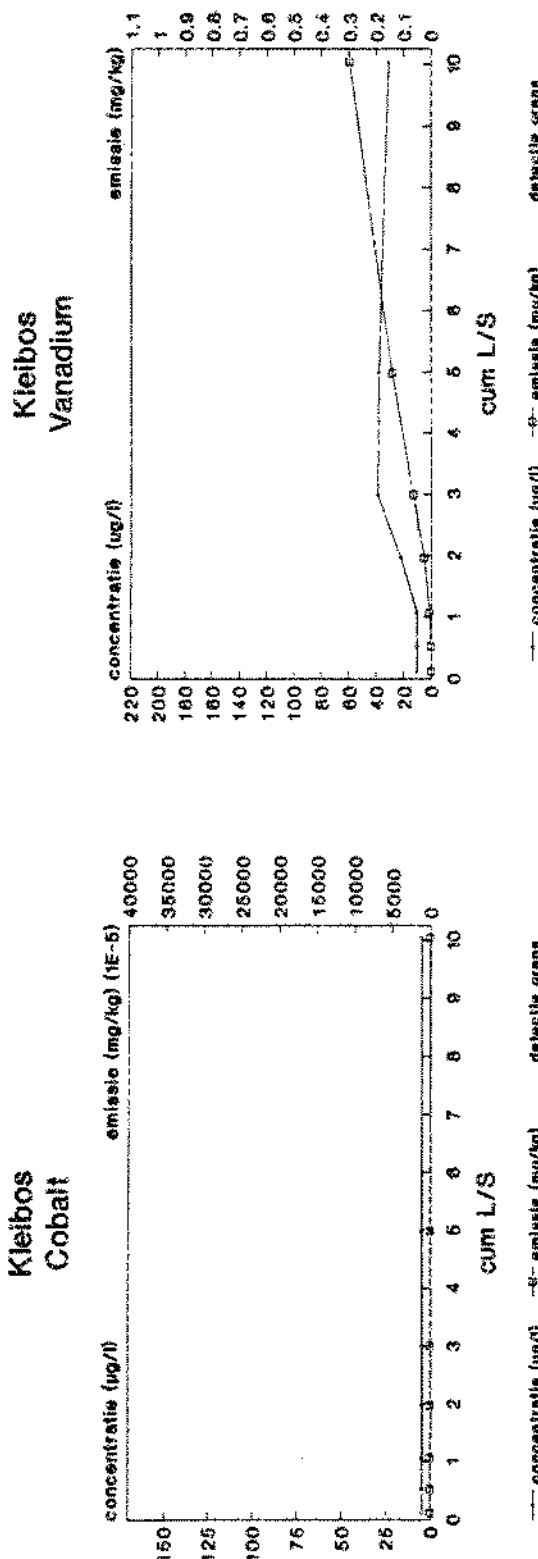
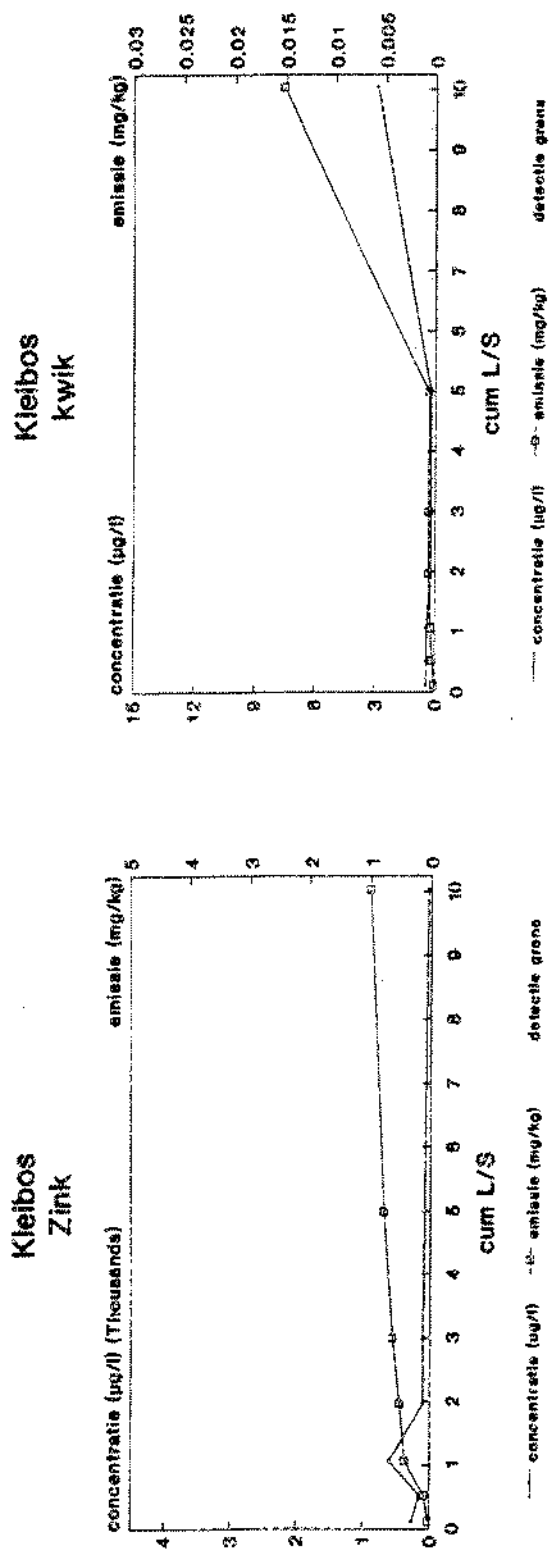
— concentratie (µg/l)    -o- emissie (mg/kg)    detectie grond

— concentratie (µg/l)    -o- emissie (mg/kg)    detectie grond

— concentratie (µg/l)    -o- emissie (mg/kg)    detectie grond

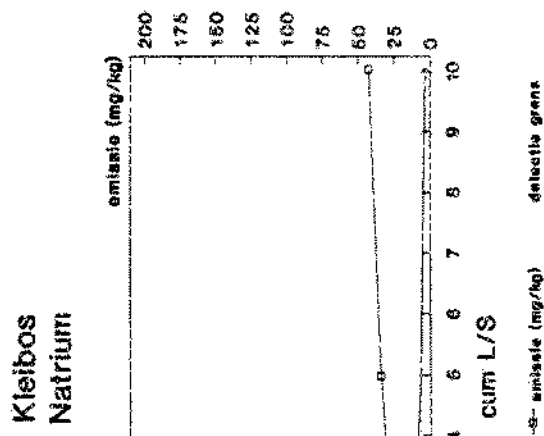
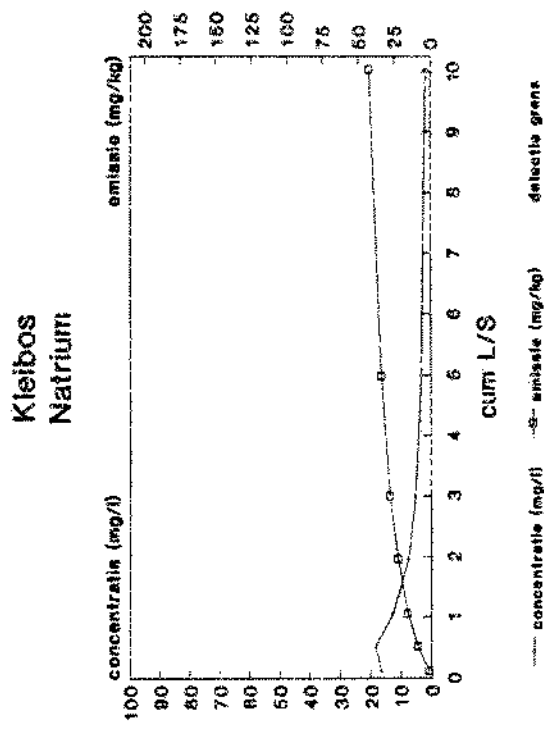
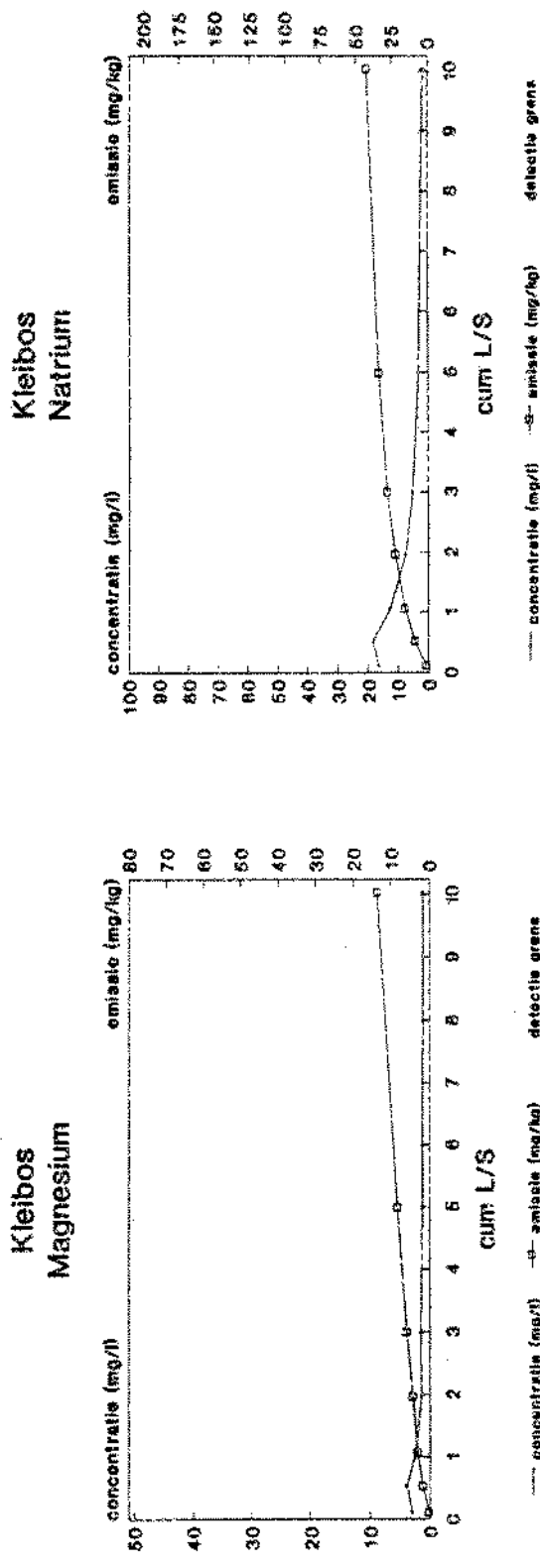
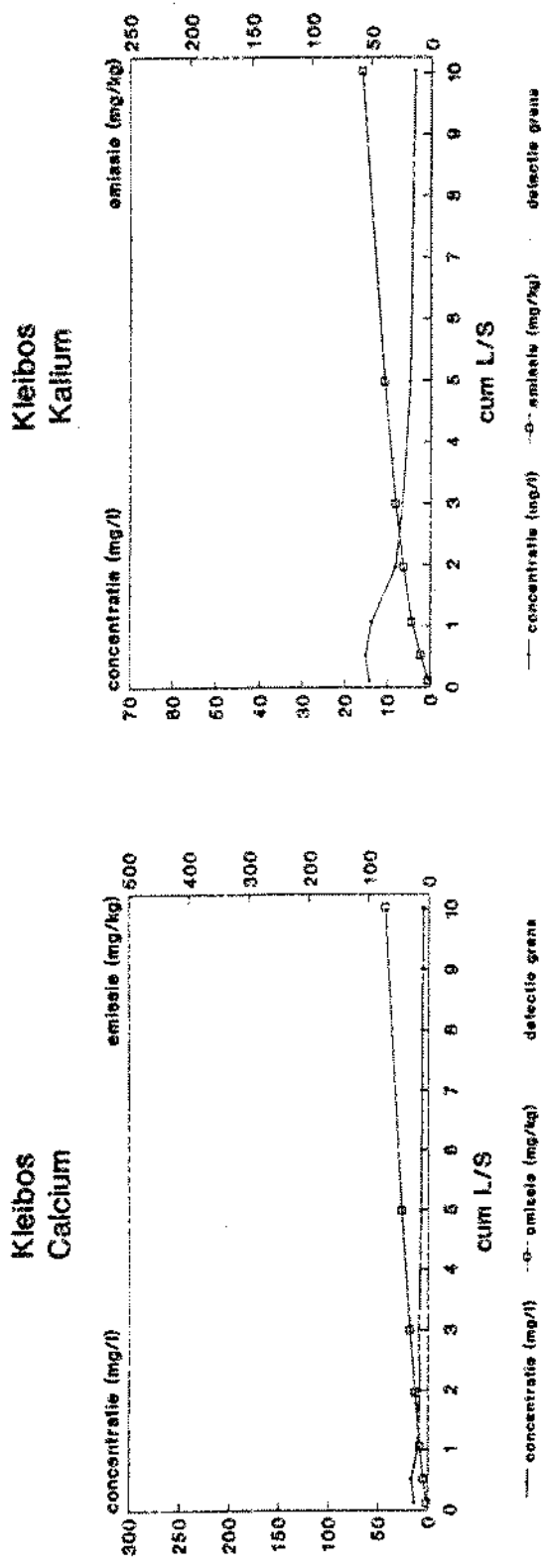
Beoordeling van gereinigde grond, deelrapport I.

pagina 106.



Beoordeling van gereinigde grond, deelrapport 1.

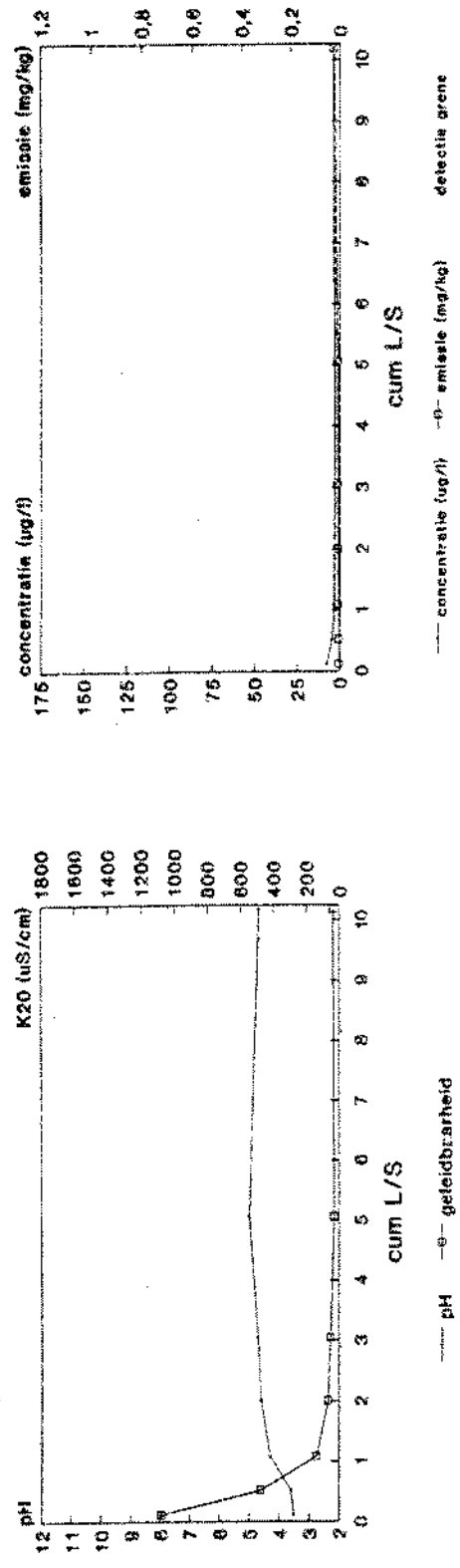
pagina 107.



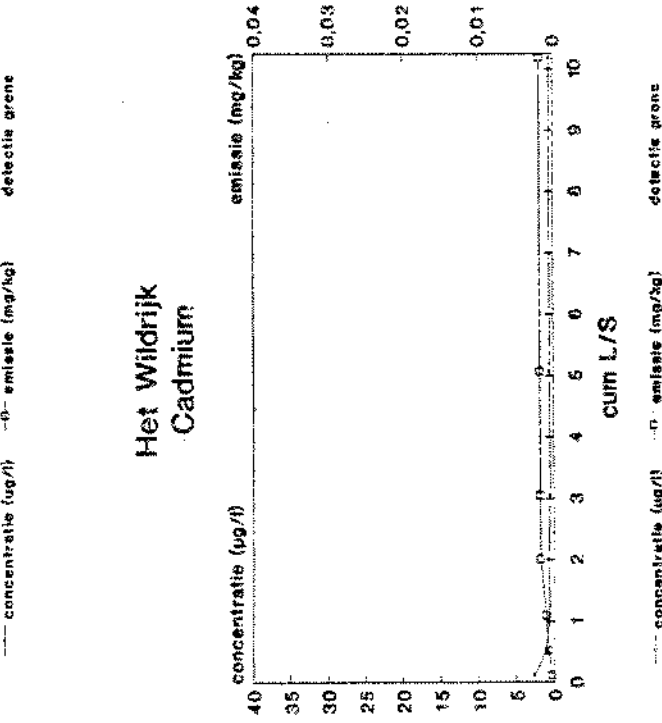
**Beoordeling van gereinigde grond, deerrapport I.**

pagina 108.

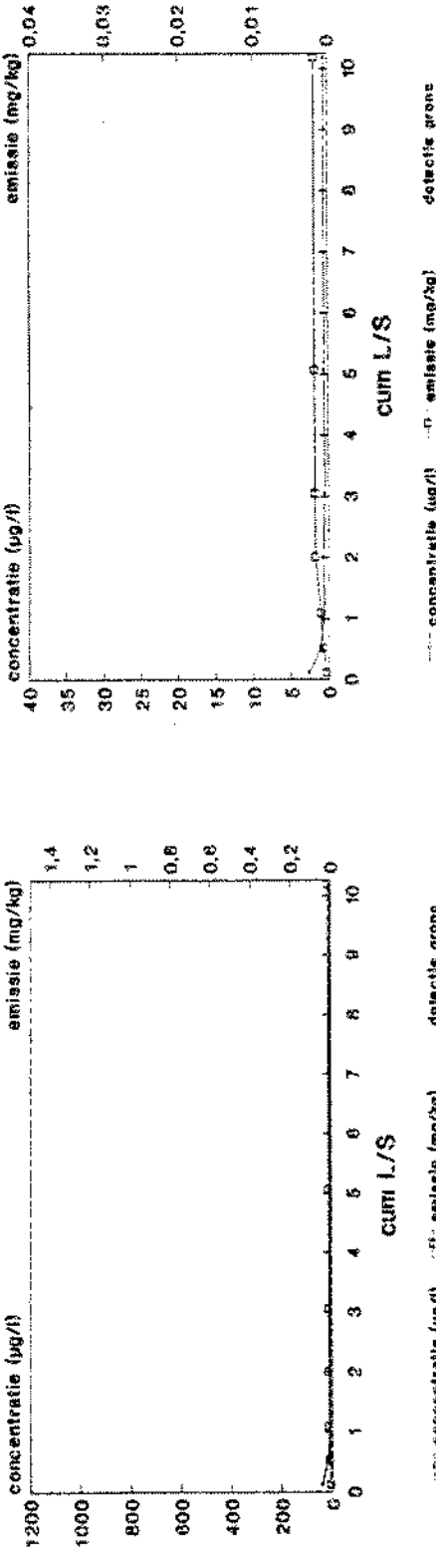
**Het Wildrijk  
pH en K2O**



**Het Wildrijk  
Arsen**



**Het Wildrijk  
Baruim**



— concentratie (µg/l) — emissie (mg/kg)

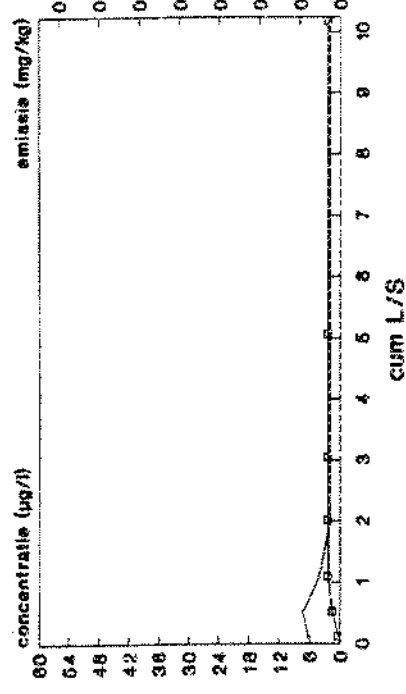
— cum L/S

— detectie drempel

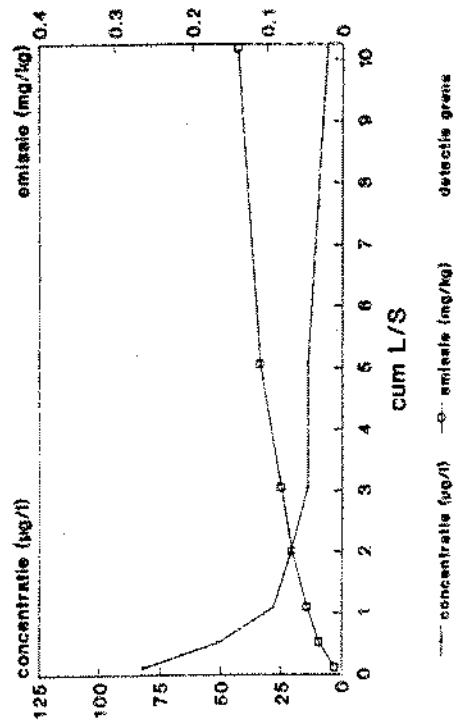
## Beoordeling van gereinigde grond, deelrapport 1.

pagina 109.

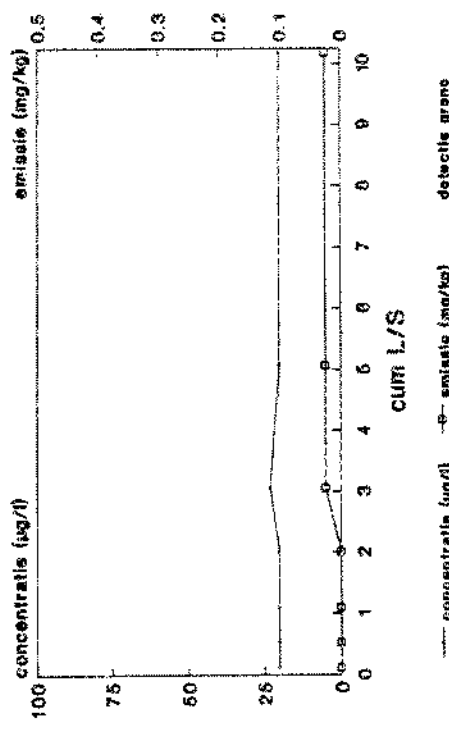
### Het Wildrijk Chroom



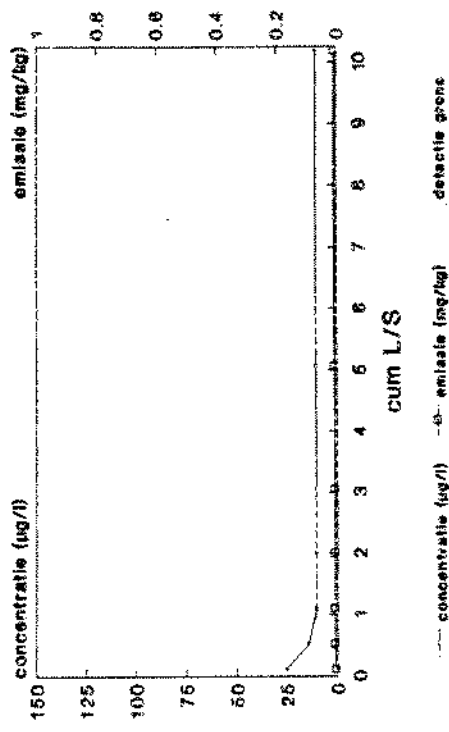
### Het Wildrijk Koper



### Het Wildrijk Molybdeen



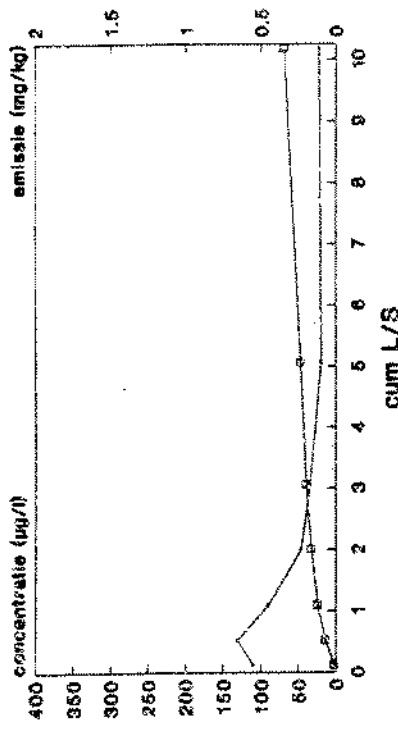
### Het Wildrijk nikkel



Becordeling van gereinigde grond, deelrapport 1.

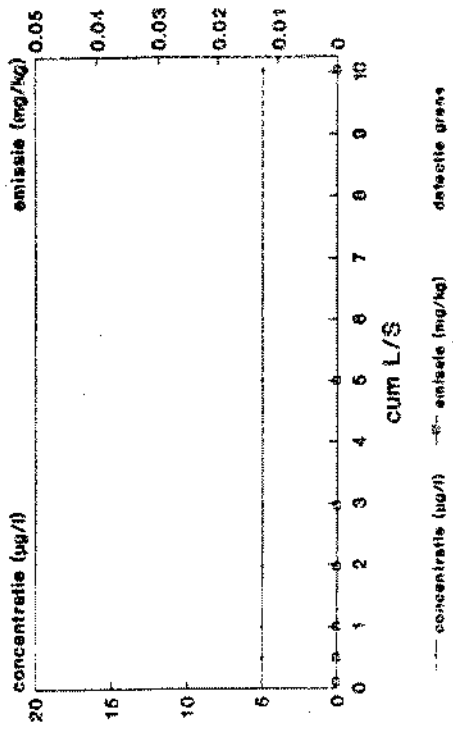
pagina 110.

### Het Wildrijk lood



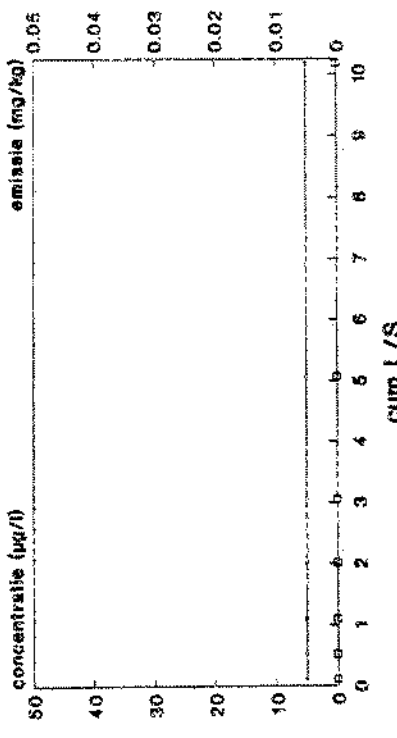
— concentratie ( $\mu\text{g/l}$ )    -o- emissie (mg/kg)    - - - detectie grens

### Het Wildrijk antimoon



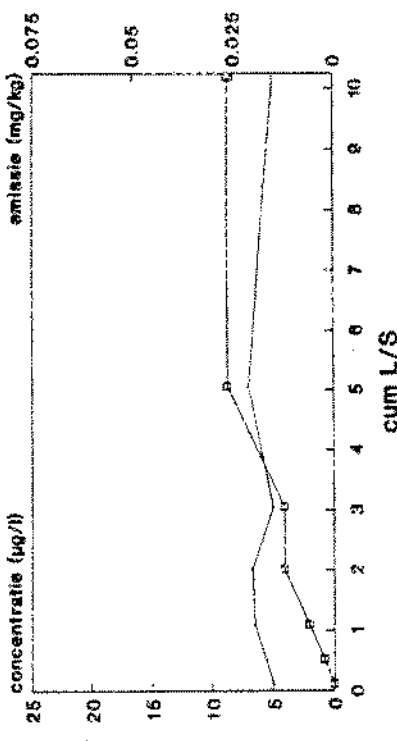
— concentratie ( $\mu\text{g/l}$ )    -o- emissie (mg/kg)    - - - detectie grens

### Het Wildrijk Selen



— concentratie ( $\mu\text{g/l}$ )    -o- emissie (mg/kg)    - - - detectie grens

### Het Wildrijk Tin

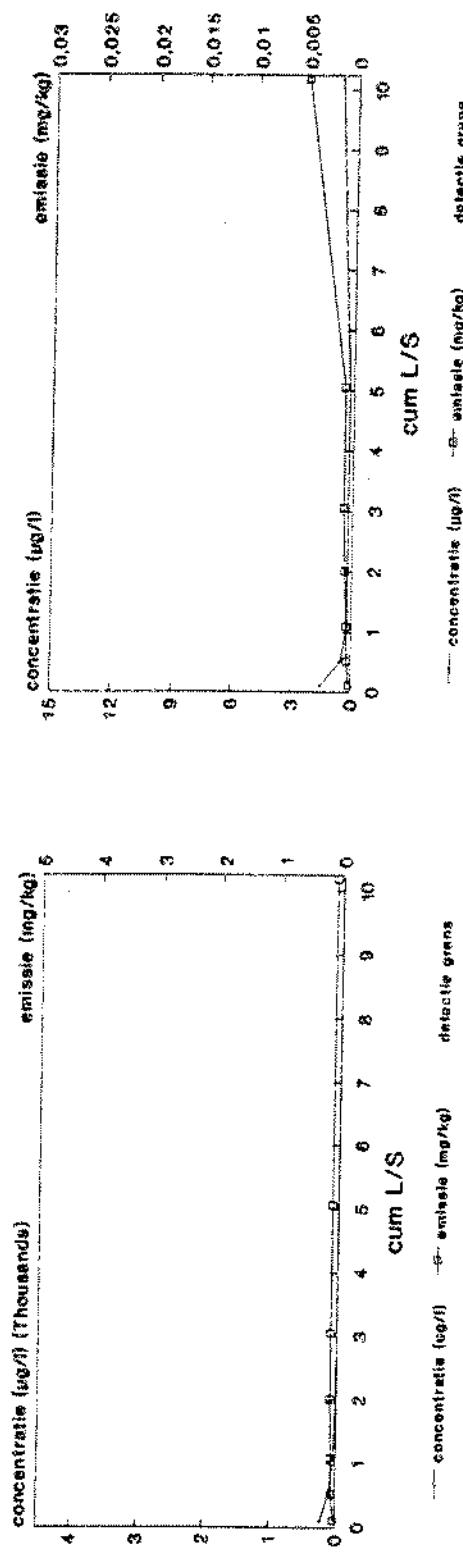


— concentratie ( $\mu\text{g/l}$ )    -o- emissie (mg/kg)    - - - detectie grens

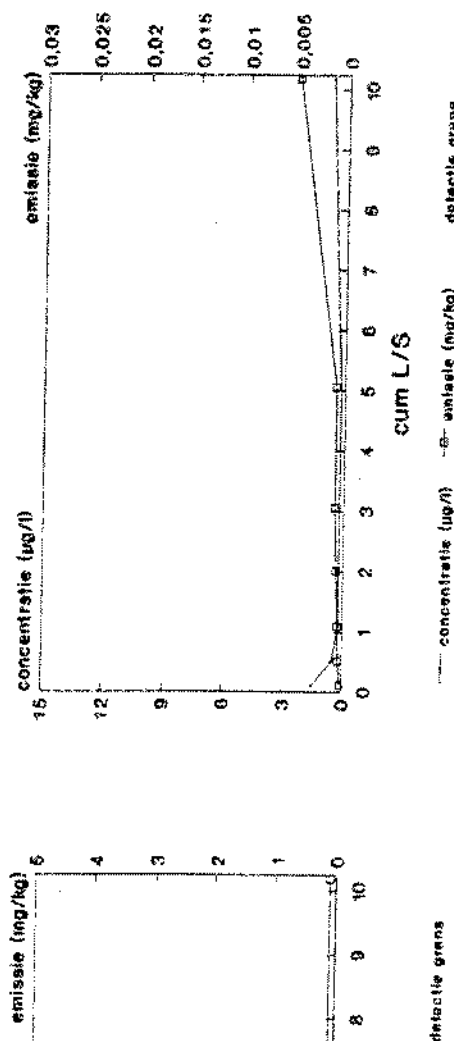
## Beoordeling van gereinigde grond, deelrapport 1.

pagina 111.

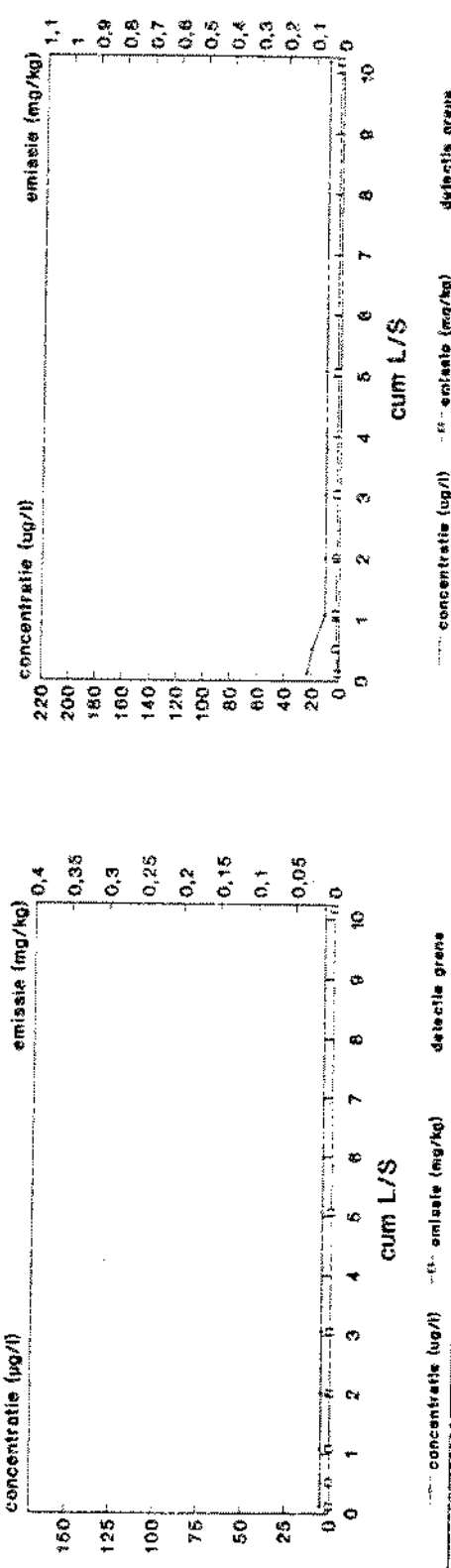
### Het Wildrijk Zink



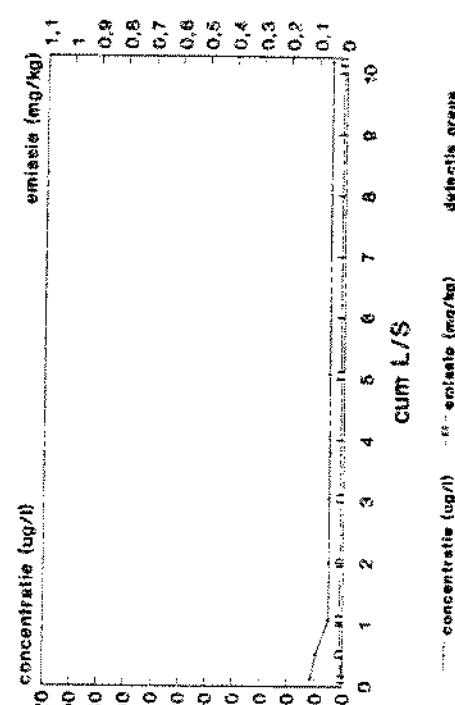
### Het Wildrijk Kwik



### Het Wildrijk Cobalt



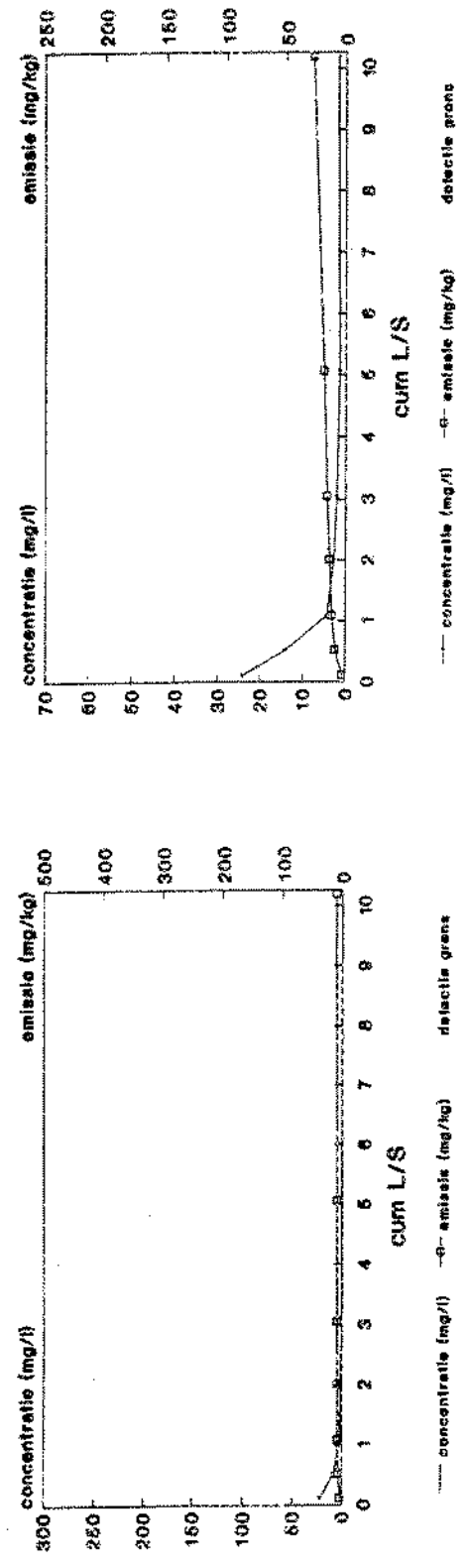
### Het Wildrijk Vanaadium



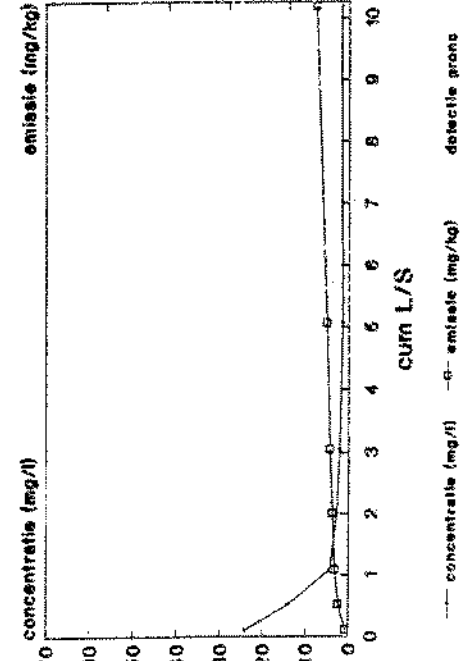
## Beoordeling van gereinigde grond, deelrapport I.

pagina 112.

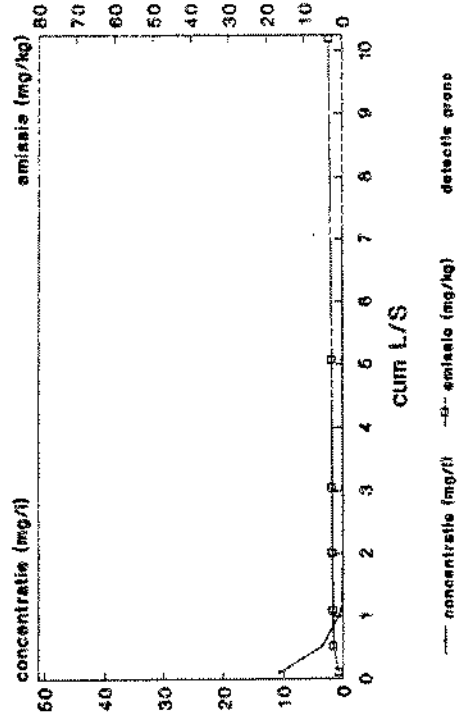
### Het Wildrijk Calcium



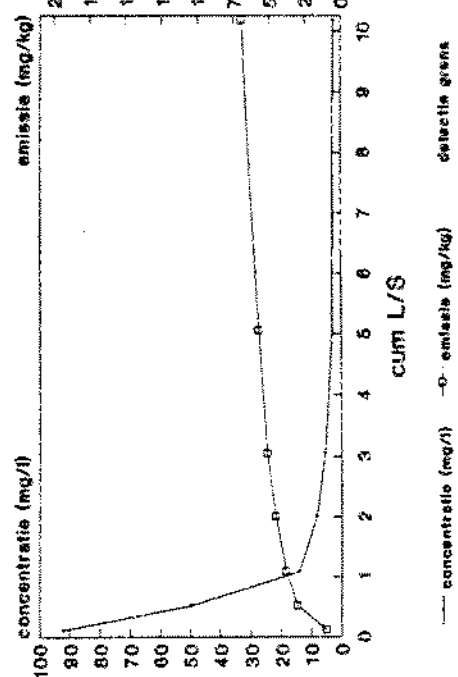
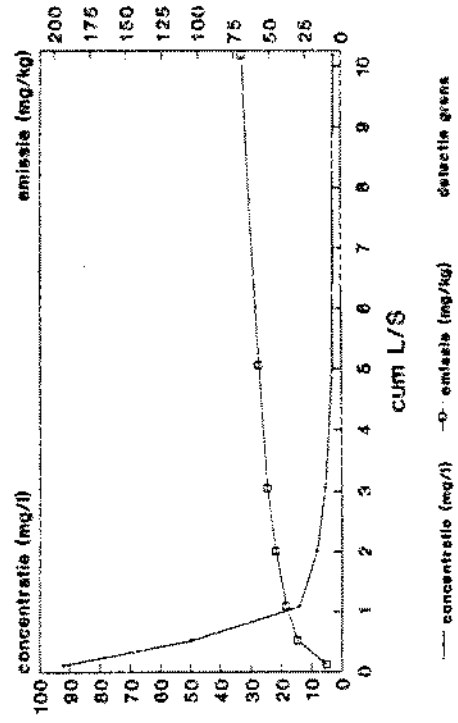
### Het Wildrijk Kaliïum



### Het Wildrijk Magnesium



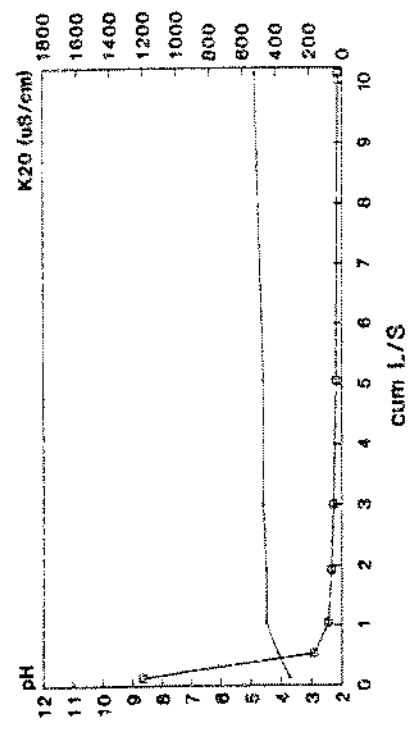
### Het Wildrijk Natrium



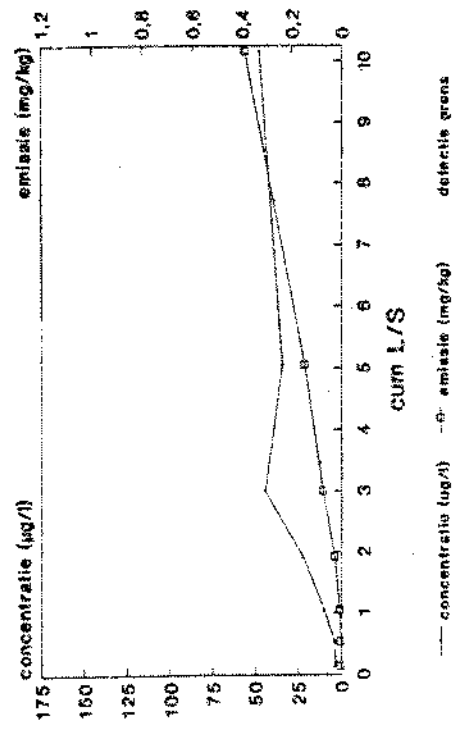
Beoordeling van gereinigde grond, deelrapport 1.

pagina 113.

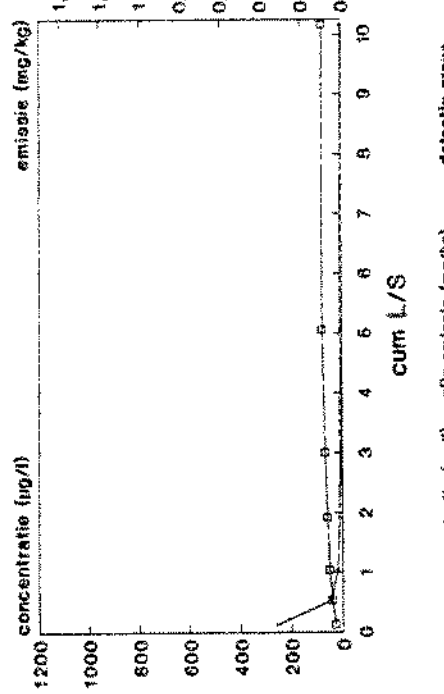
**Filosofendaal  
Barium**



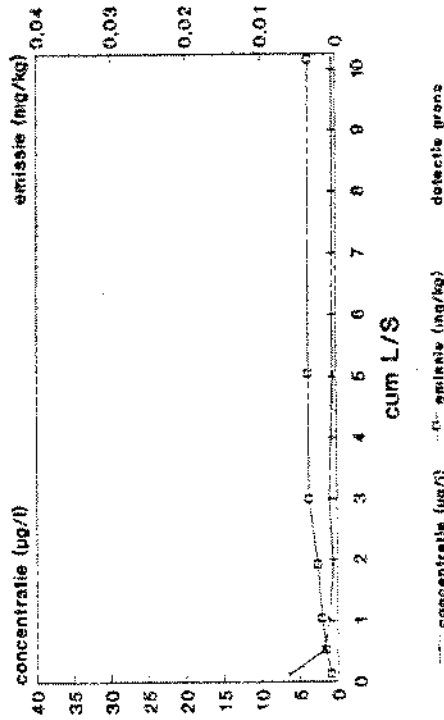
**Filosofendaal  
Arsen**



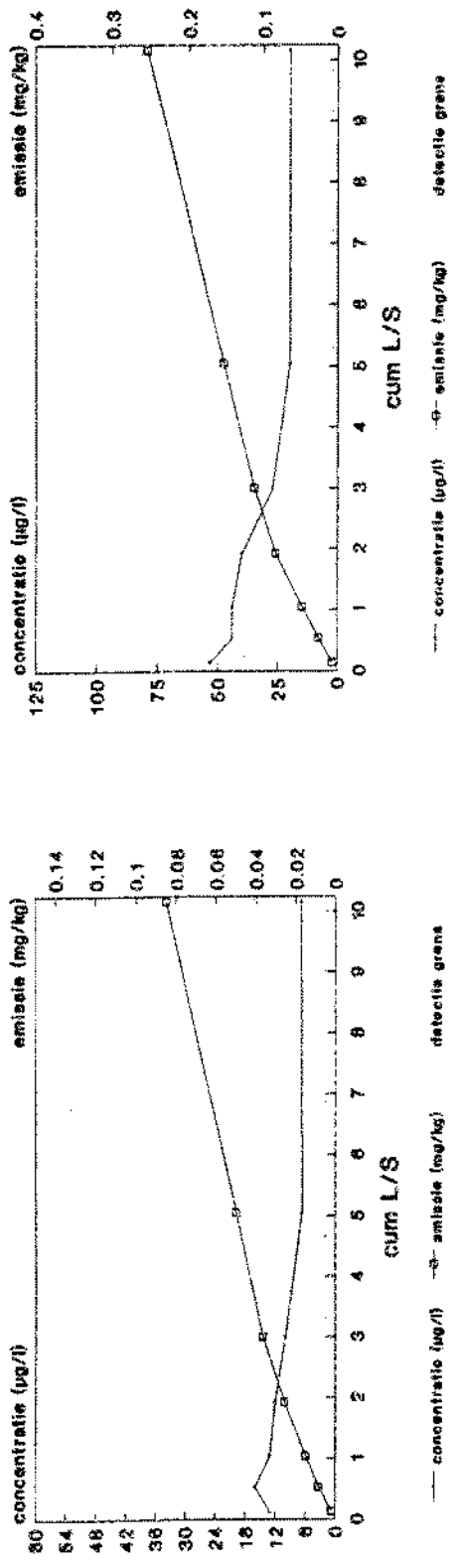
**Filosofendaal  
Barium**



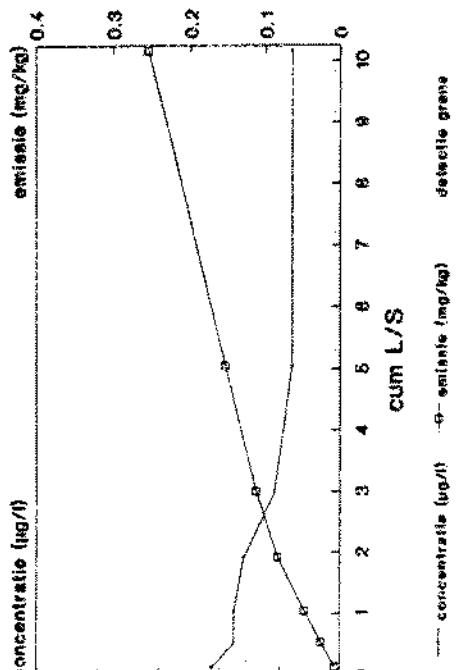
**Filosofendaal  
Cadmium**



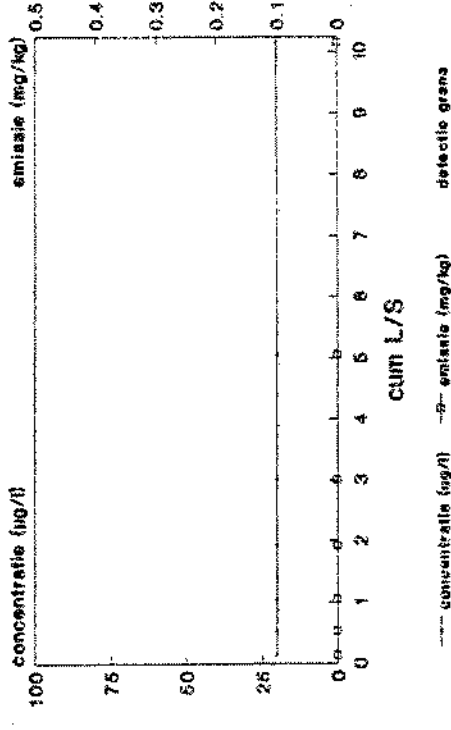
### Filosofendal Chroom



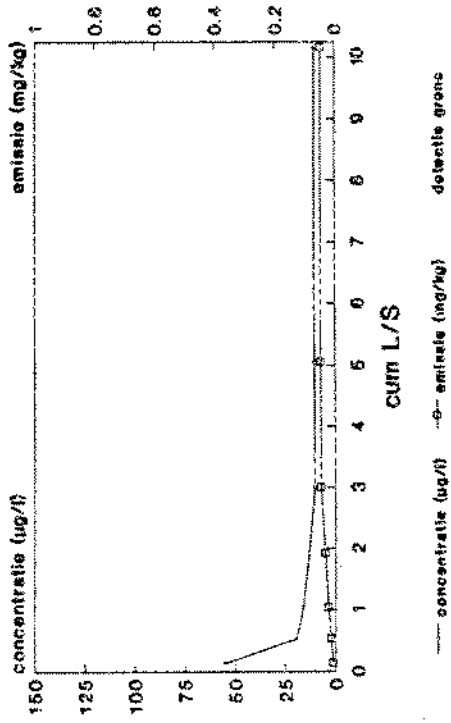
### Filosofendal Koper



### Filosofendal Molybdeen



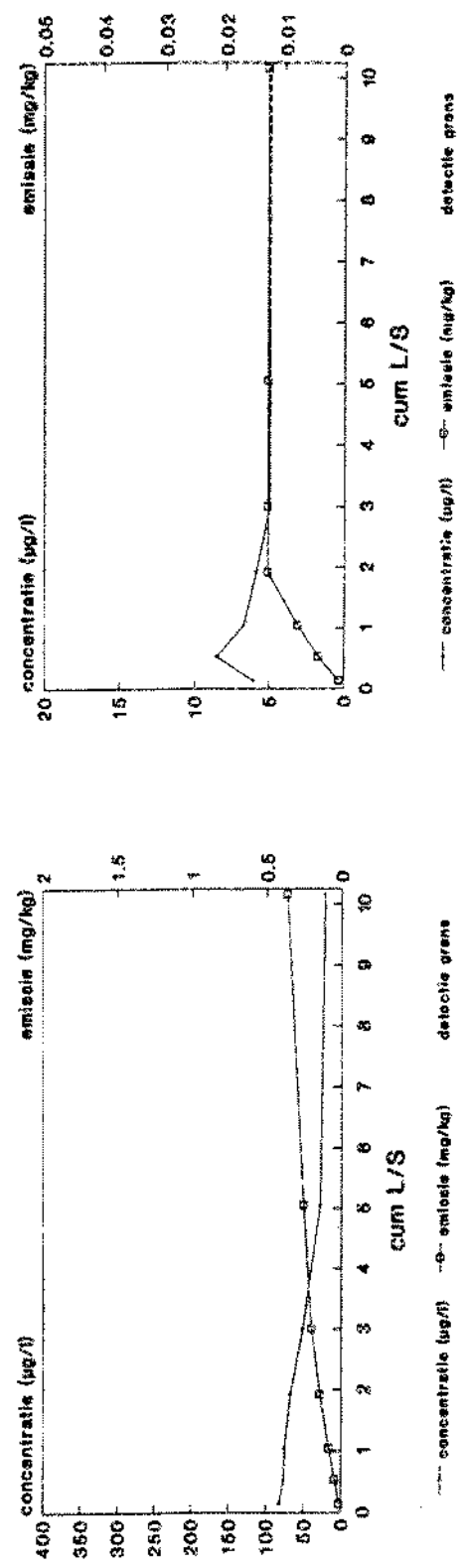
### Filosofendal nikkel



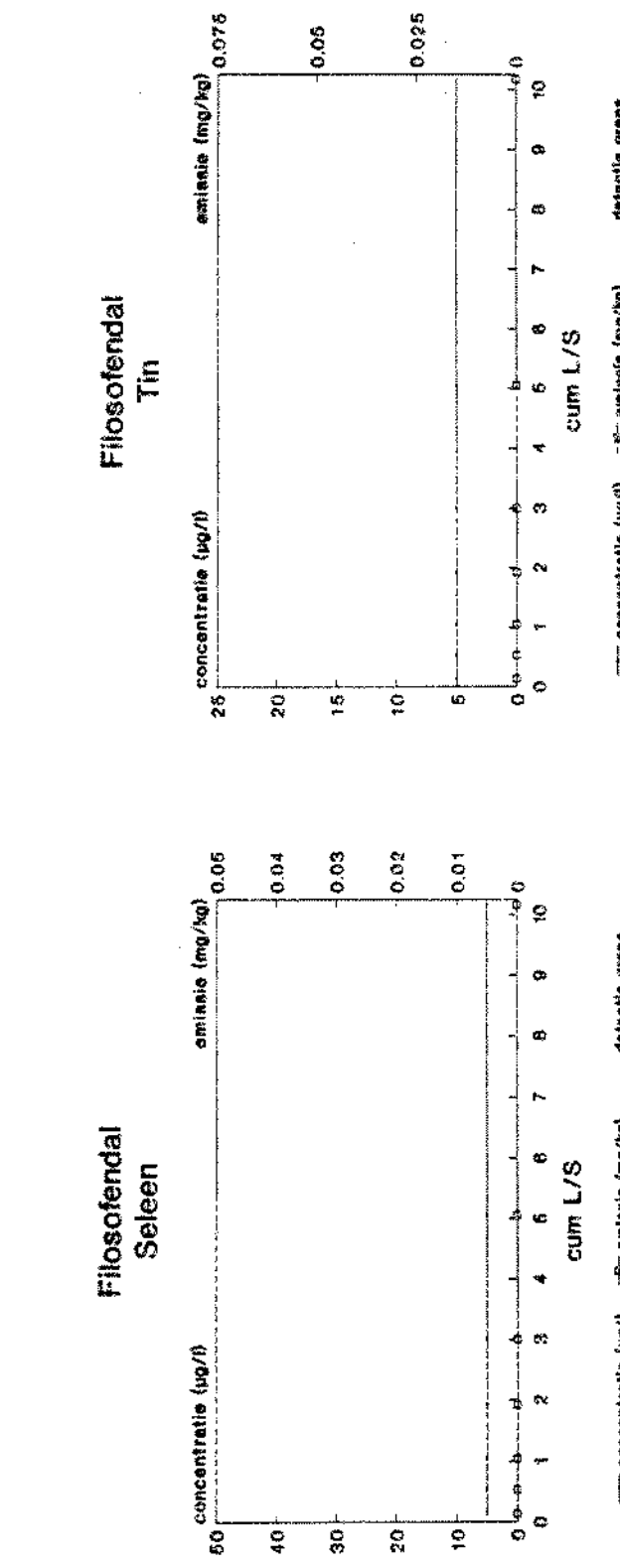
Begroting van gereinigde grond, deelrapport 1.

pagina 115.

Filosofendaal  
lood



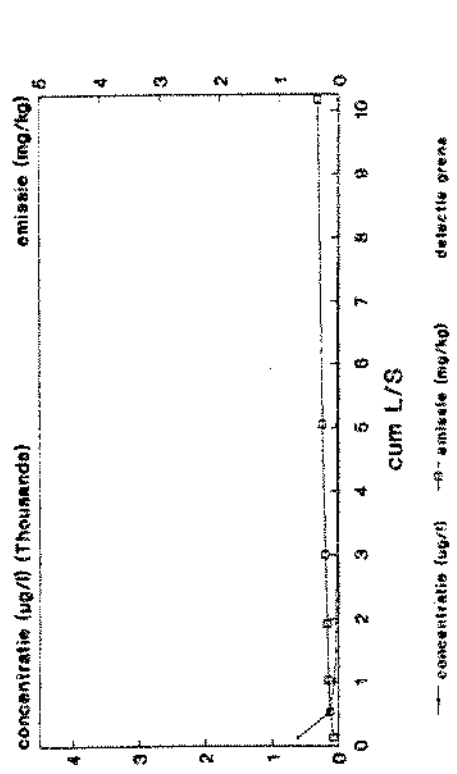
Filosofendaal  
antimoon



Beoordeling van gereinigde grond, deelrapport I.

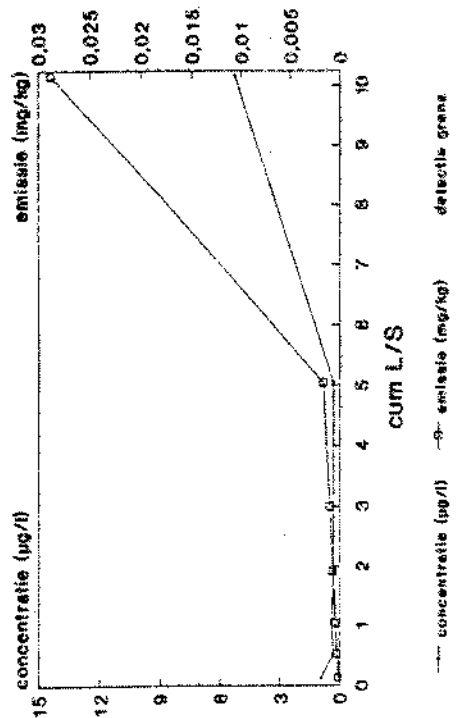
pagina 116.

**Filosofendaal**  
Zink



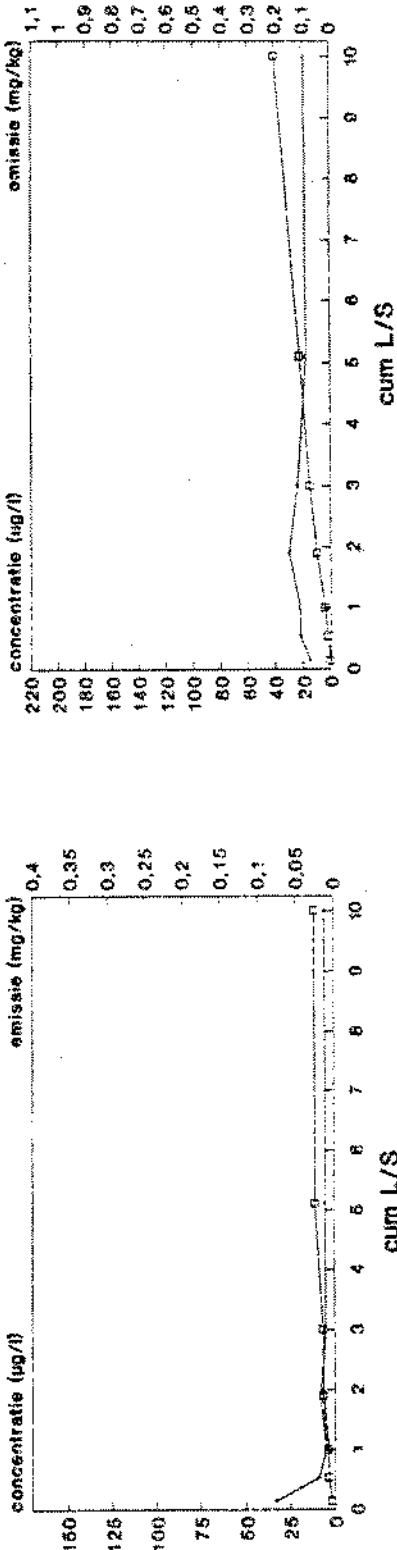
—> concentratie (ug/l) —> emissie (mg/kg) detectie grens

**Filosofendaal**  
Kwik



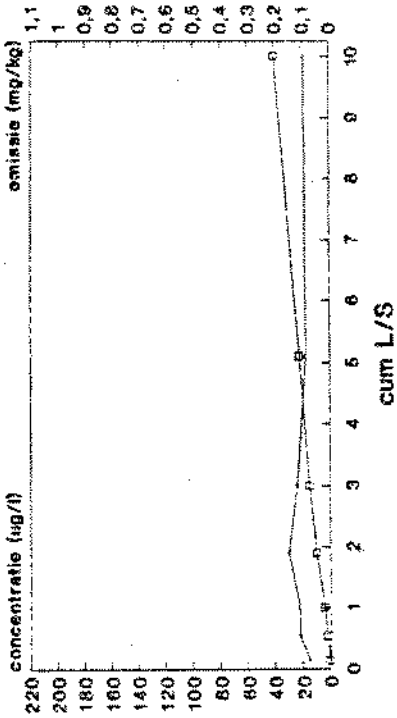
—> concentratie (ug/l) —> emissie (mg/kg) detectie grens

**Filosofendaal**  
Cobalt



—> concentratie (ug/l) —> emissie (mg/kg) detectie grens

**Filosofendaal**  
Vanaadium

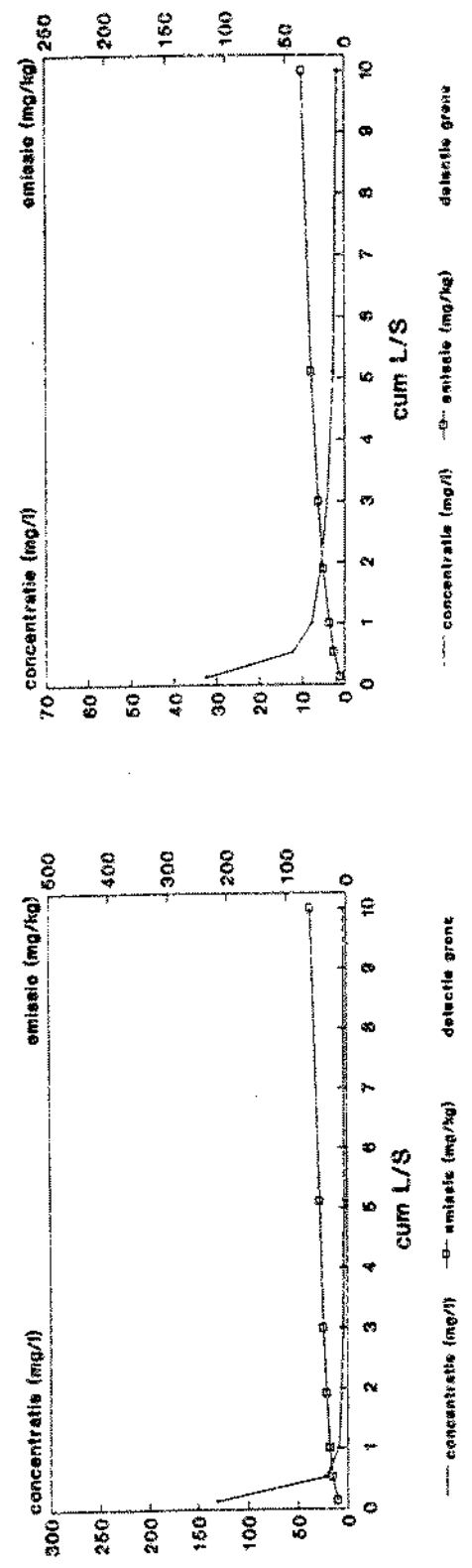


—> concentratie (ug/l) —> emissie (mg/kg) detectie grens

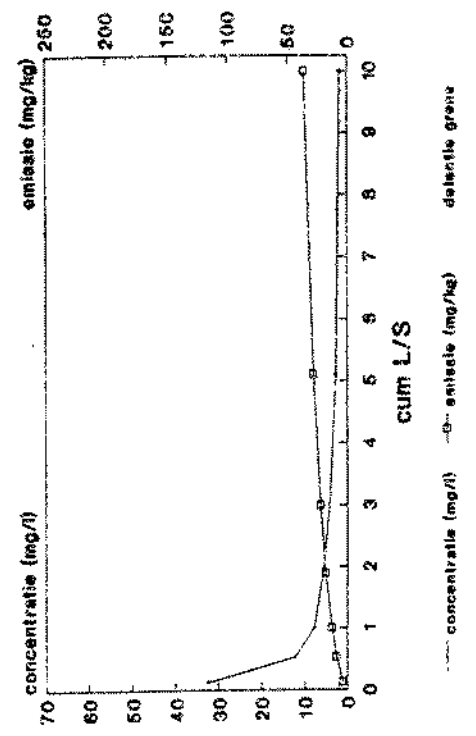
Beoordeling van gereinigde grond, deelrapport 1.

pagina 117.

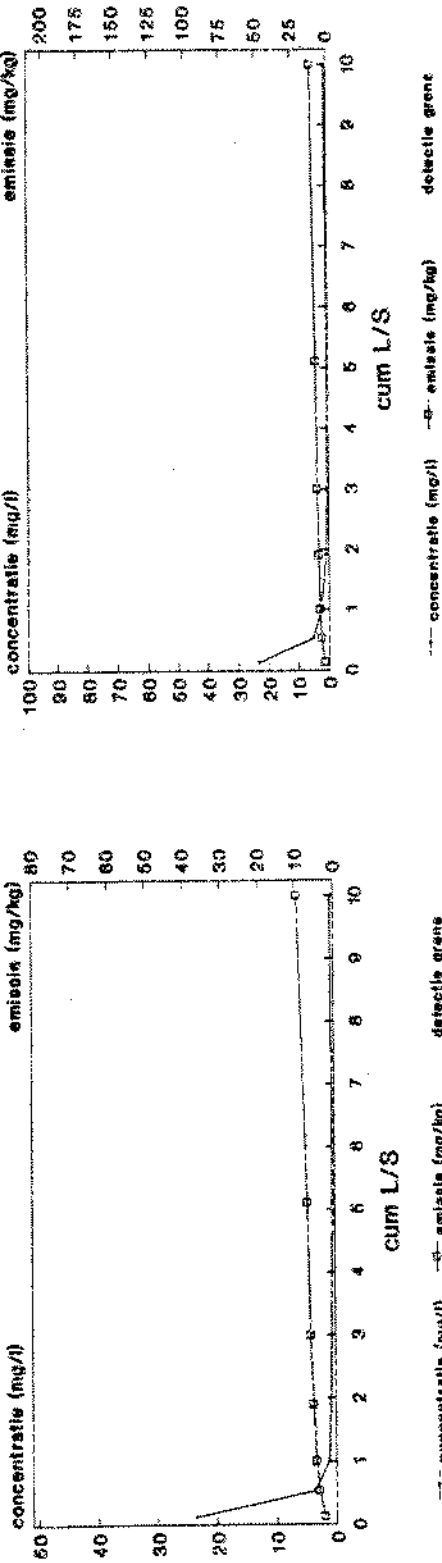
**Filosofendal**  
Calcium



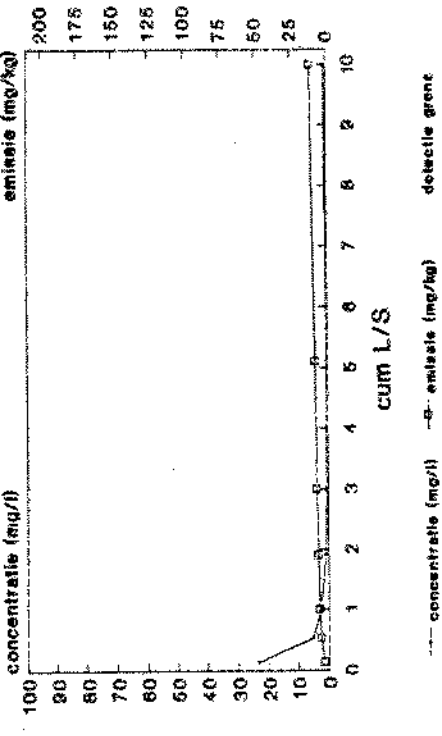
**Filosofendal**  
Kaliumpotassium



**Filosofendal**  
Magnesium



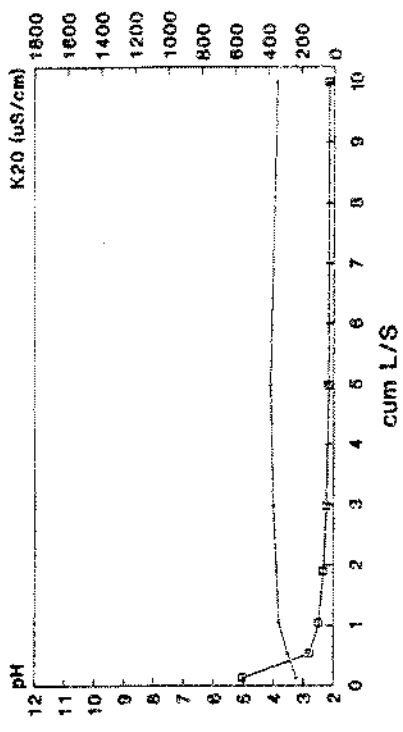
**Filosofendal**  
Natrium



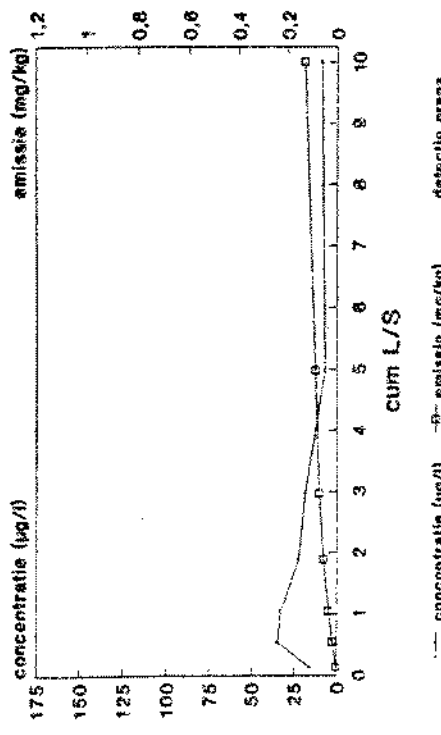
Beoordeling van gereinigde grond, deelrapport I.

pagina 118.

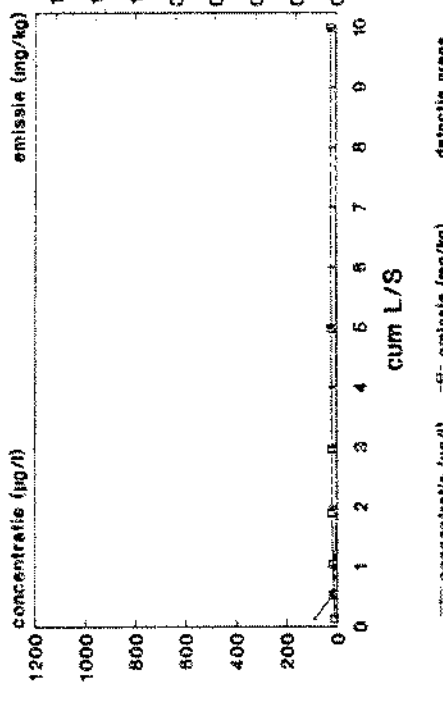
Drunense heide  
pH en K2O



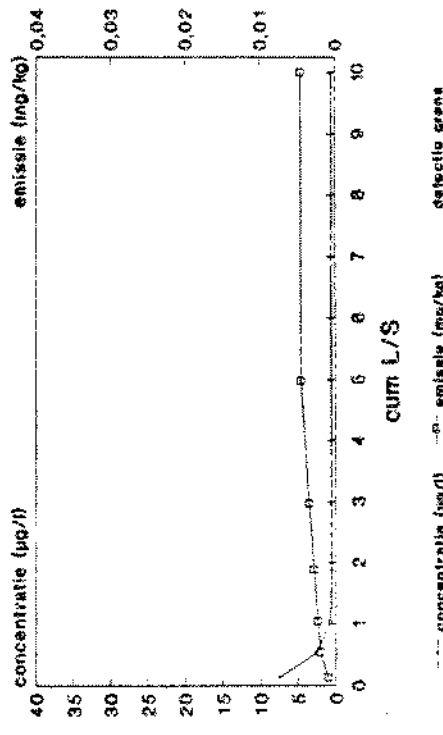
Drunense heide  
Arsen



Drunense heide  
Barium



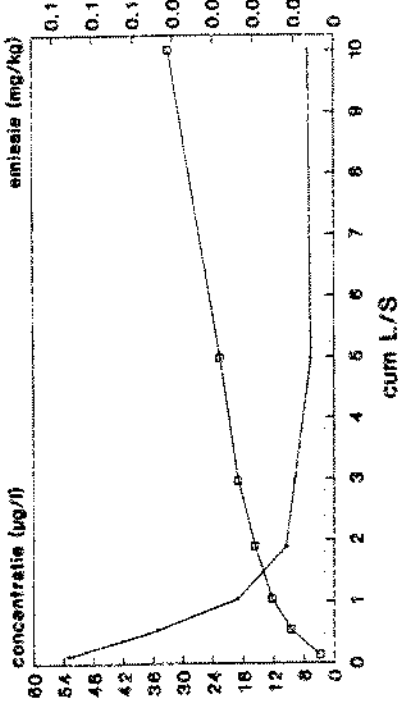
Drunense heide  
Cadmium



Beoordeling van gereinigde grond, deelrapport I.

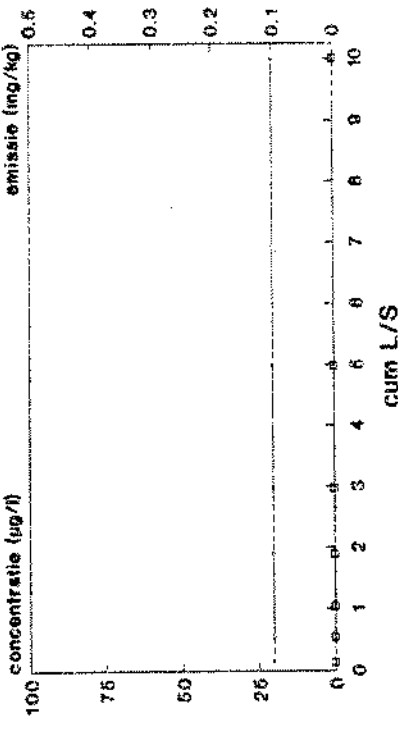
pagina 119.

Drunense heide  
Chroom



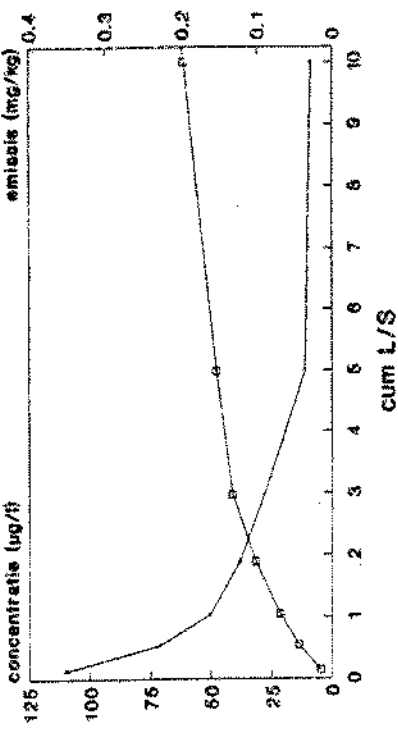
— concentratie ( $\mu\text{g/l}$ )    -o- emissie (mg/kg)    detectie grens

Drunense heide  
Molybdeen



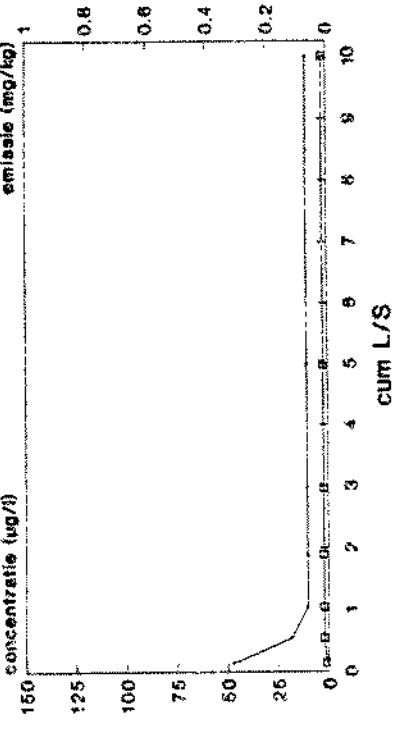
— concentratie ( $\mu\text{g/l}$ )    -o- emissie (mg/kg)    detectie grens

Drunense heide  
Koper



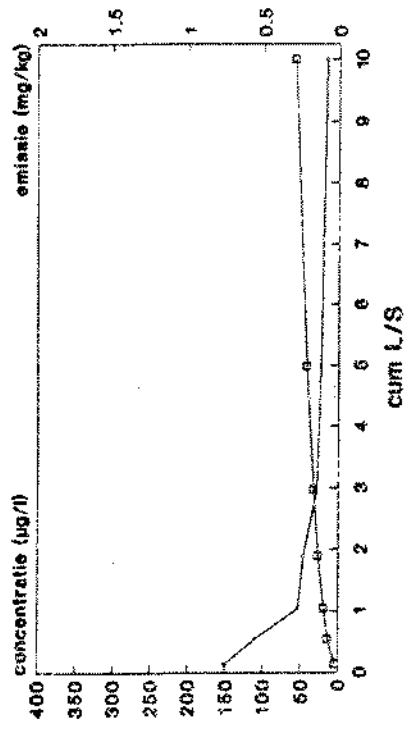
— concentratie ( $\mu\text{g/l}$ )    -o- emissie (mg/kg)    detectie grens

Drunense heide  
nikkel

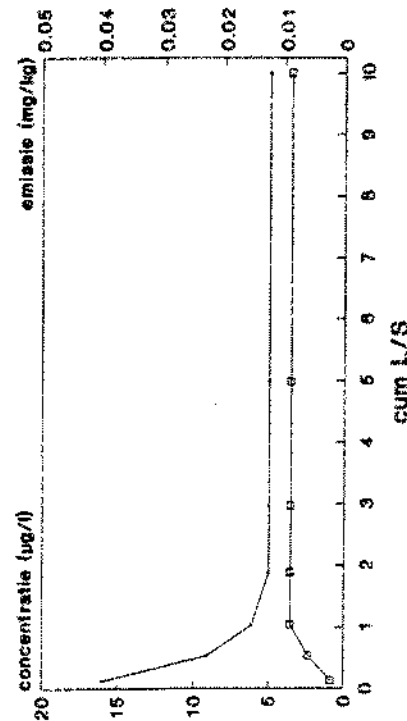


— concentratie ( $\mu\text{g/l}$ )    -o- emissie (mg/kg)    detectie grens

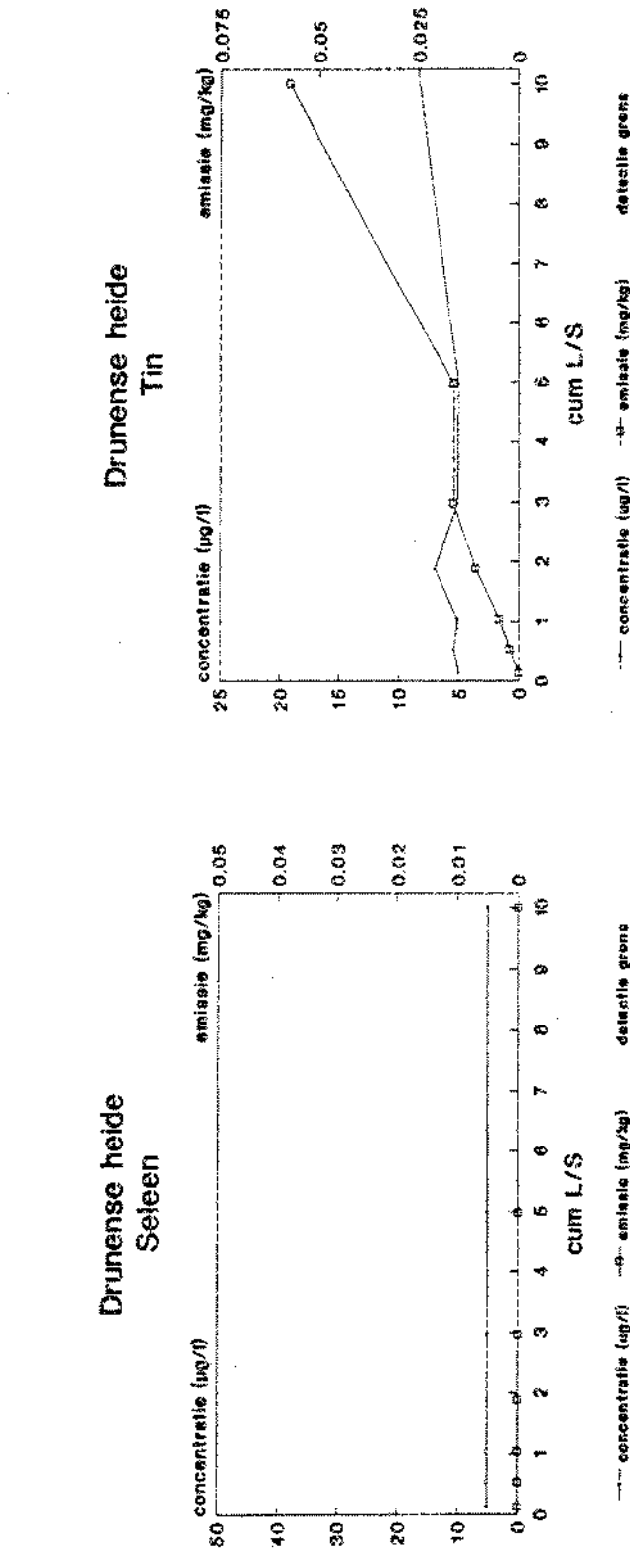
### Drunense heide lood



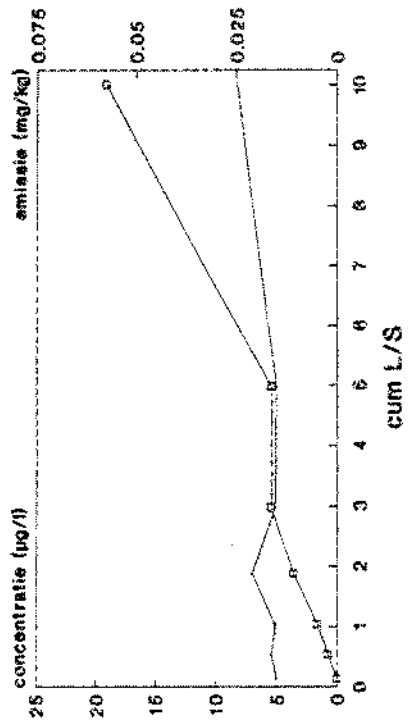
### Drunense heide antimoon



### Drunense heide Selenen



### Drunense heide Tin

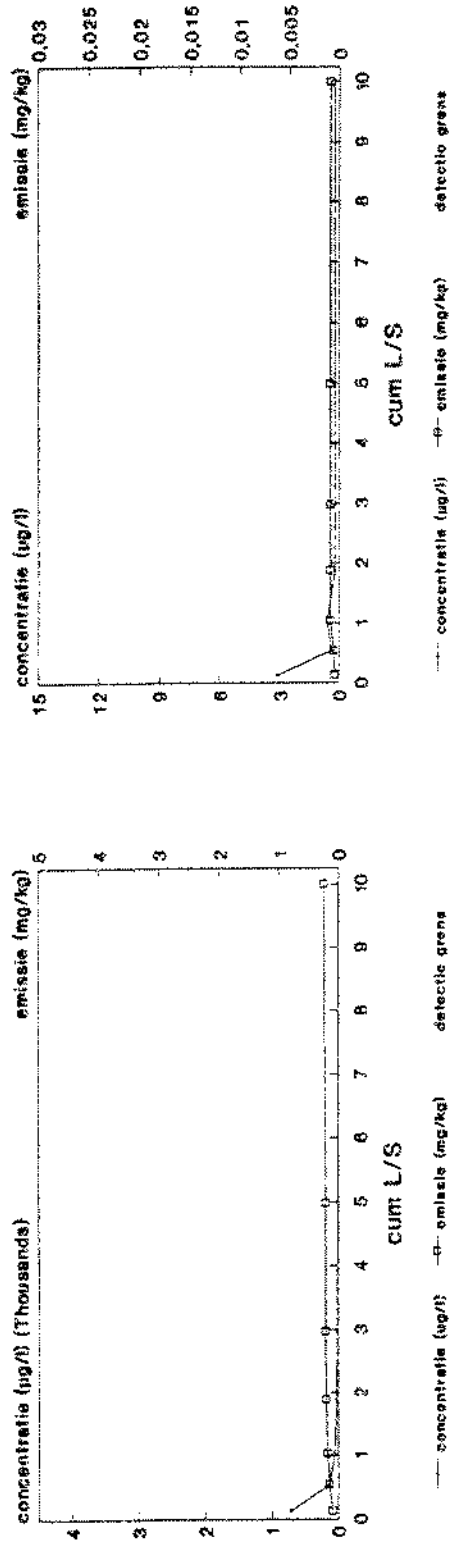


— concentratie (ug/l) —○— emissie (mg/kg)  
detectie grana

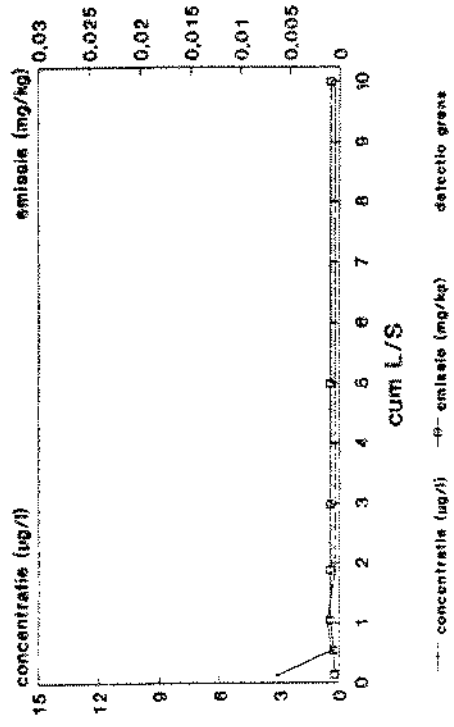
— concentratie (ug/l) —○— emissie (mg/kg)  
detectie grana

— concentratie (ug/l) —○— emissie (mg/kg)  
detectie grana

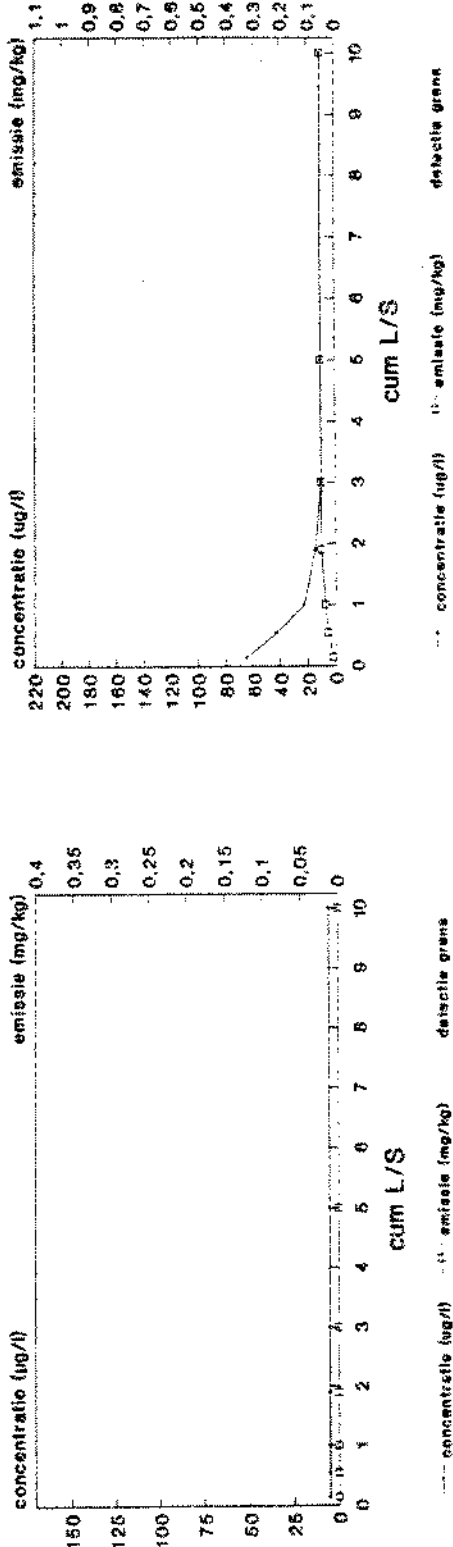
### Drunense heide Zink



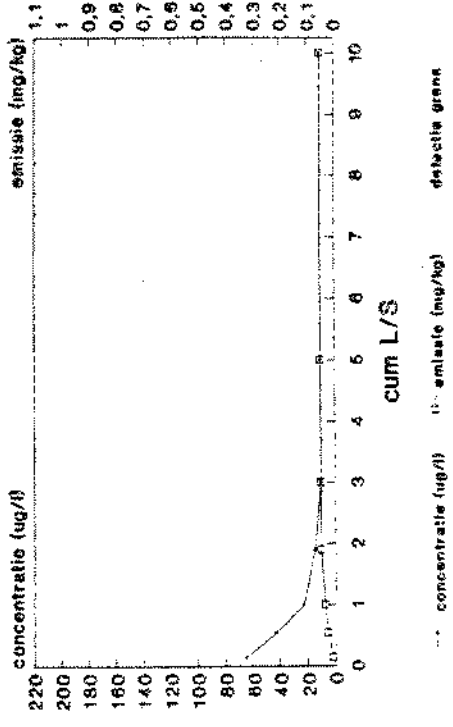
### Drunense heide Kwik



### Drunense heide Cobalt



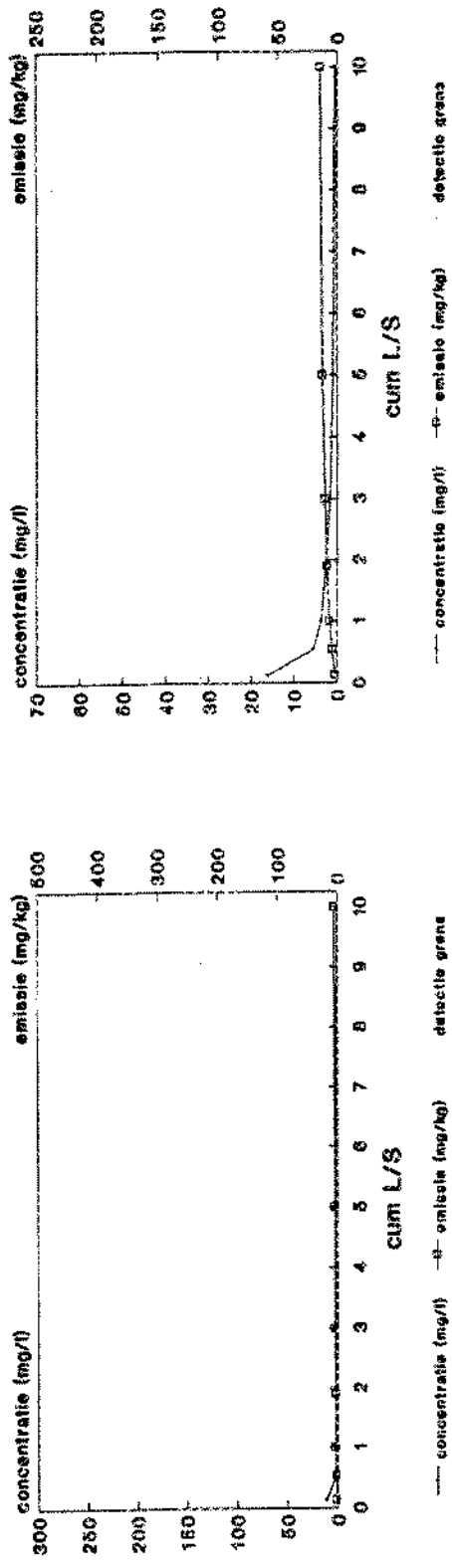
### Drunense heide Vandium



Beoordeling van gereinigde grond, deelrapport 1.

pagina 122.

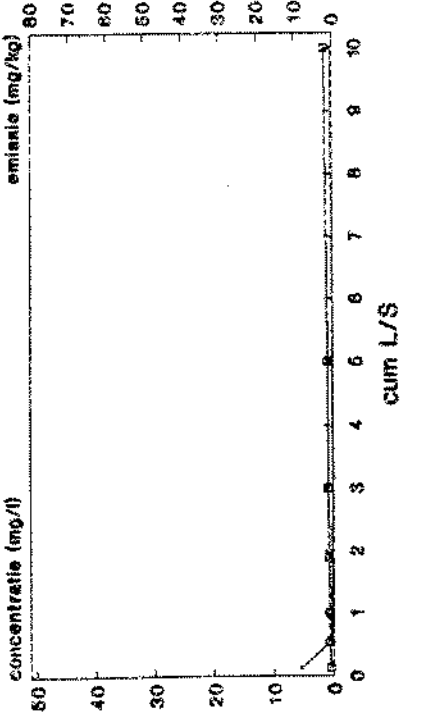
**Drunense heide**  
Calcium



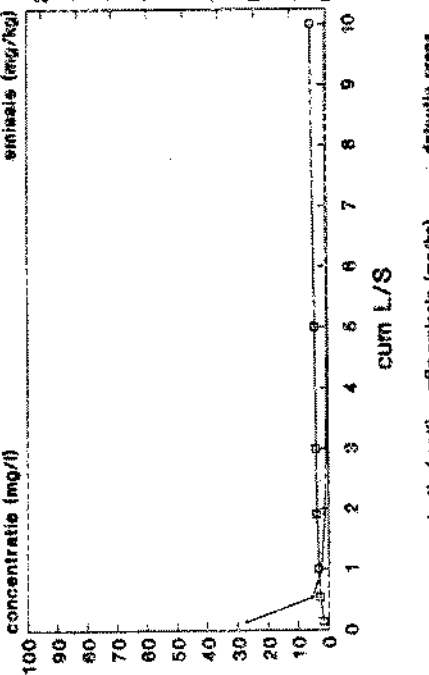
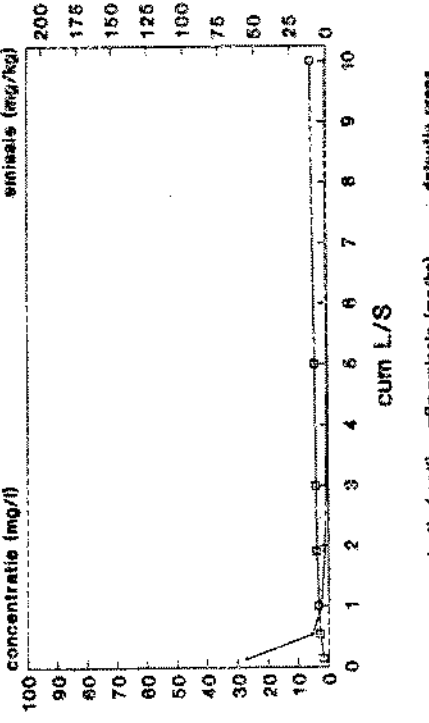
**Drunense heide**  
Kálium

— concentratie (mg/l) — o— emissie (mg/kg) — detectie grens

**Drunense heide**  
Magnesium



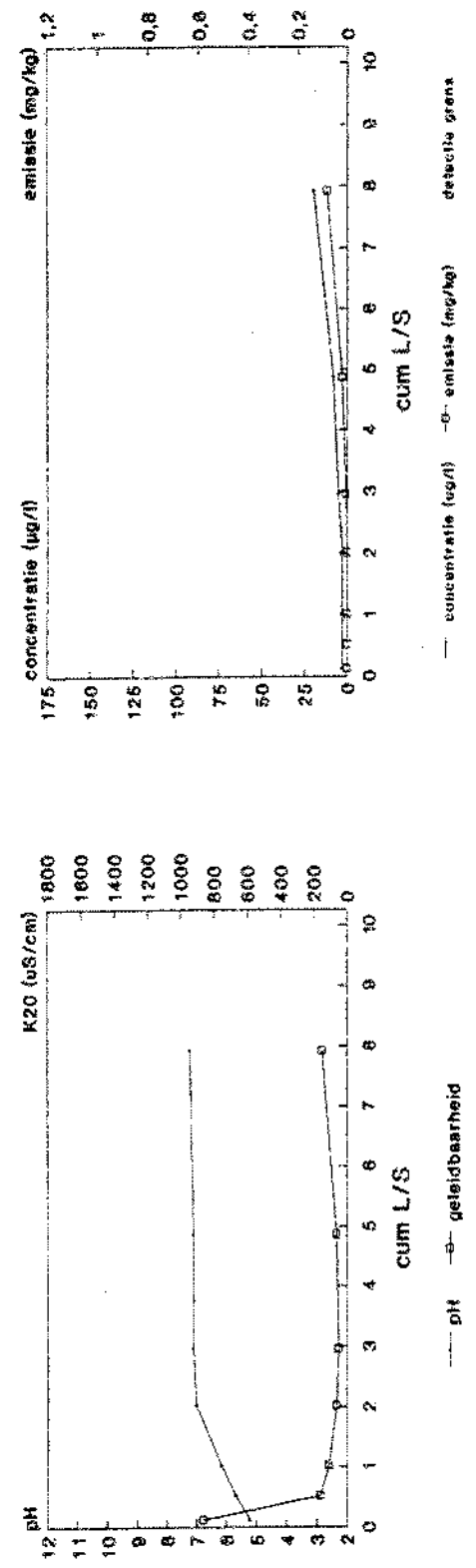
**Drunense heide**  
Natrium



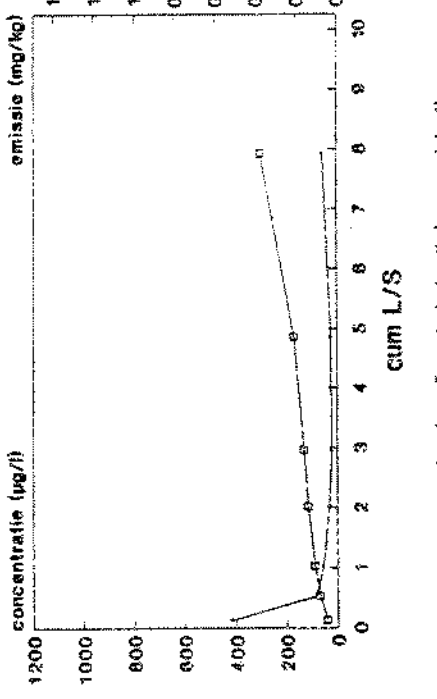
Beoordeling van gereinigde grond, deelrapport 1.

pagina 123.

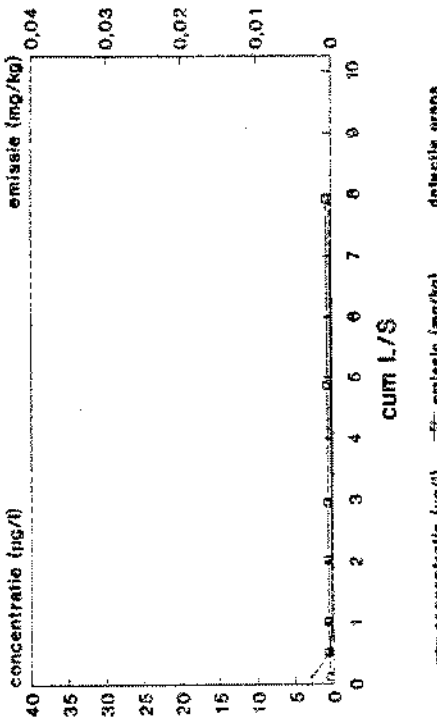
Beverweert  
pH en K2O



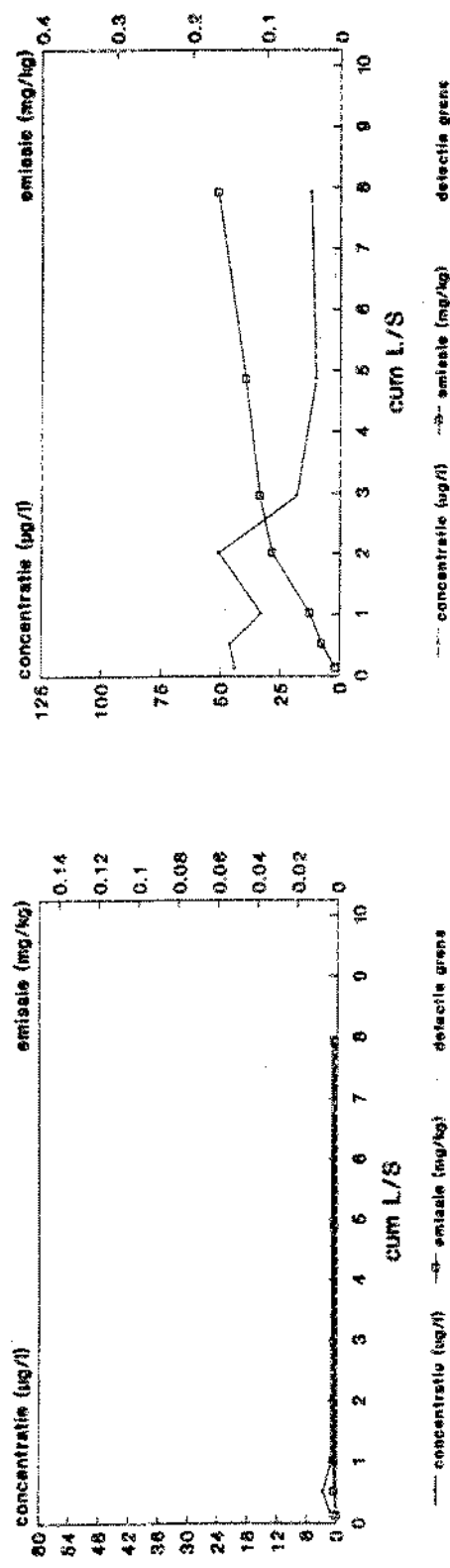
Beverweert  
Barium



Beverweert  
Arsen

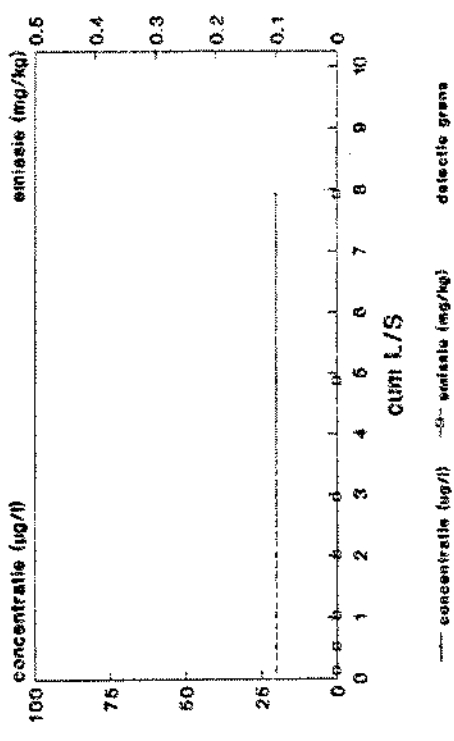


### Beverweert Chroom



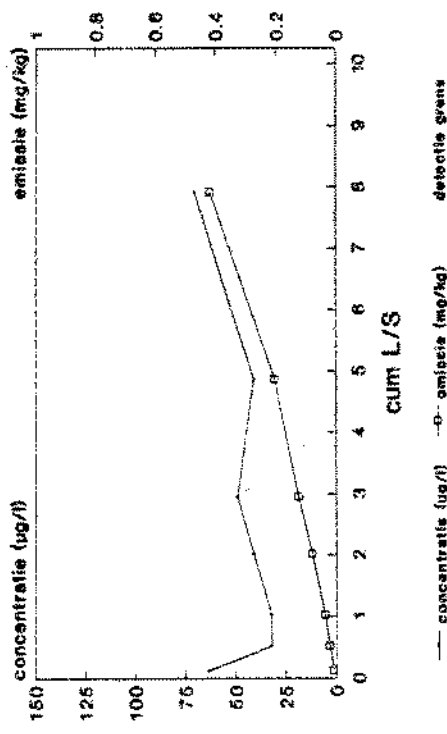
— concentratie (mg/l) —○— emissie (mg/kg) —— detectie grens

### Beverweert Molybdeen



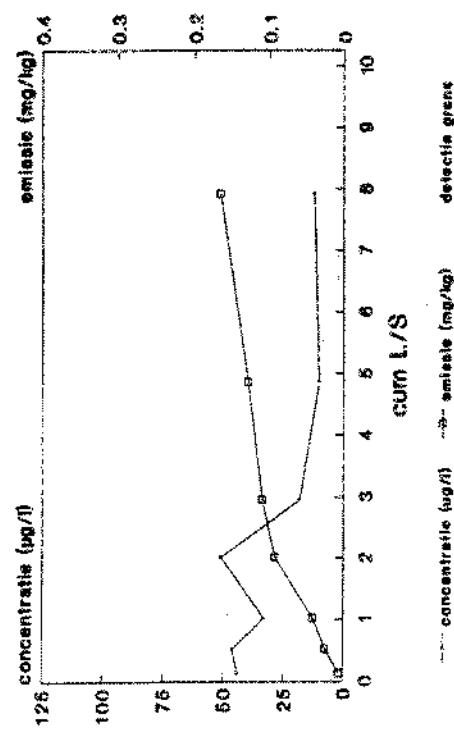
— concentratie (mg/l) —○— emissie (mg/kg) —— detectie grens

### Beverweert nikkel



— concentratie (mg/l) —○— emissie (mg/kg) —— detectie grens

### Beverweert Koper

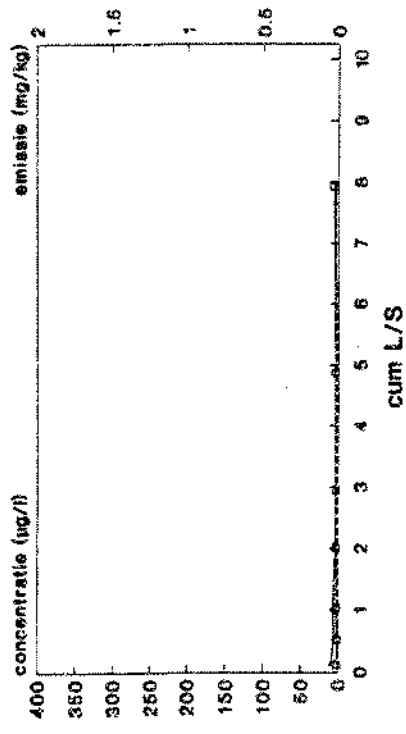


— concentratie (mg/l) —○— emissie (mg/kg) —— detectie grens

## Beoordeling van gereinigde grond, deelrapport 1.

pagina 125.

### Beverweert lood



—> concentratie (µg/l) —> emissie (mg/kg) detectie grens

—> concentratie (µg/l) —> emissie (mg/kg) detectie grens

—> emissie (mg/kg)

0.01

—> emissie (mg/kg)

0.02

—> emissie (mg/kg)

0.03

—> emissie (mg/kg)

0.04

—> emissie (mg/kg)

0.05

—> emissie (mg/kg)

0.06

—> emissie (mg/kg)

0.076

—> emissie (mg/kg)

0.0

—> emissie (mg/kg)

0.01

—> emissie (mg/kg)

0.02

—> emissie (mg/kg)

0.03

—> emissie (mg/kg)

0.04

—> emissie (mg/kg)

0.05

—> emissie (mg/kg)

0.06

—> emissie (mg/kg)

0.076

—> emissie (mg/kg)

0.0

—> emissie (mg/kg)

0.01

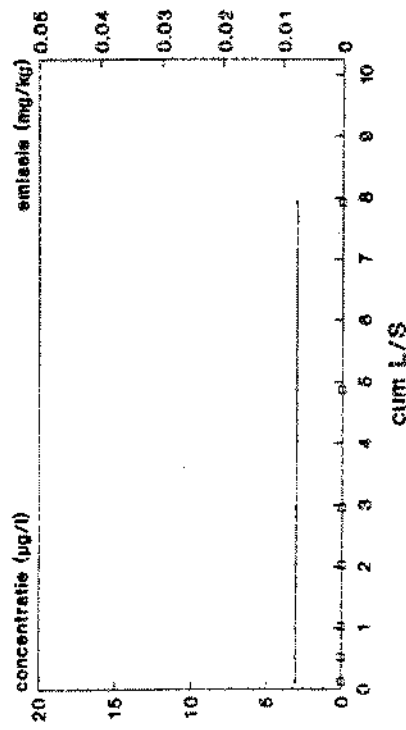
—> emissie (mg/kg)

0.02

—> emissie (mg/kg)

0.03

### Beverweert antimoon



—> concentratie (µg/l) —> emissie (mg/kg) detectie grens

—> emissie (mg/kg)

0.01

—> emissie (mg/kg)

0.02

—> emissie (mg/kg)

0.03

—> emissie (mg/kg)

0.04

—> emissie (mg/kg)

0.05

—> emissie (mg/kg)

0.06

—> emissie (mg/kg)

0.076

—> emissie (mg/kg)

0.0

—> emissie (mg/kg)

0.01

—> emissie (mg/kg)

0.02

—> emissie (mg/kg)

0.03

—> emissie (mg/kg)

0.04

—> emissie (mg/kg)

0.05

—> emissie (mg/kg)

0.06

—> emissie (mg/kg)

0.076

—> emissie (mg/kg)

0.0

—> emissie (mg/kg)

0.01

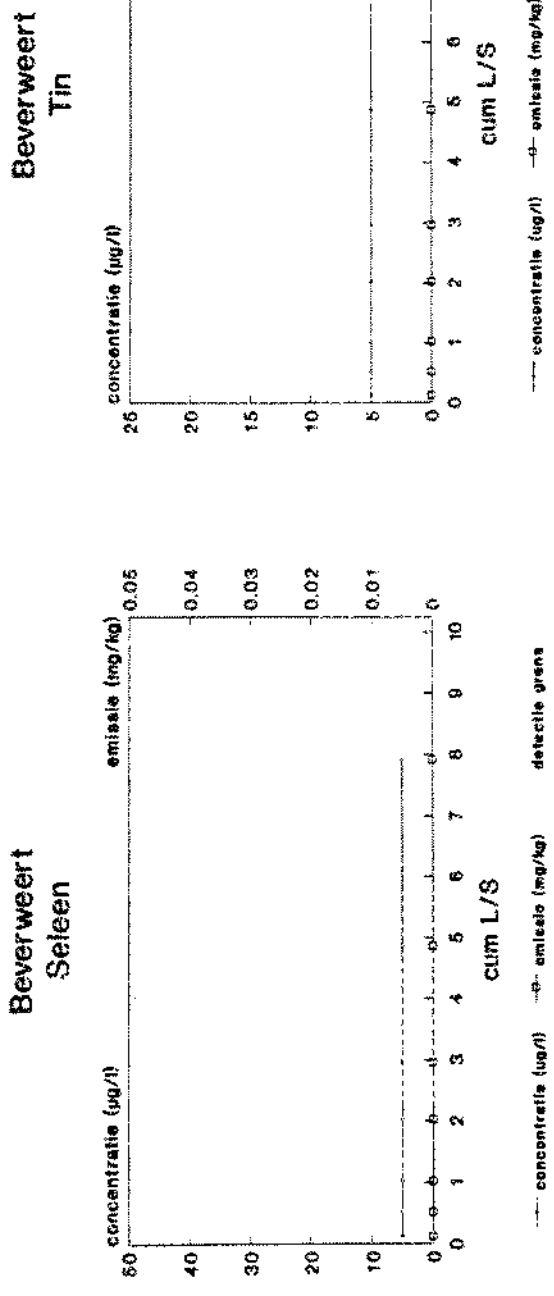
—> emissie (mg/kg)

0.02

—> emissie (mg/kg)

0.03

### Beverweert tin



—> concentratie (µg/l) —> emissie (mg/kg) detectie grens

—> emissie (mg/kg)

0.01

—> emissie (mg/kg)

0.02

—> emissie (mg/kg)

0.03

—> emissie (mg/kg)

0.04

—> emissie (mg/kg)

0.05

—> emissie (mg/kg)

0.06

—> emissie (mg/kg)

0.076

—> emissie (mg/kg)

0.0

—> emissie (mg/kg)

0.01

—> emissie (mg/kg)

0.02

—> emissie (mg/kg)

0.03

—> emissie (mg/kg)

0.04

—> emissie (mg/kg)

0.05

—> emissie (mg/kg)

0.06

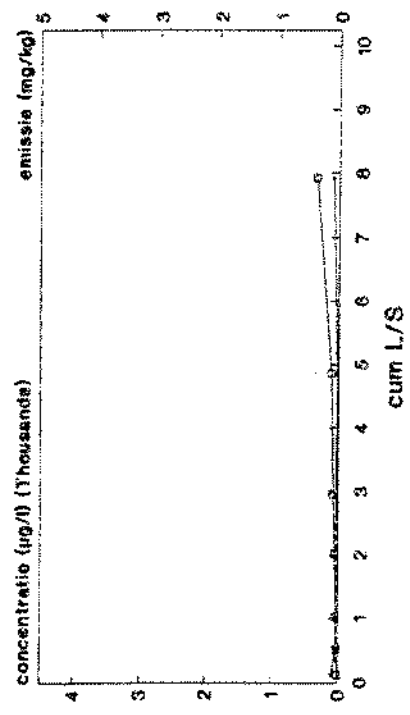
—> emissie (mg/kg)

0.076

—> emissie (mg/kg)

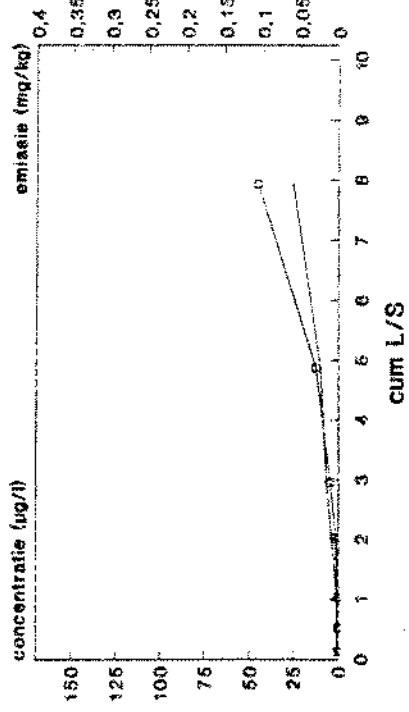
0.0

### Beverweert Zink



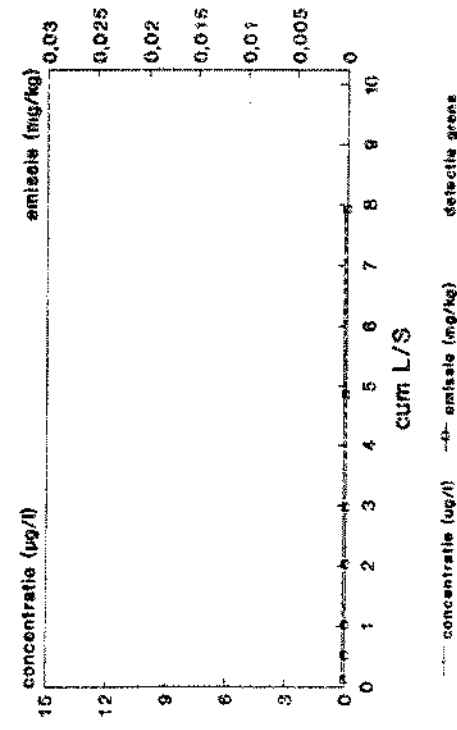
--- concentratie (µg/l)    -.- emissie (mg/kg)  
detectie grens

### Beverweert Cobalt



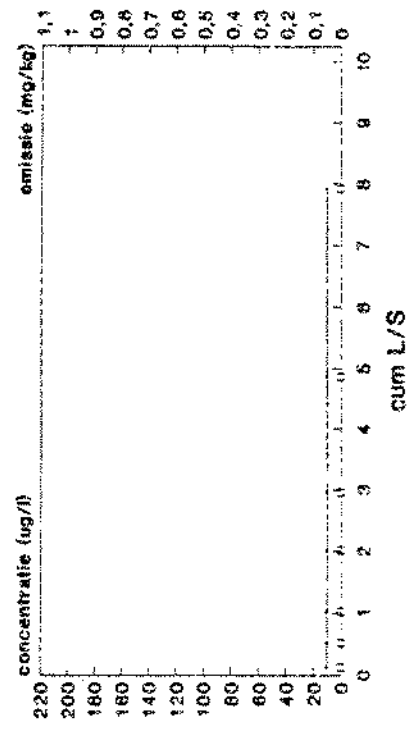
--- concentratie (µg/l)    -.- emissie (mg/kg)  
detectie grens

### Beverweert Kwik



--- concentratie (µg/l)    -.- emissie (mg/kg)  
detectie grens

### Beverweert Vanaadium

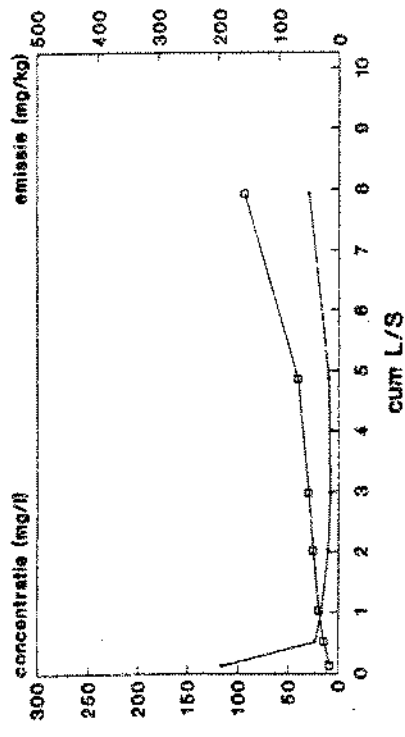


--- concentratie (µg/l)    -.- emissie (mg/kg)  
detectie grens

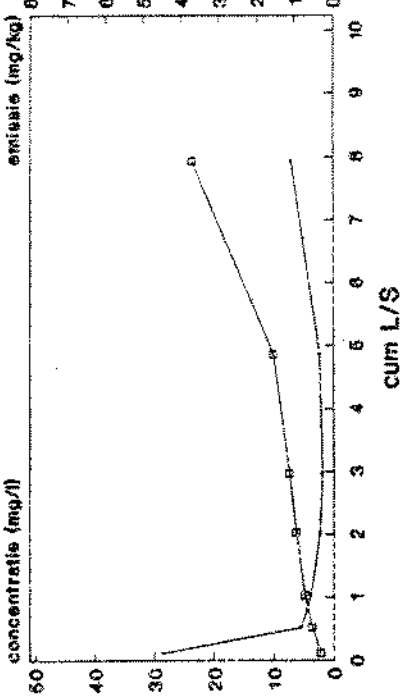
## Beoordeling van gereinigde grond, deelrapport I.

pagina 127.

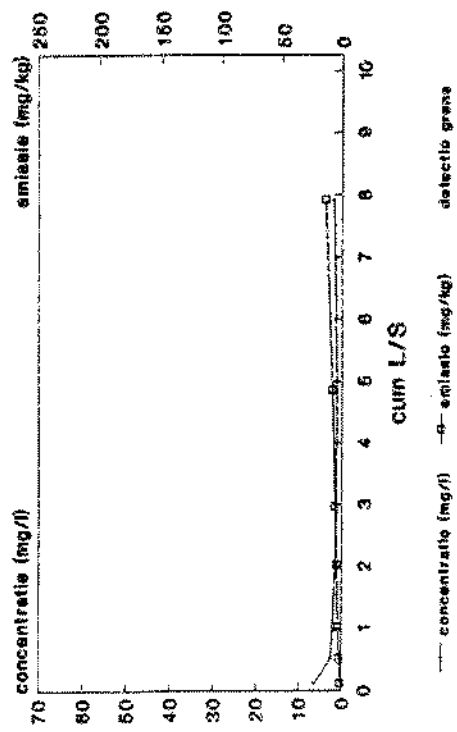
### Beverweert Calcium



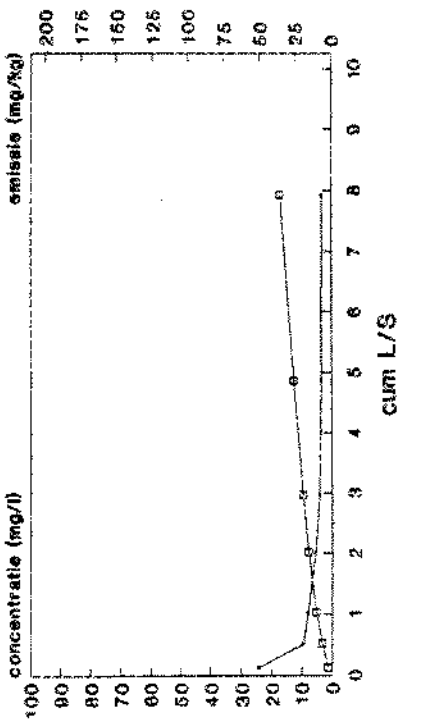
### Beverweert Magnesium



### Beverweert Kaliwm



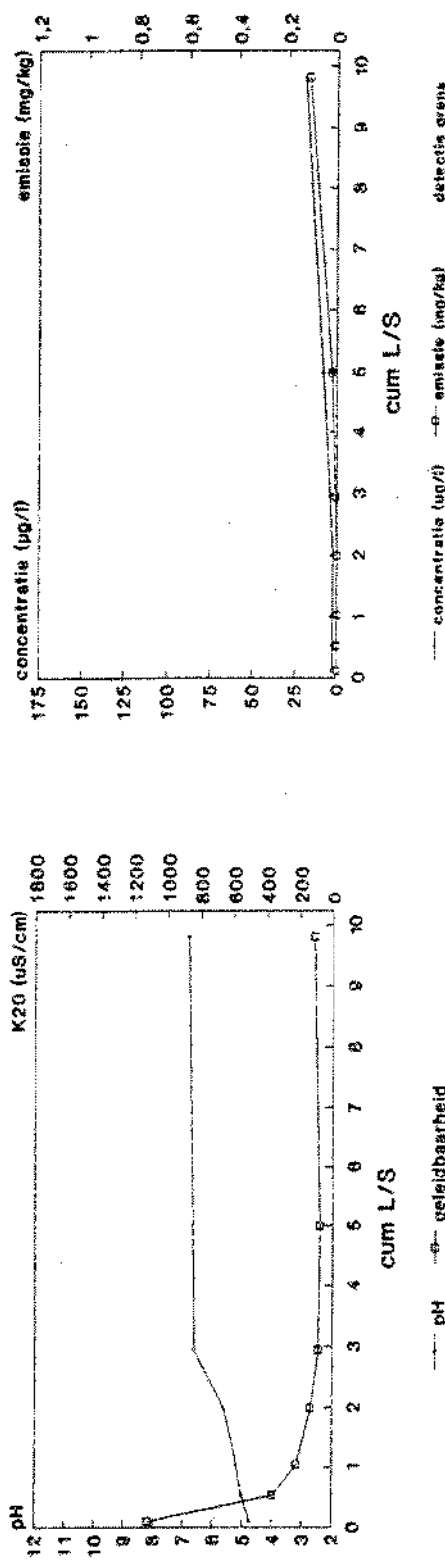
### Beverweert Natrium



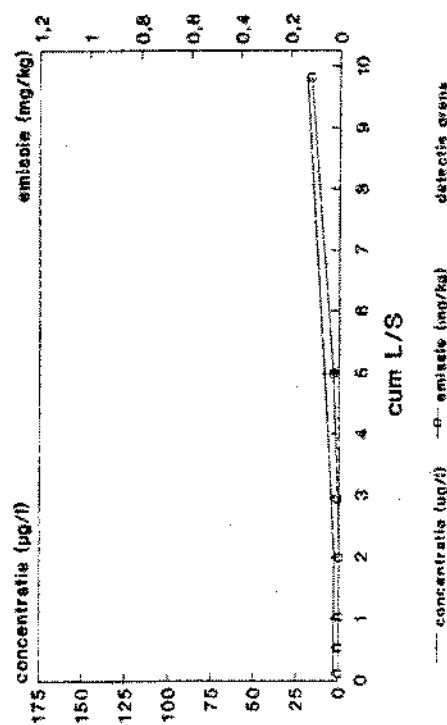
Beoordeling van gereinigde grond, deelrapport 1.

pagina 128.

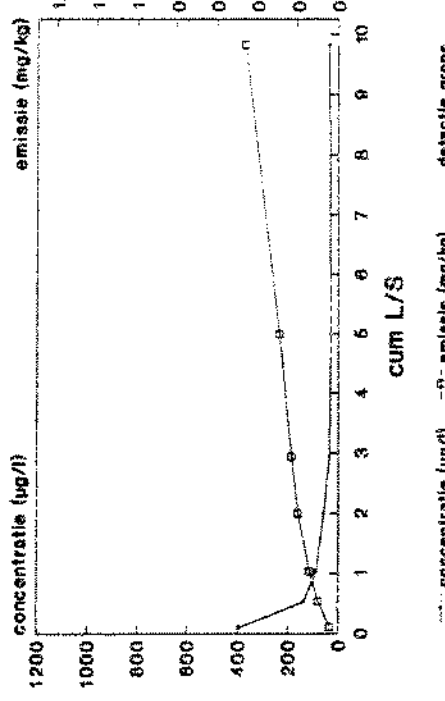
Linschoten  
pH en K<sub>20</sub>



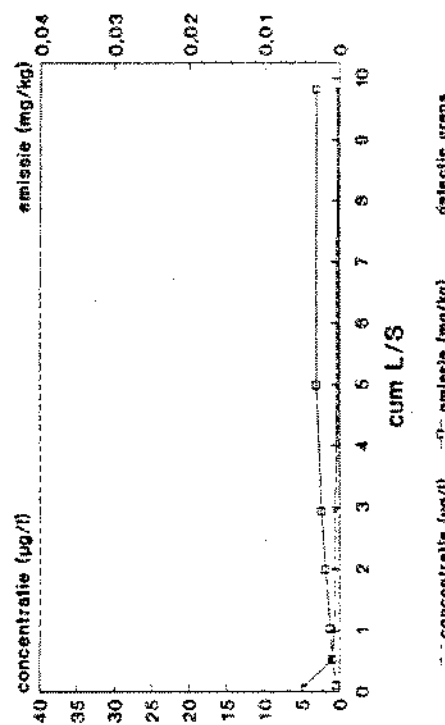
Linschoten  
Arsseen



Linschoten  
Barium



Linschoten  
Cadmium



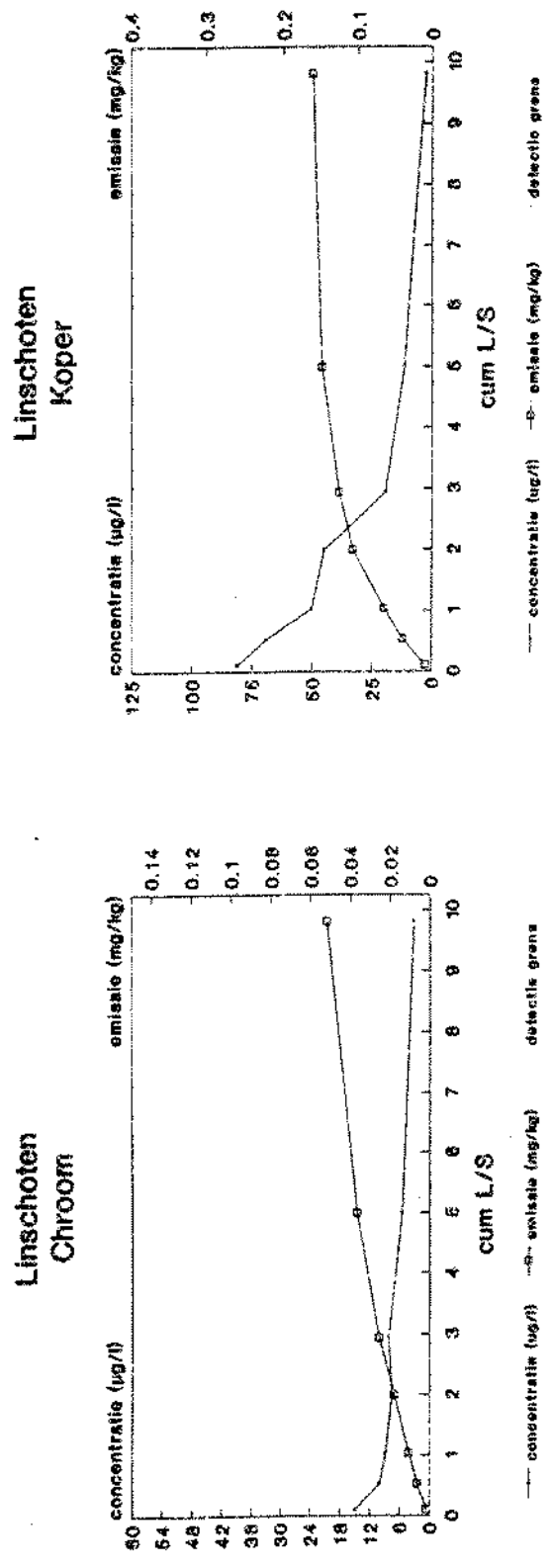
detectie grens

detectie grens

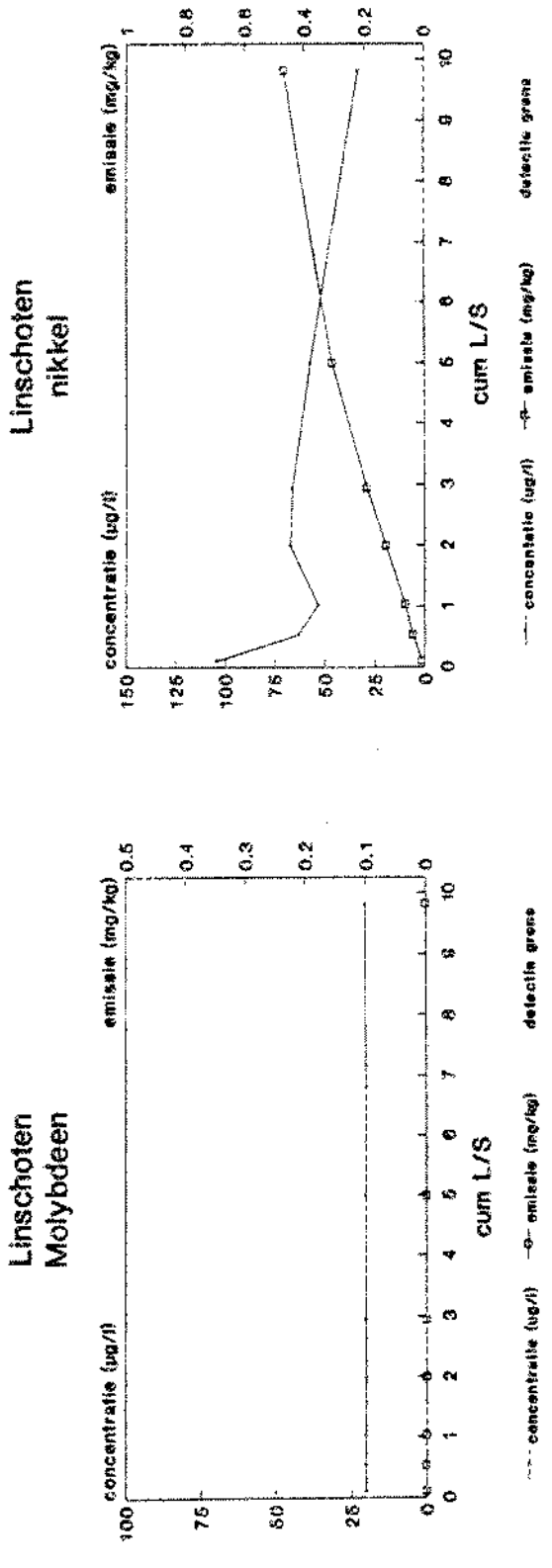
detectie grens

detectie grens

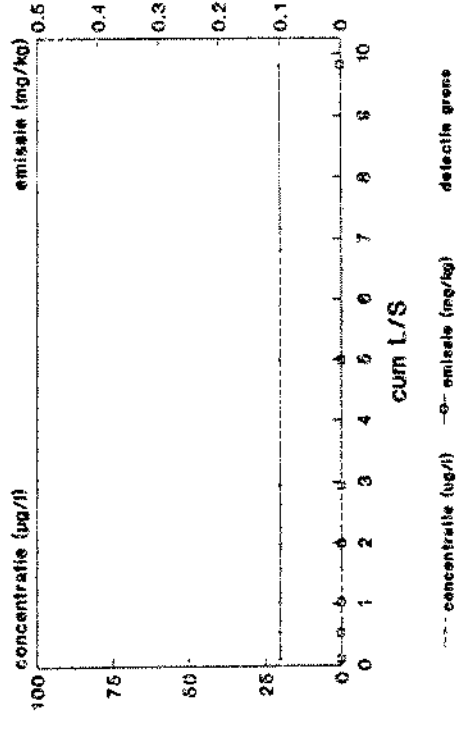
detectie grens



— concentratie (ug/l) —○— emissie (mg/kg) detectie grens



— concentratie (ug/l) —○— emissie (mg/kg) detectie grens

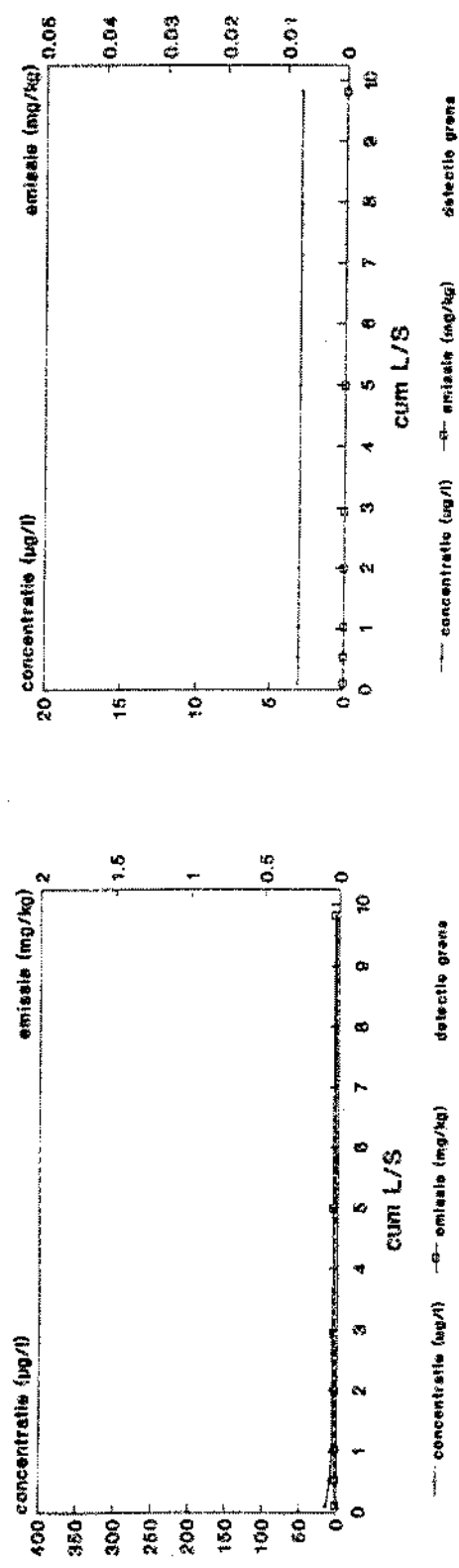


— concentratie (ug/l) —○— emissie (mg/kg) detectie grens

Beoordeling van gereinigde grond, deelrapport I.

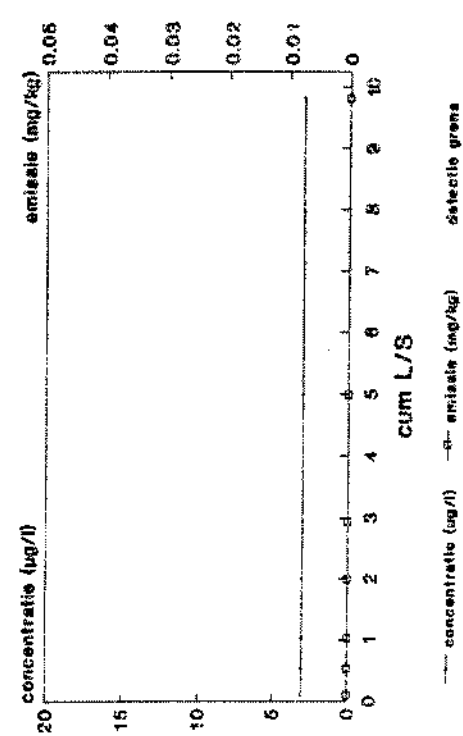
pagina 130.

### Linschoten lood



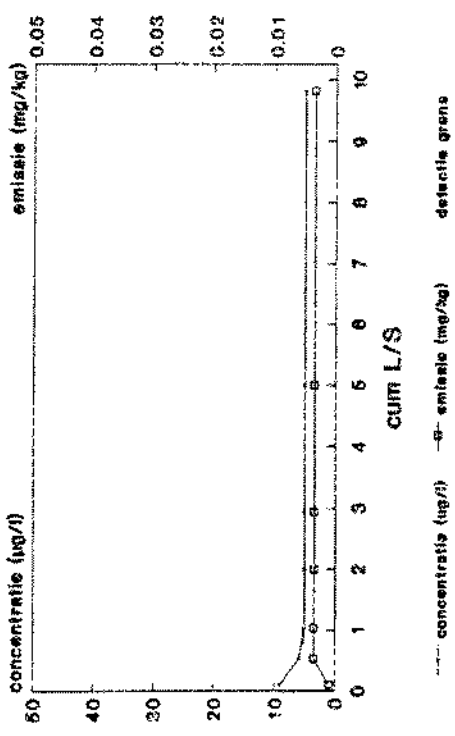
— concentratie (ug/l)    — emissie (mg/kg)  
detectie grens

### Linschoten antimoon



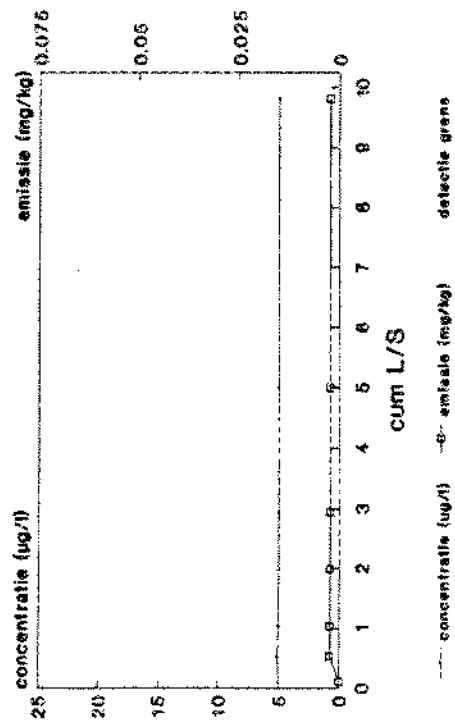
— concentratie (ug/l)    — emissie (mg/kg)  
detectie grens

### Linschoten Selen



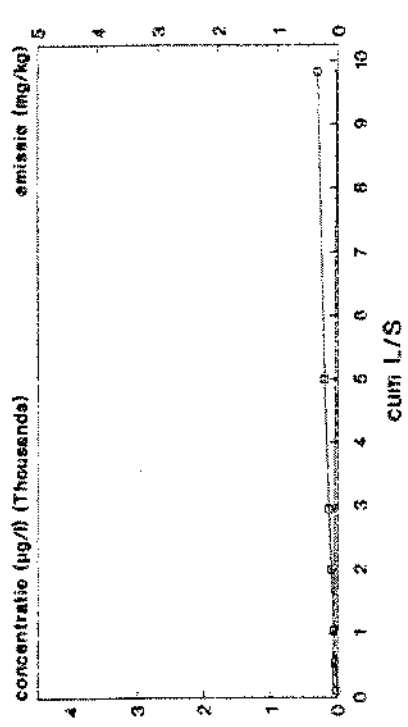
— concentratie (ug/l)    — emissie (mg/kg)  
detectie grens

### Linschoten Tin



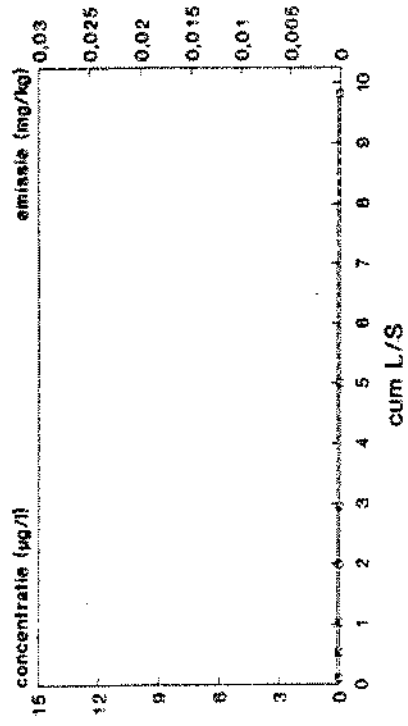
— concentratie (ug/l)    — emissie (mg/kg)  
detectie grens

### Linschoten Zink



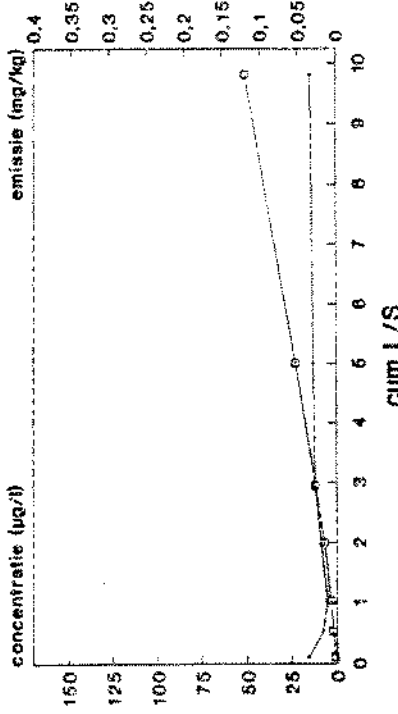
— concentratie (ug/l) —○— emissie (mg/kg) —— detectie grens

### Linschoten Kwik



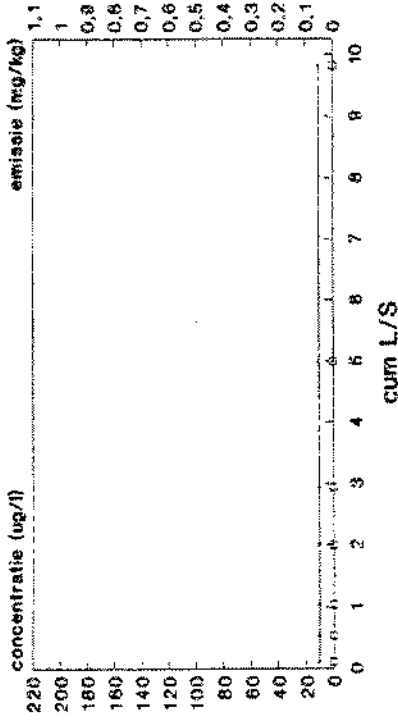
— concentratie (ug/l) —○— emissie (mg/kg) —— detectie grens

### Linschoten Cobalt



— concentratie (ug/l) —○— emissie (mg/kg) —— detectie grens

### Linschoten Vanadium

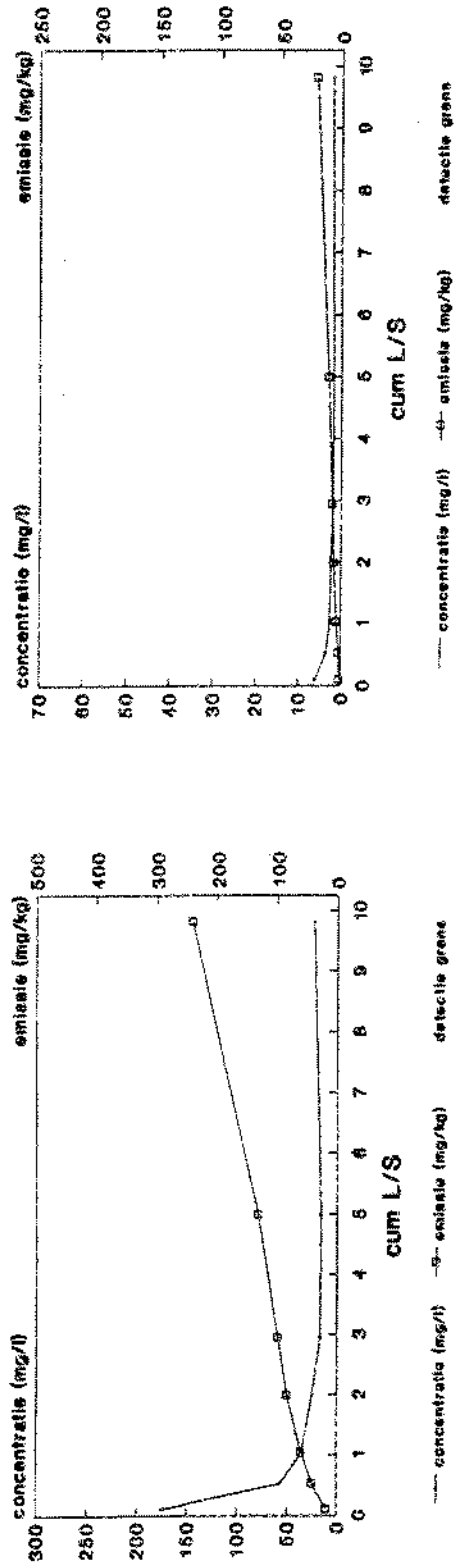


— concentratie (ug/l) —○— emissie (mg/kg) —— detectie grens

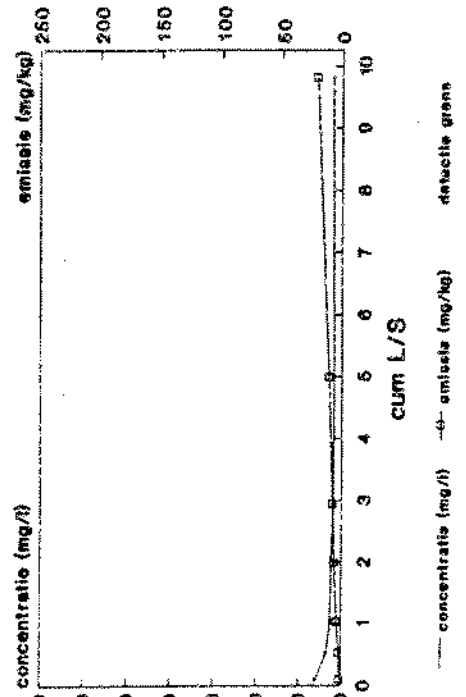
Beoordeling van gereinigde grond, deelrapport 1.

pagina 132.

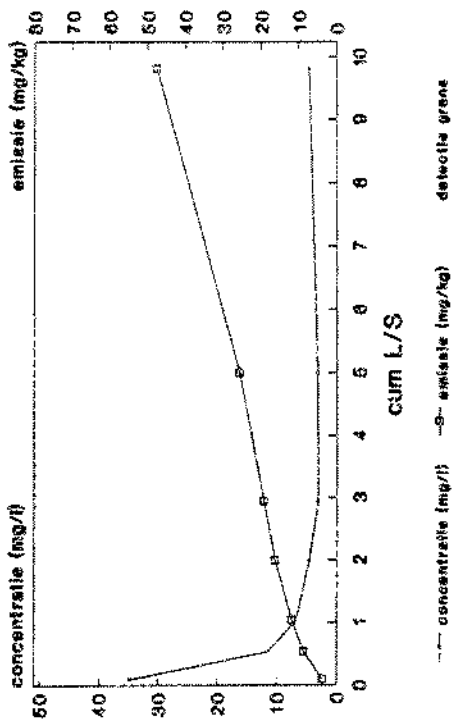
Linschoten  
Calcium



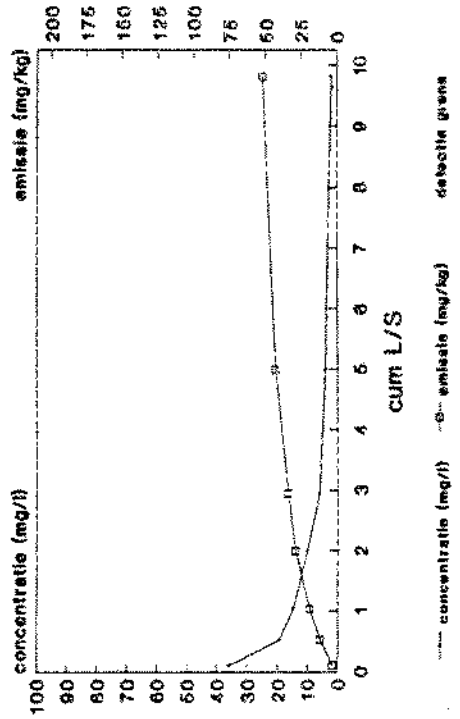
Linschoten  
Kaliumpotassium



Linschoten  
Magnesium



Linschoten  
Natrium



detectie grens

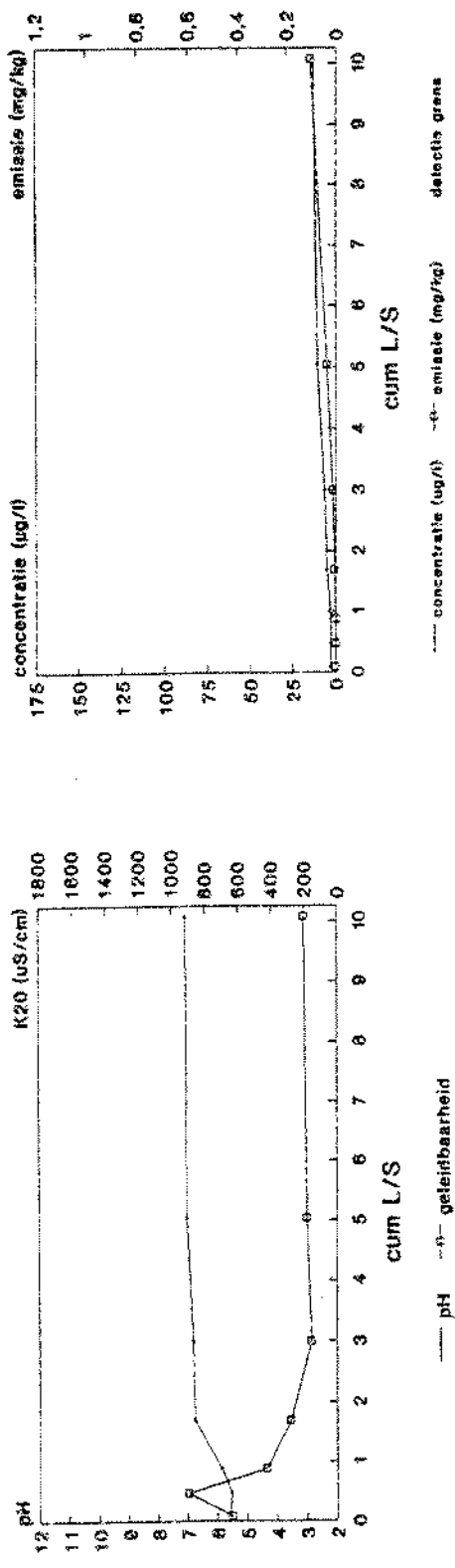
detectie grens

detectie grens

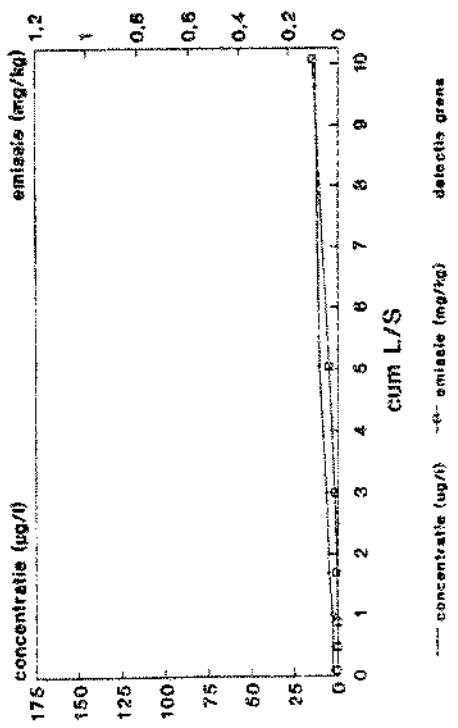
detectie grens

detectie grens

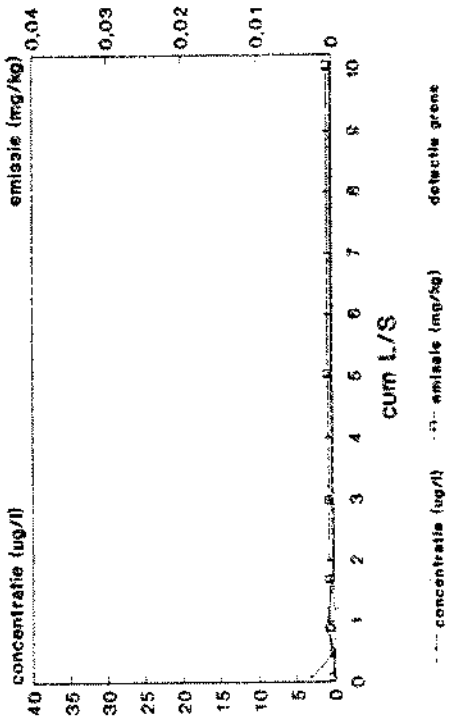
### Eendenkooi 't Broek pH en K<sub>20</sub>



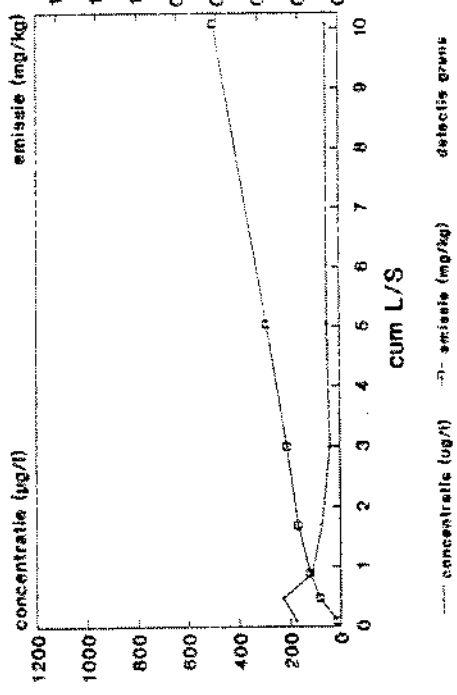
### Eendenkooi 't Broek Arsseen



### Eendenkooi 't Broek Cadmium



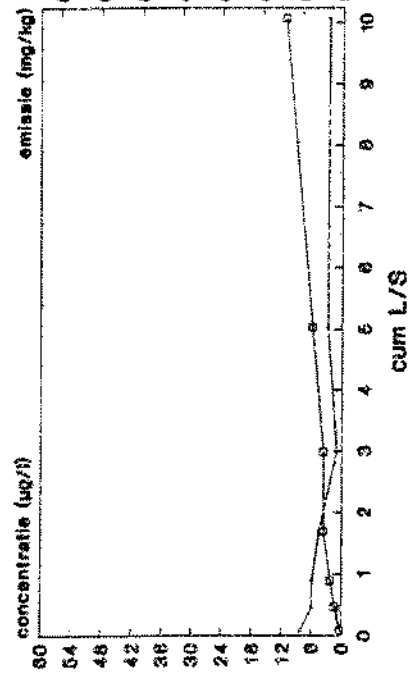
### Eendenkooi 't Broek Barium



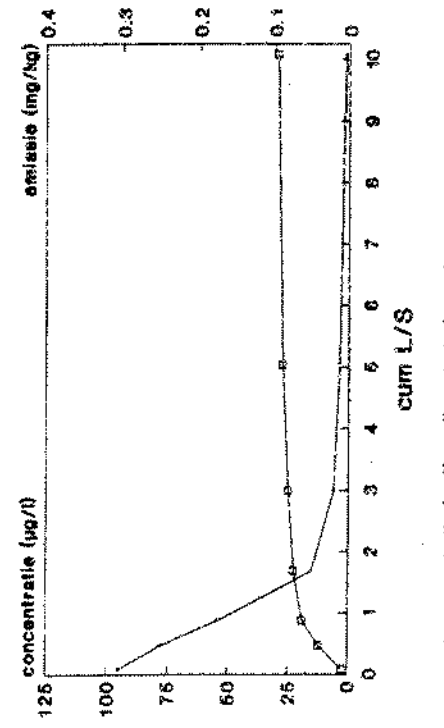
Beoordeling van gereinigde grond, deelrapport I.

pagina 134.

**Eendenkooi 't Broek  
Chroom**



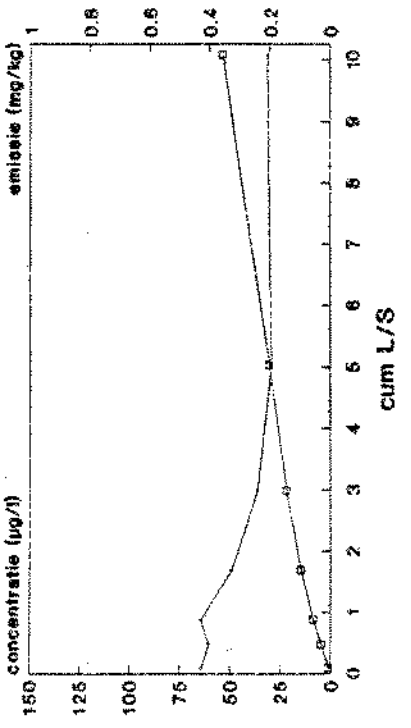
**Eendenkooi 't Broek  
Koper**



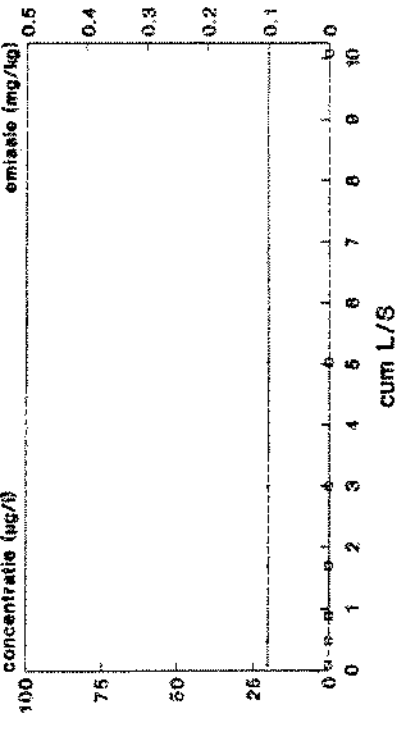
**Eerachterbroek  
Molybdeen**

— concentratie (ug/l) —□— emissie (mg/kg) —○— detectie grond

**Eendenkooi 't Broek  
nikkel**



— concentratie (ug/l) —□— emissie (mg/kg) —○— detectie grond



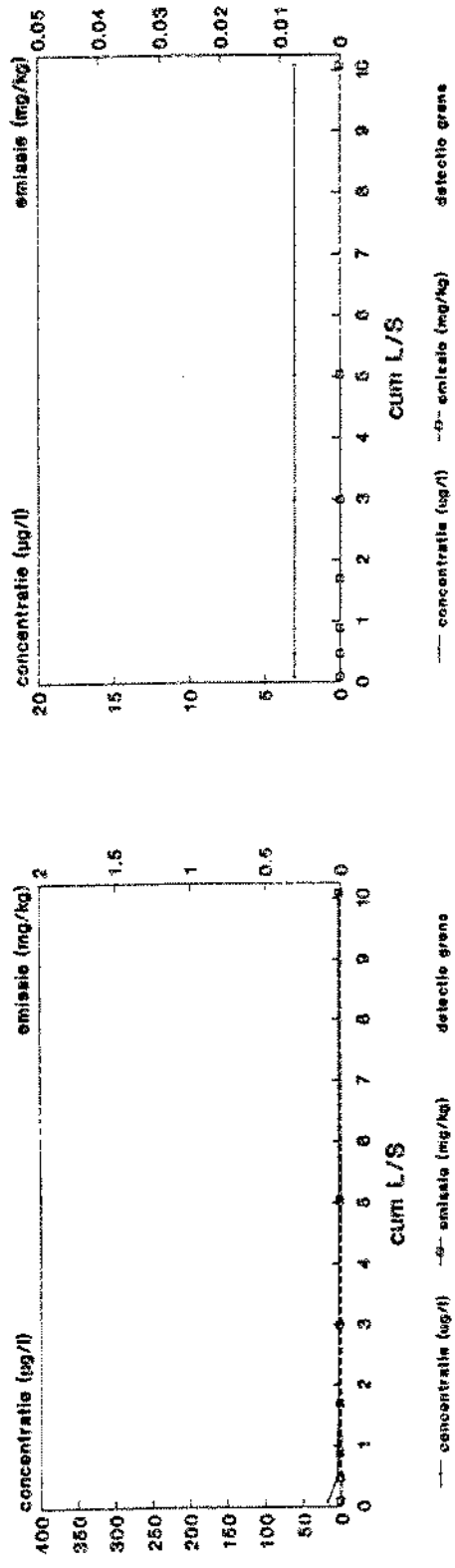
— concentratie (ug/l) —□— emissie (mg/kg) —○— detectie grond

Beoordeling van gereinigde grond, deelrapport 1.

pagina 135.

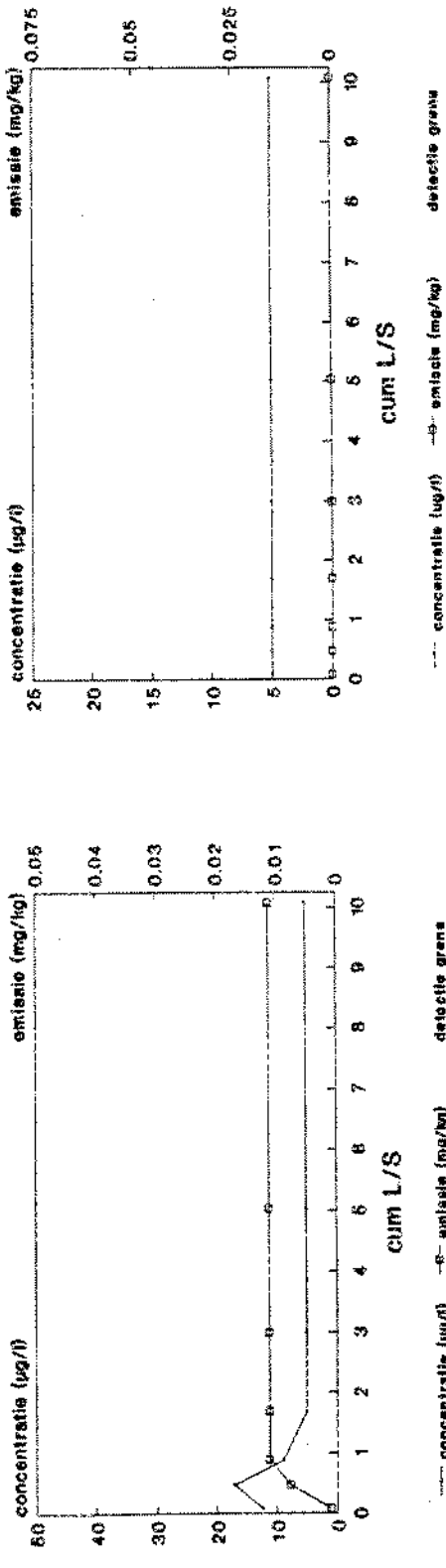
Eendenkooi 't Broek  
lood

Eendenkooi 't Broek  
antimon

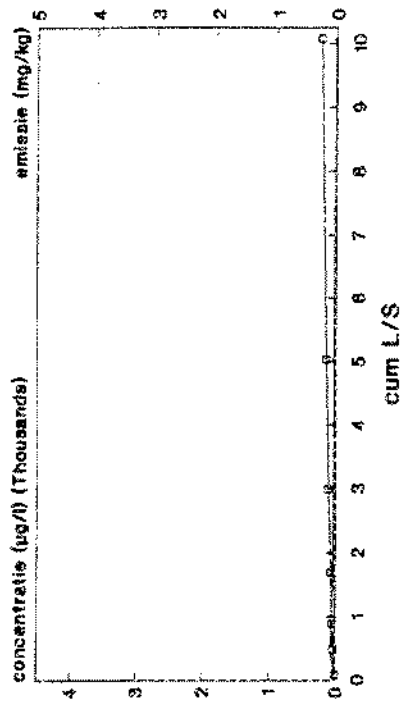


Eendenkooi 't Broek  
Seleen

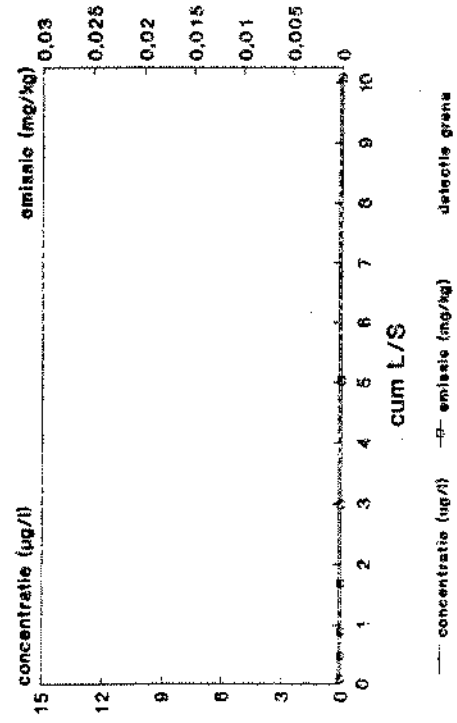
Eendenkooi 't Broek  
Tin



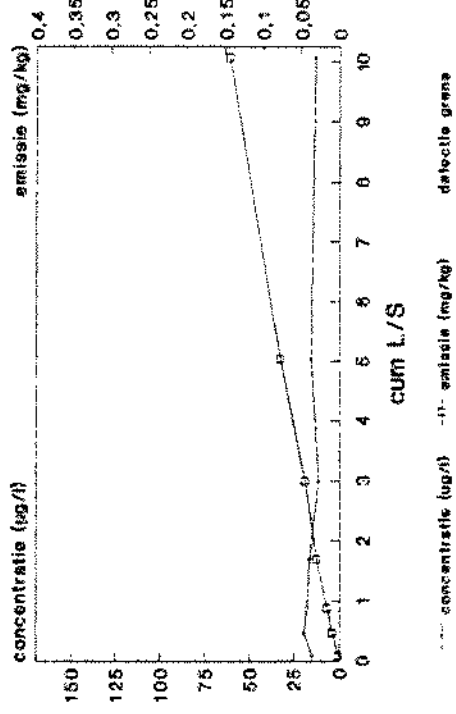
### Eendenkooi 't Broek Zink



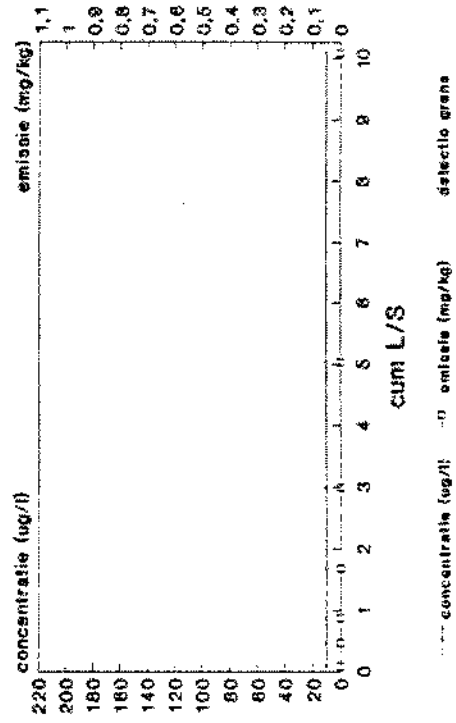
### Eendenkooi 't Broek Kwik



### Eendenkooi 't Broek Cobalt



### Eendenkooi 't Broek Vanadium



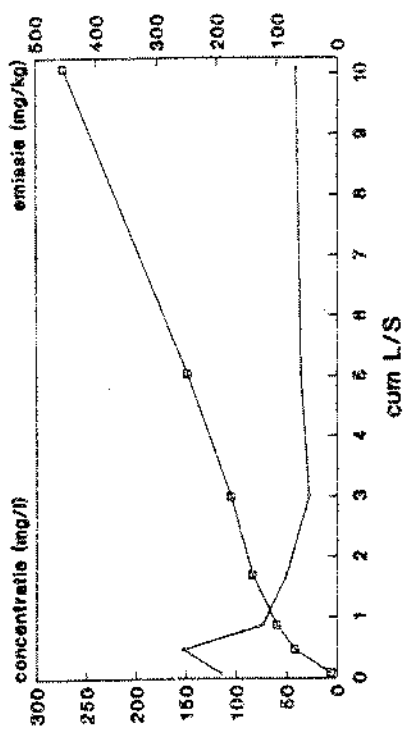
detectie grens

detectie grens

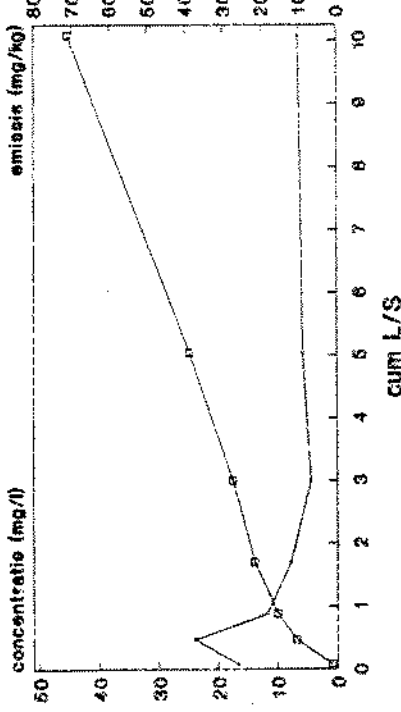
detectie grens

detectie grens

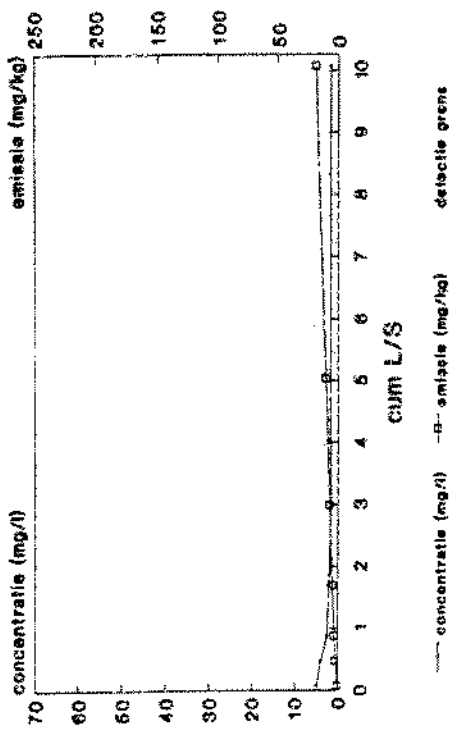
### Eendenkooi 't Broek Calcium



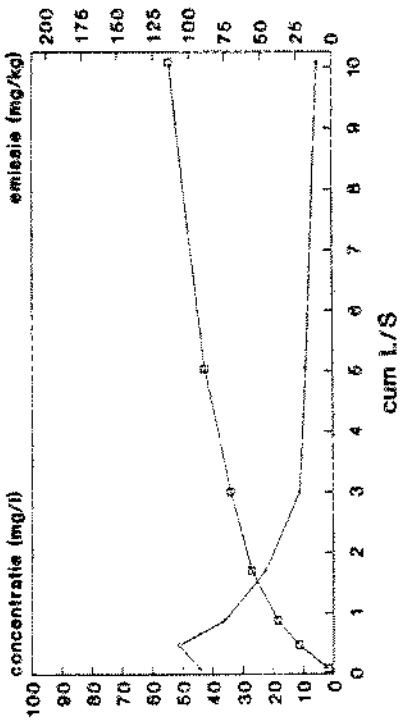
### Eendenkooi 't Broek Magnesium



### Eendenkooi 't Broek Kalium



### Eendenkooi 't Broek Natrium



detectie grens

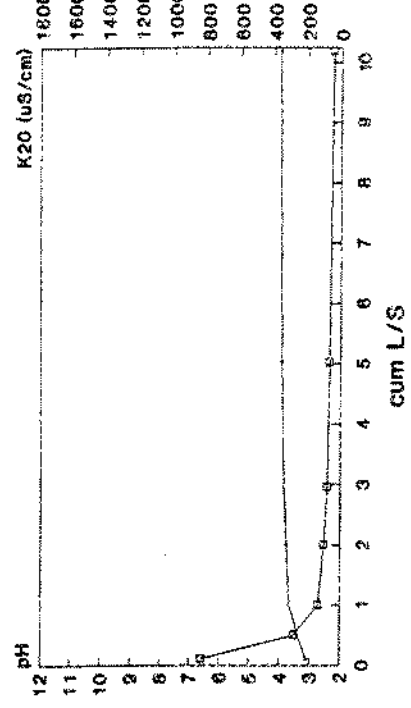
detectie grens

detectie grens

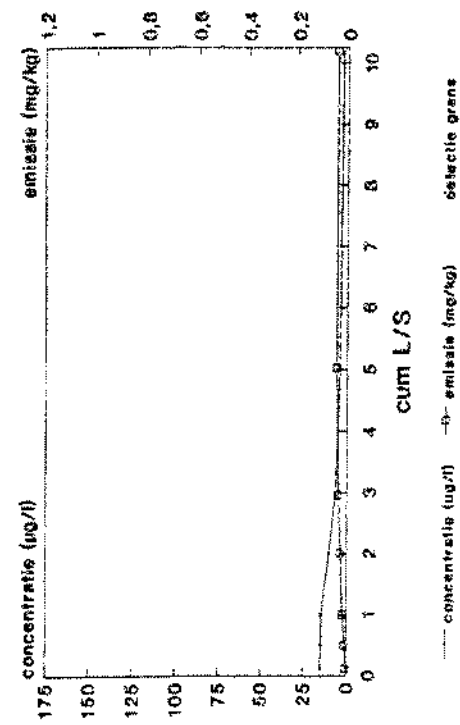
detectie grens

detectie grens

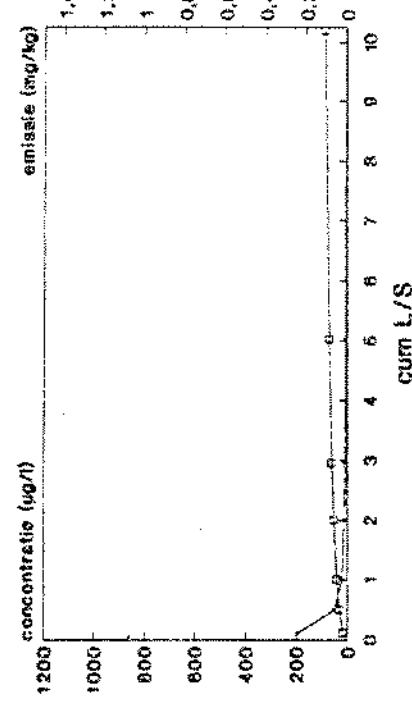
### Fochteloërvleen pH en K<sub>20</sub>



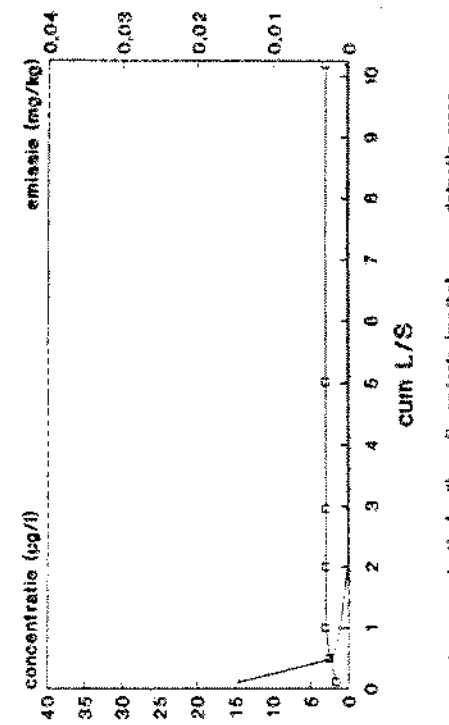
### Fochteloërvleen Arseen



### Fochteloërvleen Barium



### Fochteloërvleen Cadmium

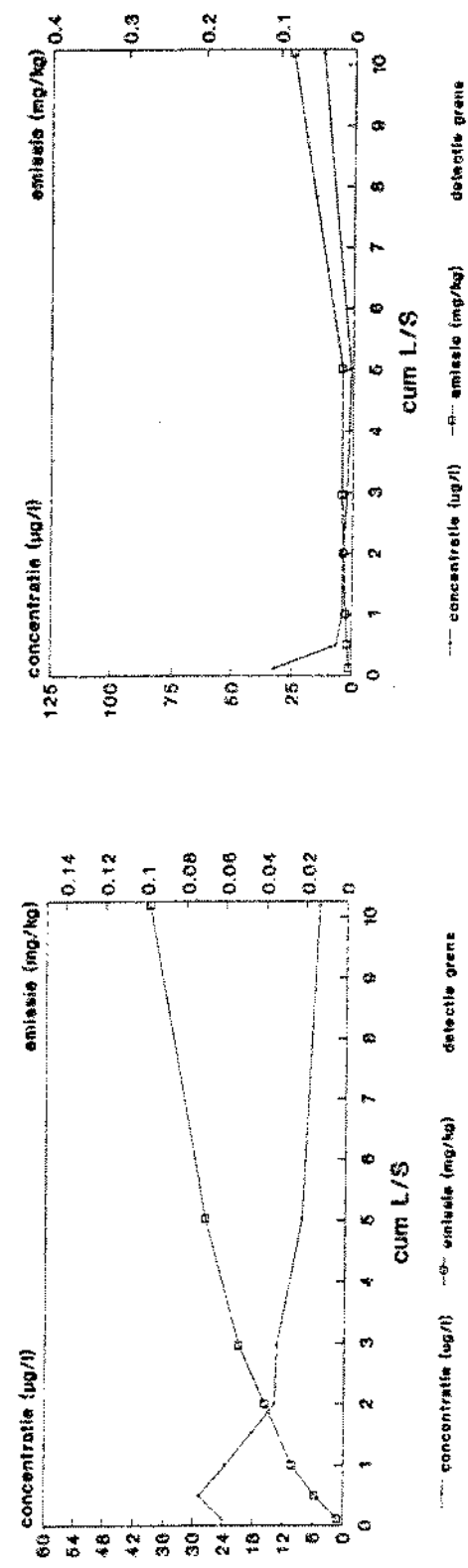


--- concentratie (µg/l) --- emissie (mg/kg)  
detectie grens

--- concentratie (µg/l) --- emissie (mg/kg)  
detectie grens

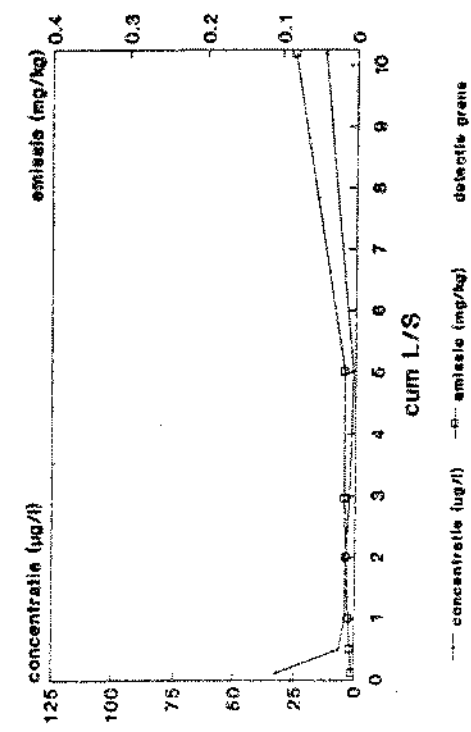
--- concentratie (µg/l) --- emissie (mg/kg)  
detectie grens

### Fochteloërvéen Chroom



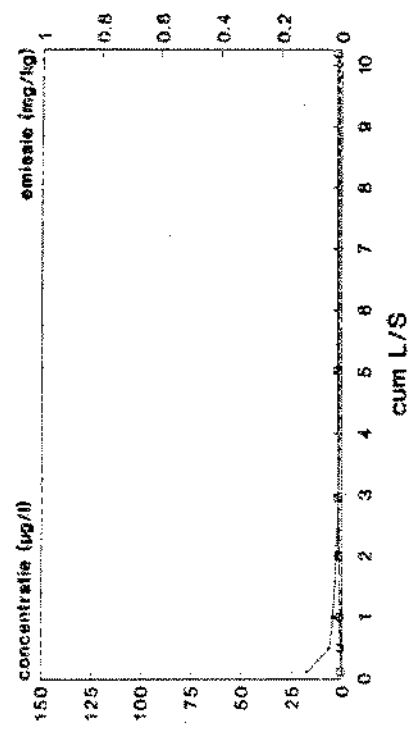
— concentratie (µg/l)    - - - emissie (mg/kg)  
detectie grens

### Fochteloërvéen Koper



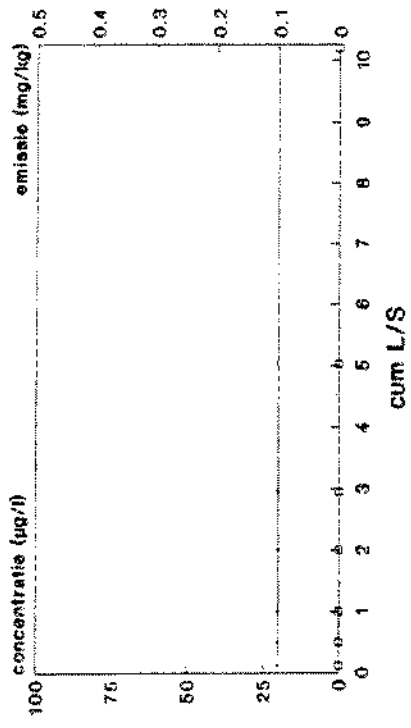
— concentratie (µg/l)    - - - emissie (mg/kg)  
detectie grens

### Fochteloërvéen nikkel



— concentratie (µg/l)    - - - emissie (mg/kg)  
detectie grens

### Fochteloërvéen Molybdeen

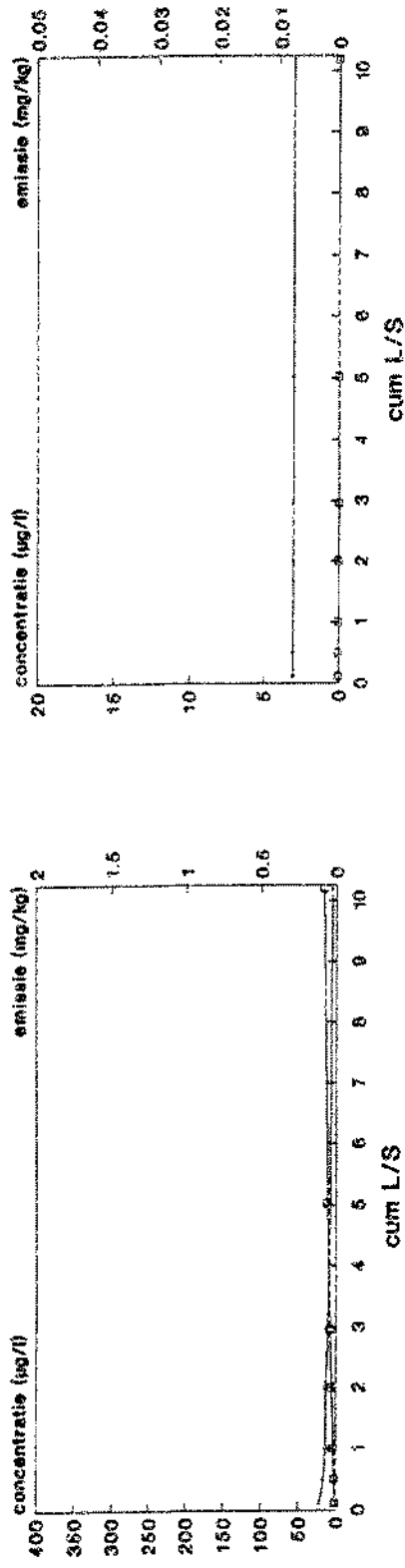


— concentratie (µg/l)    - - - emissie (mg/kg)  
detectie grens

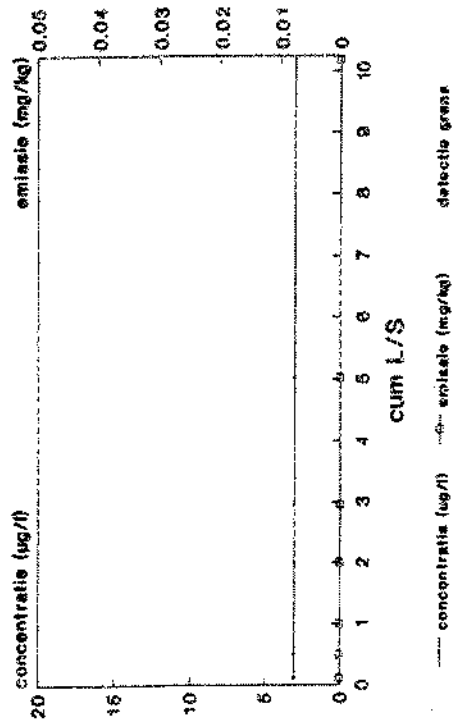
Beoordeling van gereinigde grond, deelrapport I.

pagina 140.

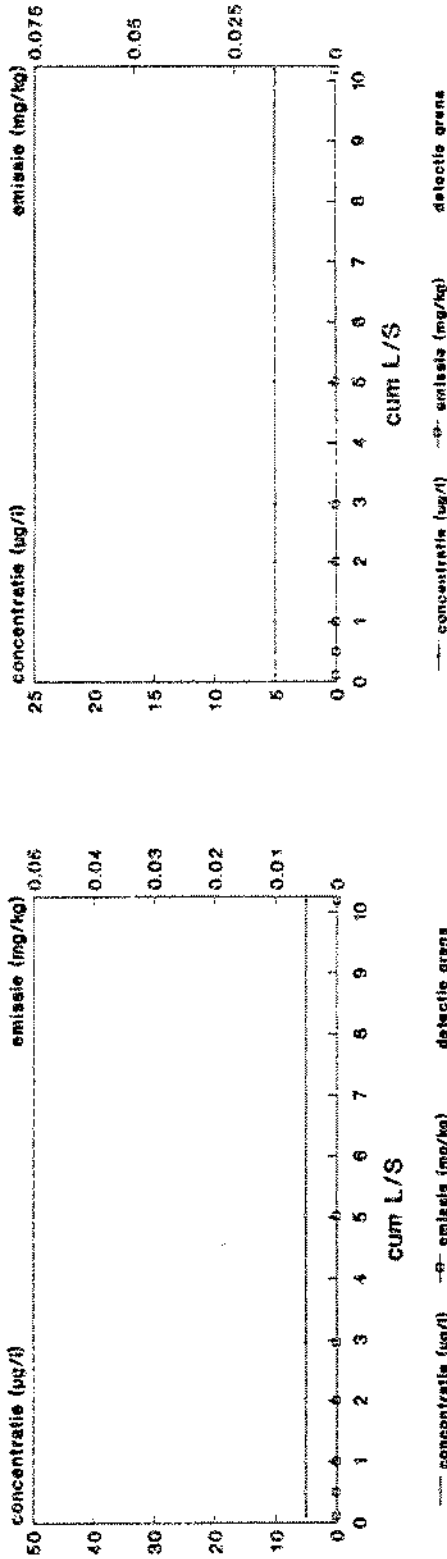
Fochteloërvleen  
lood



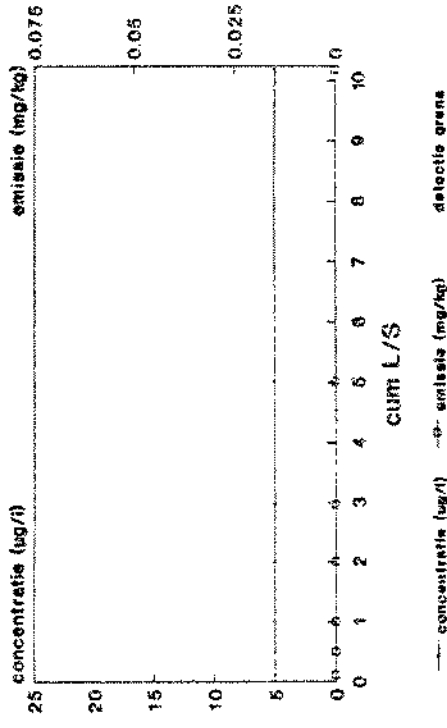
Fochteloërvleen  
antimoon



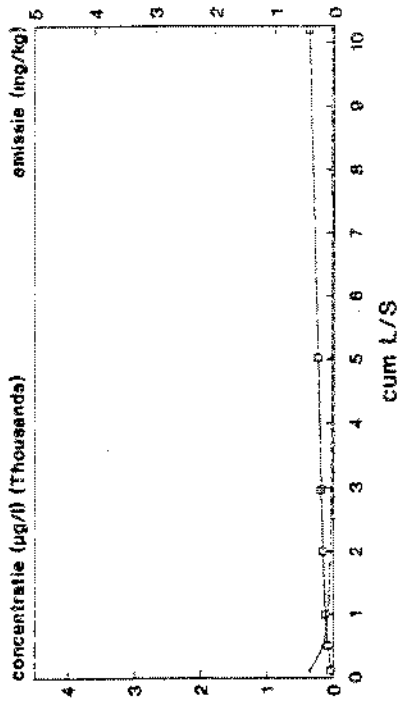
Fochteloërvleen  
Selen



Fochteloërvleen  
Tin

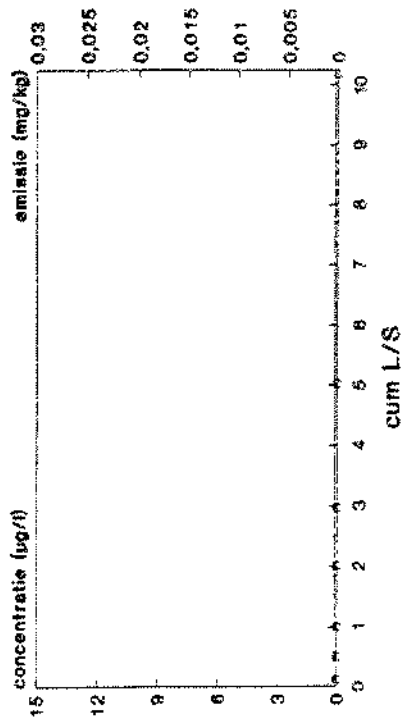


### Fochteloërvleen Zink



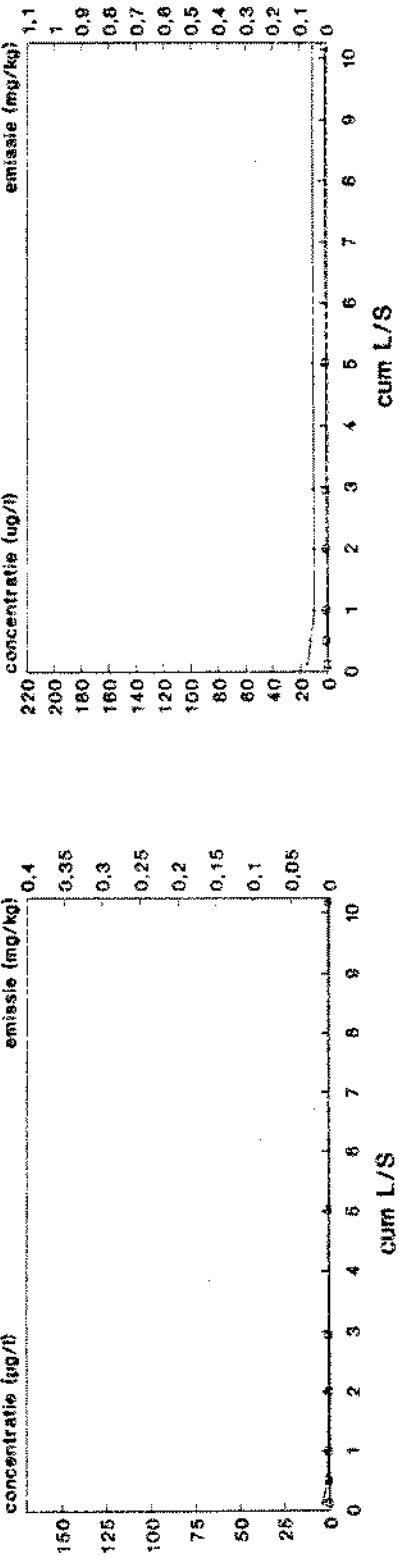
— concentratie (ug/l)    -·- emissie (mg/kg)    detectie grens

### Fochteloërvleen Kwik



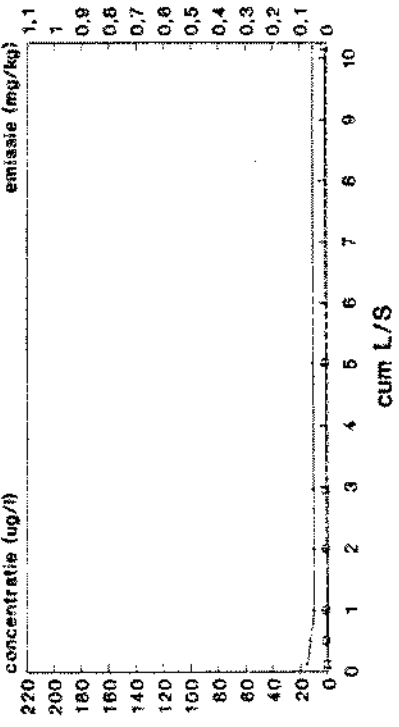
— concentratie (ug/l)    -·- emissie (mg/kg)    detectie grens

### Fochteloërvleen Cobalt



— concentratie (ug/l)    -·- emissie (mg/kg)    detectie grens

### Fochteloërvleen Vanaadium

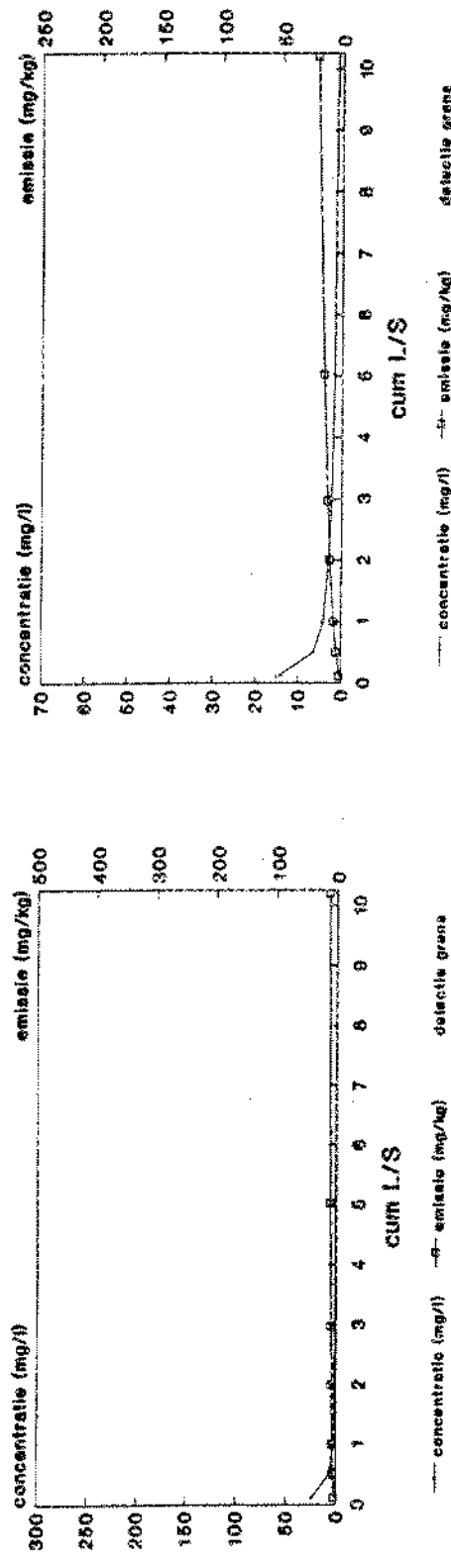


— concentratie (ug/l)    -·- emissie (mg/kg)    detectie grens

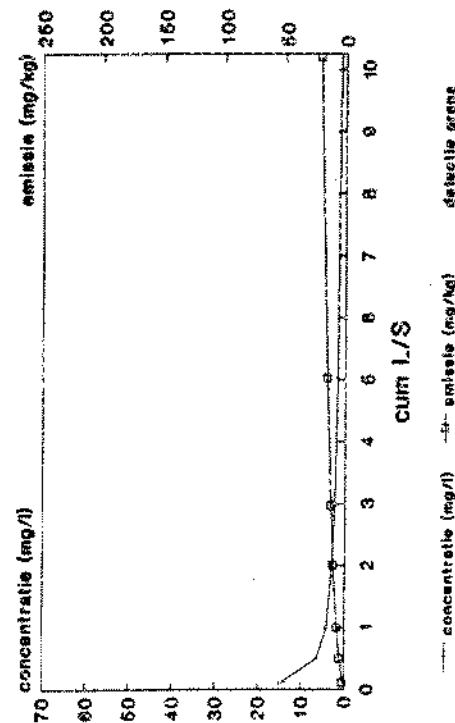
Beoordeling van gereinigde grond, deelrapport I.

pagina 142.

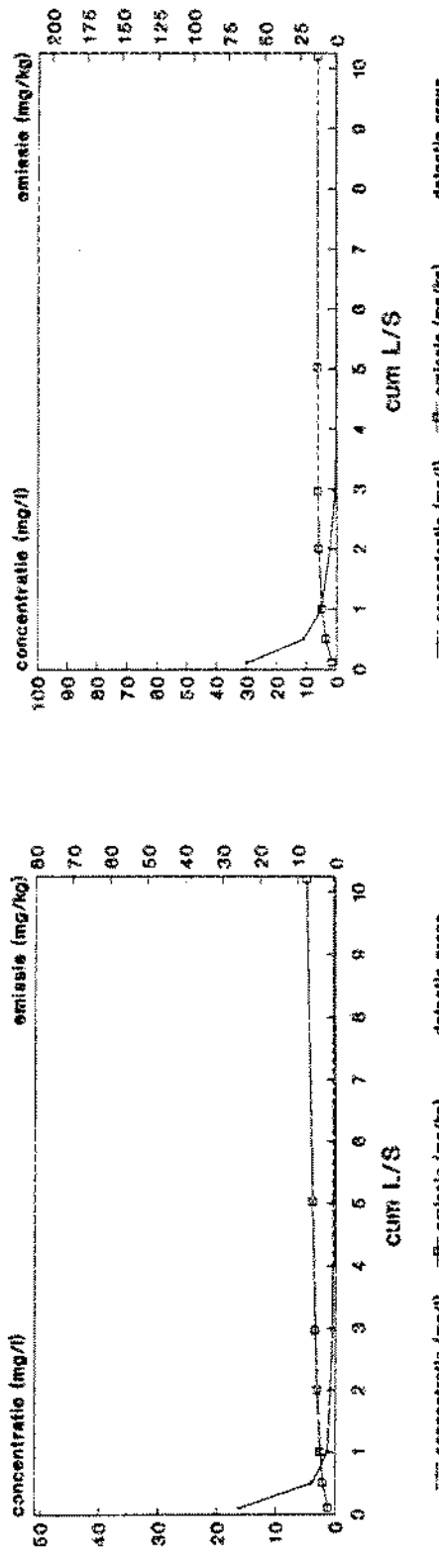
Fochteloerveen  
Calcium



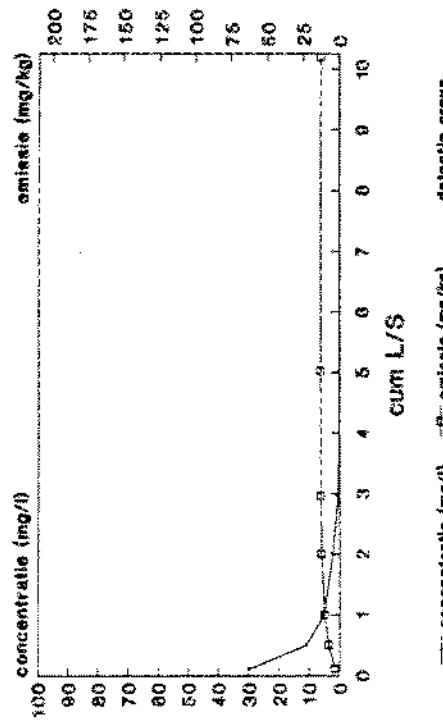
Fochteloerveen  
Kalium



Fochteloerveen  
Magnesium



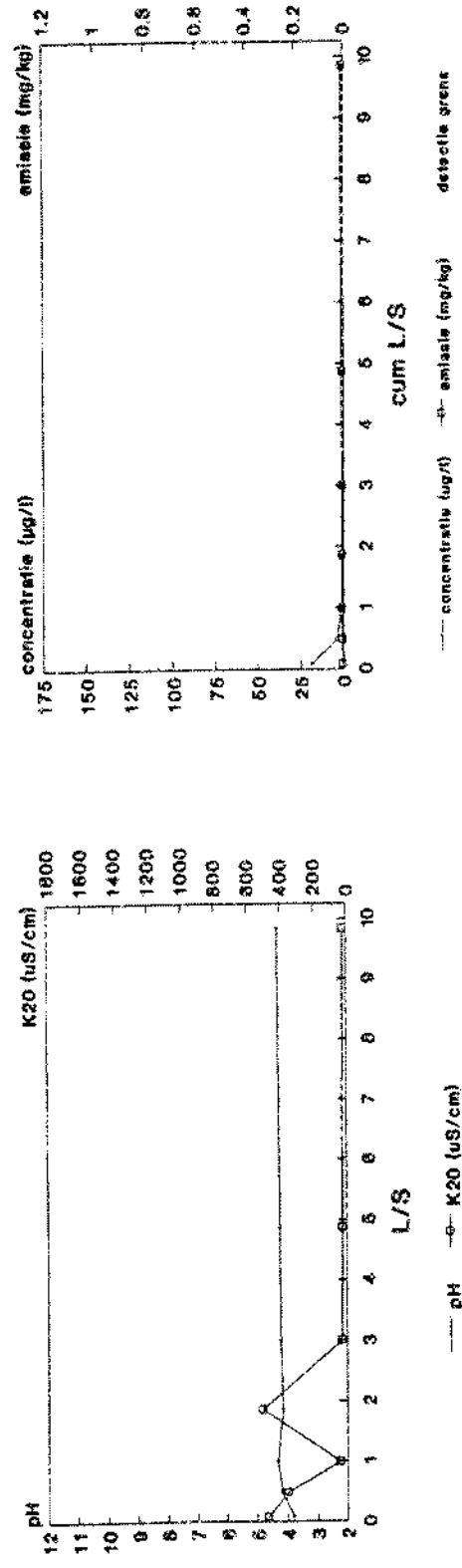
Fochteloerveen  
Natrium



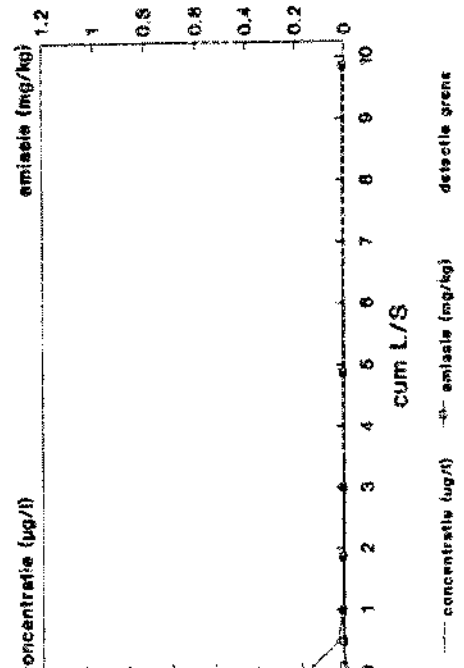
Beoordeling van gereinigde grond, deelrapport 1.

pagina 143.

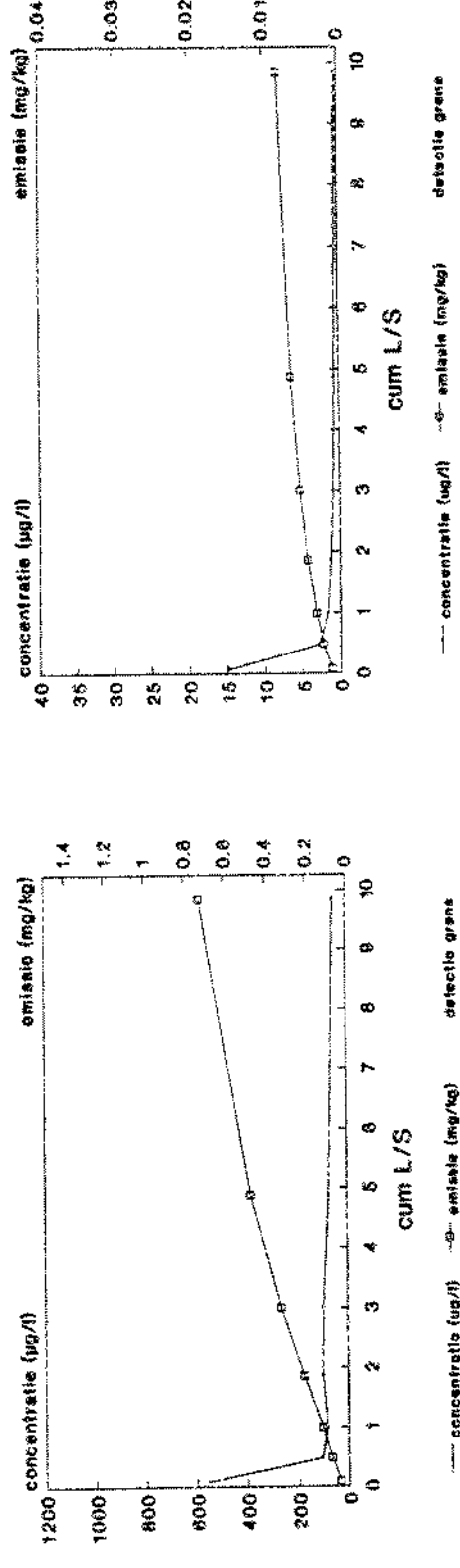
### Drunense heide (onderlaag) pH en K2O



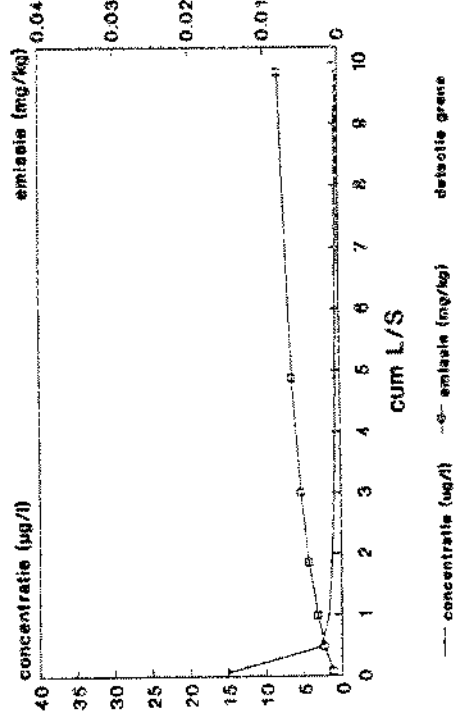
### Drunense heide (onderlaag) Arsen



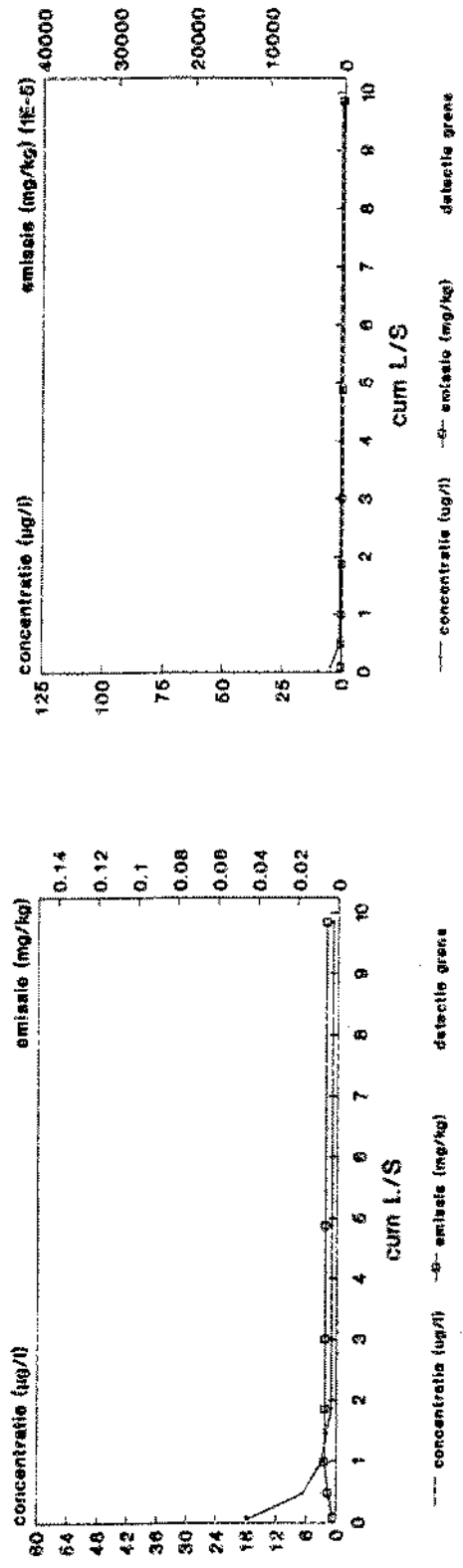
### Drunense heide (onderlaag) Barium



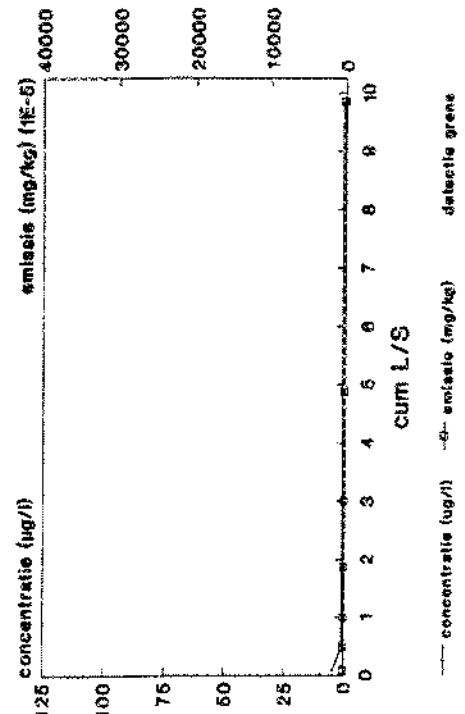
### Drunense heide (onderlaag) Cadmium



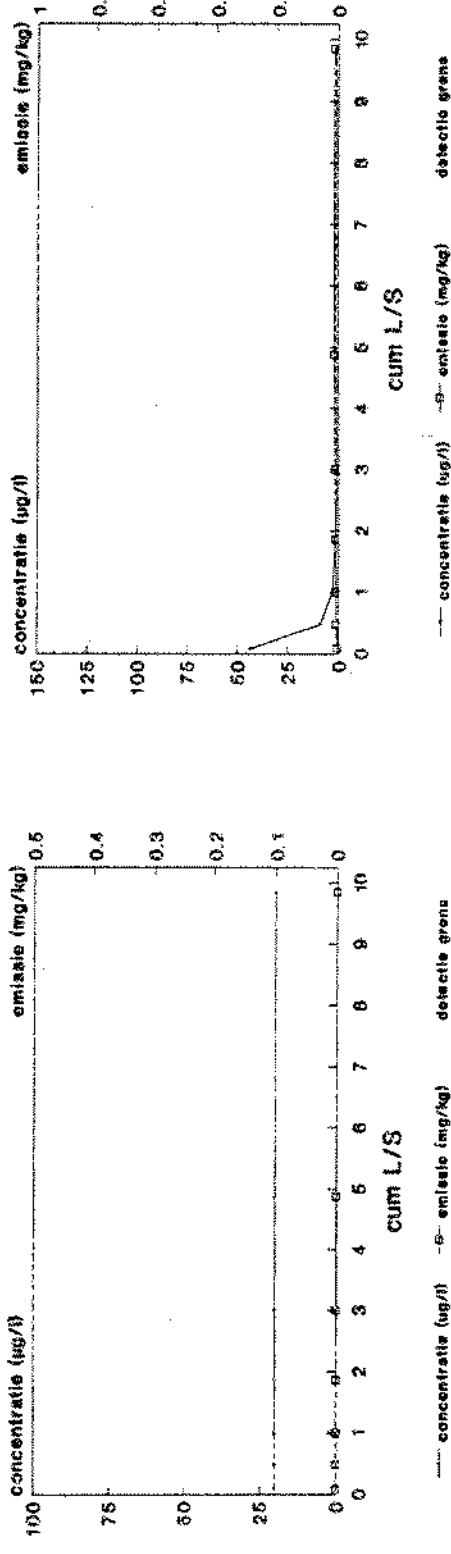
### Drunense heide (onderlaag) Chroom



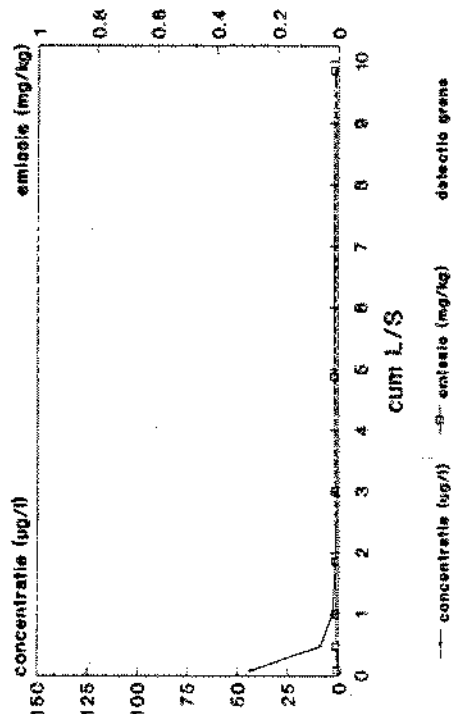
### Drunense heide (onderlaag) Koper



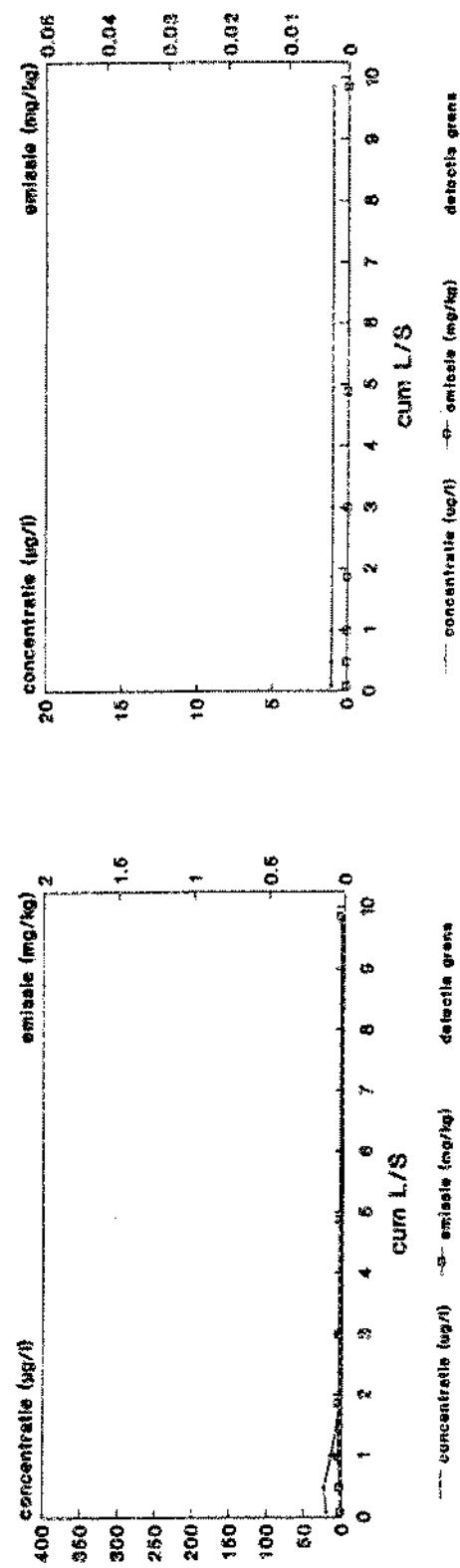
### Drunense heide (onderlaag) Molybdeen



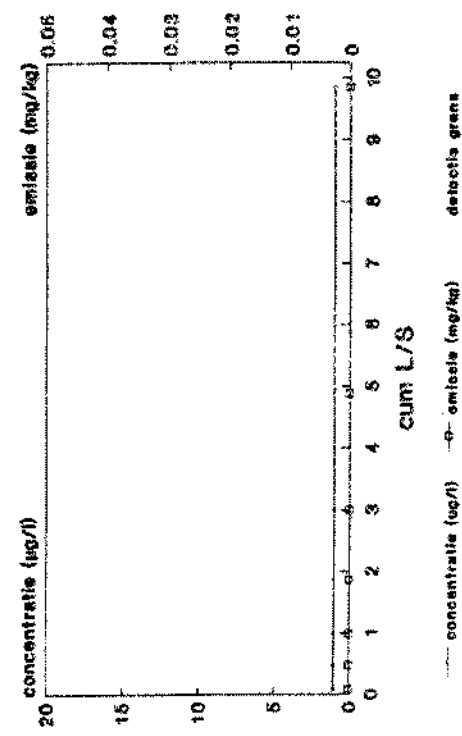
### Drunense heide (onderlaag) nikkel



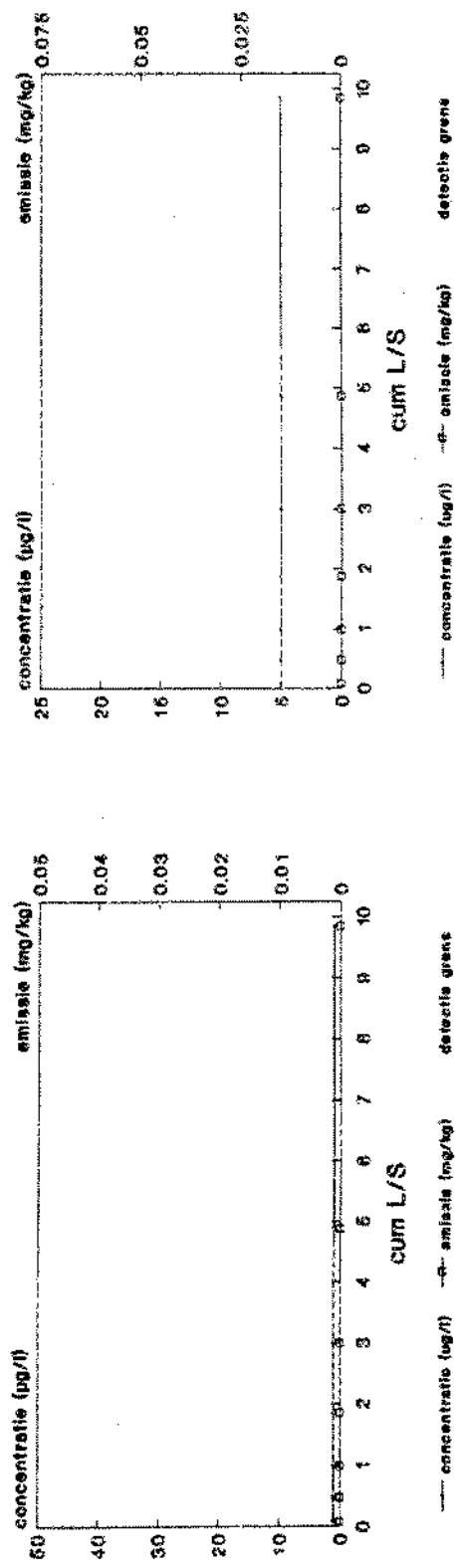
### Drunense heide (onderlaag) lood



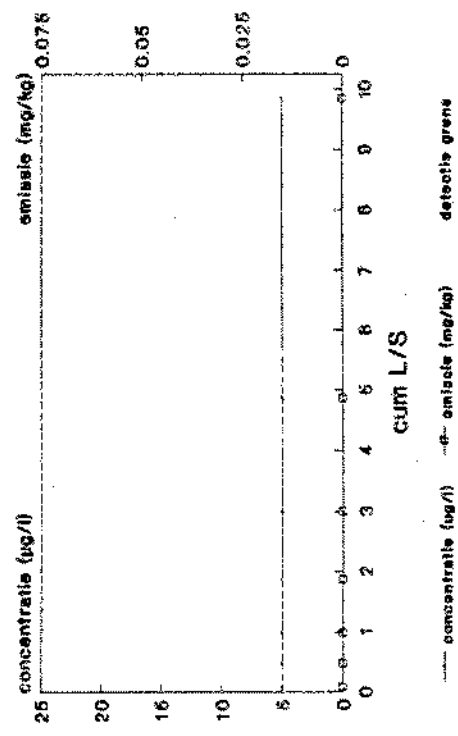
### Drunense heide (onderlaag) antimoon



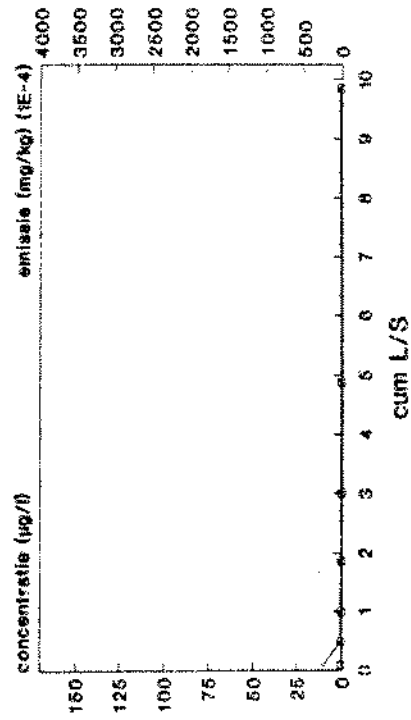
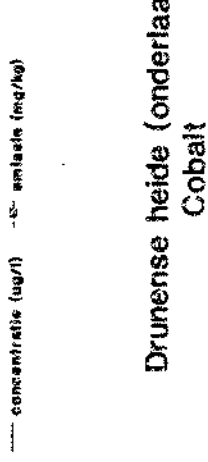
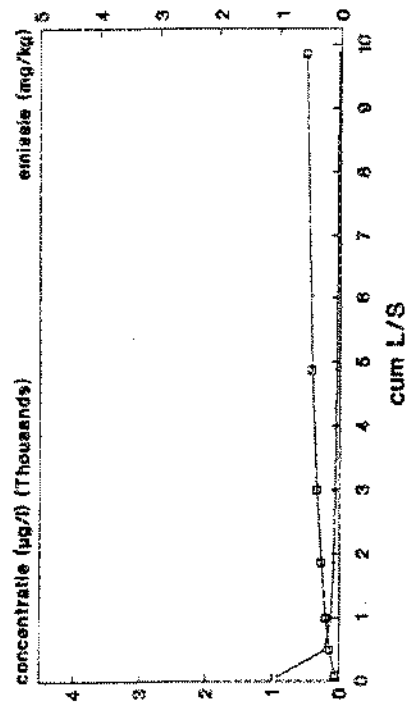
### Drunense heide (onderlaag) Selenen



### Drunense heide (onderlaag) Tin

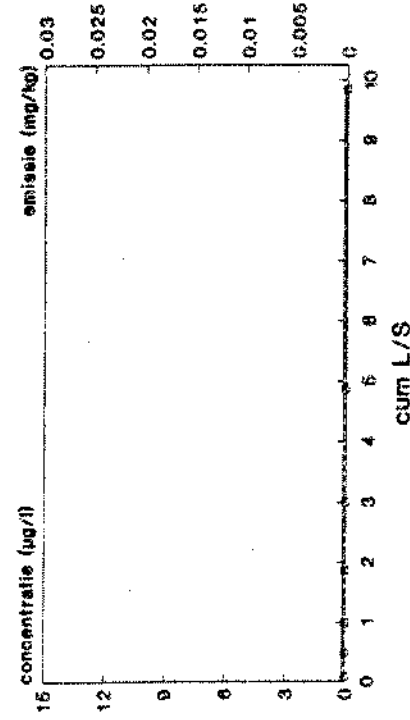


### Drunense heide (onderlaag) Zink



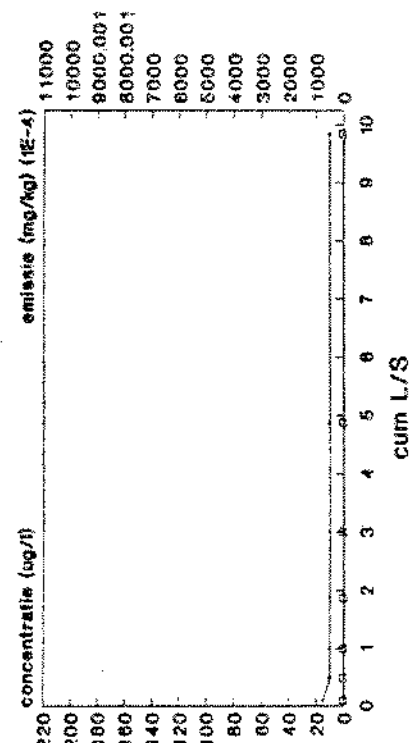
— concentratie (ug/l) —> emissie (mg/kg) detectie grens

### Drunense heide (onderlaag) Kwikk



— concentratie (ug/l) —> emissie (mg/kg) detectie grens

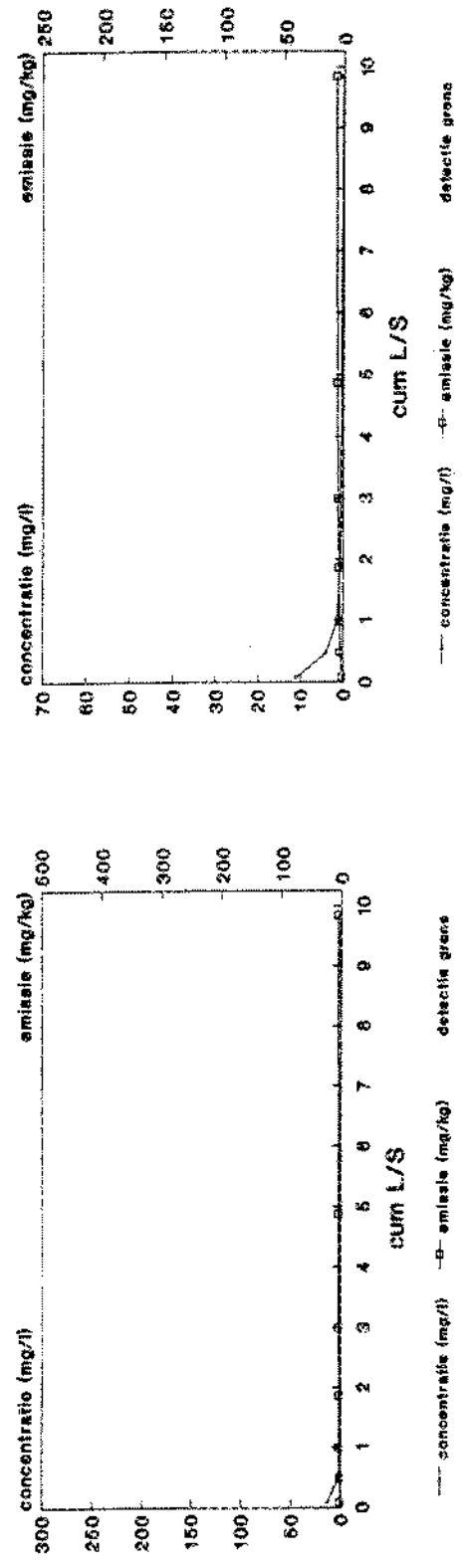
### Drunense heide (onderlaag) Vanaadium



— concentratie (ug/l) —> emissie (mg/kg) detectie grens

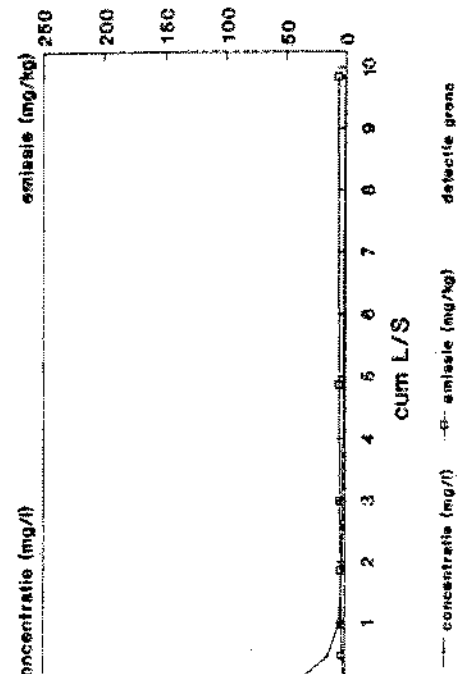
### Drunense heide (onderlaag)

Calcium



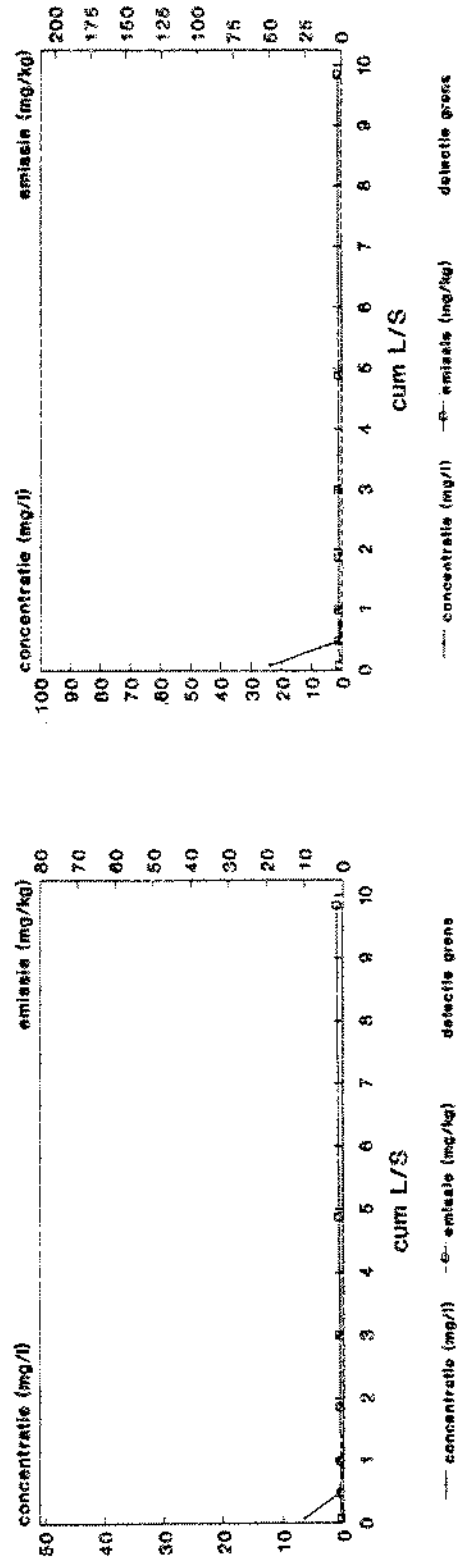
### Drunsen heide (onderlaag)

Kalium



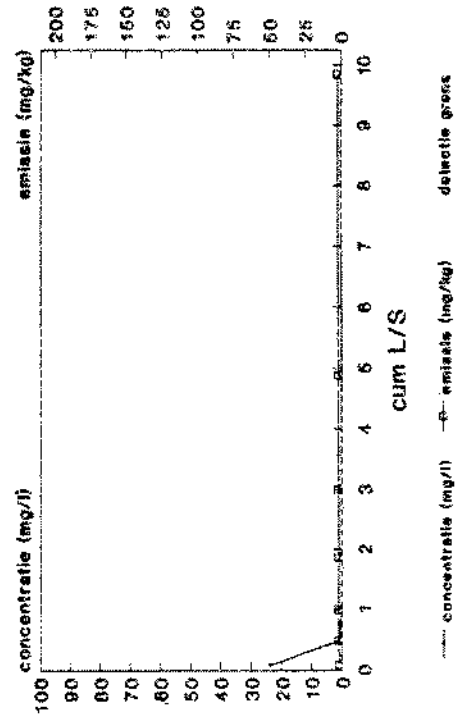
### Drunense heide (onderlaag)

Magnesium

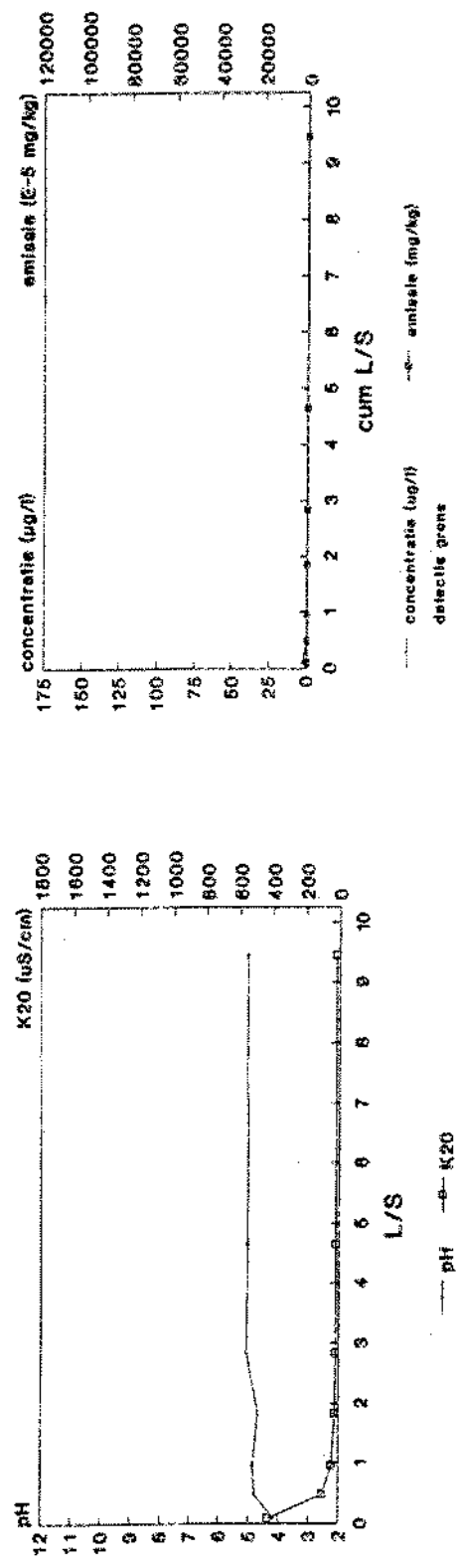


### Drunsen heide (onderlaag)

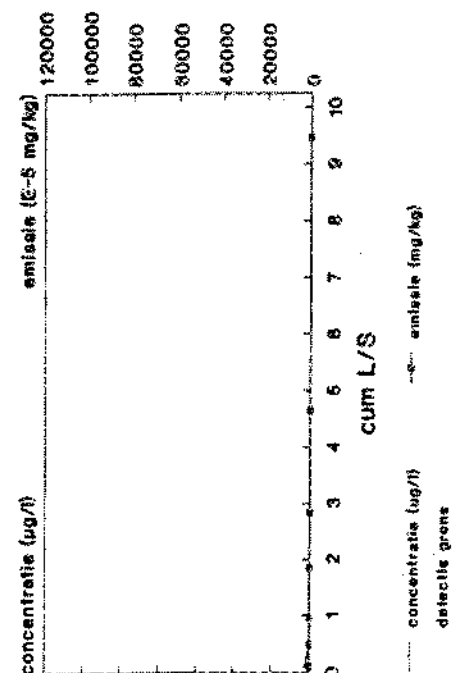
Natrium



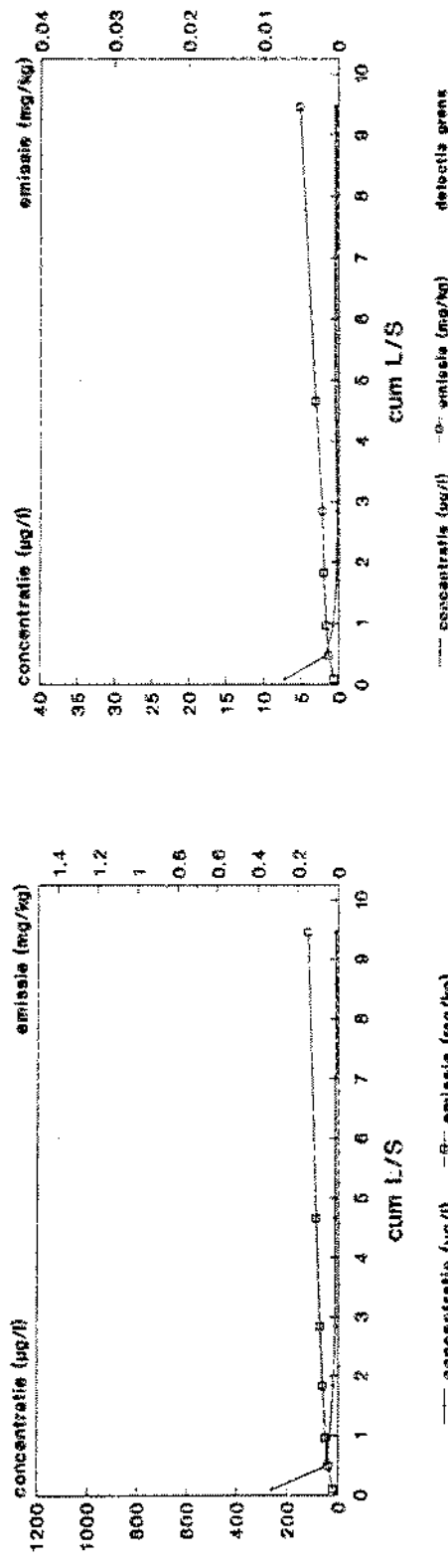
### Filosofendal (onderlaag) pH en K<sub>20</sub>



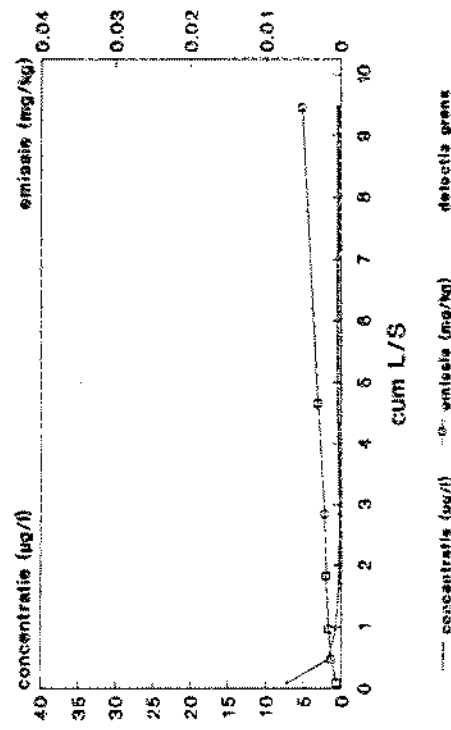
### Filosofendal (onderlaag) Arseen



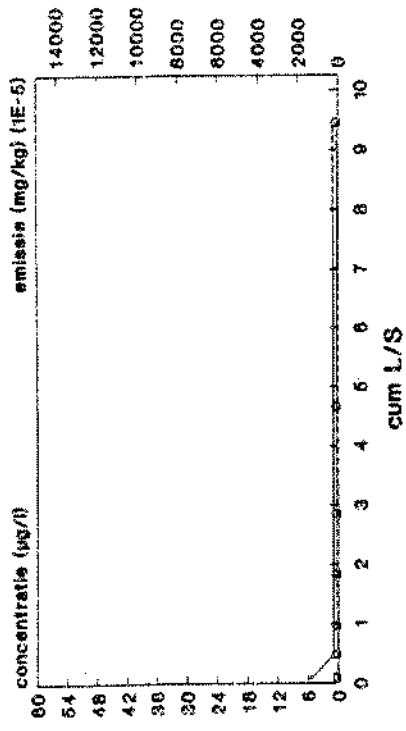
### Filosofendal (onderlaag) Barium



### Filosofendal (onderlaag) Cadmium

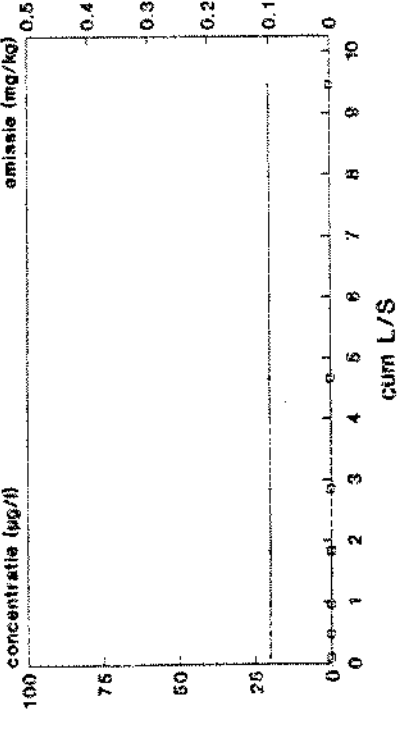


### Filosofendaal (onderlaag) Chroom

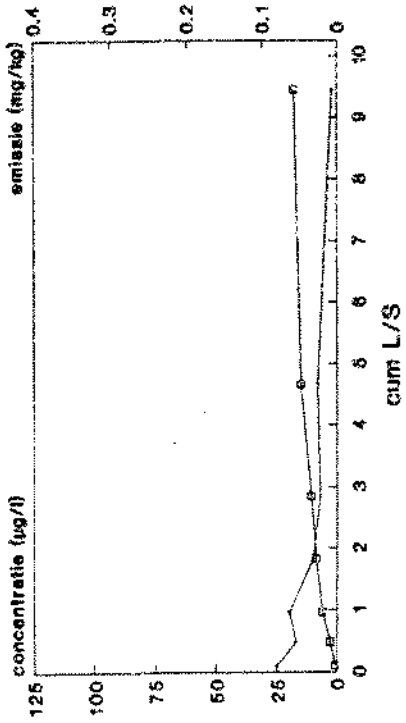


### Filosofendaal (onderlaag) Molybdeen

—●— concentratie (µg/l) —○— emissie (mg/kg) detectie grens

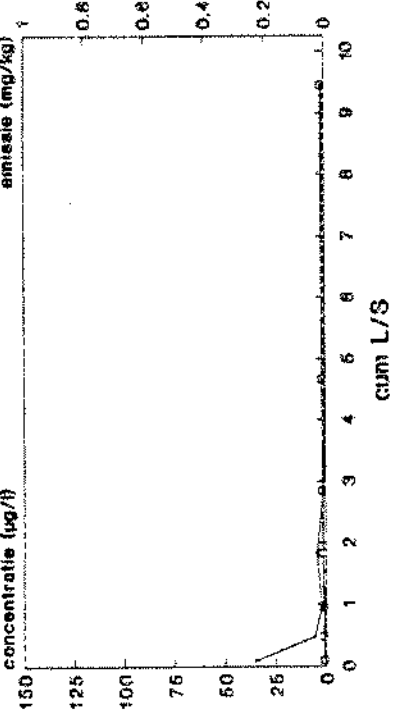


### Filosofendaal (onderlaag) Koper



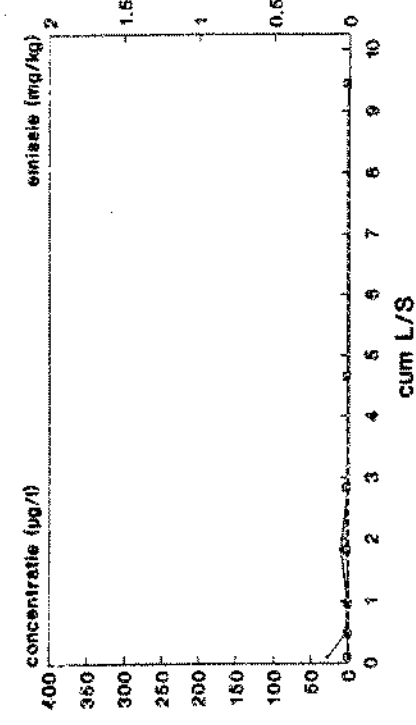
### Filosofendaal (onderlaag) nikkel

—●— concentratie (µg/l) —○— emissie (mg/kg) detectie grens



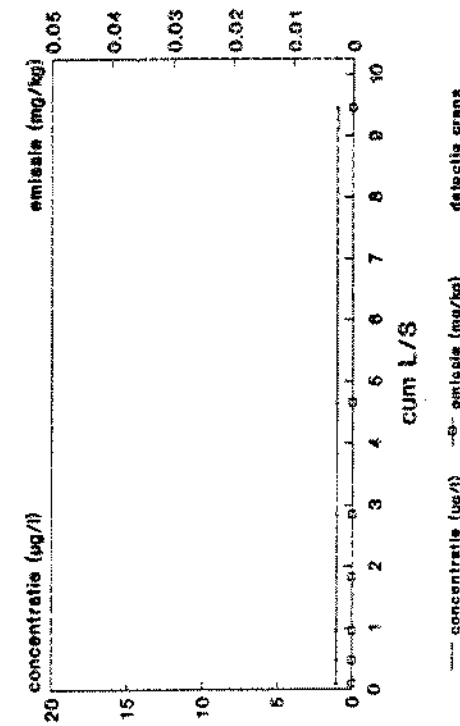
—●— concentratie (µg/l) —○— emissie (mg/kg) detectie grens

### Filosofendaal (onderlaag) lood



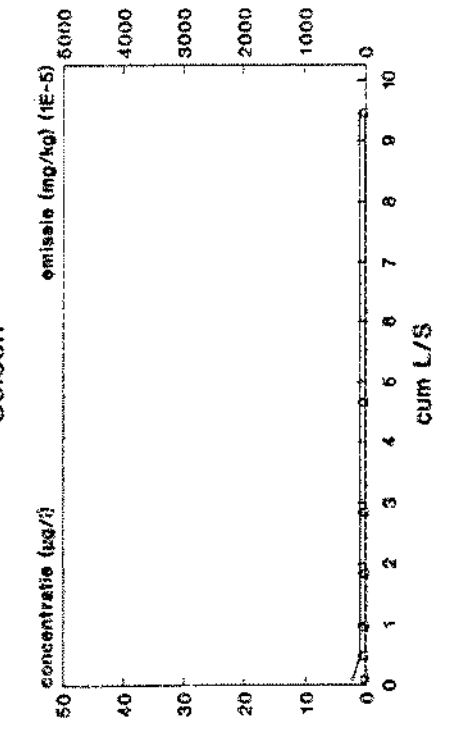
— concentratie (ug/l)    -o- emissie (mg/kg)    detectie grens

### Filosofendaal (onderlaag) antimoon



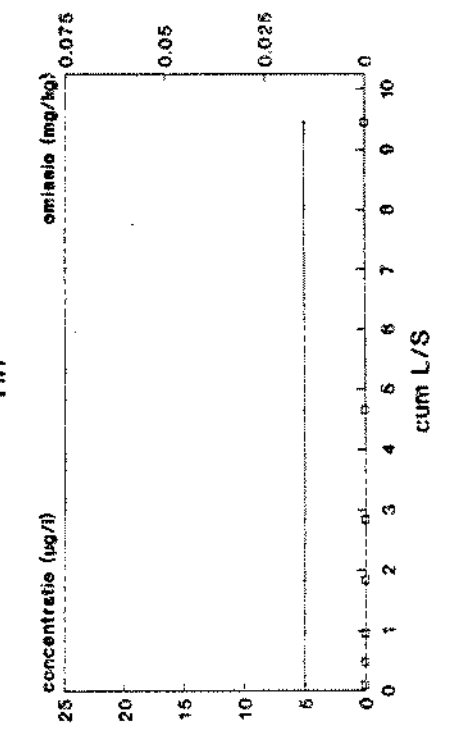
— concentratie (ug/l)    -o- emissie (mg/kg)    detectie grens

### Filosofendaal (onderlaag) Selenen



— concentratie (ug/l)    -o- emissie (mg/kg)    detectie grens

### Filosofendaal (onderlaag) Tin

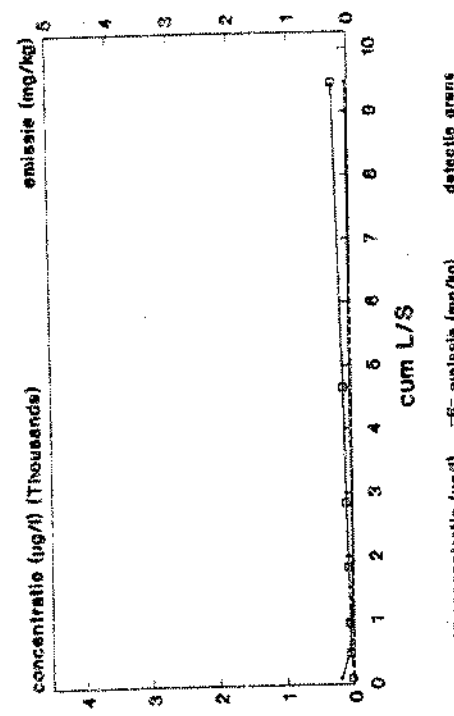


— concentratie (ug/l)    -o- emissie (mg/kg)    detectie grens

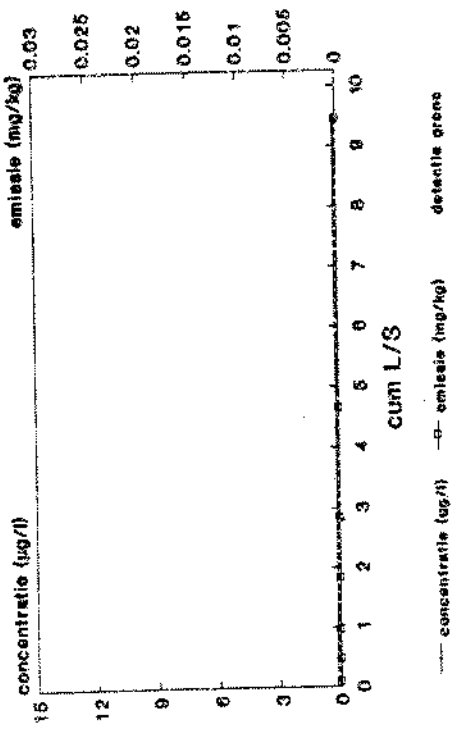
Beoordeling van gereinigde grond, deelrapport 1.

pagina 151.

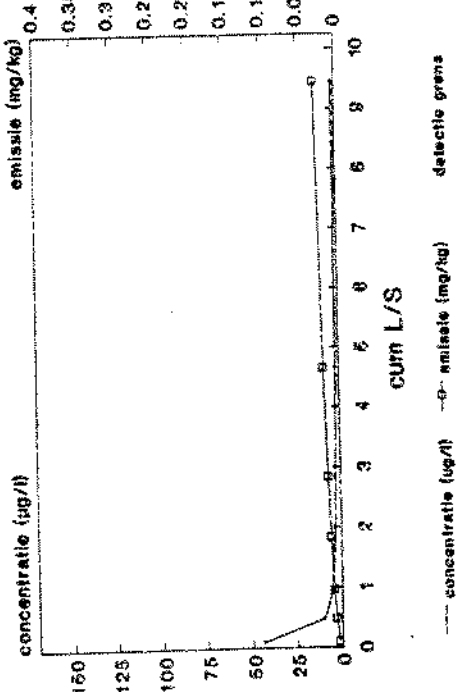
### Filosofendaal (onderlaag) Zink



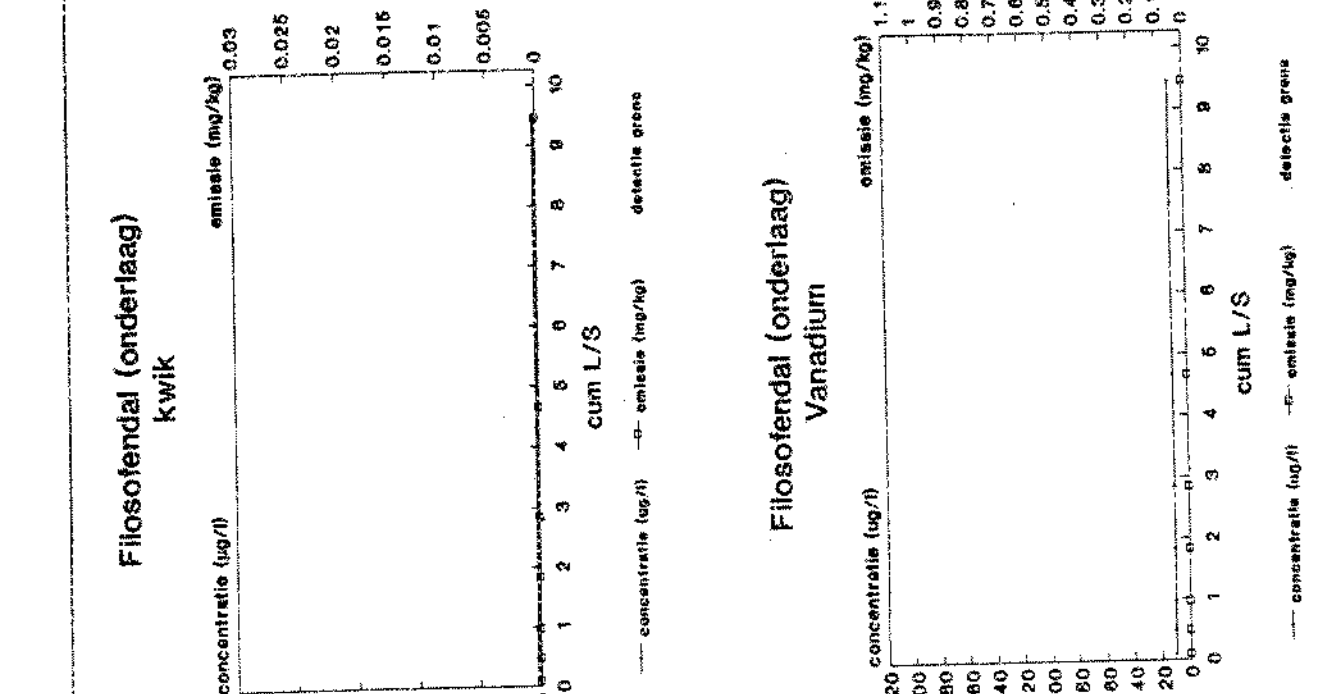
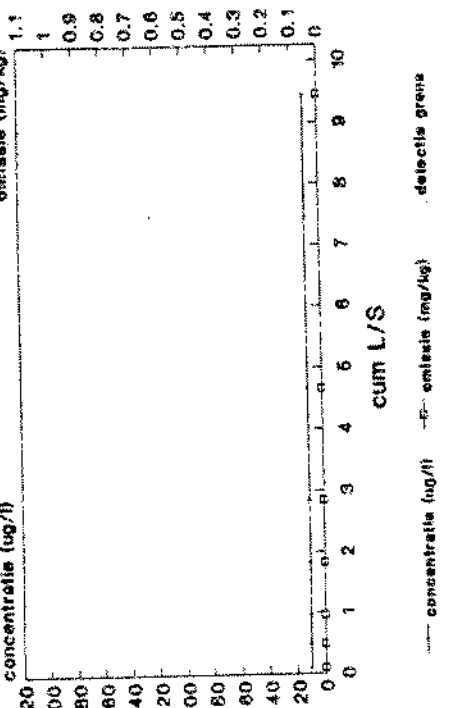
### Filosofendaal (onderlaag) Kwik



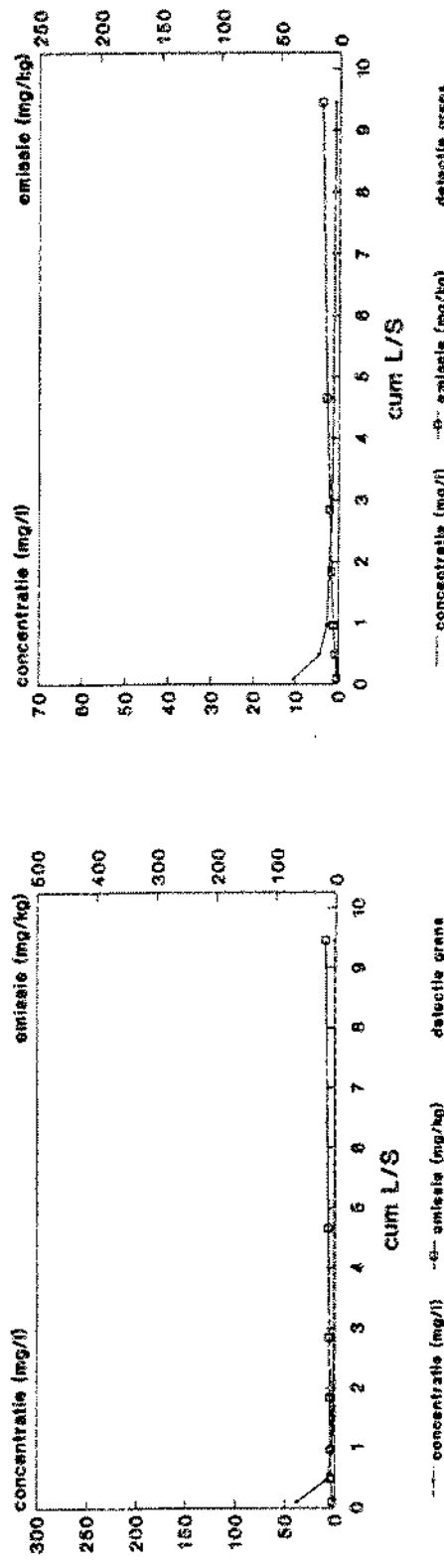
### Filosofendaal (onderlaag) Cobalt



### Filosofendaal (onderlaag) Vanadium



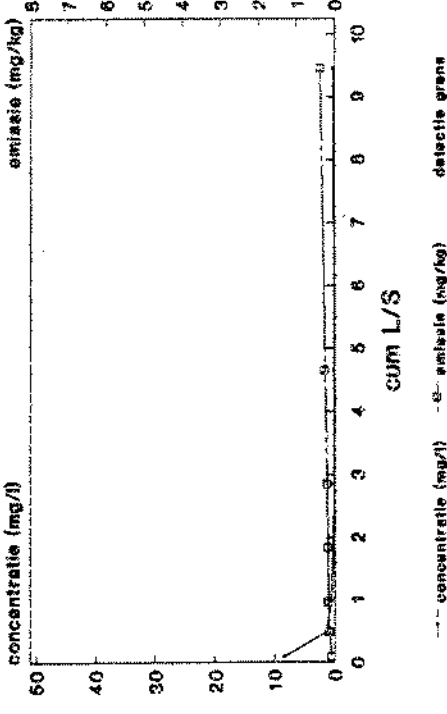
### Filosofendaal (onderlaag) Calcium



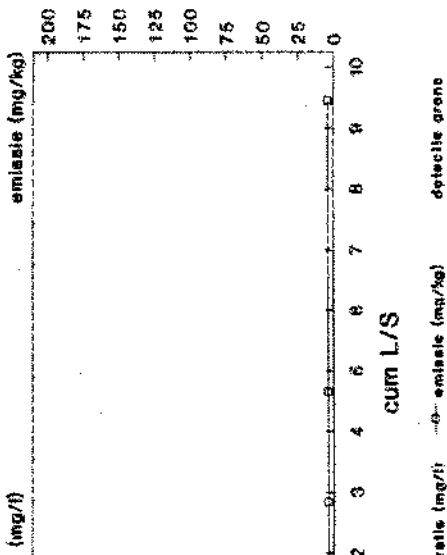
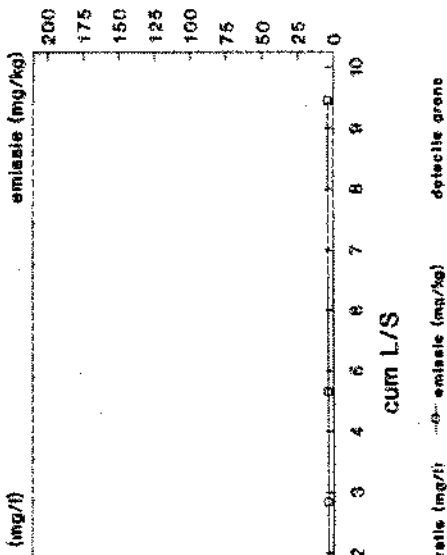
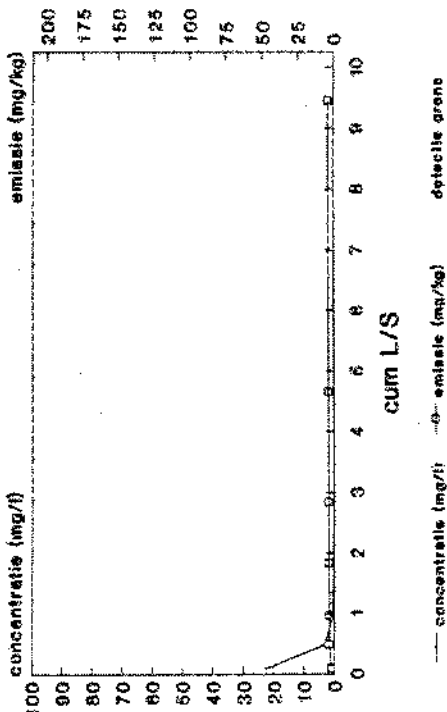
### Filosofendaal (onderlaag) Kálium

— concentratie (mg/l)    -o- emissie (mg/kg)    detectie grens

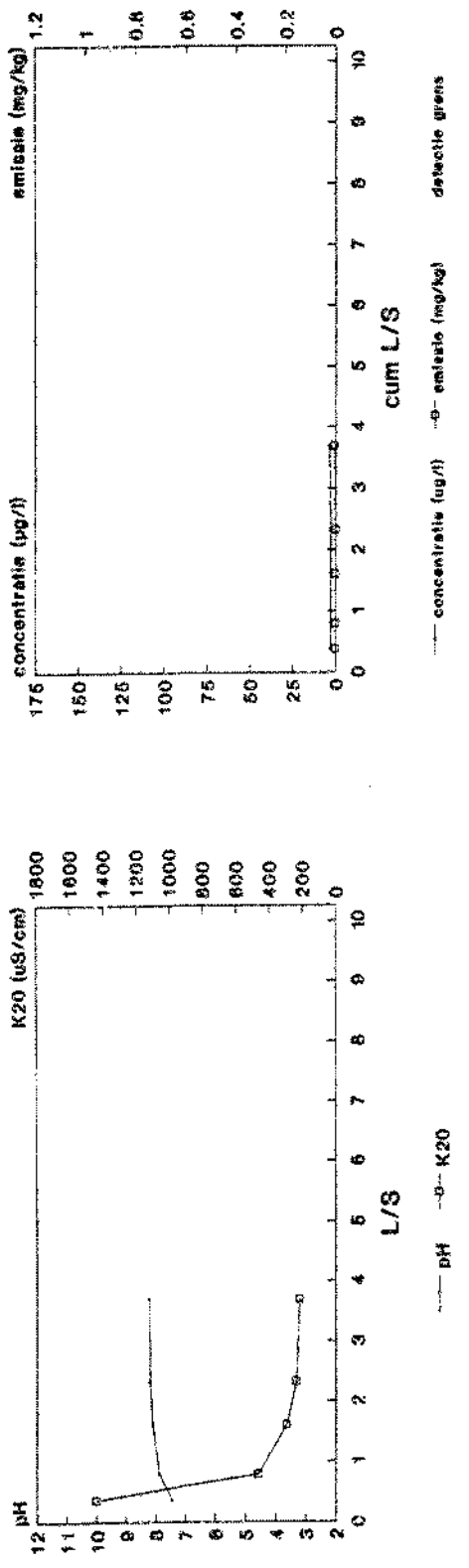
### Filosofendaal (onderlaag) Magnesium



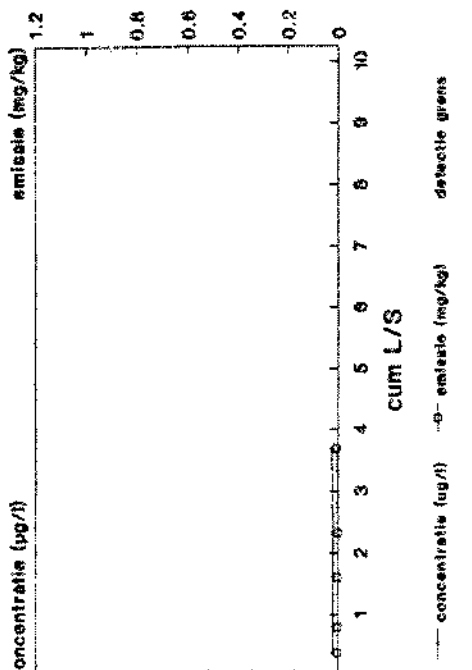
### Filosofendaal (onderlaag) Natrium



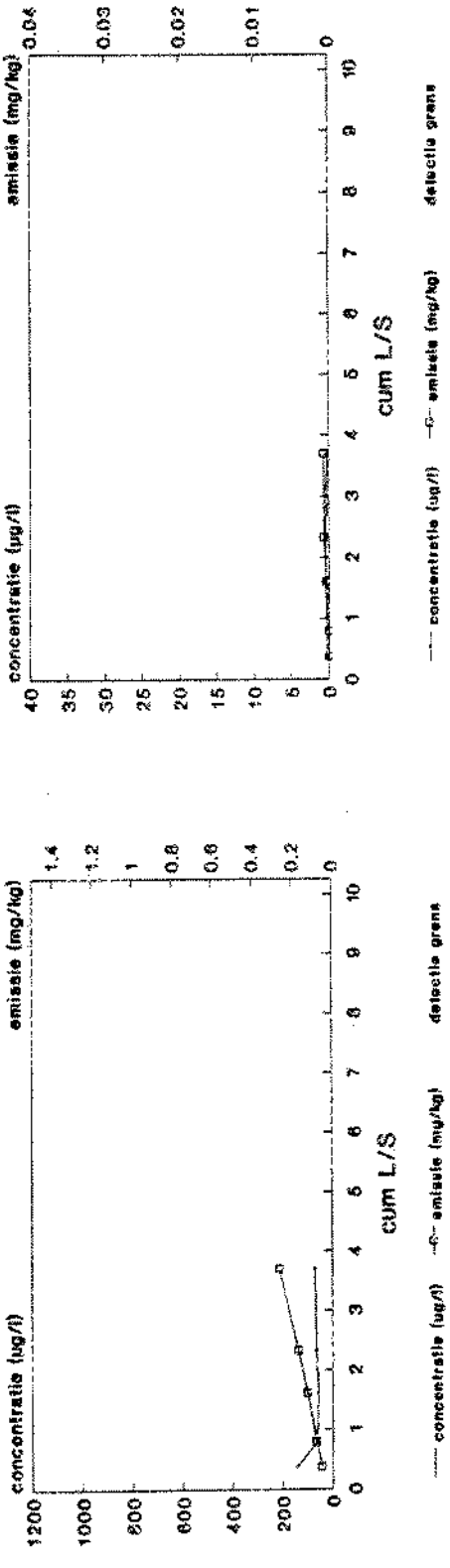
### Beverweert (onderlaag) pH en K2O



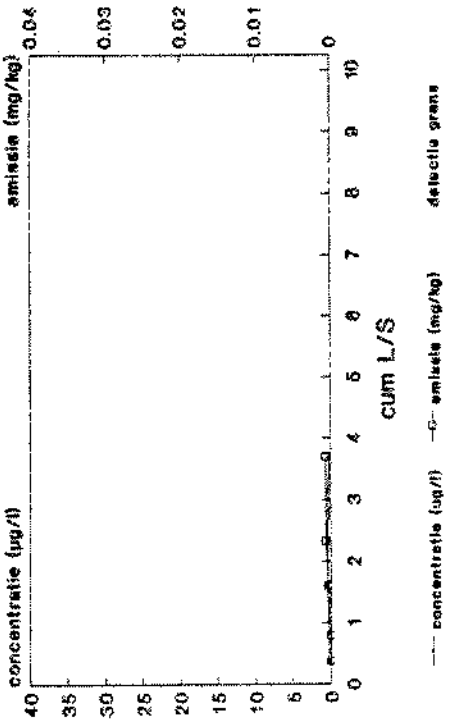
### Beverweert (onderlaag) Arseen



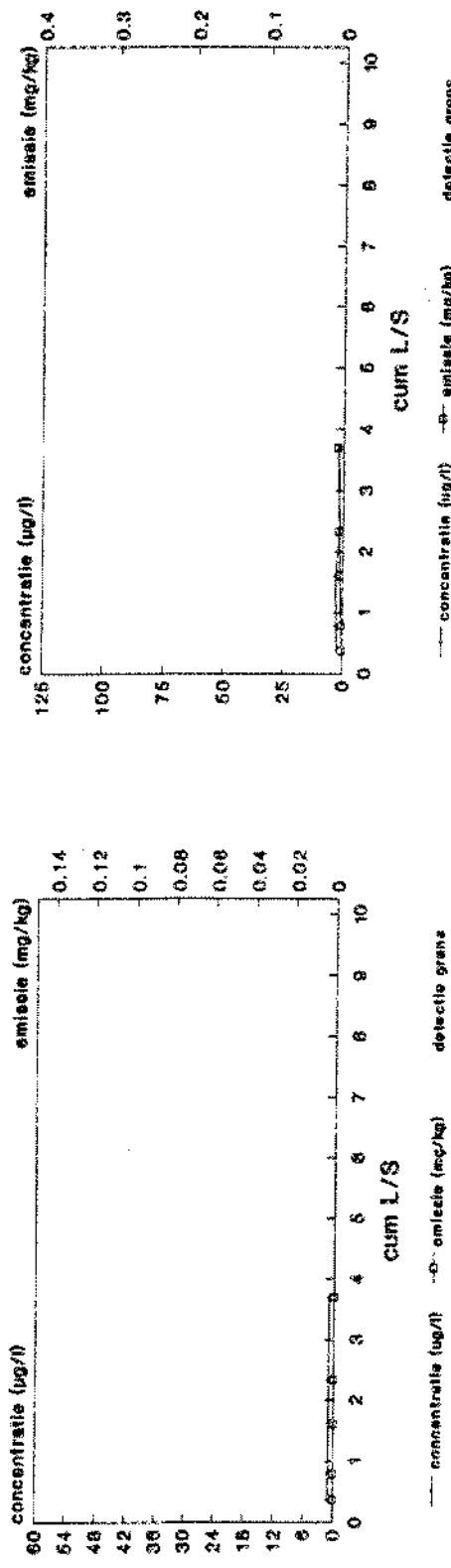
### Beverweert (onderlaag) Barium



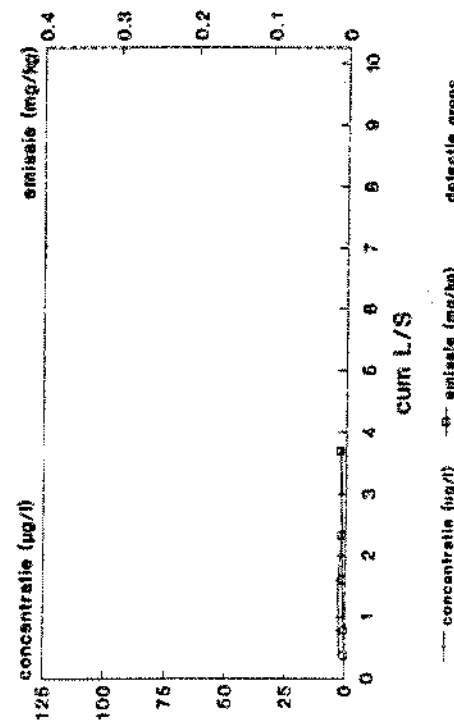
### Beverweert (onderlaag) Cadmium



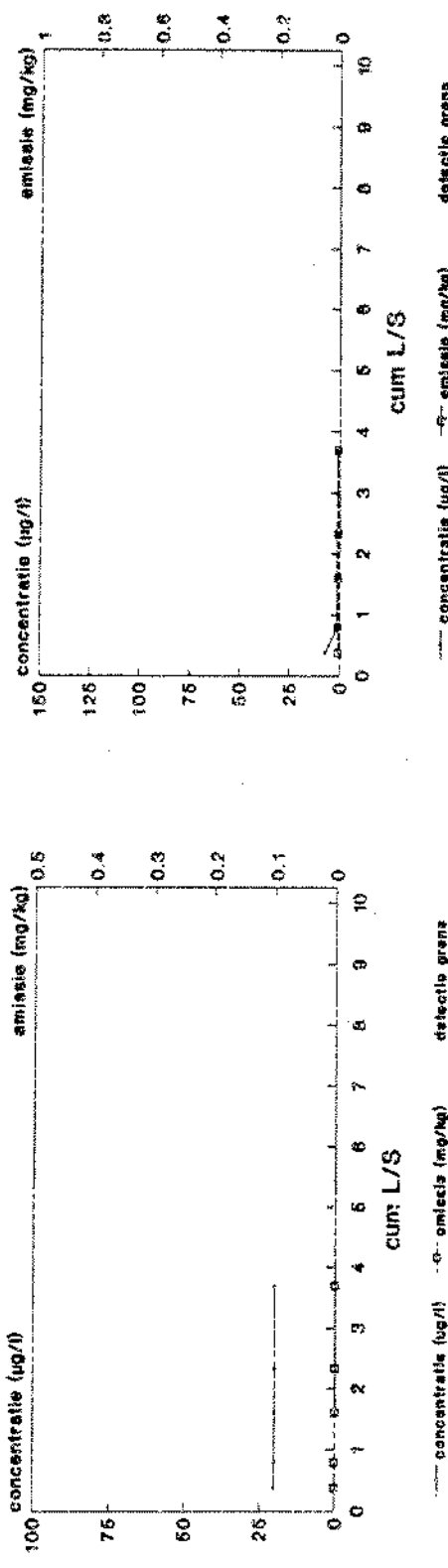
**Beverweert (onderlaag)**  
Chroom



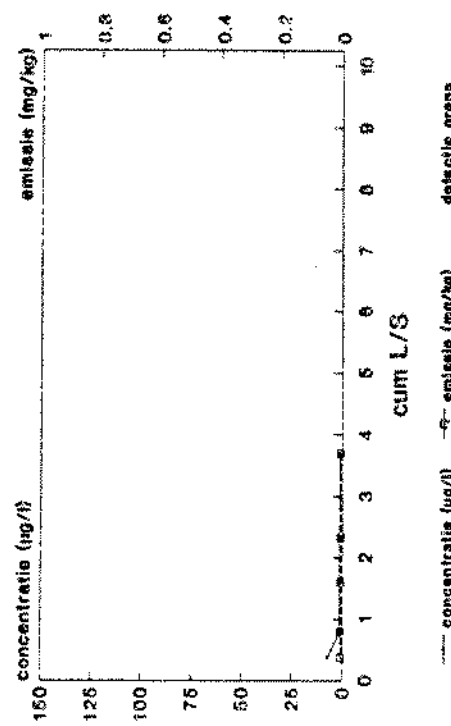
**Beverweert (onderlaag)**  
Koper



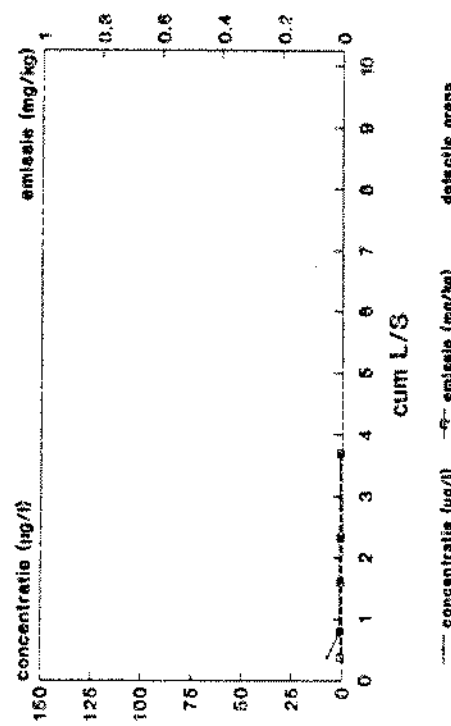
**Beverweert (onderlaag)**  
Molybdeen



**Beverweert (onderlaag)**  
nikkel

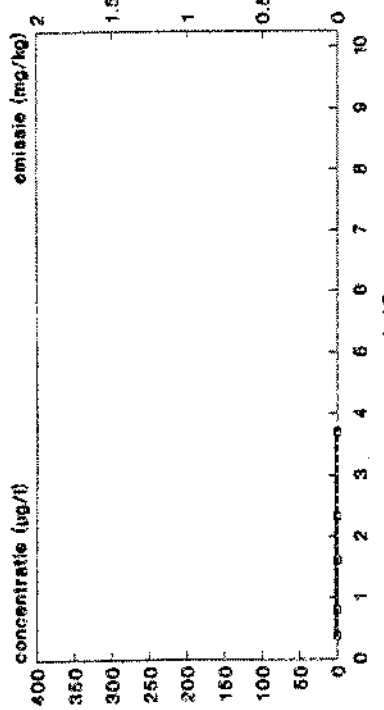


**Beverweert (onderlaag)**  
emissie



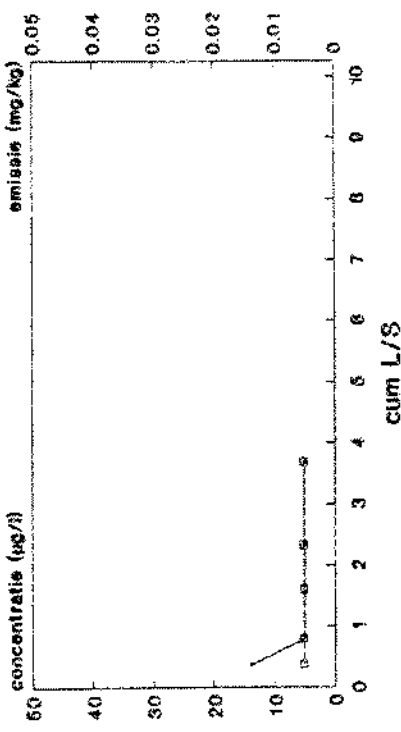
**Beverweert (onderlaag)**  
detectie grens

### Beverweert (onderlaag) lood



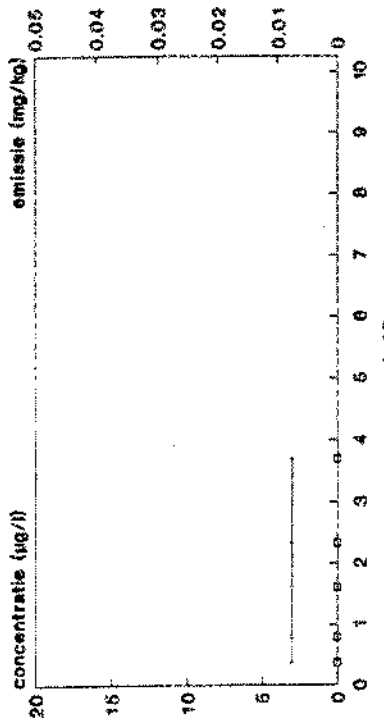
— concentratie ( $\mu\text{g}/\text{l}$ )    - - - emissie ( $\text{mg}/\text{kg}$ )  
detectie grens

### Beverweert (onderlaag) Seleni



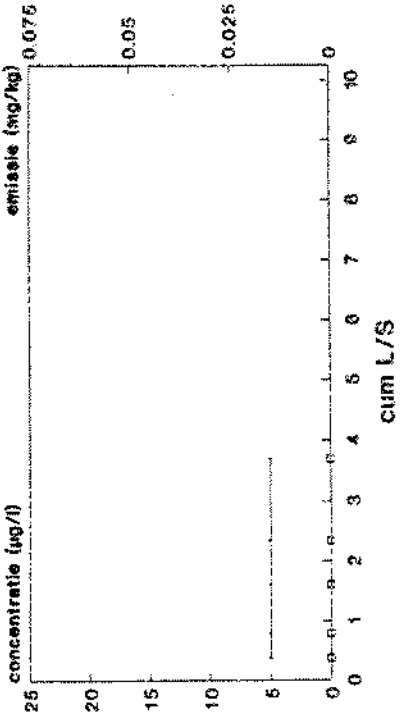
— concentratie ( $\mu\text{g}/\text{l}$ )    - - - emissie ( $\text{mg}/\text{kg}$ )  
detectie grens

### Beverweert (onderlaag) antimoon



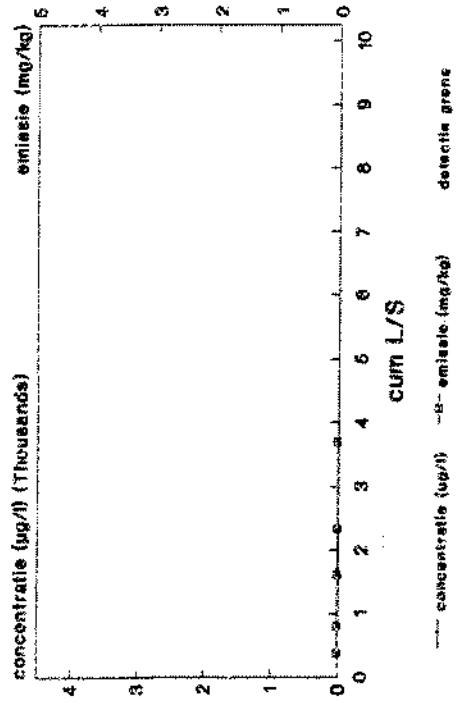
— concentratie ( $\mu\text{g}/\text{l}$ )    - - - emissie ( $\text{mg}/\text{kg}$ )  
detectie grens

### Beverweert (onderlaag) Tin

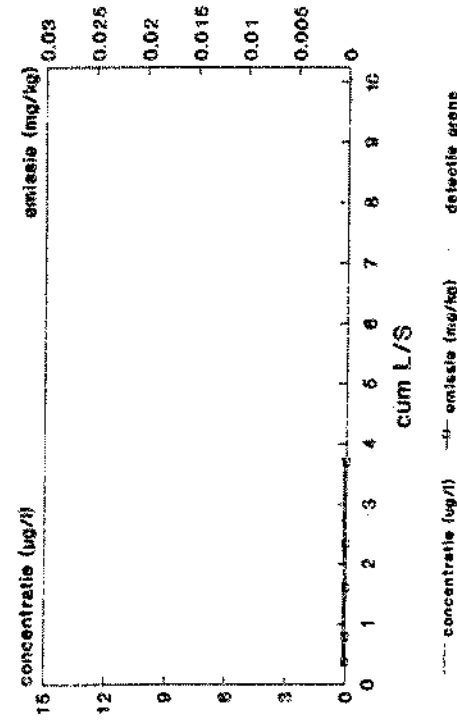


— concentratie ( $\mu\text{g}/\text{l}$ )    - - - emissie ( $\text{mg}/\text{kg}$ )  
detectie grens

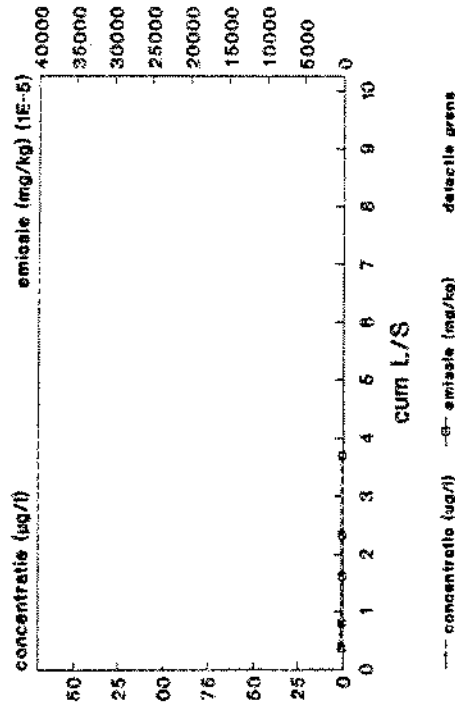
### Beverweert (onderlaag) Zink Kwik



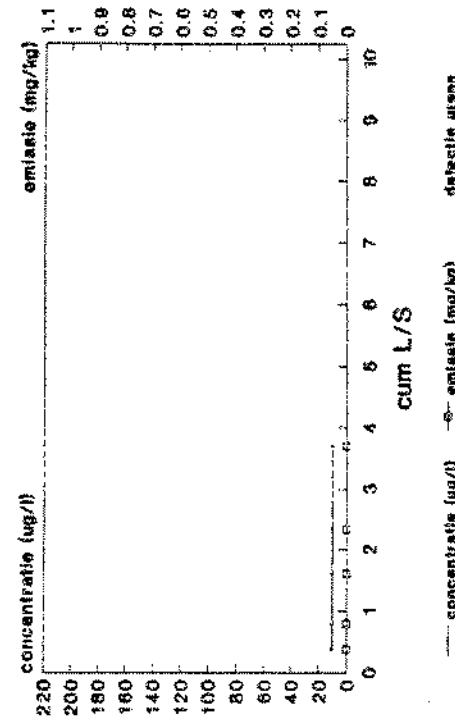
### Beverweert (onderlaag) Kwik



### Beverweert (onderlaag) Cobalt



### Beverweert (onderlaag) Vaanadium



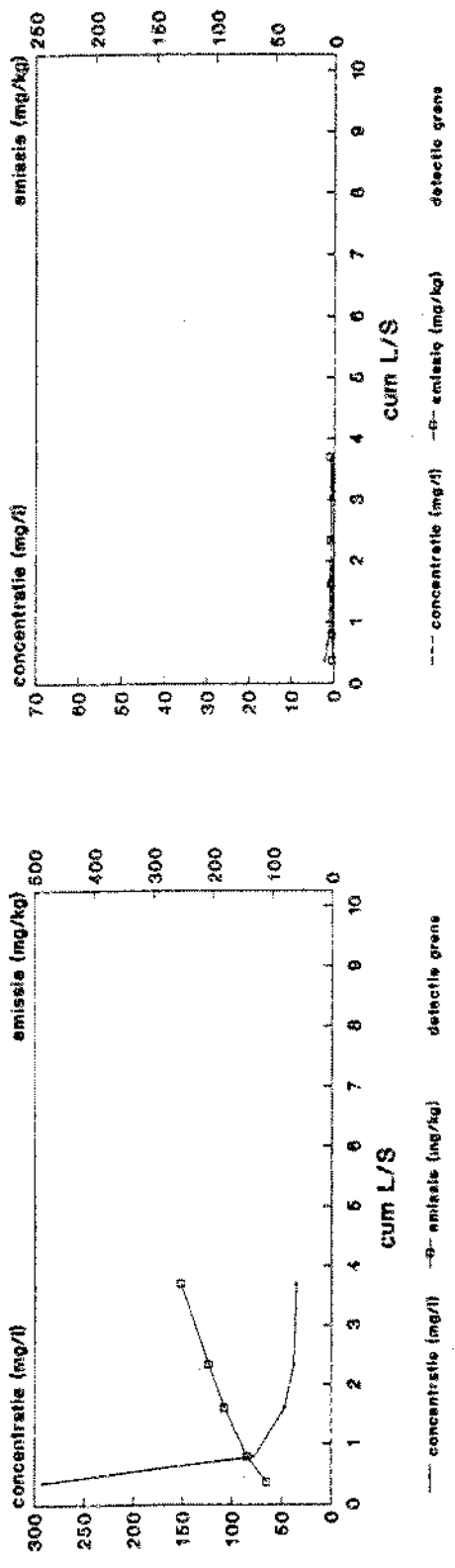
— concentratie (ug/l) — emissie (ug/kg) detectie grens

— concentratie (ug/l) — emissie (ug/kg) detectie grens

— concentratie (ug/l) — emissie (mg/kg) detectie grens

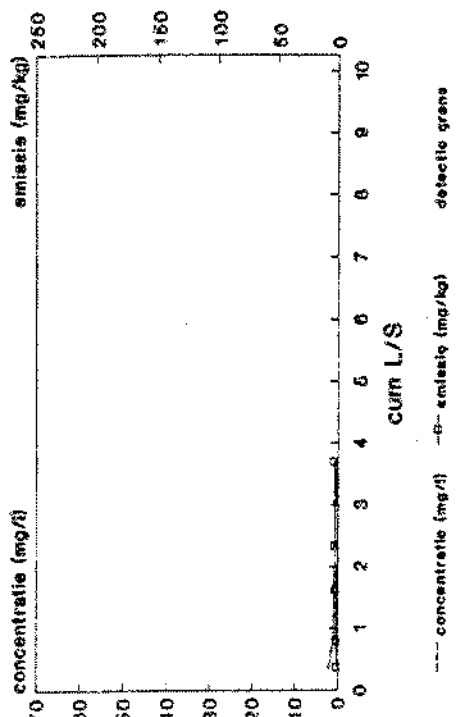
### Beverweert (onderlaag)

#### Calcium



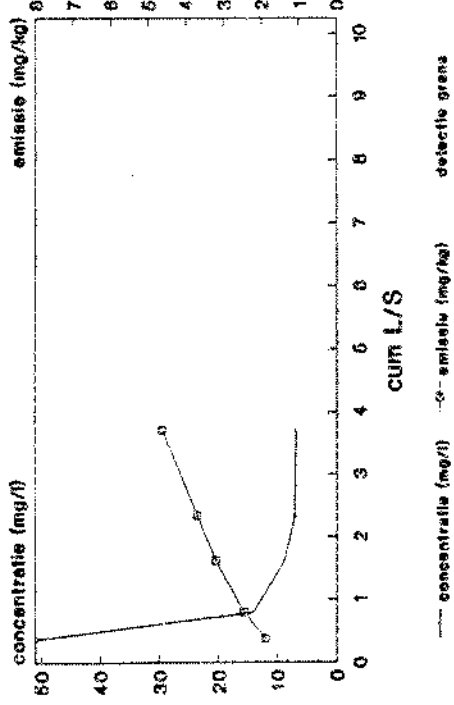
### Beverweert (onderlaag)

#### Kalium



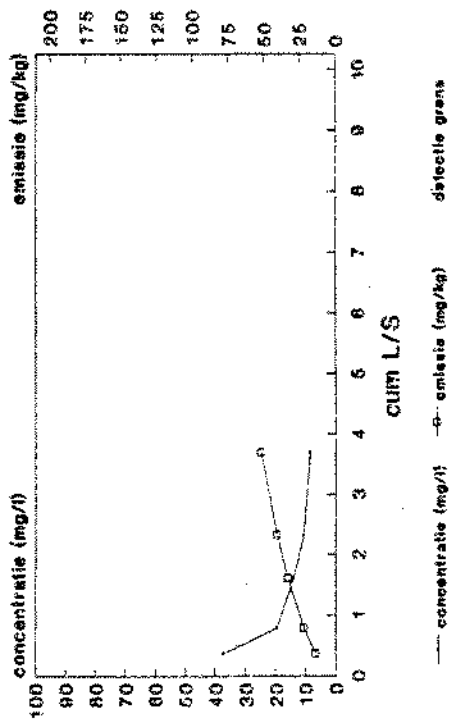
### Beverweert (onderlaag)

#### Magnesium

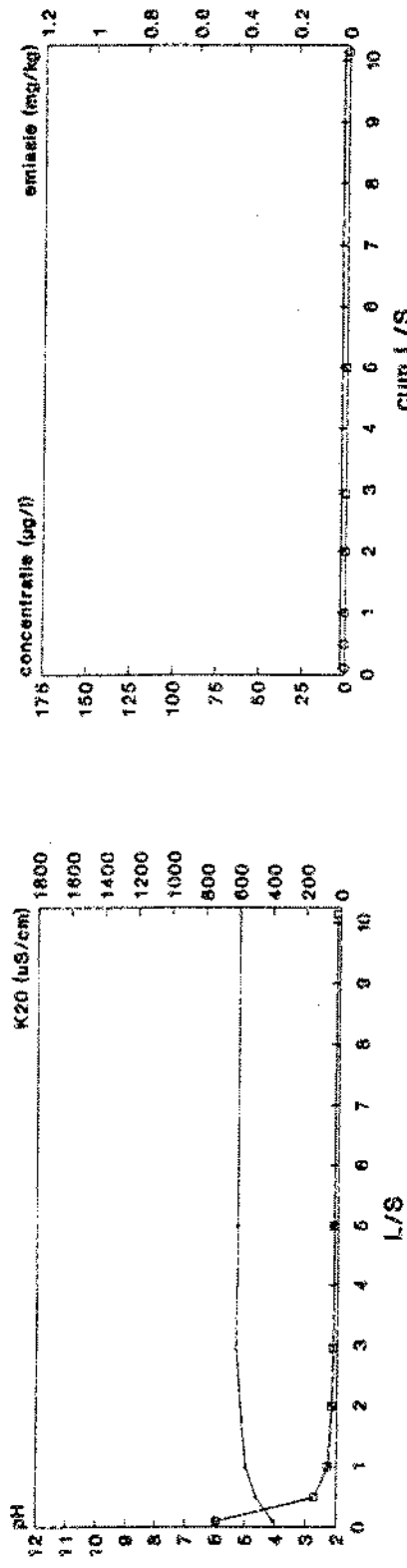


### Beverweert (onderlaag)

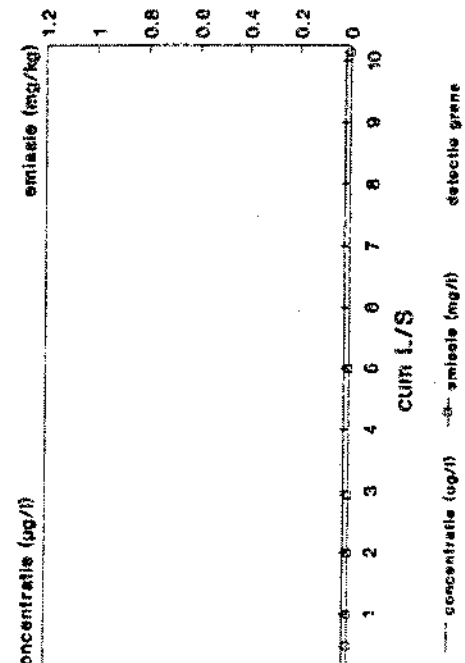
#### Natrium



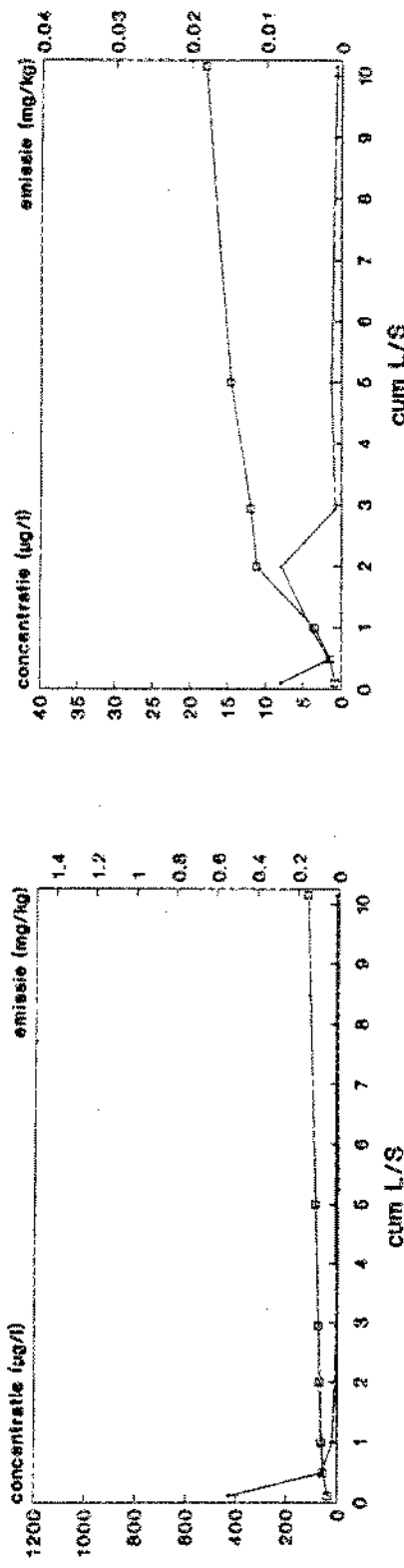
### Kleibos (onderlaag) pH en K2O



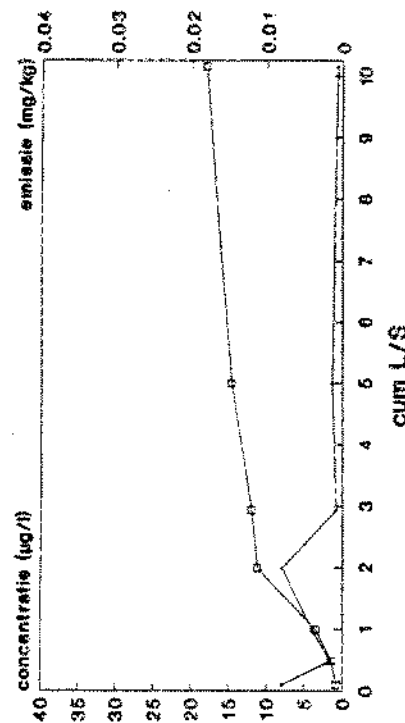
### Kleibos (onderlaag) Arsenit



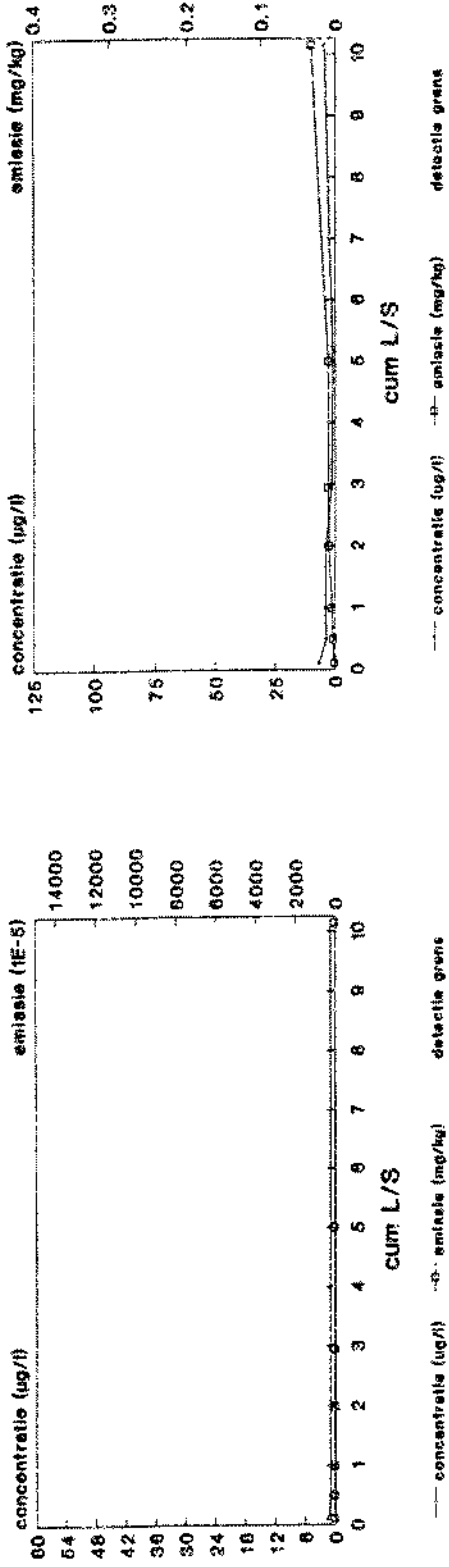
### Kleibos (onderlaag) Barium



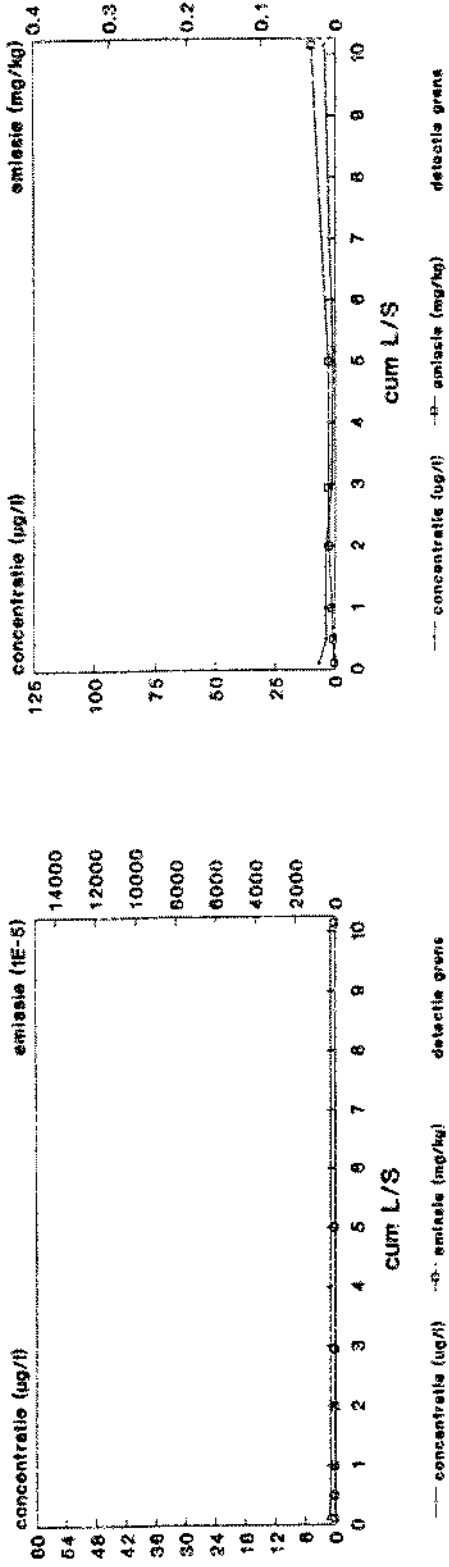
### Kleibos (onderlaag) Cadmium



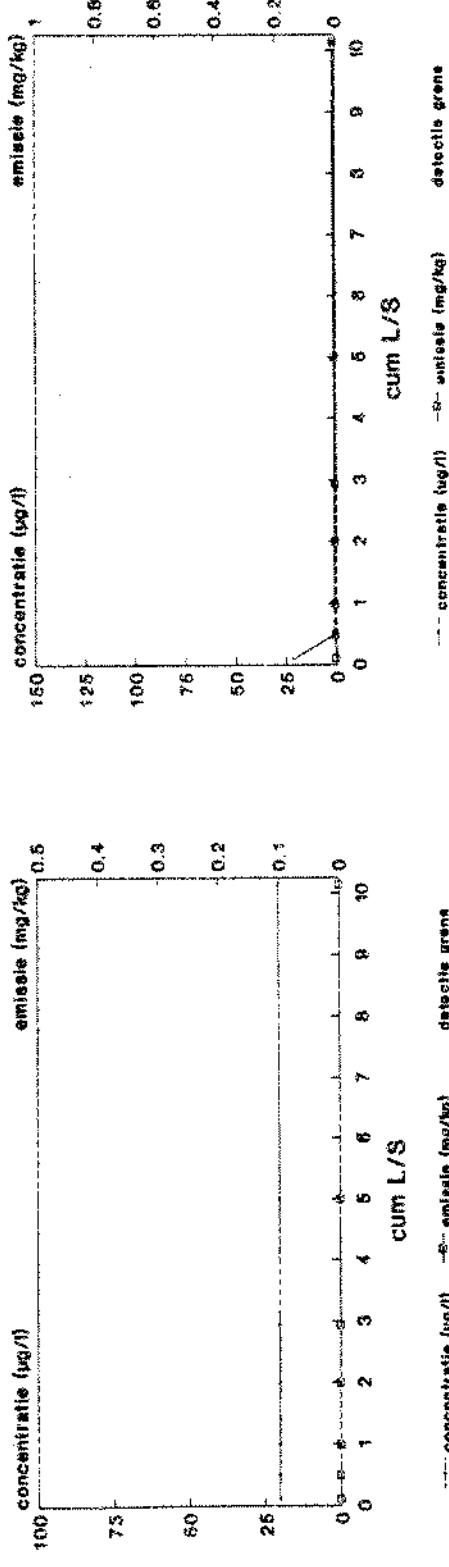
### Kleibos (onderlaag) Chroom



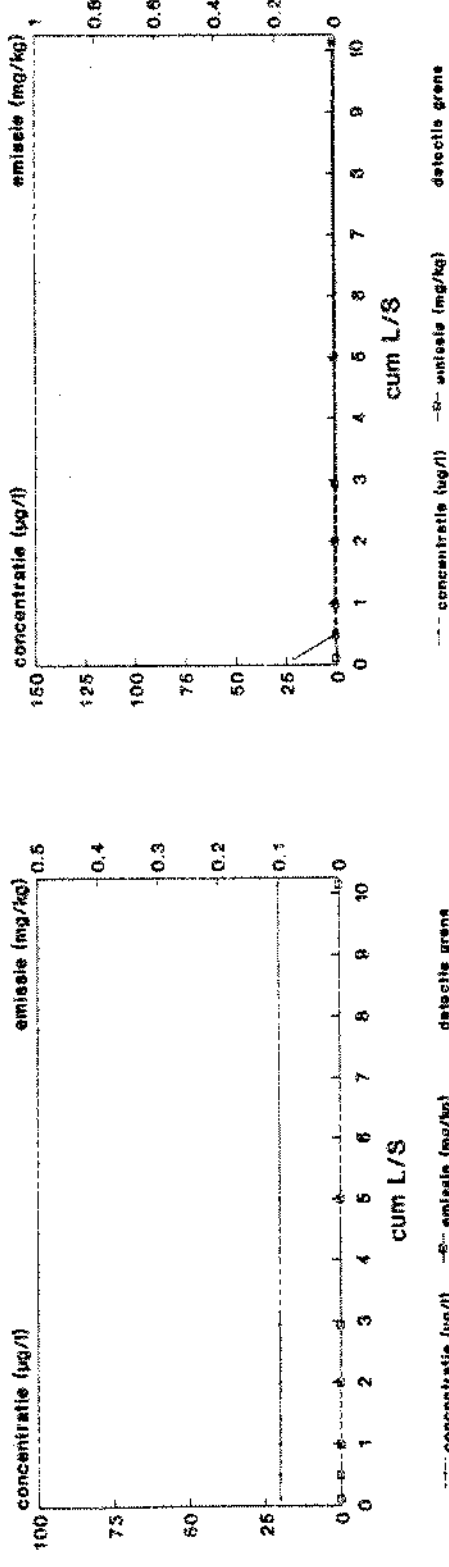
### Kleibos (onderlaag) Koper



### Kleibos (onderlaag) Molybdeen



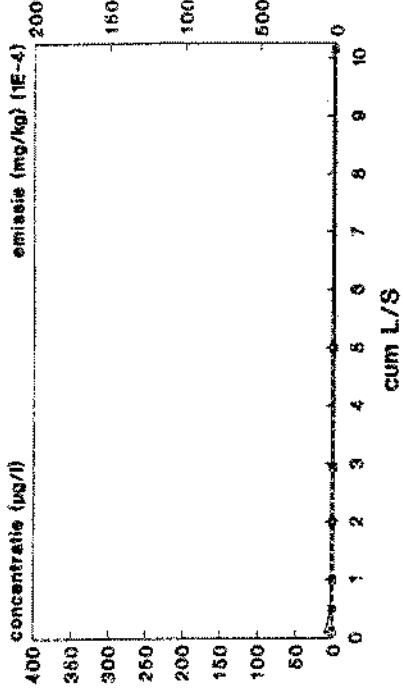
### Kleibosert (onderlaag) nikkel



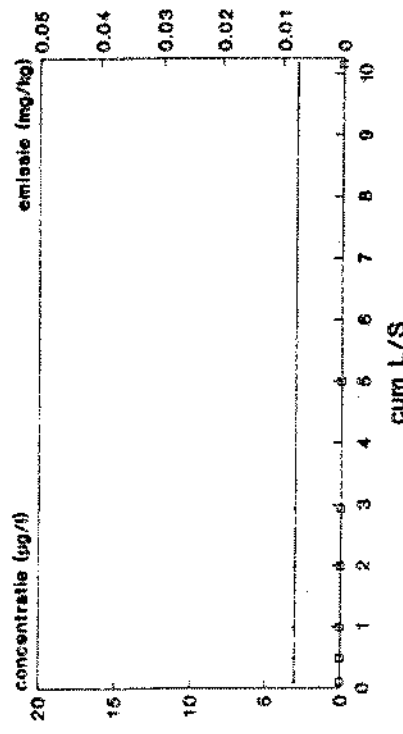
Beoordeling van gereinigde grond, deelrapport 1.

pagina 160.

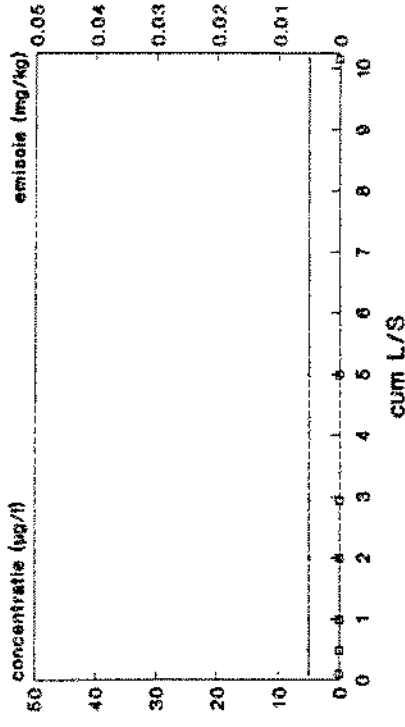
### Kleibos (onderlaag) lood



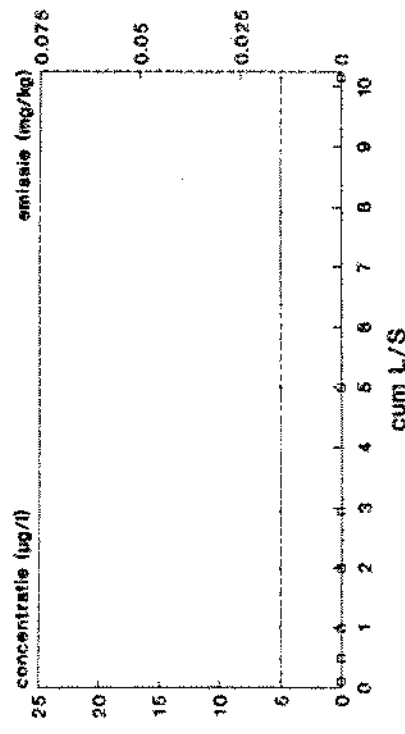
### Kleibos (onderlaag) antimoon



### Kleibos (onderlaag) Selenen



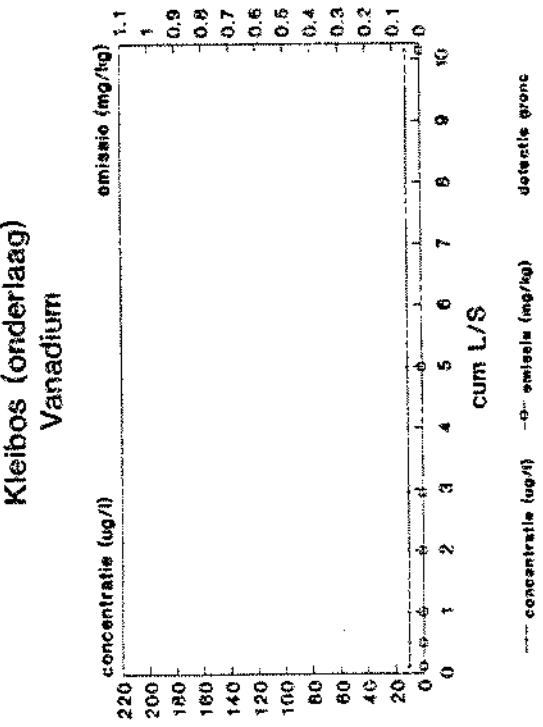
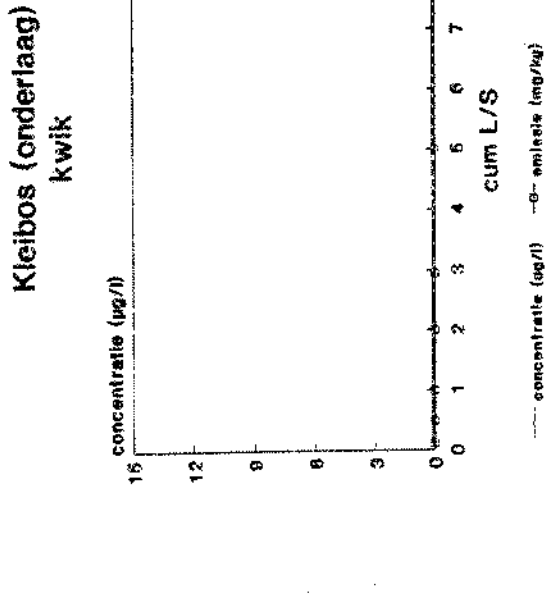
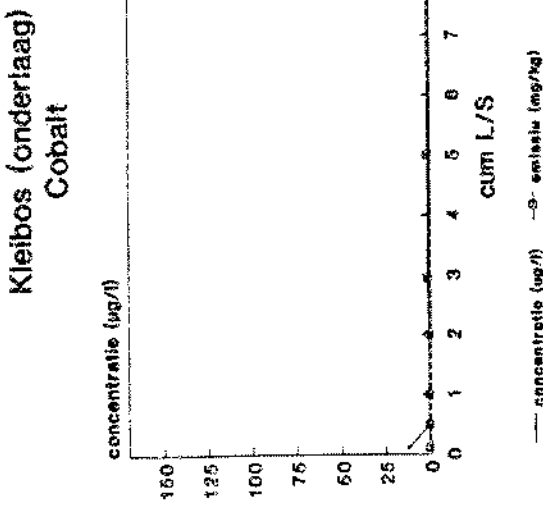
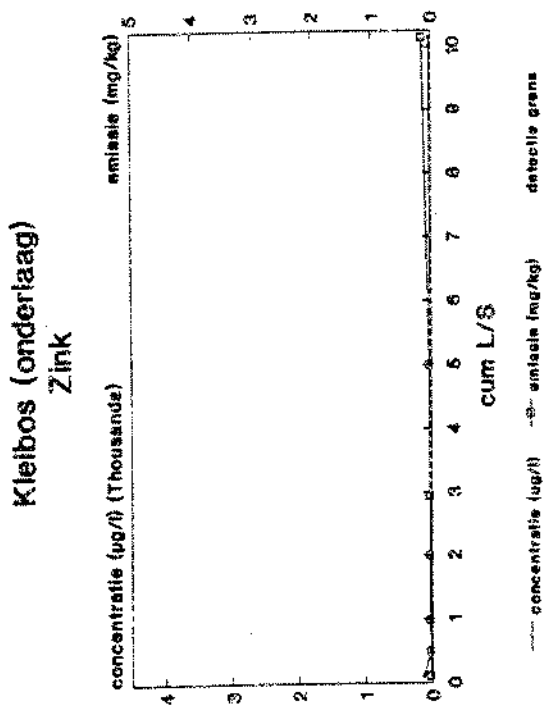
### Kleibos (onderlaag) Tin



— concentratie (ug/l) —○— emissie (mg/kg) detectie grens

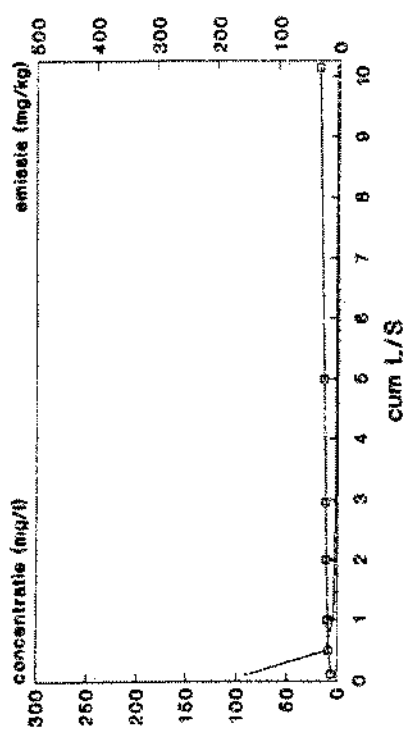
— concentratie (ug/l) —○— emissie (mg/kg) detectie grens

— concentratie (ug/l) —○— emissie (mg/kg) detectie grens



### Kleibos (onderlaag)

Calcium

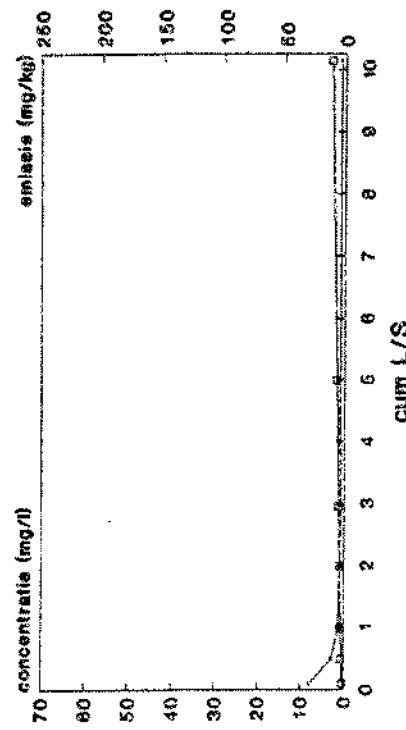


— concentratie (mg/l)    -o- emissie (mg/kg)

detectie grens

### Kleibos (onderlaag)

Kalium

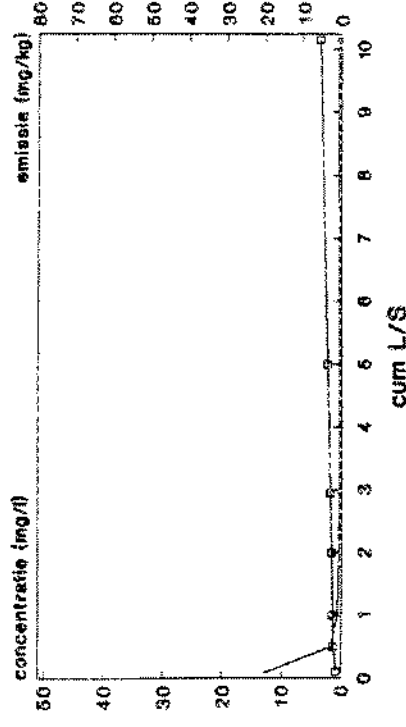


— concentratie (mg/l)    -o- emissie (mg/kg)

detectie grens

### Kleibos (onderlaag)

Magnesium

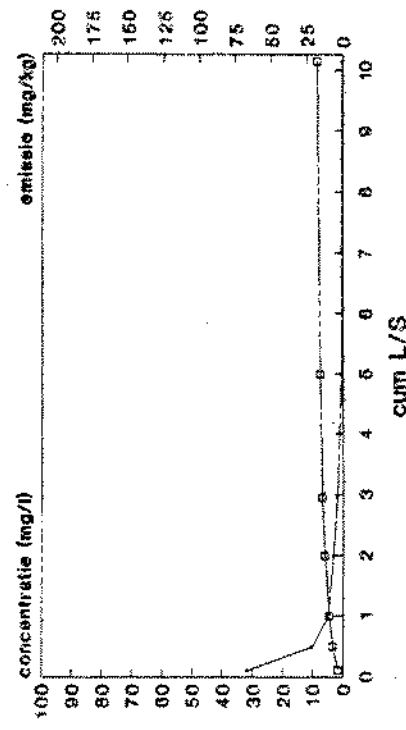


— concentratie (mg/l)    -o- emissie (mg/kg)

detectie grens

### Kleibos (onderlaag)

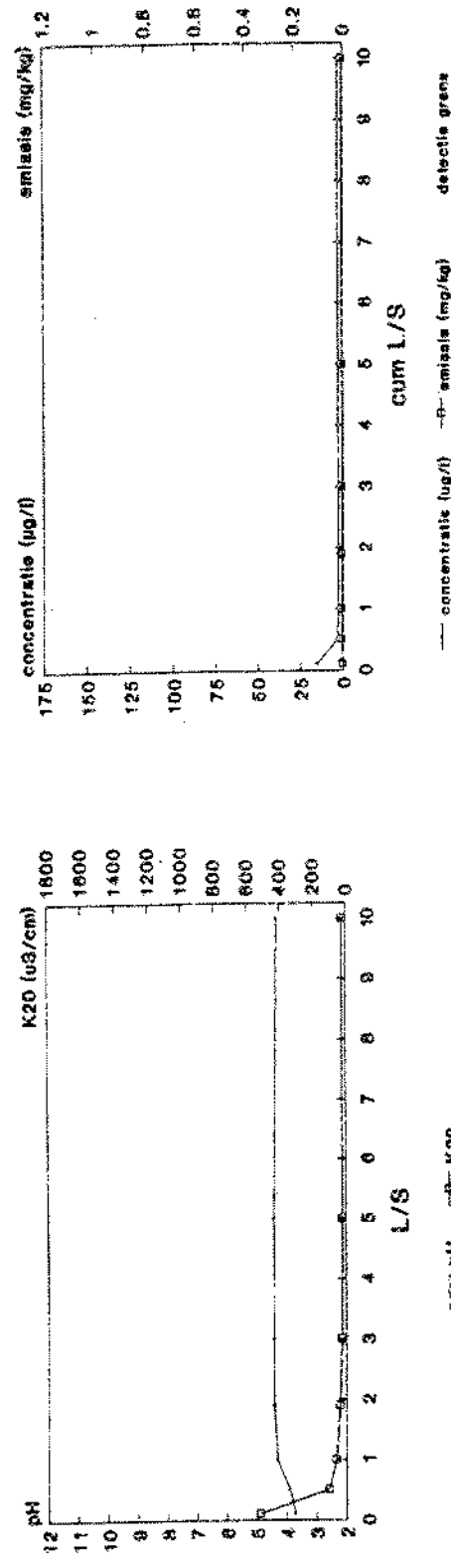
Natrium



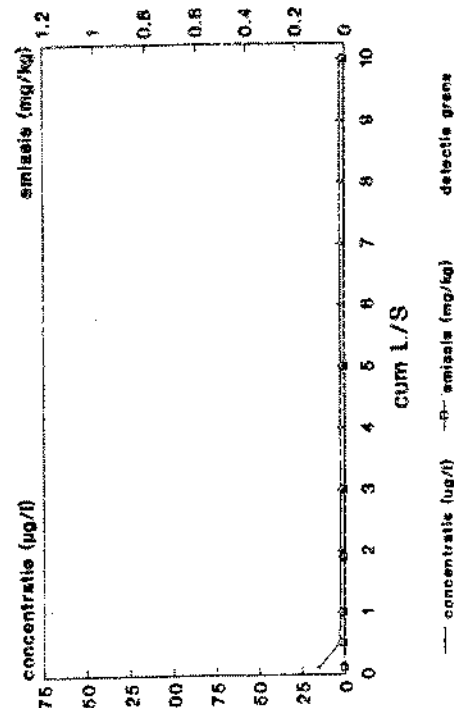
— concentratie (mg/l)    -o- emissie (mg/kg)

detectie grens

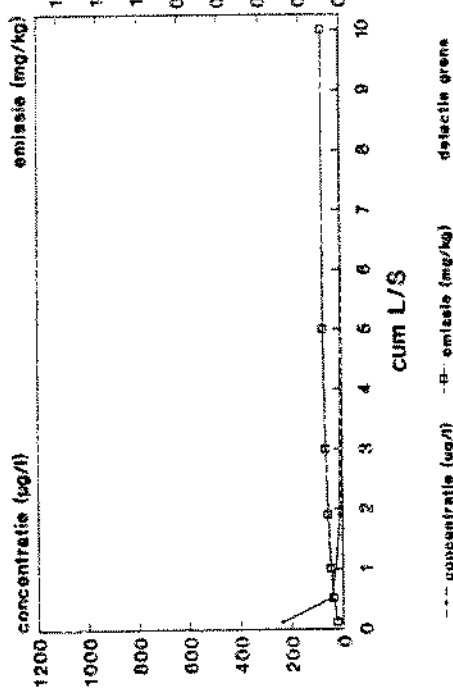
### Norgerholt (onderlaag) pH en K20



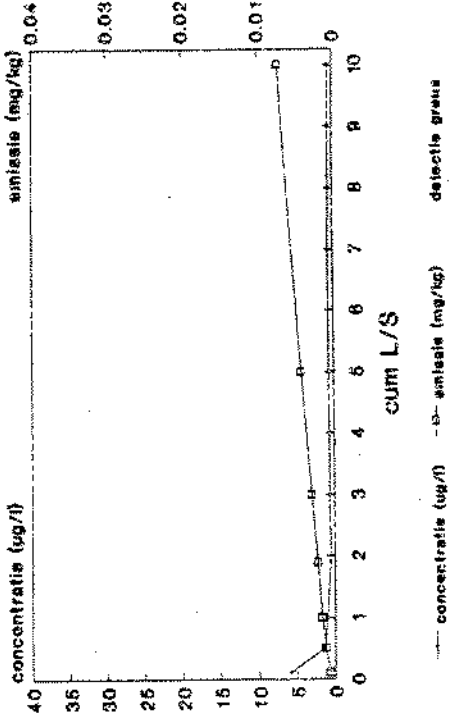
### Norgerholt (onderlaag) Arsseen



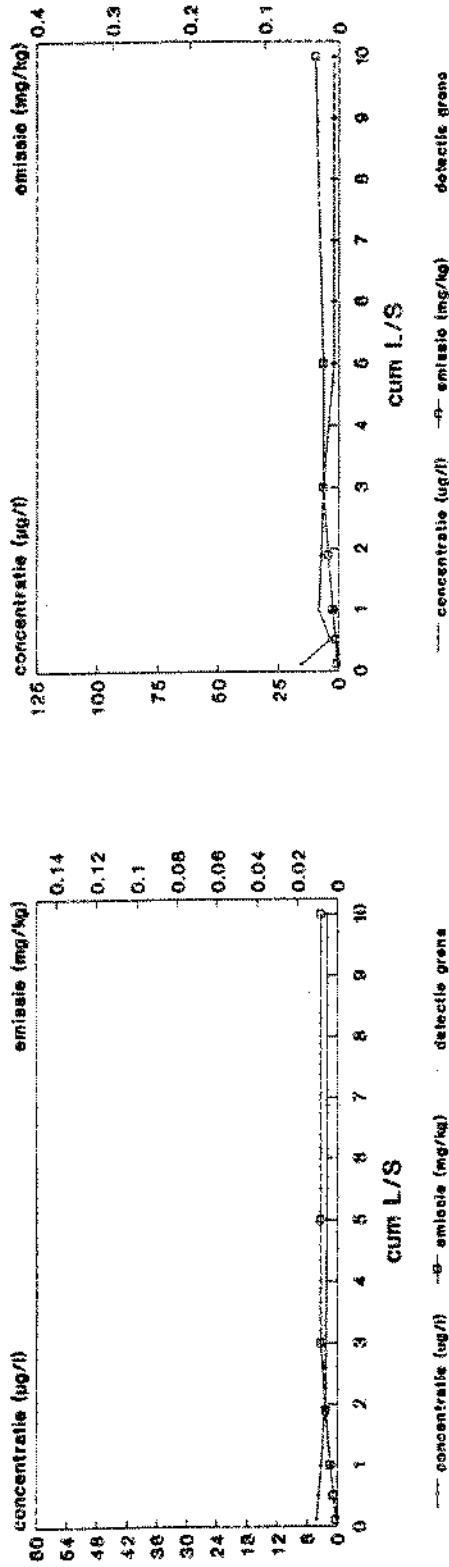
### Norgerholt (onderlaag) Barium



### Norgerholt (onderlaag) Cadmium



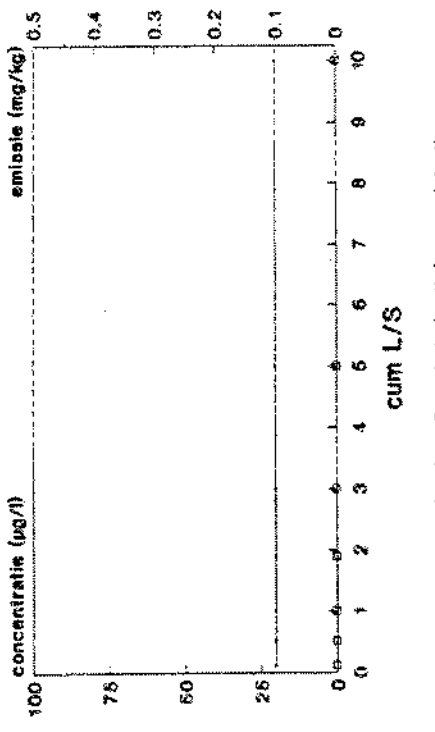
### Norgerholt (onderlaag) Chroom



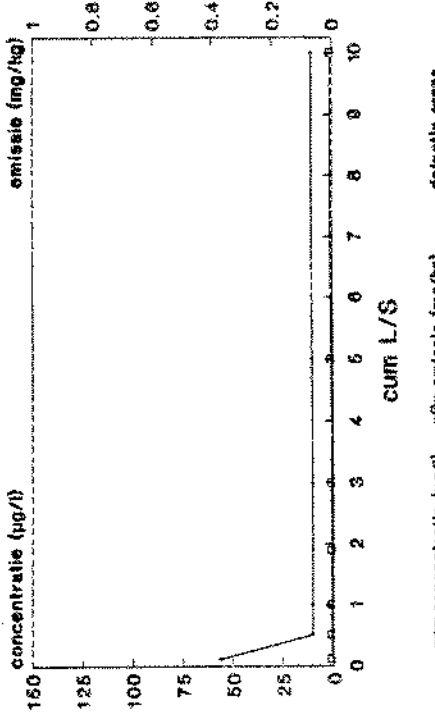
### Norgerholt (onderlaag) Koper



### Norgerholt (onderlaag) Molybdeen

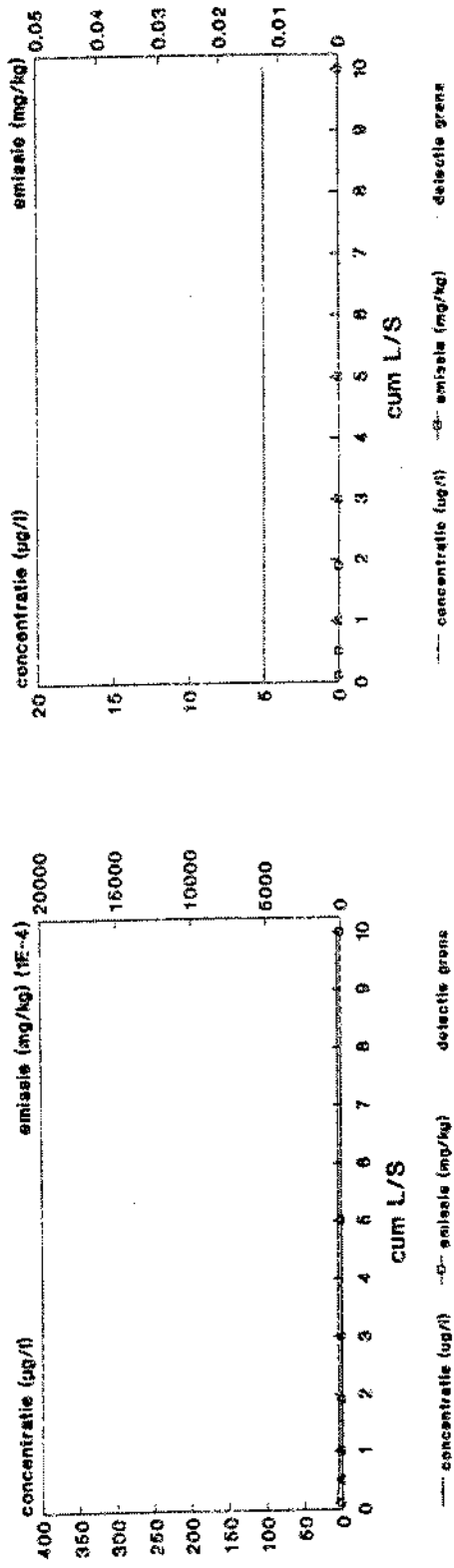


### Norgerholt (onderlaag) nikkel

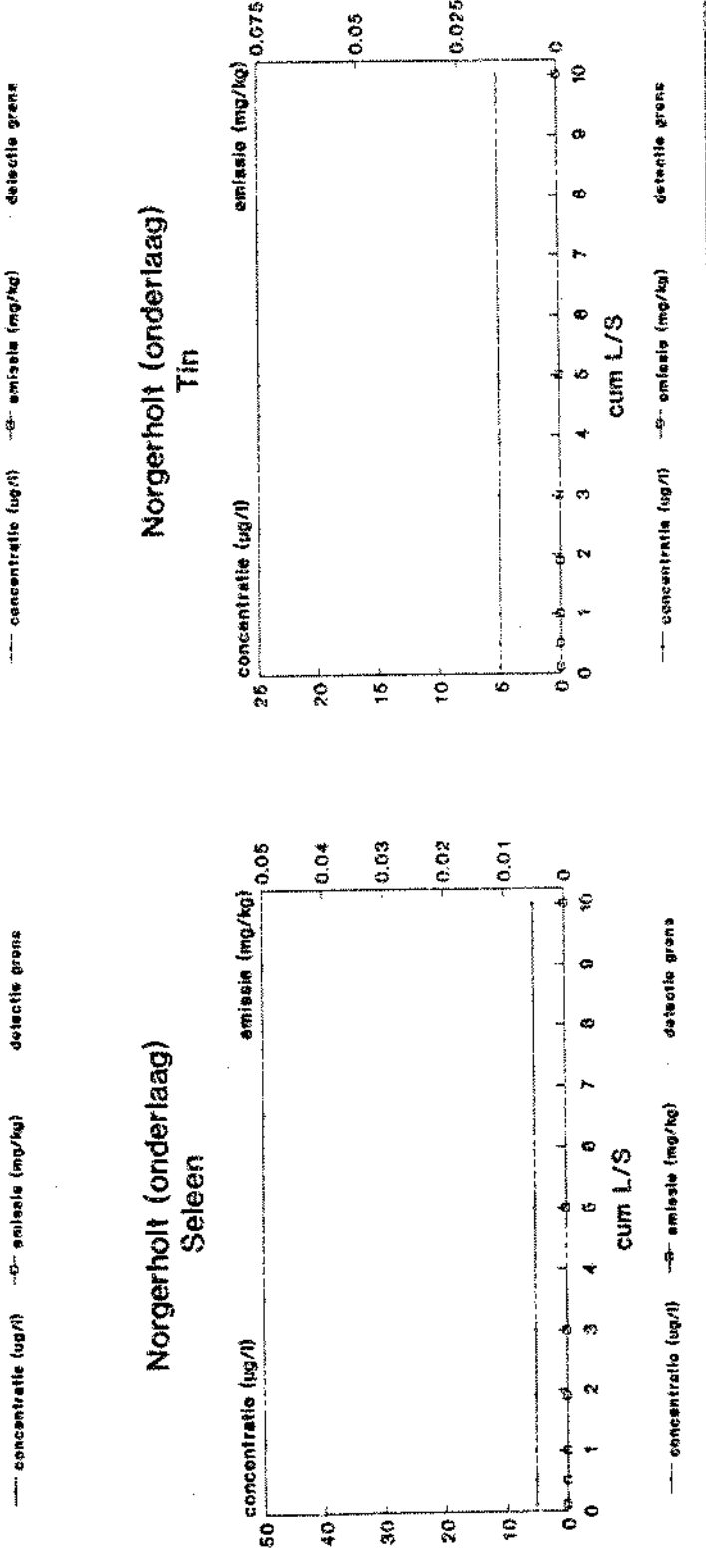


detectie grens

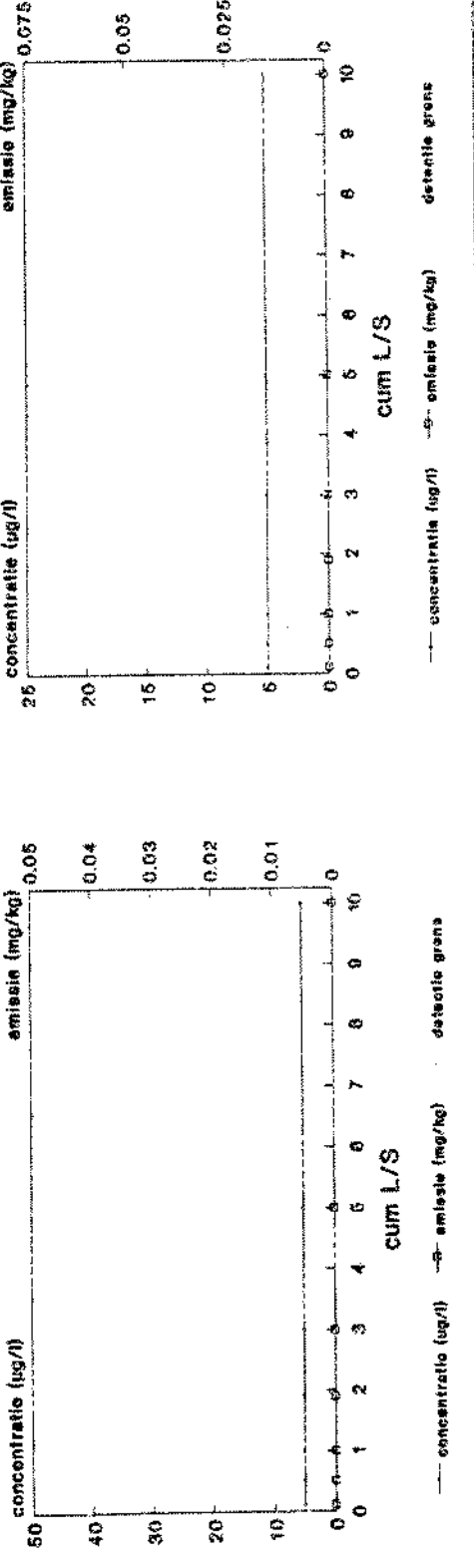
### Norgerholt (onderlaag) lood



### Norgerholt (onderlaag) antimoon

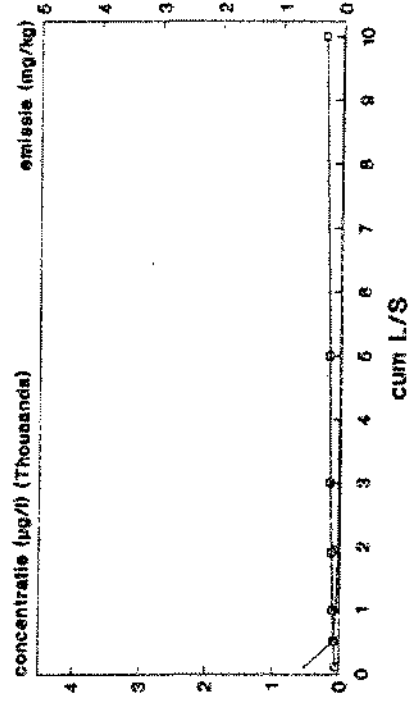


### Norgerholt (onderlaag) Selen



### Norgerholt (onderlaag) Tin

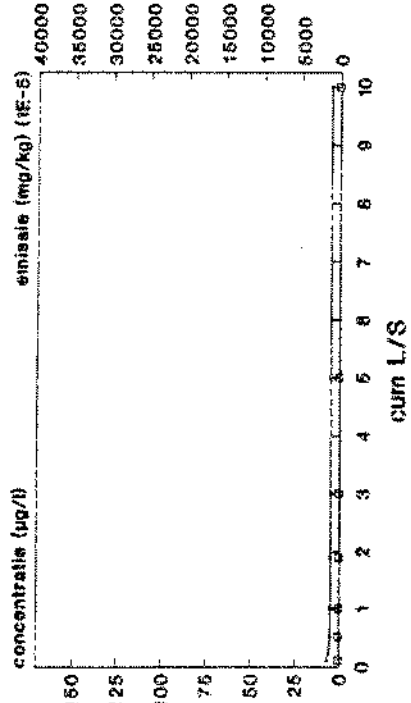
### Norgerholt (onderlaag) Zink



— concentratie (ug/l) —  
detectie grens (mg/kg)

— concentratie (ug/l) —  
detectie grens (mg/kg)

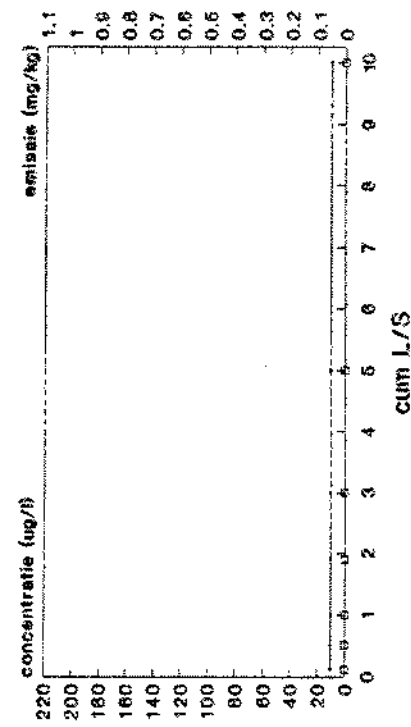
### Norgerholt (onderlaag) Cobalt



— concentratie (ug/l) —  
detectie grens (mg/kg)

— concentratie (ug/l) —  
detectie grens (mg/kg)

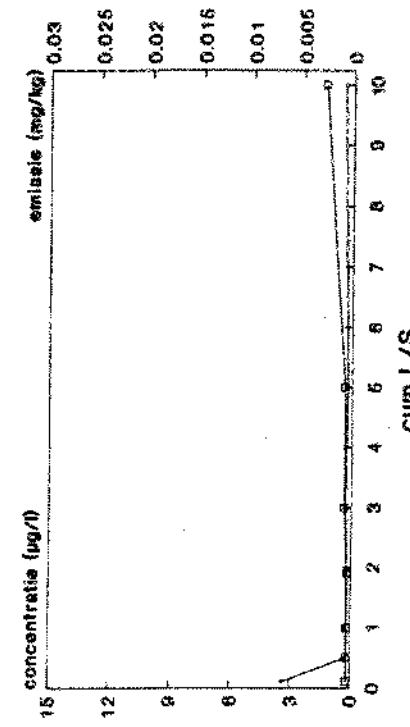
### Norgerholt (onderlaag) Kwik



— concentratie (ug/l) —  
detectie grens (mg/kg)

— concentratie (ug/l) —  
detectie grens (mg/kg)

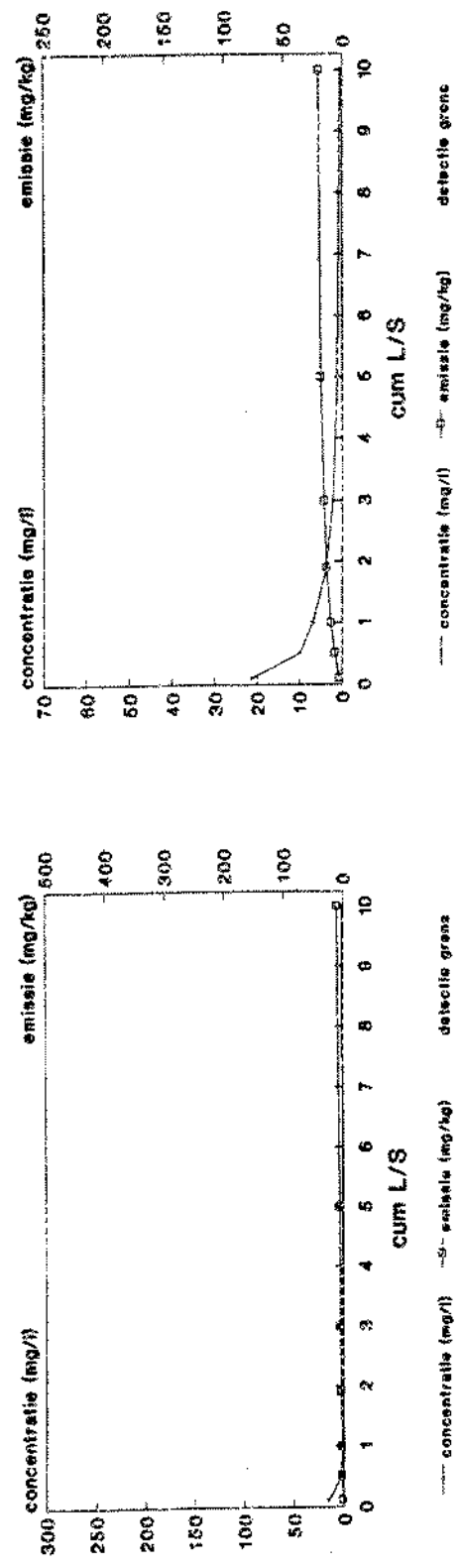
### Norgerholt (onderlaag)



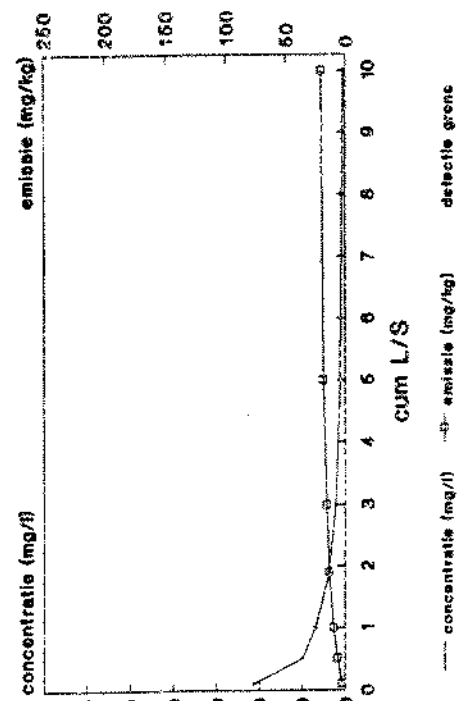
— concentratie (ug/l) —  
detectie grens (mg/kg)

— concentratie (ug/l) —  
detectie grens (mg/kg)

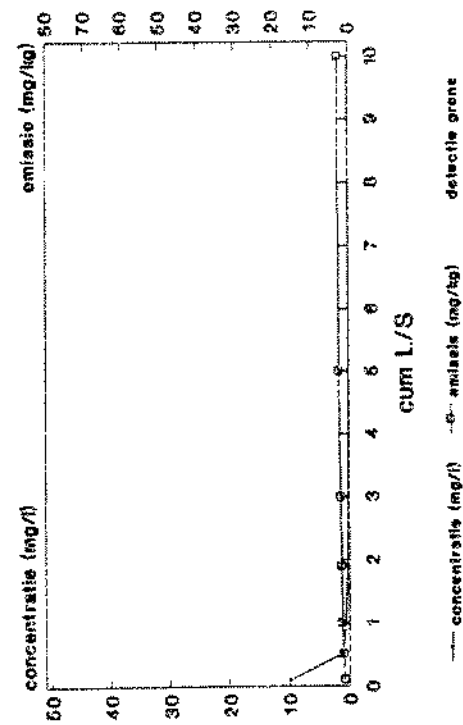
### Norgerholt (onderlaag) Calcium



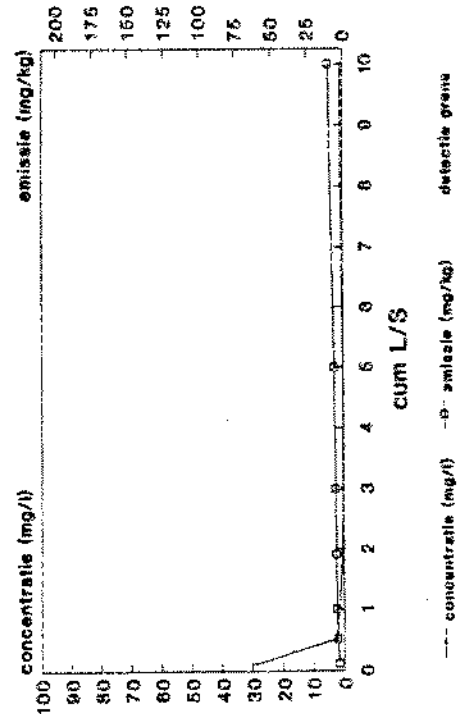
### Noregrholt (onderlaag) Kalium



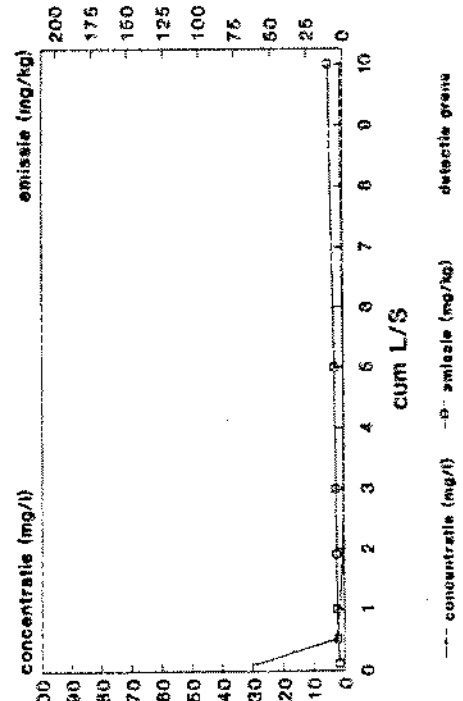
### Norgerholt (onderlaag) Magnesium



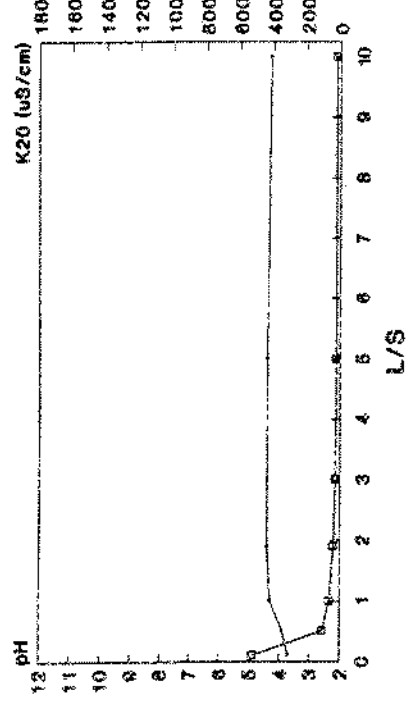
### Noregrholt (onderlaag) Natrium



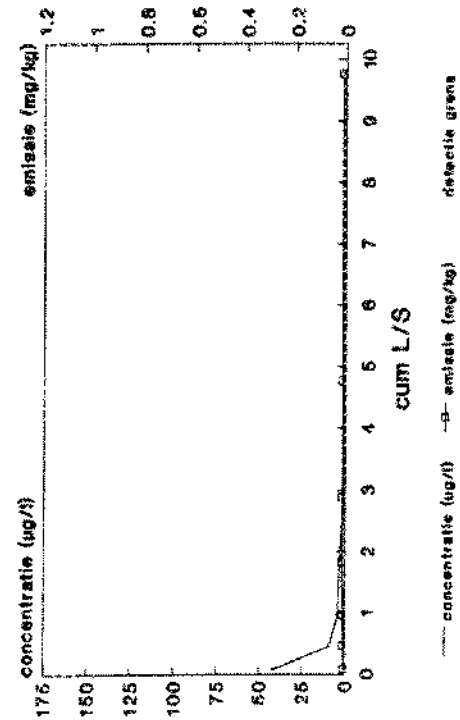
### Norgerholt (onderlaag) detectie grens



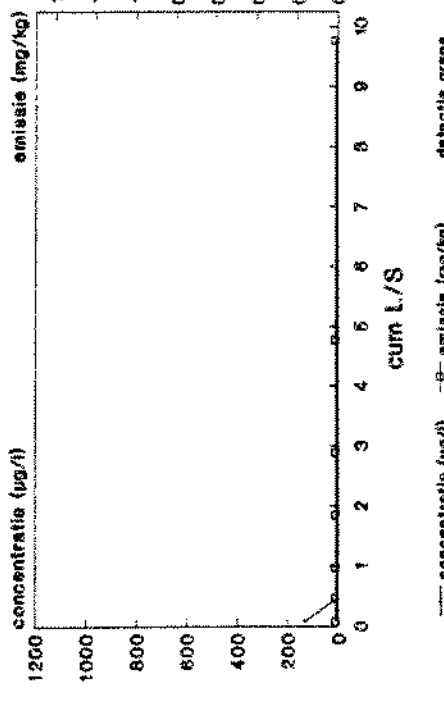
### Het Wildrijk (onderlaag) pH en K2O



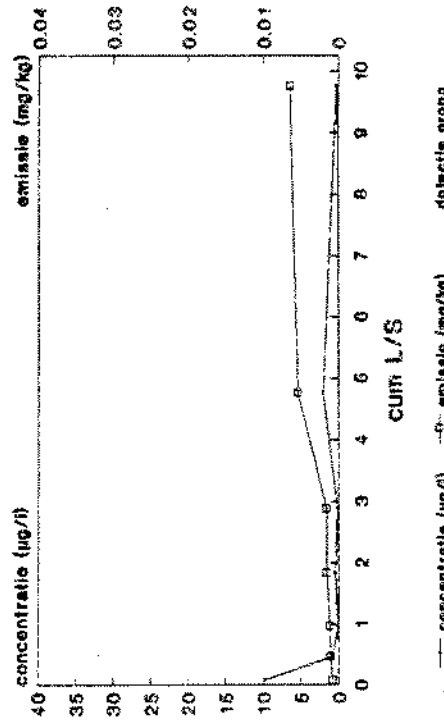
### Het Wildrijk (onderlaag) Arsseen



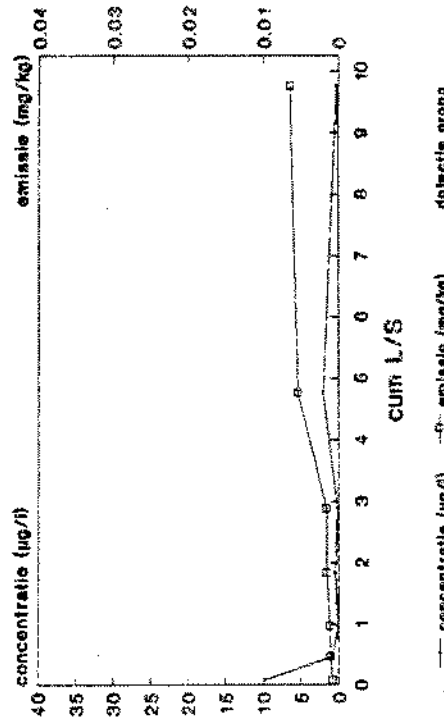
### Het Wildrijk (onderlaag) Barium



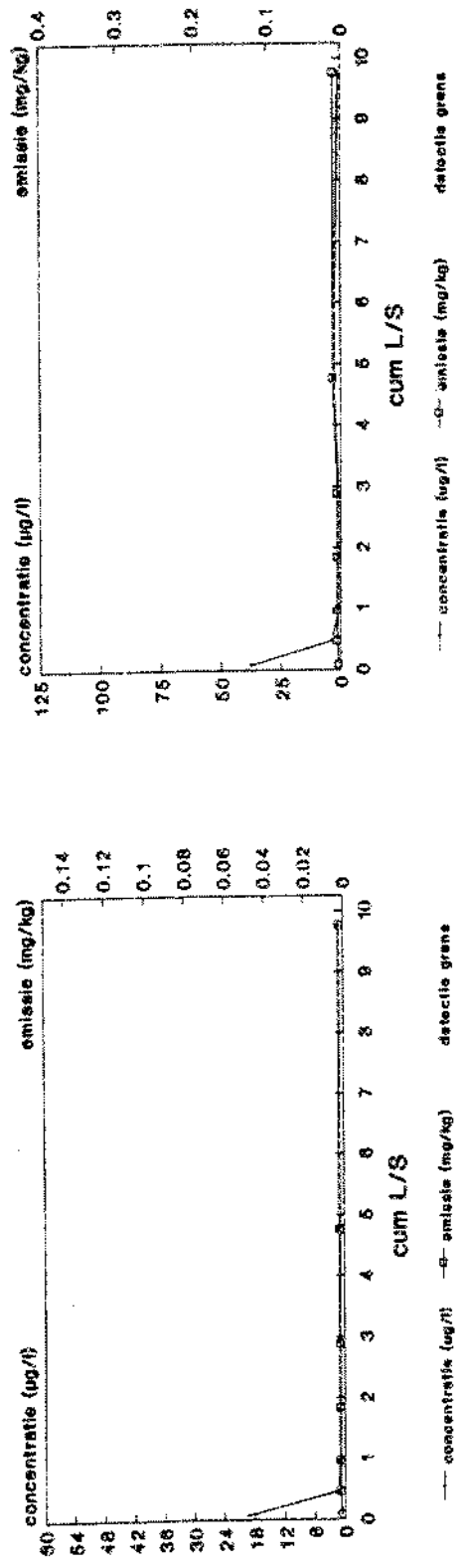
### Het Wildrijk (onderlaag) Cadmium



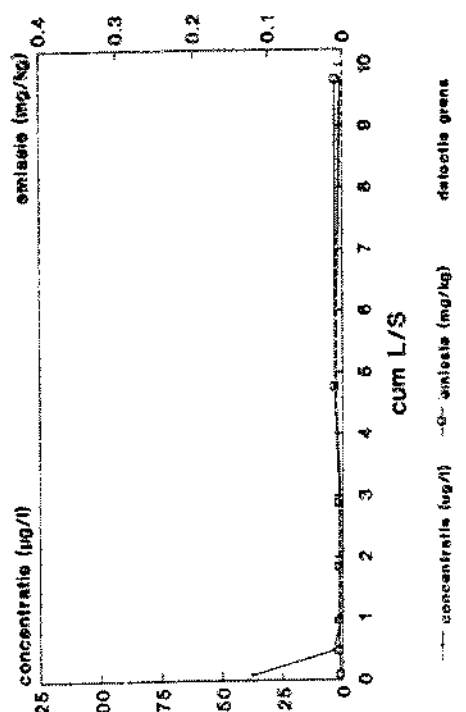
### Het Wildrijk (onderlaag) Arsseen



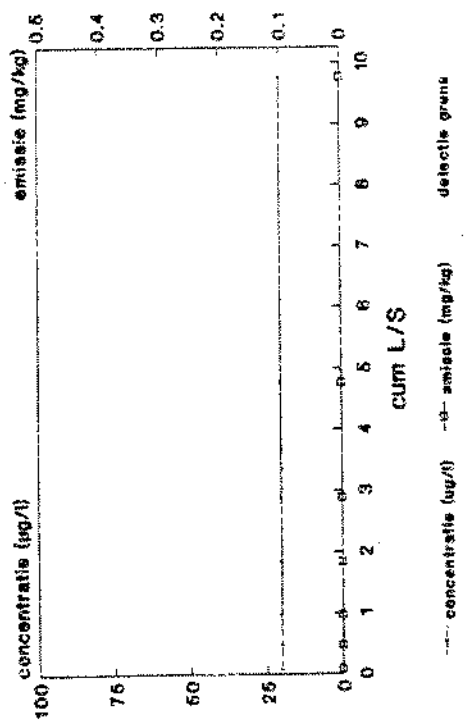
### Het Wildrijk (onderlaag) Chroom



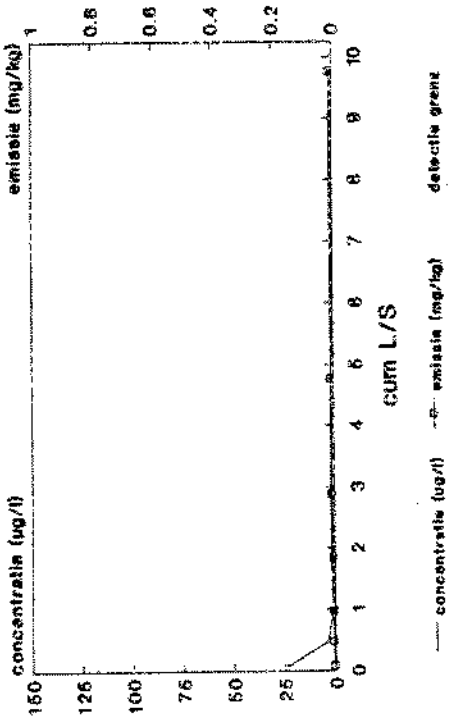
### Het Wildrijk (onderlaag) Koper



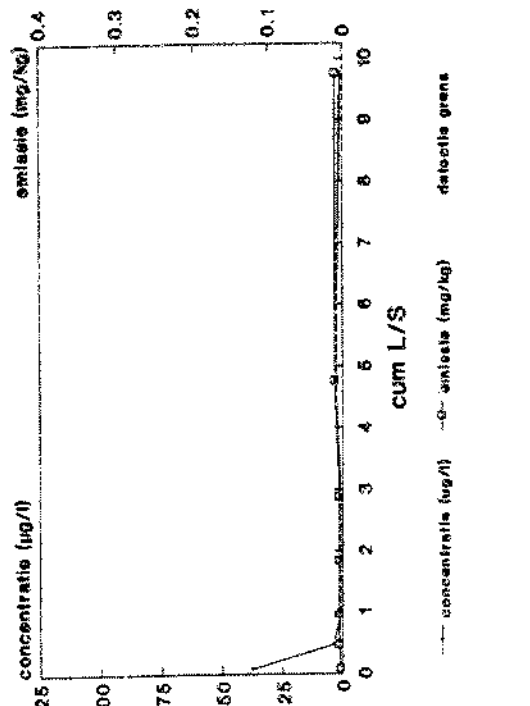
### Het Wildrijk (onderlaag) Molybdeen



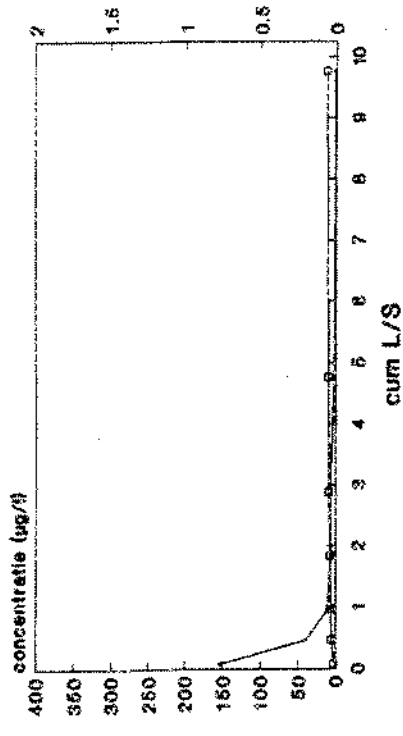
### Het Wildrijk (onderlaag) nikkel



### Het Wildrijk (onderlaag)



### Het Wildrijk (onderlaag) lood

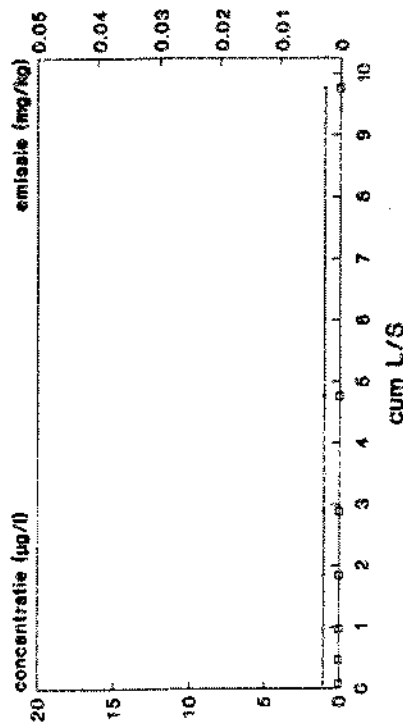


— concentratie (ug/l)    -o- emissie (mg/kg)    detectie grens

— concentratie (ug/l)    -o- emissie (mg/kg)    detectie grens

concentratie (ug/l)    -o- emissie (mg/kg)    detectie grens

### Het Wildrijk (onderlaag) antimoon

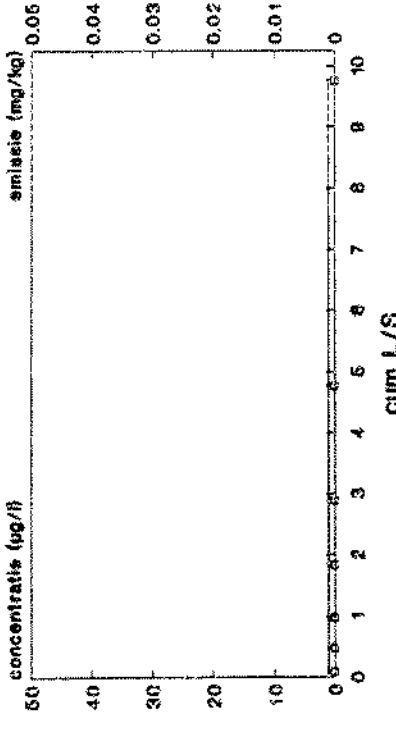


— concentratie (ug/l)    -o- emissie (mg/kg)    detectie grens

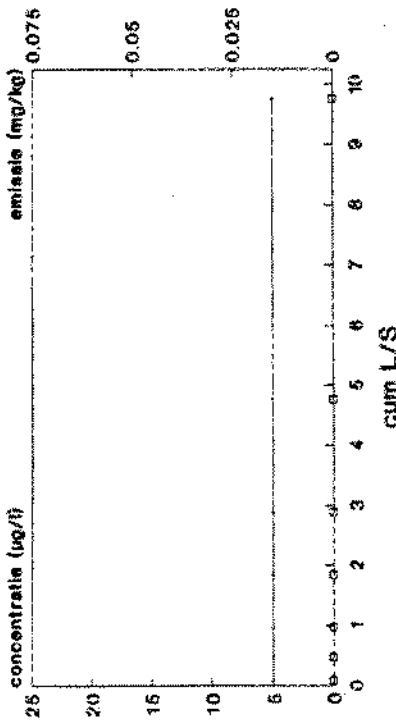
— concentratie (ug/l)    -o- emissie (mg/kg)    detectie grens

concentratie (ug/l)    -o- emissie (mg/kg)    detectie grens

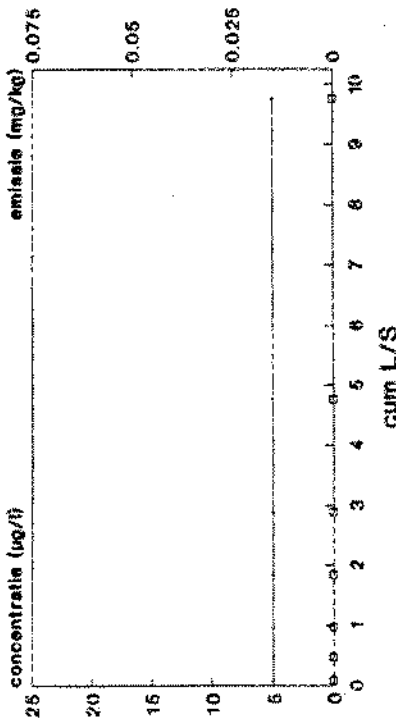
### Het Wildrijk (onderlaag) Selenen



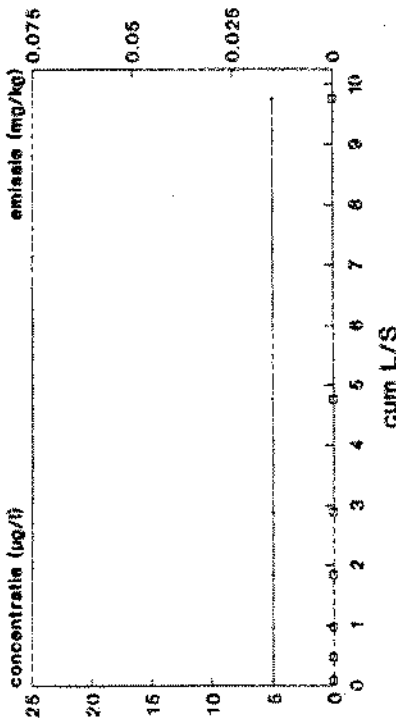
### Het Wildrijk (onderlaag) Tin



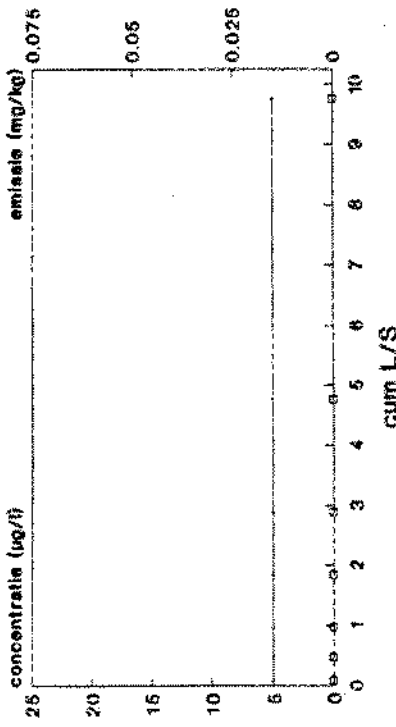
### Het Wildrijk (onderlaag)



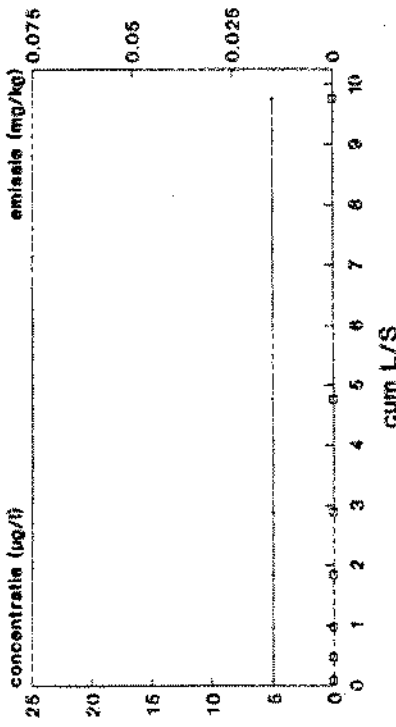
### Het Wildrijk (onderlaag)



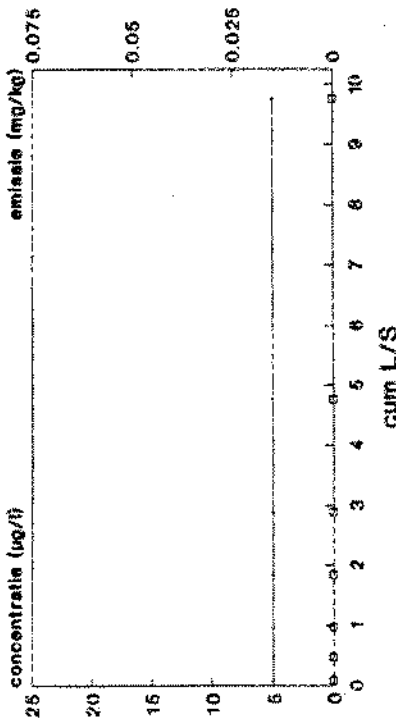
### Het Wildrijk (onderlaag)



### Het Wildrijk (onderlaag)

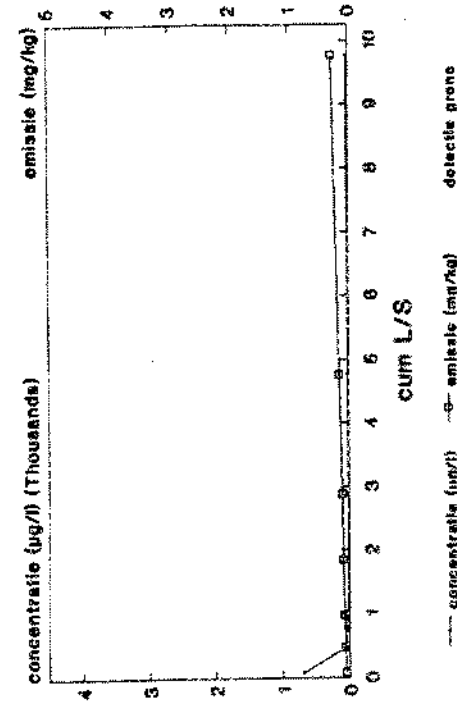


### Het Wildrijk (onderlaag)

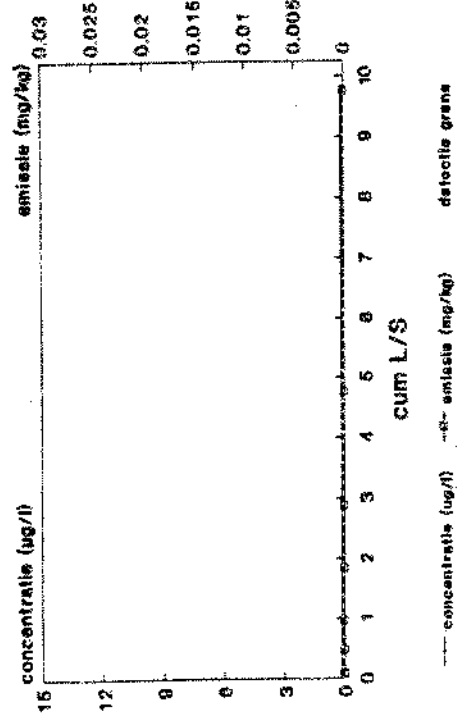


### Het Wildrijk (onderlaag)

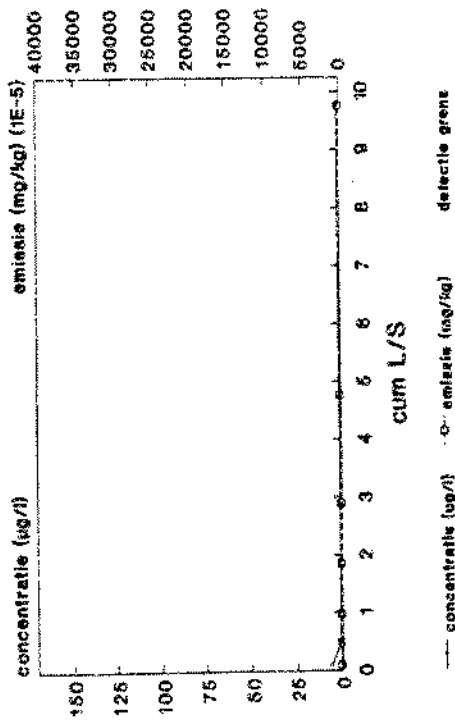
### Het Wildrijk (onderlaag) Zink



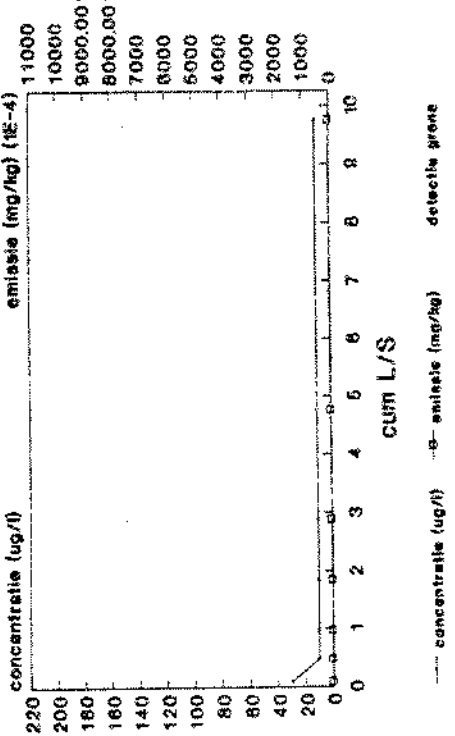
### Het Wildrijk (onderlaag) Kwikk



### Het Wildrijk (onderlaag) Cobalt



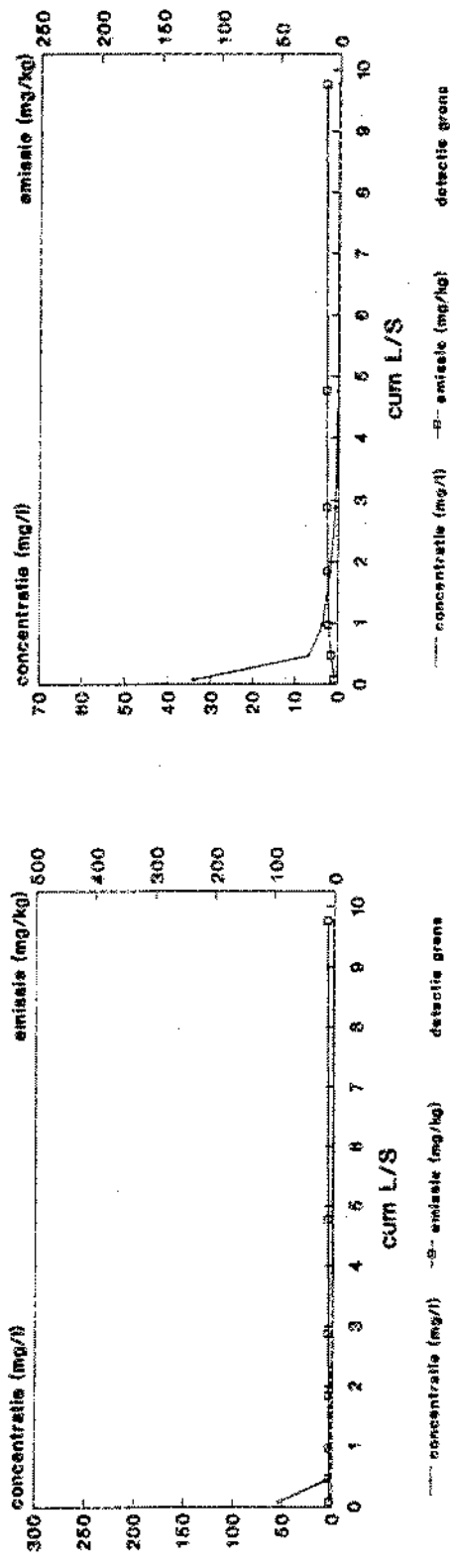
### Het Wildrijk (onderlaag) Vanadium



© 1997 Stichting voor de Toepassing van de Geowetenschappen en de Mijnbouw (STG) en de Nederlandse Organisatie voor toegepast-natuurkundige onderzoeken (TNO). Alle rechten voorbehouden.

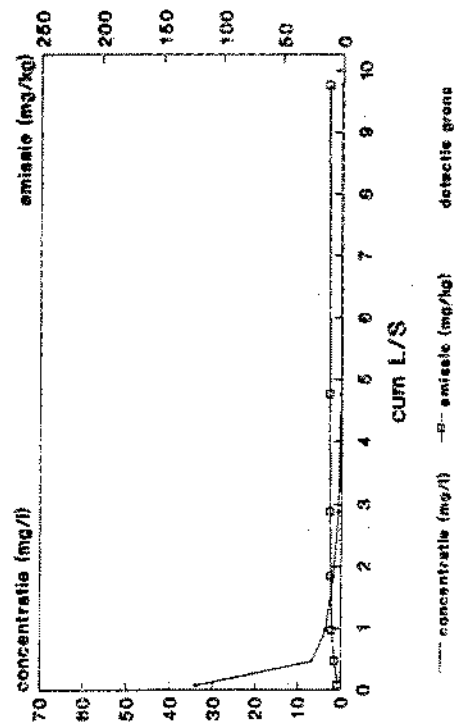
### Het Wildrijk (onderlaag)

#### Calcium



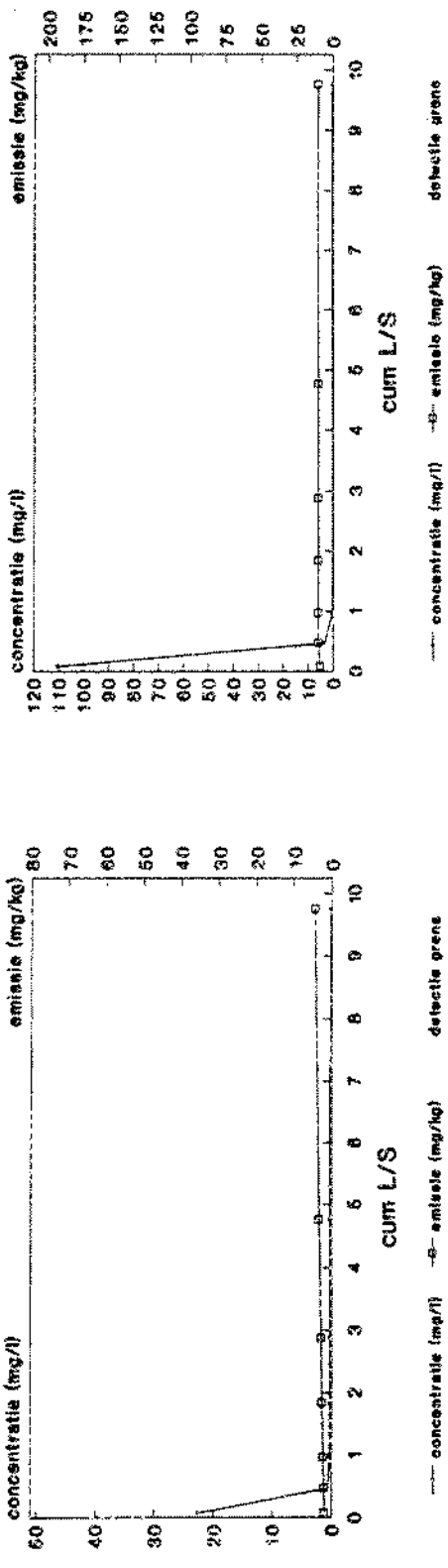
### Het Wildrijk (onderlaag)

#### Kalium



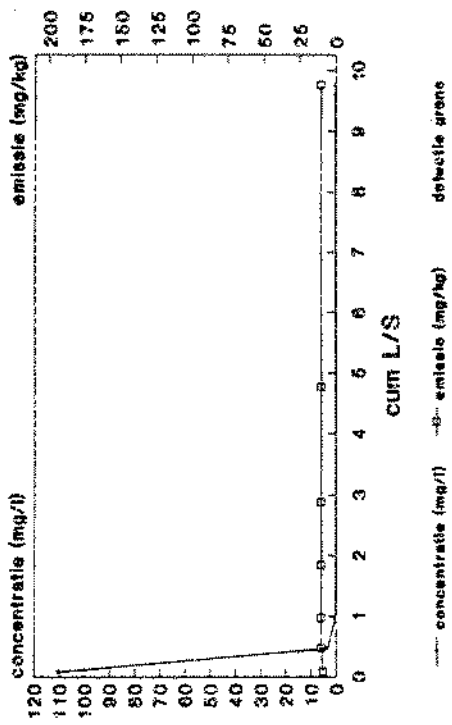
### Het Wildrijk (onderlaag)

#### Magnesium



### Het Wildrijk (onderlaag)

#### Natrium



BIJLAGE III: Maximaal gemeten concentraties met bijbehorende L/S waarde

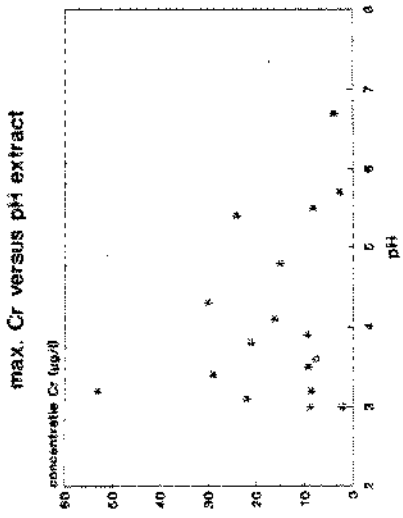
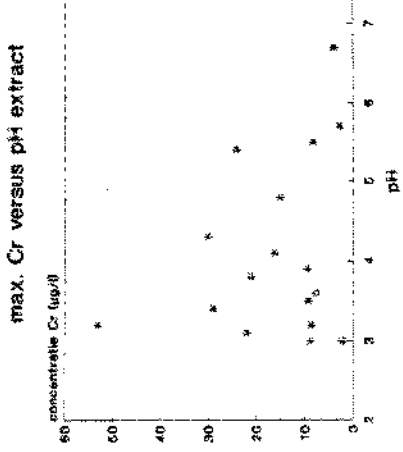
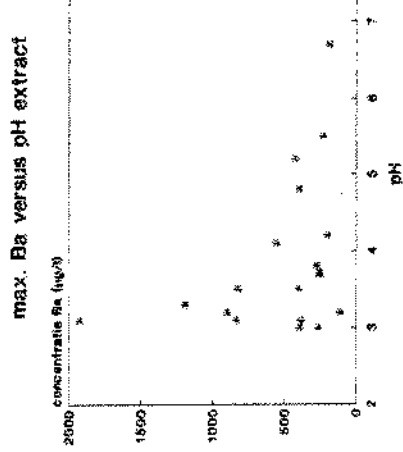
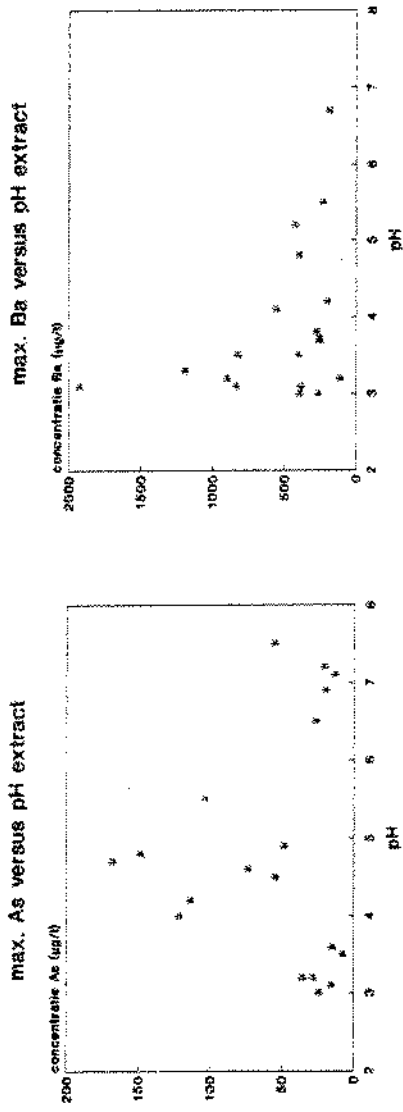
As	Ba		Cd		Cr		Cu		Mn		Ni		Pb		Sb		Se			
	conc. µg/l	L/S	conc. µg/l	L/S	conc. µg/l	L/S	conc. µg/l	L/S												
Duin en Kruidberg	55	16	179	0.1	2.3	0.1	3.6	0.1	35	0.1	< 20	19	0.1	20	0.1	< 5	--	5.3	3	
Het Wildrijk	7	0.1	39	0.1	2.6	0.1	7.3	0.5	82	0.1	23	3	25	0.1	130	0.5	< 5	< 5	--	
Drunense heide	35	0.5	89	0.1	7.4	0.1	53	0.1	110	0.1	< 20	--	47	0.1	150	0.1	16	0.1	< 5	
Norgerholt	14	2	83	0.1	3.2	0.1	9.1	0.5	120	0.1	95	10	30	0.1	140	0.5	< 5	< 5	--	
Spelderholt	54	10	379	2	21	0.1	22	0.1	65	0.1	< 20	--	78	0.1	100	0.1	8.6	0.1	6.4	
Eerachterbrug	26	0.1	259	0.1	11	0.1	2.1	0.1	62	0.1	< 20	--	41	0.1	130	0.1	< 5	--	12	
Fochteloevrveen	15	0.1	192	0.1	14.4	0.1	28.8	0.5	32	0.1	< 20	--	17	0.1	21	0.1	< 3	< 5	--	
Filosoefendal	48	10	254	0.1	6.2	0.1	16	0.5	53	0.1	< 20	--	55	0.1	82	0.1	8.5	0.5	< 5	
Harense Wildernis	113	3	247	0.1	6.5	0.1	30	3	48	0.1	< 20	--	66	3	400	2.1	< 5	--	21	
Herneze bos	28	0.5	107	0.1	4.9	0.1	8.5	0.1	38	0.5	< 20	--	42	0.1	85	0.5	6.1	0.1	< 5	
Middachten	121	10	390	0.1	20	0.1	8.6	0.1	67	1	< 20	--	110	0.1	180	1.5	0.1	0.1	5	
Korenburgerveten	167	5	55	0.1	5.3	0.1	< 2	--	32	0.1	< 20	--	13	0.1	64	3	< 5	< 5	--	
Het Kleibos	73	10	82	0.5	2.3	0.5	9.3	1	57	0.1	< 20	--	22	0.1	56	2.3	< 5	< 11	0.1	
Bibos	148	10	1189	0.1	39	0.1	< 2	--	49	0.1	< 20	--	32	0.5	220	1.5	13	0.1	14	
Zegveld	103	10	272	0.1	7.2	1.5	21	0.1	50	0.1	< 20	--	94	0.1	140	5	7.6	0.1	40	
Lettelberter Petten	26	10	194	0.1	5.0	0.1	24	3	21	2	< 20	--	150	2.5	23	2	< 5	< 5	--	
Beverweert	20	10	417	0.1	2.9	0.1	2.6	0.5	51	2.1	< 20	--	63	0.1	9	0.1	< 3	< 5	--	
Tinschoten	19	10	391	0.1	4.6	0.1	15	0.1	81	0.1	< 20	--	104	0.1	13	0.1	< 3	< 9	0.1	
Fendekooi 't Brook	13	10	227	0.5	3.0	0.1	8.1	0.1	95	0.1	< 20	--	64	0.1	17	0.1	< 3	< 17	0.5	
Het Wildrijk	(o)	4	0.1	129	0.1	9.9	0.1	19	0.1	38	0.1	< 20	--	23	0.1	153	0.1	< 1	< 1	--
Drunense heide	(o)	18	0.1	549	0.1	15	0.1	17	0.1	4.5	0.1	< 20	--	44	0.1	23	0.5	< 1	< 1	--
Norgerholt	(o)	15	0.1	236	0.1	5.8	0.1	4	0.1	15	0.1	< 20	--	56	0.1	8	0.1	< 5	< 5	--
Filosoefendal	(o)	1.7	0.1	259	0.1	7.1	0.1	5.2	0.1	25	0.1	< 20	--	35	0.1	27	0.1	< 1	< 2.2	0.1
Het Kleibos	(o)	< 3	--	428	0.1	7.9	0.1	1.3	0.1	6.6	0.1	< 20	--	21	0.1	10	0.1	< 3	< 5	--
Beverweert	(o)	3.7	0.1	140	0.1	0.4	2	< 1	--	2.7	1.6	< 20	--	7	0.4	< 3	< 3	< 14	0.4	

## Vervolg Biljage III

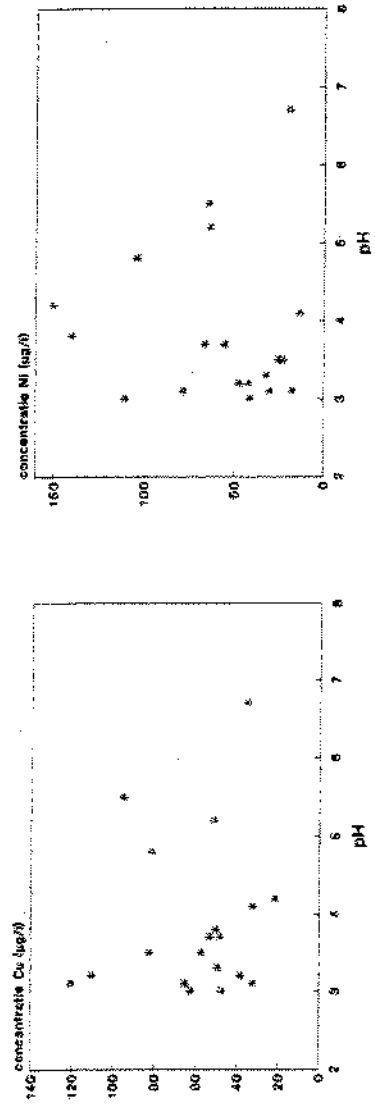
Sn conc. µg/l	Zn conc. L/S µg/l	Hg conc. L/S µg/l	Co		V conc. L/S µg/l	Ca conc. L/S mg/l	K conc. L/S mg/l	Mg conc. L/S mg/l	Na conc. L/S mg/l
			L/S	µg/l					
Duin en Kruidberg	< 5	205	0.1	0.5	0.1	8	0.5	< 10	---
Het Wildrijk	7	219	0.1	1.5	0.1	< 5	---	248	0.1
Drunense Heide	8.2	711	0.1	3.1	0.1	< 5	0.1	22	0.1
Norgerholt	< 5	521	0.1	1.0	0.1	< 5	---	65	0.1
Spelderholt	< 5	1283	0.1	0.4	5	17	0.1	20	0.1
Eeracherbroek	9.2	874	0.1	< 0.2	---	7	0.1	32	0.1
Fochtevoorveen	< 5	348	0.1	< 0.1	---	4.2	0.1	20	0.1
Filosoefendaal	< 5	611	0.1	5.3	10	33	0.1	15	0.1
Harense Wildernis	5.9	1013	2	4.4	0.1	9	2	23	0.1
Herhese bos	< 5	509	0.1	0.2	1	9	0.1	30	0.1
Middachten	< 5	1080	0.1	0.3	5.5	25	0.1	56	0.1
Korenburgerveen	< 5	420	0.1	14	5	< 5	0.1	51	0.1
Het Kleibos	6	599	1	2.9	10	5	0.1	52	0.1
Bibos	< 5	4016	0.1	5.5	5	168	0.1	39	0.1
Zegveld	< 5	391	0.1	3.9	0.15	10	1/5	126	0.1
Letteleberter Patten	< 5	273	0.1	4.4	5	46	5	84	0.1
Beverweert *	< 5	88	0.1	< 0.1	---	25	< 10	189	0.1
Linschoten	5.1	69	0.5	< 0.1	---	16	0.1	116	0.1
Eendenkooi 't Brabek	< 5	49	1	< 0.1	---	19	0.1	175	0.1
Het Wildrijk	(o)	680	0.1	< 0.1	---	6	0.1	114	0.1
Drunense Heide	(o)	899	0.1	< 0.1	---	10	0.1	53	0.1
Norgerholt	(o)	505	0.1	3.4	0.1	6.3	0.1	13	0.1
Filosoefendaal	(o)	191	0.1	< 0.1	---	44	0.1	< 10	---
Het Kleibos	(o)	124	0.1	< 0.1	---	12	0.1	38	0.1
Beverweert *	(o)	7	4	< 0.1	---	1.6	0.4	< 10	---
								89	0.1
								291	0.4
								2.0	0.4
								50	0.4
								0.4	0.4

\* = afwijkende L/S waarden

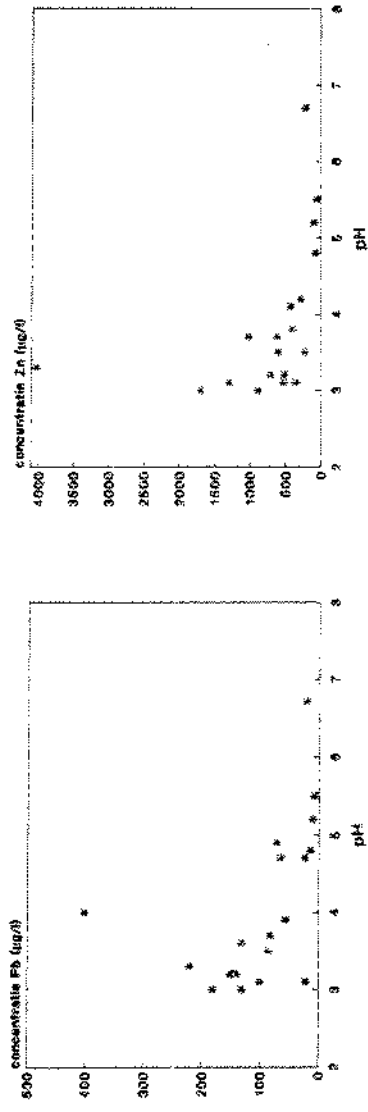
**BLIJAGE IV: Maximaal concentratie versus pH**



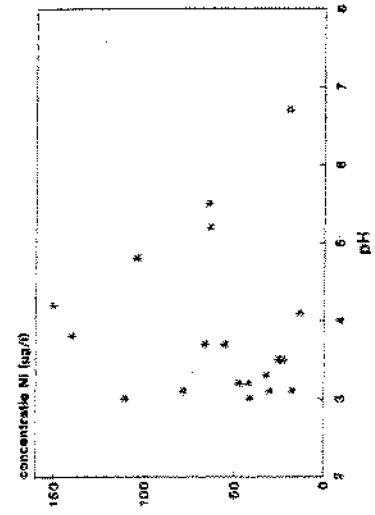
max. Cu versus pH extract



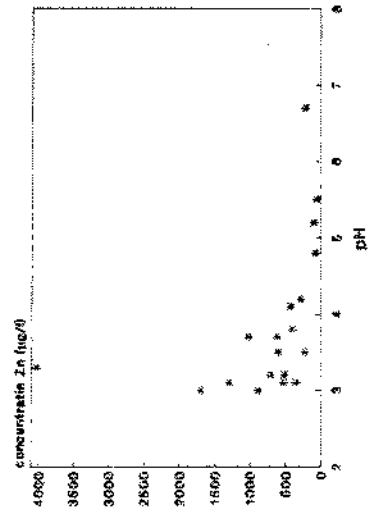
max. Pb versus pH extract



max. Ni versus pH extract



max. Zn versus pH extract



BIJLAGE V: Tabel 1. Percentuele uitloping kalomproef t.o.v. samenstelling (koningswater)

AS	Ba	Ca	Cd	Co	Cr	Cu	K	Mg	Mo	Na	Ni	Pb	Sb	Se	Sn	V	Zn	Hg
Duin en Kruisberg	5	2	13	1.6-2.1	1.8-4	0.03-0.4	1.8	13	9	n.b.	17	0.2-3	0.2	n.b.	0-3	0-1.3	1.1	0.7-1
Het Wildrik	2	0.4-1.7	3	3-10	n.b.	0.6-2	15	18	4	n.b.	67	3-33	1.5	n.b.	2-5	0.3-3	n.b.	8
Drunense heide	2	0.5-1.2	5	n.b.	0.17	3	51	8	1.7	n.b.	15	1-9	3	n.b.	6-7	1.4-4	4	1.1-4
Norgerholt	5	2.1-2.4	8	6-15	n.b.	1.8	6	30	8	n.b.	36	5-18	2	n.b.	0-4	0.6-3	82	3
Spelderholt	7	17	7	6-7	0.8-10	1.4	7	7	1.8	n.b.	11	0.9-4	1.6	n.b.	0-3	1.1-2	4	0.7-1.5
Eerachterbroek	13	2	10	7-9	n.b.	0.01-0.9	3	9	5	n.b.	18	4-12	2	n.b.	12-13	0.7-5	10	0-1.4
Fochtelooërveen	2	2	8	2-6	n.b.	3	4	9	6	n.b.	22	0.7-5	1.3	n.b.	0-5	0.2-3	6	0-0.5
Filosofendal	7	1.0	16	1-2	3-8	1.4	8	11	2	n.b.	5	1.2-3	1.2	n.b.	0-2	2	14	21
Harense Wildernis	8	3	11	5	1.4-5	1.7	34	16	n.b.	27	9	n.b.	1.8	n.b.	0-2-3	4	10	1.0
Hernese bos	4	1.3	9	7-10	7-12	0.6-0.8	4	10	3	n.b.	12	1-1.5	1.2	n.b.	0-4	0.7-1.7	3	0.07-1.7
Middachten	11	3	14	11	0.8-3	0.03-0.3	5	14	4	n.b.	11	8	2	n.b.	0-1.0	4	28	0.4-0.9
Korenburgerveen	12	2	7	3	0-4	0-0.2	4	14	5	n.b.	21	0.02-1.4	1.0	n.b.	0-2	3	8	10
Het Kleibos	6	2	12	30	0.06-6	0.4-0.7	3	10	3	n.b.	17	0.9-3	1.4	n.b.	0.9-3	2	23	11
Bibes	5	1.5	18	11	8	0-0.1	3	11	1.5	n.b.	5	0.3-1.1	1.6	n.b.	0-0.5	1.9	6	5
Zegveld	3	1.1	8	1.8	2-3.4	0.5	1.1	6	3	n.b.	43	5	0.6	n.b.	0-0.02	1.3	5	1.5
Letteleberter Patten	24	1.0	12	2.1-2.5	7	0.6	1.2	6	3	n.b.	8	n.b.	n.b.	n.b.	0-0.7	0.9-1.0	1.9	3-4
Beverweert	0.3	0.2	4	0.8-2.5	1.0	0-0.03	0.6	0.6	0.6	n.b.	4	1.0	0.05	n.b.	0-0.2	0-0.2	0.4	0-0.6
Linschoten	0.3	0.2	5	0.5-0.7	0.9	0.1	0.6	0.6	0.8	n.b.	6	1.1	0.05-0.07	n.b.	0.01-0.2	0-0.2	0.3	0-0.3
Eendenkooi 't Broek	0.3	0.3	6	0.05-0.4	1.2	0.06	0.3	0.8	1.0	n.b.	12	0.8	0.02-0.05	n.b.	0-0.2	0-0.2	0.2	0-0.4
Het Wildrik (o)	n.b.	0.2-0.9	17	n.b.	0.4-1.7	n.b.	6	13	n.b.	16	n.b.	5	n.b.	n.b.	n.b.	0.1-5	18	n.b.
Drunense heide (o)	0.08-0.3	10	3	n.b.	0.2-2	0.2-0.2	0.05-1.3	2	0.9	n.b.	3	0.7-8	0.4-0.7	n.b.	0-5	0.05-4	20	0-1.1
Norgerholt (o)	0.08-0.8	1.4-1.5	54	n.b.	0.2-13	0.2-0.5	2-4	7	1.0	n.b.	10	0.4-6	0.06-2	n.b.	0-6	0-1.4	4	4
Filosofendal (o)	0.01-0.5	1.0	n.b.	0.1-3	0.01-0.2	0.01-0.2	5	7	0.6	n.b.	4	0.2-0.4	0.1-0.2	n.b.	0-5	0-1.5	2	0-1.1
Het Kleibos (o)	0-0.4	0.5	4	n.b.	0.1-3	0-0.1	1.1	1.7	0.8	n.b.	5	0.07-0.8	0.02-0.5	n.b.	0-6	0-0.6	0.9	n.b.
Beverweert (o)	0.01	0.06	3	0.7	0-0.07	0-0.07	0.02	0.1	0.5	n.b.	6	0.01-0.02	0-0.05	n.b.	0-0.06	0-0.06	0.01-0.02	0-0.6

(o) = onduidelijk

n.b.= niet te berekenen (samenstelling lager dan detectiegrens)

**BIJLAGE V:** Tabel 2: Procentuele emissie bij cumulatieve L/S van 0.5 en 10 t.o.v. beschikbaarheid bij L/S van 200.

	As	Ba	Ca	Cd	Co	Cr	Cu	K	Mg	Mo	Na	Ni	
Duin en Kruidberg	n.b.	2.2/ 12	2.3/ 16	0.4/ 2.7	n.b.	n.b.	7.2/24	8.0/62	n.b.	118/ 210	n.b.	n.b.	
Het Wildrijk	n.b.	n.b.	13 / 24	2.5/ 5.9	n.b.	n.b.	7.5/23	11 /15	n.b.	142/ 323	3.3/	3.3	
Drunense heide	n.b.	3.7/ 5.4	8.2/ 24	n.b.	n.b.	n.b.	5.5/18	4.5/ 9.8	n.b.	62/ 115	n.b.	n.b.	
Norgerholt	n.b.	n.b.	35 /168	n.b.	n.b.	n.b.	13 /64	13 /47	n.b.	133/ 423	n.b.	n.b.	
Speldewolft	n.b.	20 /226	14 / 44	5.2/13	n.b.	n.b.	1.3/ 5.1	12 /25	n.b.	275/ 757	n.b.	n.b.	
Ferachterbroek	n.b.	2.3/ 7.7	20 / 73	n.b.	n.b.	n.b.	4.2/15	12 /29	n.b.	n.b.	n.b.	n.b.	
Fochtebosryeen	n.b.	10 / 27	8.9/ 24	0.6/ 0.8	n.b.	n.b.	2.5/13	11 /26	n.b.	15/ 26	n.b.	n.b.	
Filosofendal	n.b.	7.3/ 14	11 / 28	1.9/ 4.5	n.b.	n.b.	3.9/16	13 /27	n.b.	128/ 284	n.b.	n.b.	
Harense Wildernis	3.0/160	16 /125	9.7/ 70	n.b.	n.b.	13 /138	9.2/72	10 /60	n.b.	36/ 167	n.b.	n.b.	
Hernense bos	n.b.	6.9/ 28	9.7/ 40	n.b.	n.b.	n.b.	1.7/ 7.8	19 /30	n.b.	206/ 710	n.b.	n.b.	
Middachten	n.b.	8.1/ 30	9.6/ 36	7.4/30	n.b.	n.b.	20 /308	6.3/23	8.3/25	n.b.	n.b.	9.1/ 76	
Korenburgerveen	n.b.	1.6/ 24	4.3/ 24	3.8/45	n.b.	n.b.	5.9/ 93	4.3/34	6.7/30	n.b.	6/	23 n.b.	
Het Kleibos	n.b.	6.7/ 50	5.4/ 48	n.b.	0.2/ 0.2	n.b.	n.b.	6.8/36	5.4/40	n.b.	6/	67 n.b.	
Bibos	n.b.	n.b.	17 / 50	n.b.	n.b.	n.b.	15 /215	12 /50	14 /32	n.b.	14/	67 n.b.	
Zegveld	3.0/133	3.9/ 29	7.7/ 61	0.9/ 4.3	0.7/ 6.0	n.b.	3.3/ 26	3.7/26	7.8/38	n.b.	18/	74 3.0/ 83	
Lettvelbenter Petten	n.b.	3.0/ 20	4.1/ 34	0.1/ 1.1	n.b.	n.b.	6.7/132	2.8/26	5.5/39	n.b.	422/2097	n.b.	
Beverveert	n.b.	0.7/ 3.2	2.0/ 14	1.1/ 1.3	0.0/18	n.b.	8.8/ 60	0.9/ 6.6	2.2/15	n.b.	14/	76 0.9/ 17	
Linschoten	n.b.	0.8/ 3.9	2.5/ 14	1.5/ 5.0	n.b.	n.b.	4.7/ 20	1.1/11	3.0/17	n.b.	8/	34 3.0/ 38	
Eendenkooi 't Broek	n.b.	0.6/ 3.6	2.5/ 17	0.1/ 0.1	2.9/48	n.b.	5.0/ 12	0.7/ 7.2	3.0/20	n.b.	19/	94 3.5/ 44	
Het Wildrijk (o)	n.b.	0.7/ 0.7	12 / 29	0.4/ 2.6	n.b.	n.b.	3.8/ 8.0	2.3/ 4.7	13 /27	n.b.	32/ 32	n.b.	
Drunense heide (o)	n.b.	6.1/ 35	88 /204	n.b.	n.b.	n.b.	3.3/ 8.5	5.7/12	n.b.	n.b.	2.2/	3.5	
Norgerholt (o)	n.b.	8.7/ 18	24 / 99	0.1/ 0.9	n.b.	n.b.	3.0/ 9.6	21 /38	n.b.	n.b.	4.6/	4.1	
Filosofendal (o)	n.b.	1.2/ 4.1	7.1/ 20	0.2/ 0.9	0.3/ 0.9	n.b.	1.5/ 8.0	5.6/16	n.b.	32/ 37	0.4/	0.8	
Kleibos	(o)	n.b.	1.9/ 4.4	4.0/ 9.5	2.0/26	0.1/ 0.1	n.b.	0.9/ 5.2	3.6/9.9	n.b.	55/ 137	0.4/	0.4
Beverveert (o)	n.b.	0.3/ 0.8	4.5/ 8.1	0.0/0.1	0.0/ 0.0	n.b.	1.0/ 4.2	0.5/ 1.4	5.0/9.3	n.b.	31/ 73	0.2/	0.2

(o) = onderlaag

n.b. = niet te berekenen (concentratie in 2 beschikbaarheidaangetallen lager dan detectiegrens)

Beoordeling van gereinigde grond, deelrapport I.

vervolg tabel 2, bijlage V

	Pb	Sb	Se	Sn	V	Zn	Hg
Duin en Kruidberg	n.b.	n.b.	n.b.	n.b.	0.3/ 1.4	n.b.	
Het Wildrijk	41 /215	n.b.	n.b.	n.b.	3.2/ 4.9	n.b.	
Drunense heide	n.b.	n.b.	n.b.	n.b.	10 / 17	n.b.	
Norgerholt	n.b.	n.b.	n.b.	n.b.	n.b.	n.b.	
Spelderholt	n.b.	n.b.	n.b.	n.b.	3.0/ 6.6	n.b.	
Eerachterbroek	n.b.	n.b.	n.b.	n.b.	10 / 26	n.b.	
Fochtelöörveen	n.b.	n.b.	n.b.	n.b.	3.4/ 15	n.b.	
Filosoferdal	4.6/ 40	n.b.	n.b.	n.b.	5.0/ 14	n.b.	
Harense Wildernis	4.5/130	n.b.	n.b.	n.b.	3.2/ 38	n.b.	
Hennese bos	12 /110	n.b.	n.b.	n.b.	3.0/ 9.6	n.b.	
Middachten	7.5/ 89	n.b.	n.b.	n.b.	7.5/ 32	n.b.	
Korenburgerveen	n.b.	n.b.	n.b.	n.b.	1.2/ 15	n.b.	
Het Kleibos	4.5/115	n.b.	n.b.	n.b.	5.3/ 59	n.b.	
Bibos	4.4/ 72	n.b.	n.b.	n.b.	2.4/ 8.0	n.b.	
Zegveld	2.6/ 34	n.b.	n.b.	n.b.	1.4/38	4.7/ 37	n.b.
Lettreiberter Potten	n.b.	n.b.	n.b.	n.b.	0.5/ 3.6	n.b.	
Beverveert	0.6/ 4.8	n.b.	n.b.	0.0/0.0	n.b.	6.3/124	n.b.
Linschoten	n.b.	n.b.	n.b.	n.b.	0.1/ 1.2	n.b.	
Eendenkooi 't Brook	n.b.	n.b.	n.b.	n.b.	0.1/ 1.1	n.b.	
Het Wildrijk	(o)	n.b.	n.b.	n.b.	2.9/ 10	n.b.	
Drunense heide	(o)	n.b.	n.b.	n.b.	n.b.	n.b.	
Norgerholt	(o)	0.6/ 0.6	n.b.	n.b.	3.1/ 9.6	n.b.	
Filosoferdal	(o)	n.b.	n.b.	n.b.	11 / 67	n.b.	
Kleibos	(o)	n.b.	n.b.	n.b.	n.b.	n.b.	
Beverveert	(o)	0.0/ 0.0	n.b.	n.b.	0.0/ 0.1	n.b.	

(o) = onderlaag  
n.b. = niet te berekenen (concentratie lager dan detectiegrens)



Bewoording van gereinigde grond, deelrapport I.

**BIJLAGE VI:** pH instellingen, zuurverbruik beschikbaarheidstest

pagina 181.

pH	*% meq/g	HNO <sub>3</sub> meq/g	K <sub>2</sub> O meq/g	pH=4	HNO <sub>3</sub> meq/g	K <sub>2</sub> O meq/g
Duin en Kruidberg	7.0	0.05	63	4.0	0.11	141
Het Wildrijk	6.0	0	8	4.0	0.02	51
Drenense heide	6.4	0	18	3.8	0.03	58
Norgerholt	5.2	0	11	4.0	0.02	45
Spelderholt	4.8	0	12	4.0	0.02	54
Eerschotterbroek	4.6	0	13	4.0	0.02	46
Fochtelöörven	4.6	0	16	3.8	0.03	79
Fijfhorstendal	4.3	0	30	4.0	0.02	51
Harense Wildernis	4.6	0	32	4.3	0.05	58
Harense bos	4.7	0	21	4.0	0.02	48
Middachten	4.4	0	20	3.7	0.04	94
Korenburgerveen	7.0	0	16	4.1	0.08	91
Het Kleibos	4.8	0	12	4.0	0.03	53
Bibos	4.7	0	15	4.1	0.02	44
Zegveld	4.8	0	31	4.3	0.06	62
Letteleberter Petten	5.3	0	18	4.0	0.12	134
Beverveert	6.2	0	9	4.1	0.12	118
Linschoten	6.1	0	14	4.2	0.14	135
Eenderkooi 't Broek	5.9	0	19	4.0	0.19	200
Het Wildijk (o)	6.1	0	7	3.8	0.02	73
Drenense heide (o)	5.6	0	5	4.1	0.03	46
Norgerholt (o)	4.9	0	10	3.9	0.04	71
Fijfhorstendal (o)	5.3	0	6	3.9	0.03	62
Kleibos (o)	5.0	0	8	4.0	0.04	67
Beverveert (o)	6.3	0	22	4.0	0.22	233

(o) = onderlaag

Zuurverbruik in eq/kg



Beoordeling van gereinigde grond, deelrapport 1.

pagina 183.

BIJLAGE VII: Beschikbaarheid ( $E_{200}$ ) t.o.v de koningswatersamenstelling

	As	Ba	Ca	Cd	Co	Cr	Cu	K	Mg	Na	Ni	Pb	Sb	Se	Sn	V	Zn	Hg
Duin en Kruidberg	0-8	18-21	72	52-58	0-17	0-4	0-5	55	31	n.b.	0-2	n.b.	n.b.	0-0	0-26	76	0-10	
Het Wildrijk	0-49	0-17	14	446	n.b.	0-20	0-21	75	28-29	n.b.	21	n.b.	n.b.	0-49	0-62	32	0-31	
Drunense Heide	0-10	9-14	21	n.b.	0-67	0-6	0-52	43	17	n.b.	13-14	0-16	0-6	0-57	0-55	21-25	0-27	
Norgerholt	0-35	0-14	5	0-50	n.b.	0-10	0-11	47	18	n.b.	9-16	0-16	0-1	n.b.	0-43	0-46	0-100	0-18
Spelderholt	0-11	8-11	15-16	43-57	0-40	0-5	15-19	132	7	n.b.	1-2	0-6	0-3	n.b.	0-36	0-37	56-58	0-15
Eerachterbroek	0-51	30	16-16	0-40	n.b.	0-9	0-5	61	18	n.b.	0-2	0-19	0-5	n.b.	0-100	0-87	38	0-14
Fochteloevréen	0-23	7-12	32	300	n.b.	0-5	0-9	72	25	n.b.	83	0-11	0-8	n.b.	0-56	0-59	41	0-10
Fitosofendal	0-11	7-10	35	26-32	0-25	0-3	0-6	68	8	n.b.	2	0-5	3	n.b.	0-26	0-25	17	0-15
Harneuse Wildernis	5-9	2-3	16	0-5	0-18	0-2	0-2	62	37	n.b.	16	0-4	1	n.b.	0-41	0-8	27	0-5
Herneuse bos	0-13	5-8	22	0-57	0-40	0-5	0-4	128	9	n.b.	2-3	0-10	1-2	n.b.	0-44	0-32	31-33	0-15
Middelachten	0-8	10-13	40	35	0-8	0-3	1-3	51	15	n.b.	0-1	11-14	3	n.b.	0-15	0-19	28	0-9
Karenburgerveen	0-6	6-7	28	6-8	0-16	0-2	0-4	43	16	n.b.	92	0-3	0-1	n.b.	0-26	0-16	51	0-7
Het Kleibos	0-7	4-6	25	0-133	33-44	0-4	0-3	28	8	n.b.	9-11	0-5	1-2	n.b.	0-38	0-15	38	0-14
Bitbos	0-3	0-2	36	0-19	0-5	0-1	2	21	5	n.b.	8	0-2	2	n.b.	0-6	0-9	73	0-8
Zegveld	3-4	4	18	43	37	0-1	4	21	9	n.b.	58	6	2	n.b.	0-22	3-6	13	0-6
Letteberter Petten	0-63	5-6	34	187	0-4	0-1	1-2	22	8	n.b.	0-1	0-2	n.b.	n.b.	0-8	0-5	52	0-7
Beverwoudt	0-3	6	29	63-88	5-6	0-1	1-1	9	4	n.b.	4	6	1-2	n.b.	1-3	0-5	0-1	0-12
Linschoten	0-1	6	32	11-14	0-2	0-1	3	8	5	n.b.	17	3	0-1	n.b.	0-2	0-4	25	0-7
Eendenkooi 't Broek	0-2	7	36	65	3	0-1	2	11	5	n.b.	13	2	0-1	n.b.	0-2	0-4	18	0-7
Het Wildrijk (o)	n.b.	41-48	60	n.b.	0-33	n.b.	0-40	0-6	0-25	n.b.	47	n.b.	50	n.b.	0-18	n.b.	n.b.	n.b.
Drunense heide (o)	0-16	29	1-2	n.b.	0-50	0-5	0-14	74	8	n.b.	0-3	20-26	0-16	n.b.	0-60	0-74	0-22	0-22
Norgerholt (o)	0-16	8-13	56	n.b.	2/4	0-3	8-16	90	0-3	n.b.	0-10	12-17	10-14	n.b.	0-67	0-29	38	0-29
Fitosofendal (o)	0-30	26-38	49	n.b.	96-100	0-2	0-7	33	8	n.b.	4-6	18-21	0-11	n.b.	0-55	0-29	3-5	0-22
Kleibos (o)	0-7	10-11	42	n.b.	1300	11	0-0,3	1	7	n.b.	8	2-3	n.b.	n.b.	0-75	0-11	0-4	n.b.
Beverwoudt (o)	0-2	?	40	n.b.	0-3	0-1	0-3	1	6	n.b.	4	2-3	n.b.	n.b.	0-2	0-3	10	0-12

(o) = ontklarlaag

n.b. = niet te berekenen (samenvatting lager dan detectielimiet)



## BIJLAGE VIII: Normen concept Bouwstoffenbesluit

soort bouwstof:	GROND		
	Samenstelling	Uitlozing	Uitlozing
niveau:	G	U1	U2
eenheid:	mg/kg	mg/kg	mg/kg
<u>1. Metalen</u>			
Cr (Chroom)	50 + 2Lu	1.0	10
Co (Cobalt)	10 + 0.17Lu	0.2	2
Ni (Nikkel)	10 + Lu	0.35	4
Cu (Koper)	15 + 0.6(Lu + Hu)	0.35	4
Zn (Zink)	50 + 1.5 (2Lu + Hu)	1.4	14
As (Arseen)	15 + 0.4(Lu + Hu)	0.3	3
Mo (Molybdeen)	5	0.05	0.5
Cd (Cadmium)	0.4 + 0.007(Lu + 3Hu)	0.01	0.1
Sb (Antimoon)	2 + 0.02Lu + 0.01Hu	0.03	0.3
Se (Selen)	2	0.02	0.2
Sn (Tin)	20	0.2	2
Ba (Barium)	300 + 3.9Lu	4	40
Hg (Kwik)	0.2 + 0.0017(2Lu + Hu)	0.005	0.05
Pb (Lood)	50 + Lu + Hu	0.8	8
V (Vanadium)	50 + 1.8Lu	0.7	7
<u>2. PAK's</u>			
Naftaleen	0.01	-	-
Fenantreen	0.1	-	-
Antraceen	0.1	-	-
Fluoranteen	0.1	-	-
Chryseen	0.01	-	-
Benzo(a)antraceen	1	-	-
Benzo(a)pyreen	0.1	-	-
Benzo(k)fluoranteen	1	-	-
Indeno(1,2,3cd)pyreen	1	-	-
Benzo(ghi)peryleen	1	-	-
PAK's totaal (10 PAK)	1	-	-



## BIJLAGE IX: Samenstelling van referentiemateriaal BCR143.

Elementen	Gecertificeerde waarde	Gemeten waarde (n=3)
As (Arseen)		28.4 ± 9.8
Ba (Barium)		833 ± 26
Ca (Calcium)		63002 ± 635
Cd (Cadmium)	31.1 ± 1.2	33.0 ± 2.2
Co (Cobalt)		11.1 ± 0.3
Cr (Chroom)		176.7 ± 5.9
Cu (Koper)	236.5 ± 8.2	235 ± 5
K (Kalium)		2843 ± 350
Mg (Magnesium)		27024 ± 232
Mo (Molybdeen)		< 4
Na (Natrium)		811 ± 114
Ni (Nikkel)	99.5 ± 5.5	87.1 ± 3.1
Pb (Lood)	1333 ± 39	1229 ± 63
Sb (Antimoon)		5.1 ± 3.2
Se (Selen)		< 0.6
Sn (Tin)		55 ± 4
V (Vanadium)		60.0 ± 2.6
Zn (Zink)	1272 ± 30	1246 ± 8
Hg (Kwik)	3.92 ± 0.23	4.33 ± 0.43

